

MARTIN MICHEL

**UNIVERSITE PIERRE et MARIE CURIE (PARIS VI)**

---

**MAITRISE de SCIENCES et TECHNIQUES**

**Génie physique & Instrumentation**

**D.E.A d'ELECTRONIQUE**

---

**MESURE COMPARAISON  
& GENERATION NUMERIQUE**

***des FREQUENCES***

*Notes prises au*

***Cours de Mr CHARBONNIER***

*Ingenieur EPCI*

*Par Mr AUVRAY. J*

**UNIVERSITE PIERRE et MARIE CURIE (PARIS VI)**

---

**MAITRISE de SCIENCES et TECHNIQUES**

**Génie physique & Instrumentation**

**D.E.A d'ELECTRONIQUE**

---

**MESURE COMPARAISON  
& GENERATION NUMERIQUE  
des FREQUENCES**

*Notes prises au*

**Cours de Mr CHARBONNIER**

*Ingenieur EPCI*

*Par Mr AUVRAY. J*

## Mesure et Génération des Fréquences

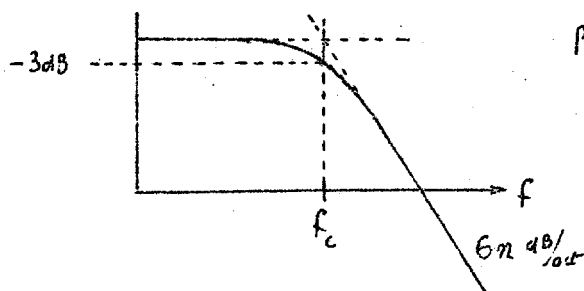
Notes prises au cours de Monsieur Chambonnière (1973)

### Introduction

Le cours sera fait en conservant le point de vue de l'industriel; c'est en confrontant les idées générales et les impératifs pratiques que nous montrerons comment l'on peut réaliser des appareils relativement commercialisables. Des considérations terre à terre de prix de revient par exemple sont souvent négligées par les universitaires qui mettent au point sur la table des montages marchant parfaitement mais dont la structure doit être quelque fois repensée entièrement avant de passer à la réalisation industrielle. On peut être résumé en une formule: "un très bon schéma n'a jamais fait un très bon instrument".

À titre d'introduction et pour essayer de faire comprendre quelle peut être la tenuure d'esprit d'un ingénieur qui doit industriellement réaliser un instrument ou un morceau d'instrument nous prendrons un exemple dans le domaine des filtres actifs.

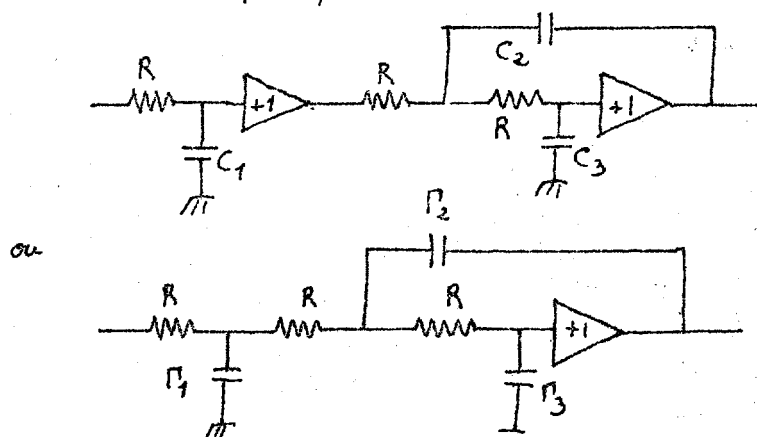
Soyons à réaliser un filtre passe bas Butterworth du 3<sup>e</sup> ordre, sa fonction de transfert a l'aspect ci-dessous:



Pour  $f \ll f_c$ , le gain est constant  
pour  $f \gg f_c$  il décroît de  $6n \text{ dB}$  par octave  
 $n$  étant l'ordre du filtre (ici 18 dB)  
pour  $f = f_c$ , l'atténuation est  $3 \text{ dB}$   
et le déphasage  $\pi/4$

Il existe beaucoup de structures actives permettant de réaliser un tel filtre, structures opérationnelles, emploi de NIC ou de gyroscopes, mais si l'on devait monter en fréquence l'emploi d'amplificateurs de gain 1 qui peuvent être tout simplement des transistors en collecteur commun, est très séduisante.

Il y a alors 2 structures possibles (structure de Sallen et Key), faisant appel à 1 ou 2 ampli op.



Ces deux circuits donnent entièrement satisfaction sur le plan de la courbe de réponse mais présentent deux inconvénients.

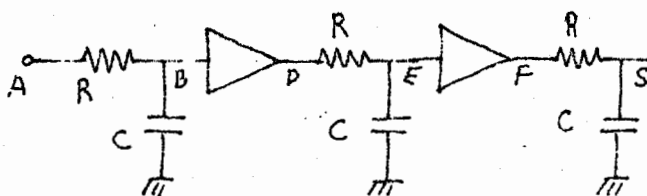
Si l'on devait réaliser un filtre à fréquence de coupure variable on utiliserait pour R un potentiomètre triple et l'on ferait une commutation de gamme en changeant les condensateurs. Or :

- les capacités ne sont pas égales ni de valeur nulle

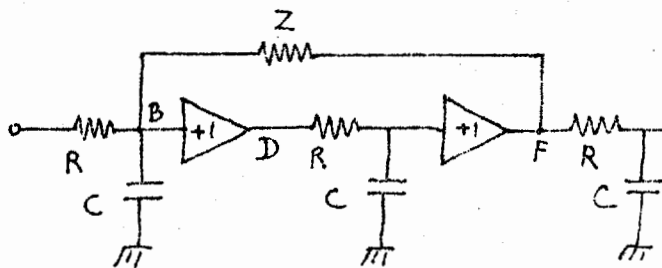
- $C_2$  ou  $\Gamma_2$  ont leurs 2 armatures isolées de la masse

Ce 2<sup>e</sup> inconvénient va être particulièrement gênant aux fréquences élevées pour lesquelles la capacité parasite du commutateur portant  $C_2$  ou  $\Gamma_2$  par rapport à la masse ne peut plus être négligée.

- d'ingénieur peut alors se poser le problème autrement et chercher à s'imposer au départ des imposants facilitant la réalisation pratique
  - toutes les résistances doivent être égales
  - " " " capacités " " " et avoir une armature à la masse de filtre devront être du 3<sup>e</sup> ordre il faut naturellement 3 cellules RC et un schéma de dépôt peut être le suivant :



Ceci n'est naturellement que la juxtaposition de 3 cellules du 1<sup>er</sup> ordre et l'atténuation à la fréquence de coupure  $f_c = 1/(2\pi RC)$  sera 9dB et non 3. Pour retrouver la bonne courbe on peut utiliser une contre réaction par exemple entre les points B et F ce qui conduit à :



En examinant la fonction de transfert de ce circuit et en identifiant avec l'expression de Butterworth il est facile de montrer que la valeur convenable pour Z est

$$Z = -R$$

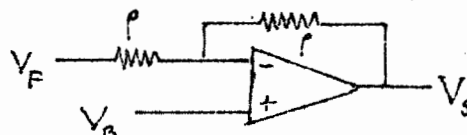
Comment réaliser une telle impedance négative ?

de courant arrivant en B par ce circuit de réaction s'écrit  $I = \frac{V_F - V_B}{-R}$   
ou

$$\frac{V_B - V_F}{R}$$

Il faut donc imaginer un circuit qui a partis de la tension différentielle  $(V_B - V_F)$  génère ce courant.

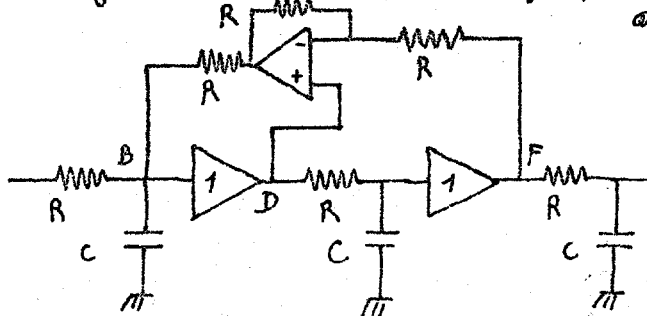
Ceci nous conduit à utiliser un amplificateur opérationnel dont les entrées doivent être reliées respectivement à B et F. Cet ampli doit de plus avoir un gain unité ce qui suggère une structure du type ci-dessous qui donne



$$V_S - V_B = V_B - V_F$$

Le courant désiré est alors obtenu par une simple résistance R reliant la sortie de l'ampli op au point B.

d'où le montage choisi, la tension  $V_0$  étant en fait prise sur l'entrée du 1<sup>er</sup> ampli de gain 1

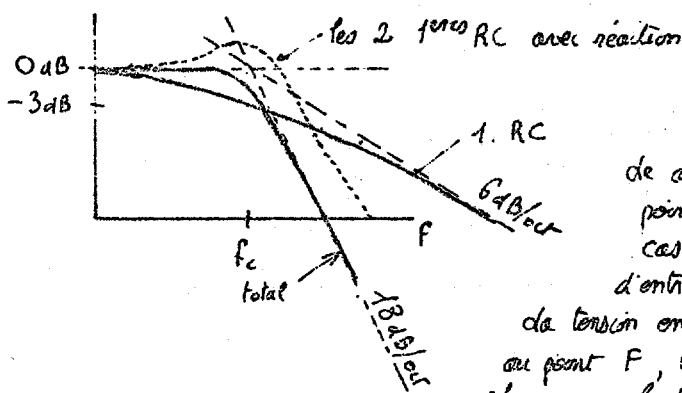


Ce circuit utilise un ampli op de plus mais économise des capacités bien moins coûteuses, beaucoup plus coûteuses que un ampli.

On voit ici l'impact qui a eu l'apparition des circuits intégrés en électronique, des structures électroniquement très complexes sont rendues non seulement possibles mais économiquement souhaitable un ampli-op renfermant 25 ou 30 transistors contre moins cher qu'un seul composant de précision.

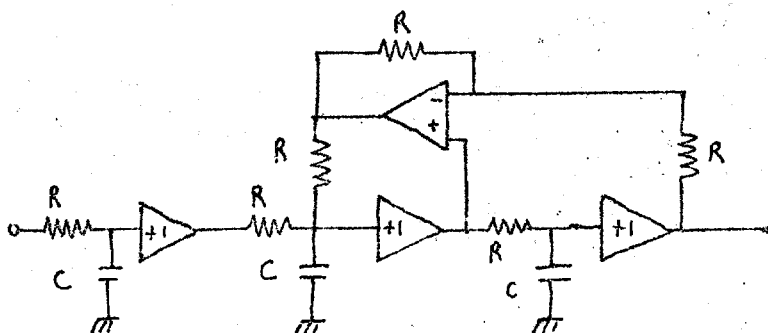
#### Remarque supplémentaire

La cellule RC finale est isolée, elle peut donc aussi bien être placée en avant (avec un ampli op de régulation évidemment). Sur le plan théorique les 2 positions sont identiques cependant en pratique ce n'est pas le cas. Une cellule RC seule a une courbe de gain à pente faible, comme le montre la figure ci-contre la courbe Butterworth ne peut être obtenue que si deux certaines fréquences voisines de  $f_c$ .



Le gain des 2 cellules RC soumise à la réaction est supérieur à 1. de calcul montre que la tension au point F peut dans le plus mauvais cas atteindre 2,7 fois la tension d'entrée.

La tension en sortie étant plus faible que celle au point F, la tension maximale de sortie sera inférieure à la tension maximale créée à cette que peut délivrer un ampli op. Il est donc beaucoup plus avantageux sur le plan de la dynamique de place la cellule RC isolée en tête.



Pour terminer il faut encore dire un mot de la notion de sensibilité pour un filtre actif. C'est un paramètre caractérisant la sensibilité d'une des caractéristiques du circuit vis à vis d'une dérive d'un composant. Par exemple des structures petite bande ayant un Q de la forme

$$Q = k \frac{R_1 + R_2}{R_1 - R_2}$$

sont à proscrire

car toute variation de  $R_1$  ou  $R_2$  aurait sur le Q une influence considérable. Pour cette raison on peut montrer qu'en pétalonde une structure en gyrateur permet une sensibilité bien plus raisonnable aux tolérances des éléments.

### Note

Le système précédent est applicable à plus de 3 pôles en plaçant en série plusieurs circuits du même type comportant une contre réaction par un ampli op à cheval sur 2 constantes de temps. La valeur de l'impédance négative nécessaire peut être ajustée en utilisant un ampli de gain -1 additionné à une résistance  $R' = kR$  ou une résistance  $R$  traité avec un gain différent de 1. ( $G = -k$ ) de tableau ci-dessous donne les valeurs de  $k$  pour réaliser des filtres de Butterworth (maximally flat) jusqu'au 8<sup>e</sup> ordre. Comme il a été dit plus haut il faut toujours placer en tête les étages éloignés à un  $k$  le plus faible.

Degré	$k_1$	$k_2$	$k_3$	$k_4$
2	1,7			
3	1			
4	6,6	0,81		
5	2,63	0,56		
6	14,7	1,7	0,68	
7	5,1	1,33	0,65	
8	25	3	1,12	0,62

### Sommaire

- I Rappel des bases de la métrologie du temps et des fréquences  
Étalon-primaire, secondaire et pratique
- II Technique des oscillateurs à quartz, comment les fabriquer et les régler  
Technologie des oscillateurs à quartz
- III Opérations ultramétriques sur les fréquences  
Structure de circuits. Utilisation du contenu harmonique des formes d'ondes logiques
- IV Boucles d'entraînement de phase (PLL) (Phase lock loop) de rapport 1 et n  
Technologie des boucles d'entraînement
- V Compensation des fréquences, multiplicateurs d'enceinte
- VI Principes généraux de la synthèse des fréquences  
Technologie des synthétiseurs
- VII Possibilités instrumentales du synthétiseur de fréquence itératif.  
Fréquencemétrie numérique. Directs - extrapolés vers les HF - réciproques - calculatrices  
Fréquencemétrie actif  
Technologie des Fréquencemétries

# I Rappels généraux de métrologie des temps et des fréquences

La fréquence est un paramètre que l'on peut vérifier sans être trop gêné par le bruit. On la mesure avec une très grande précision ( $10^{-12}$ ) et elle est facile à générer et manipuler. La plupart des composants intervenant dans les circuits de génération sont des circuits logiques fonctionnant en tout ou rien pour lesquels la dérive des caractéristiques des éléments n'est pas gênante.

des 3 équations de base

$$f = \frac{1}{T} \quad \lambda = c T \quad c = \lambda f$$

montrent que les unités de fréquence et de longueur ne sont pas indépendantes. On a pu déterminer recemment la vitesse de la lumière par mesure simultanée d'une fréquence et d'une longueur d'onde.

$$c = 299\,792\,456,2 \pm 1,1 \text{ m/s}$$

soit une précision de  $3 \cdot 10^{-9}$

Le temps a été défini initialement à partir du mouvement de la Terre. La seconde de temps universel est la 86 400<sup>e</sup> partie du jour solaire moyen\*. Ainsi fut défini le "temps universel" TU<sub>0</sub> à partir d'observations purement astronomiques. En tenant compte d'irrégularités dans le mouvement de la Terre, la précision fut augmentée avec la définition de TU<sub>1</sub> puis TU<sub>2</sub>. Enfin le temps des événements TE est lié à la durée de l'année. Entre ces diverses définitions les écarts atteignaient facilement  $10^{-8}$ .

Pour mettre tout le monde d'accord, fut introduit en 1972 le temps universel coordonné TUC qui est un temps atomique lié uniquement par valeur quantifiée au mouvement de la Terre. Il est corrigé quand le besoin s'en fait sentir, par saut de 1 seconde à 0 heure les 1er janvier ou 1er juillet. Actuellement compte tenu du ralentissement de la Terre la correction a lieu tous les 18 mois.

La définition de base est donc actuellement la fréquence d'un oscillateur.

On distingue

- les étalons pratiques dont la fréquence peut être obtenue avec une très grande précision sans aucun calage à partir des caractéristiques d'un atome. Ce sont l'oscillateur à césum et le mètre à hydrogène d'horloge passive à Césium (de prix non excessif 100.000F) fournit une fréquence

$$f_{Cs} = 9\,192\,631\,770 \text{ Hz}$$

avec une précision de l'ordre de  $10^{-12}$

d'un mètre actif à hydrogène beaucoup plus coûteux, fournit une puissance très faible avec une précision absolue du même ordre

$$f_H = 14\,20\,405\,751,778 \pm 0,00016 \text{ Hz}$$

mais il a une stabilité à moyen terme ( $\sim 10^3$  de) extraordinaire  $10^{-15}$

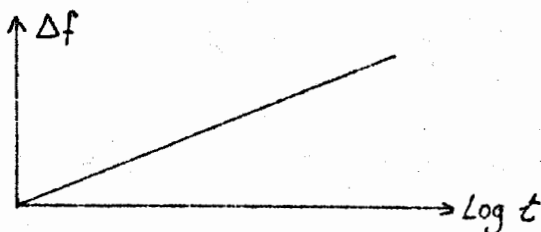
\* depuis 1900 le ralentissement de la Terre a atteint en valeur relative  $3 \cdot 10^{-8}$

Un étalon secondaire à une fréquence fonction de paramètres extérieurs (température champ magnétique) et dont l'échelle étalonnée à partir d'un étalon primaire de plus courant est l'oscillateur au rubidium 87 fonctionnant par pompage optique. On obtient ainsi un bon  $10^{-10}$  pour 20.000<sup>e</sup> environ.

$$f_{RB} = 6,835 \text{ GHz}$$

### des étalons courants

S'est essentiellement l'oscillateur à quartz qui en malheurusement affecté d'une dérive de fréquence sensiblement en  $\log t$



Pour des oscillateurs simples mais thermotatés la stabilité  $\Delta f/f$  peut atteindre  $10^{-9}$  par jour

elle atteint  $10^{-11}$  pour des oscillateurs sophistiqués

Il existe enfin des quartz qui n'ont pas nécessité de thermotatés (TCXO ou en français OCET) qui ont une précision absolue de  $\pm 10^{-6}$  de 0 à 50° et  $10^{-6}$  par an.

### Techniques de détermination des informations de temps et fréquence

Parler d'une précision de  $10^{-13}$  ou mieux n'est pas évident, par suite d'effets relativistes liés à la pesanteur l'écart entre deux horloges dont l'une est au niveau de la mer et l'autre à une altitude de 3000 mètres est de  $10^{-13}$  environ.

Ces effets relativistes entraînent également pour des horloges en mouvement (voyageur de commerce) entre des horloges au sol et d'autres embarquées dans un avion faisant le tour du monde des écarts de  $110 \pm 30$  ns ont été mesurés (valeur calculée par la relativité 90 ns). Un étalon à  $10^{-15}$  n'est donc pas très portable.

Enfin le banal effet Doppler impose de 2 horloges soient immobiles. Un effet Doppler à  $10^{-12}$  correspond à une vitesse relative de 0,1 mm/sec seulement.

On fait actuellement maîtriser les problèmes posés par la propagation des ondes hertziennes et transmettre par radio une information fréquence. Il existe de nombreux émetteurs dont les fréquences ultrastables peuvent être utilisées en métrologie des fréquences. Aux USA émetteurs WWV sur 5, 10, 15, 20 MHz qui transmettent aussi des temps horaires.

En Suisse (Prangins) une émission à 75 kHz

la BBC (Droitwich) 200 kHz stabilisés par Césium sur la condition de la fréquence est donnée chaque mois par la revue Electronic Engineering

En France Allouis (France Inter) 163,840 kHz ( $\pm 10^{-10}$ )

Des tops prélevés sur la ligne test des signaux TV permettent également d'avoir des informations temps

## II Oscillateurs à quartz

### II, Technologie des quartz Propriétés.

de quartz est de la silice  $\text{SiO}_2$  cristallisée dans le système hexagonal.  
On définit 3 axes cristallographiques

- l'axe optique parallèle à l'axe ternaire  $O_3$
- l'axe électrique  $y'Oy$  perpendiculaire aux faces du polyèdre élémentaire
- l'axe mécanique  $x'Ox$  passant par les arêtes " " "

d'effet pyroélectrique se manifeste par le fait qu'une force appliquée parallèlement à l'axe mécanique provoque l'apparition d'une polarisation électrique parallèle à l'axe électrique et réciproquement.

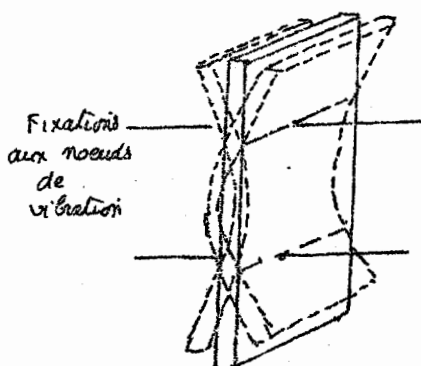
On peut donc ces conditions qui en plaçant entre 2 électrodes une lamelle de quartz l'amplitude électrique du dipôle ainsi constitué varie brutalement au voisinage des fréquences propres d'oscillation mécaniques (ultrasons) dans le solide.

Pour le quartz la constante du couplage électromécanique est faible ce qui fait que l'énergie dissipée dans le solide reste toujours faible. Pour réaliser un transducteur électromécanique de bon rendement il faudra faire appel à des céramiques ayant une constante de couplage bien plus élevée (Titanate de Baryum, zirconate de plomb). En contre partie le coefficient de tension  $\alpha$  des resonateurs à quartz peut être très élevé ce qui est de plus additionné à une forte sensibilité du module d'Young à la température. Ces circonstances favorisent le choix de resonateurs à quartz comme étalons de fréquence.

#### A) Modes de résonance des quartz

De nombreux modes de vibration peuvent être utilisés

##### 1°) vibration de flexion



Ce mode est utilisé aux fréquences basses uniquement (de 1 à 20 kHz). On dit que l'on a un barreau  $X'y'$ .

Pour régler la fréquence

- on tire au milieu pour abaisser la fréquence
- on mette aux extrémités pour l'augmenter

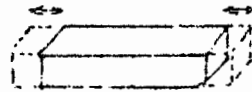
La précision obtenue est faible.

Ce mode est utilisé pour la réalisation de montres à quartz ( $32768 \text{ Hz} = 2^{14}$ )

Il existe d'autres coupes (NT) fondamentalement aussi en flexion permettant d'atteindre 250 kHz.

##### 2°) Elongation

C'est la coupe  $X+5$  qui n'est plus employée



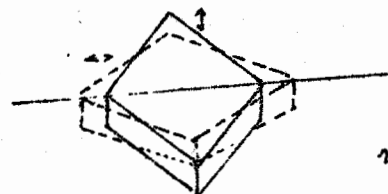
### 3°) Déformations de usaillage

Deux coupes jouent un rôle très important

#### - Coupe DT

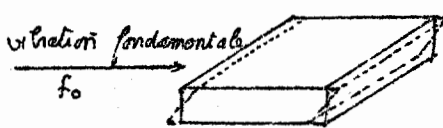
Il s'agit d'un usaillage plan conduisant à une déformation en bâtonnage des fréquences obtenues sont couramment de 200 à 800 kHz toujours en mode fondamental

C'est la coupe qui réalise le meilleur rapport performances / prix à 200 kHz

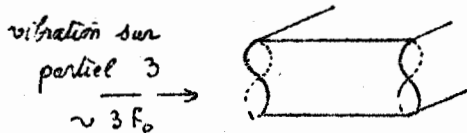


#### - Coupe AT

C'est un usaillage de pâture.



est faite à conservoir



des fréquences de l'oscillation fondamentale sont comprises entre 1 et 25 MHz mais un fonctionnement sur harmonique (fonctionnement sur "partiel" ou overdrive)

On a pu réaliser des oscillations jusqu'à 19<sup>e</sup> harmonique (proche du GHz). On utilise couramment de tels quartz sur partiel 7 à 11 à 200 MHz.

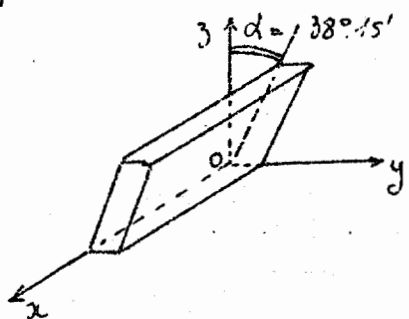
Pratiquement il faut toujours fonctionner sur partiel de rang impair et premier. Par suite de l'hétérogénéité de la lame la fréquence d'oscillation sur partiel n est légèrement différente de  $n f_0$ . Dans ces conditions sur partiel 9 l'oscillation varie de  $9 f_0$  pourra être attenue à des bandes latérales proches de forte amplitude voisines de  $3 f_0$ .

Il faut retenir qu'en coupe AT l'épaisseur d'une lame fonctionnant en fondamental à 1 MHz est de 1,67 mm.

Pratiquement une lame pour oscillation AT est découpée parallèlement à un plan contenant l'axe z'z et faisant avec l'axe z'z un angle d'  $\approx 38^\circ$

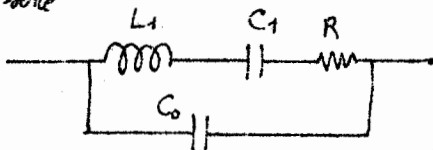
Cet angle de coupe est très critique comme nous allons le voir plus loin

(Pour  $\alpha = 0$  on retrouve la coupe dite de Curie qui est historiquement la première utilisée)



### B) Schéma équivalent électrique

Le dipôle constitué par les deux électrodes collés sur la lame oscillante a un schéma équivalent où l'on trouve attachés un circuit résonnant parallèle et un circuit série



Circuit série  $L_1, C_1$   
parallèle  $L_1, C_0$

Dans tous les cas  $C_0$  est beaucoup plus grand que  $C_1$

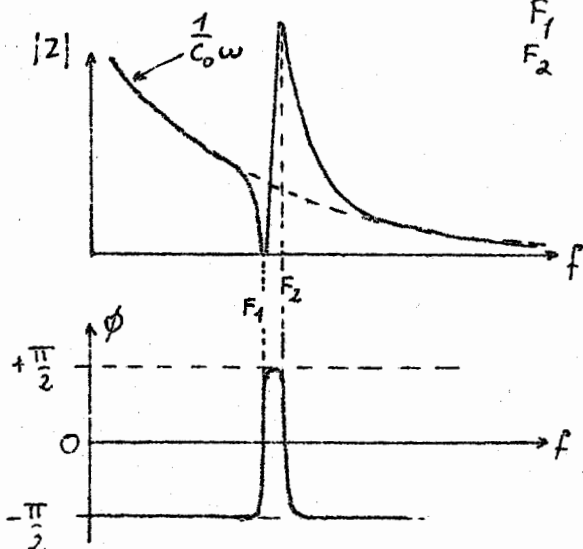
$L_1$  est très grande, des mH, presque des henrys.

C9

Typiquement  $C_0$  vaut quelques pF ou au plus d'au moins de pF

$C_1$  de l'ordre de  $10^{-15} F$ ,

de module de l'impédance et la phase évoluent alors comme le montrent les courbes ci-dessous



$$F_1 \text{ résonance série } L_1 C_1 \omega_g^2 = 1$$

$$F_2 \text{ " parallèle } L \left( \frac{C_1 C_0}{C_1 + C_0} \right) \omega_p^2 = 1$$

les fréquences d'oscillation d'un quartz peuvent être modifiées par une capacité extérieure (capacité de charge du quartz)

- la fréquence parallèle  $F_2$  est abaissée (elle se rapproche de  $F_1$ ) par un condensateur en parallèle sur  $C_0$  donc sur le quartz lui-même

la résistance  $R$  du schéma dépend du type de quartz \*

- coupe	flexion	$R \sim 10^2 \text{ à } 10^4 \Omega$
"	DT	$R \sim 1 \text{ à } 5 k\Omega$
"	AT	$R \sim 30 \Omega$ en mode fondamental

50 à 200 en mode parallèle, presque indépendant de  $\omega$   
les facteurs de qualité atteignent des valeurs énormes :

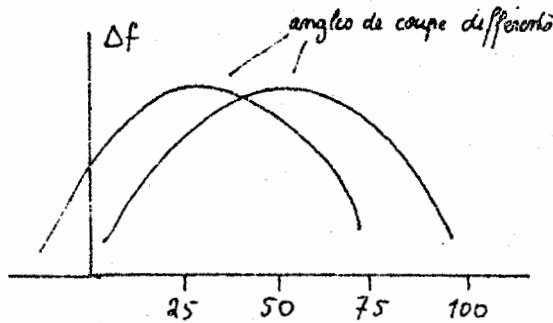
$$Q = 10^5 \text{ à } 2 \cdot 10^5 \text{ en coupe DT}$$

$2 \cdot 10^6$  (5 MHz sur parallèle 5) jusqu'à  $5 \cdot 10^5$  en coupe DT

### C Influence de la température sur la fréquence du quartz

#### - Coupe DT.

des courbes de variation de fréquence en fonction de la température ont l'allure suivante. On remarque qu'autour de certaines températures le coefficient de température peut s'annuler. Ces températures privilégiées sont au voisinage de l'ambiance



Ce type de coupe sera donc favorable pour des oscillateurs non thermostatés, par contre si l'on désire thermostatier (à une température nécessairement plus élevée que la plus haute température proche), donc typiquement 75°, l'on devra faire une zone à forte pente et le taux de régulation du thermostat devra être bien élevé.

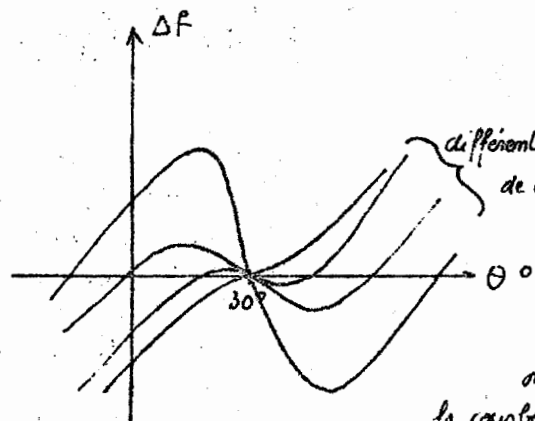
la coupe AT permet au contraire une souplesse bien plus grande

#### - Coupe AT

des courbes  $\Delta f = \Psi(\theta)$  ont une forme cubique dépendant de l'angle  $\theta$  de coupe. Si une courbe à l'autre sur le réseau suivant la variation de  $\theta$  est de

\* En mode série la résistance  $R$  ne dépend que très peu de  $\omega$ , la résistance négative à lui associée pour constituer un oscillateur est donc aussi indépendante de  $\omega$ , il sera donc facile de réaliser un montage où le quartz est interchangeable. C'est le gros intérêt du mode série, le plus utilisé lorsque l'on désire de la précision. Pour les montres on utilise un mode flexion qui se compare comme un mode parallèle.

fonction de la seconde d'angle. On voit avec quelle précision la taille doit être effectuée.



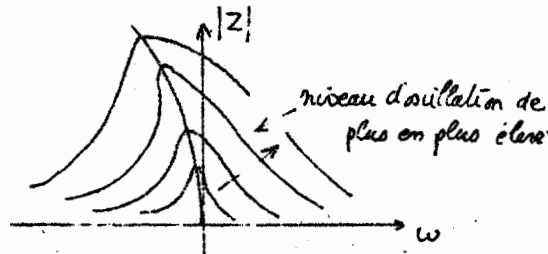
Toutes les courbes passent pour  $\Delta f = 0$   
pour  $\theta \approx 30^\circ C$ , en choisissant la  
taille on pourra donc  
sans thermomètre  
obtenir  $\Delta f = \pm n$   
dans une gamme  $30^\circ \pm m$   
de température, par exemple  
 $\pm 10^{-6}$  de  $10$  à  $40^\circ C$

On peut remarquer encore  
que lorsque l'on choisit thermomètre  
on doit se placer sur un minimum, or  
la courbure est d'autant plus accentuée que le  
maximum se trouve à température plus élevée. Il y a donc intérêt à faire  
travailler le thermomètre le plus bas possible (commerciallement  $75 \pm 5^\circ$  ou  
 $65 \pm 5^\circ$ )

Il existe une coupe dérivée de la AT pour laquelle  $\Delta f$  en une fonction linéaire de  $\theta$   
on l'a utilisée pour faire des thermomètres de haute précision ( $1/100$  d°)

#### Influence du niveau d'oscillation

Le fort niveau des non linéarités apparaissent ce qui modifie la fréquence  
d'oscillation (onde électrique Dec 1972)



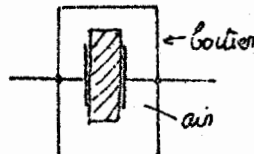
#### D. Dévise au cours du temps

La dévise lente de fréquence est liée très fortement à la technologie, le quartz  
pendant peu à peu les impuretés qui se sont incrustées à sa surface  
voit sa fréquence d'oscillation augmenter constamment

Si l'oscillation a lieu dans un gaz ce dernier au contraire se fixe sur le  
quartz et le phénomène inverse se produit.  
Le quartz doit donc travailler sous vide et être aussi propre  
que possible.

des différents montages utilisés sont les suivants

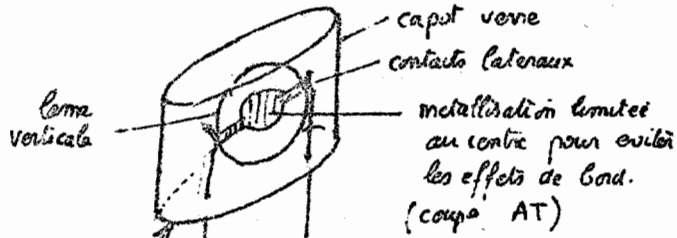
- Boîtier militaire standard



Le quartz est monté flottant dans l'air  
l'air emprisonné est entraîné par la vibration  
du quartz et intervient pour la détermination  
de la fréquence

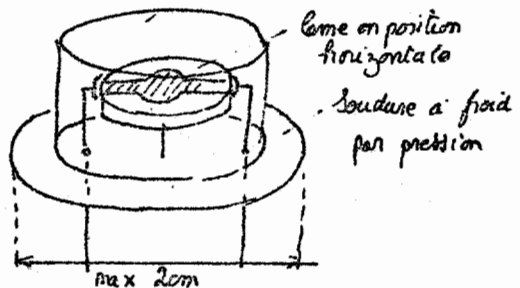
Ce type de boîtier est à rejeter en métrologie

- montages sous vide

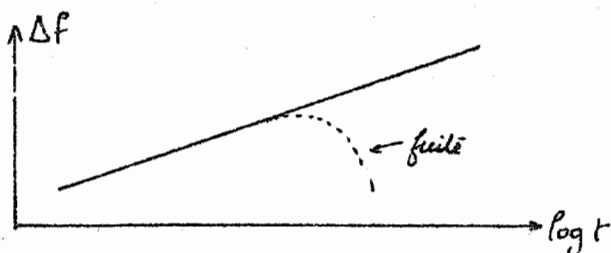


Soudure verre métal à chaud  
par une aiguille HF  
(inconvénient on chauffe toujours un peu le quartz)

capot métallique type transistor

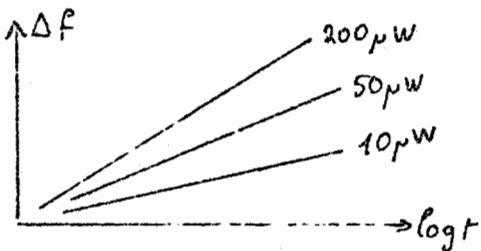


Si l'évolution de la fréquence en fonction du temps s'effectue sensiblement proportionnellement au logarithme du temps



Une faute même minime du boîtier provoque une inversion du sens d'évolution de f (du gaz se fixe sur le quartz)

La pente est naturellement d'autant plus accentuée que la puissance dissipée dans le quartz (niveau d'oscillation) est plus élevée



### Remarque

Pour compenser les effets thermiques on peut attacher le quartz à des éléments fonction de la température. Ce sont les oscillateurs compensés en température (TCXO)

### E) des performances actuelles des oscillateurs à quartz

Il faut distinguer la stabilité à long terme (dénie en  $\log t$ ) et à court terme

#### 1) à long terme

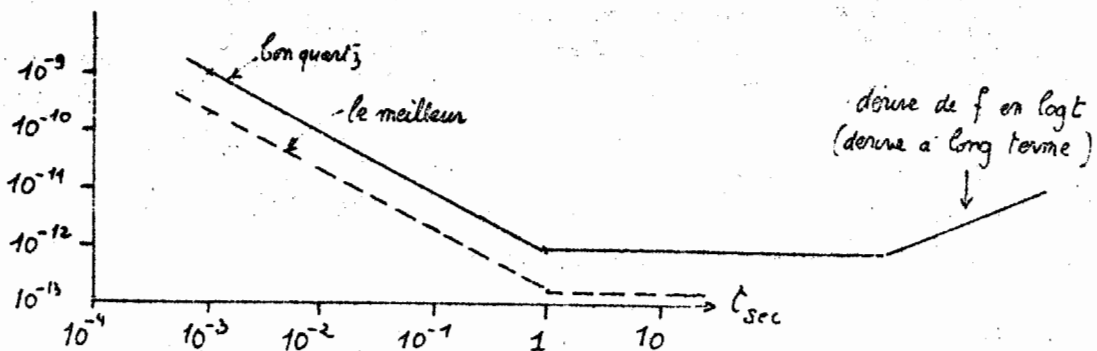
On peut atteindre des  $\Delta f/f$  de  $10^{-11}$  par jour pour des coupes AT fonctionnant à  $5 \text{ MHz}$  en pertiel 5, couramment  $5 \cdot 10^{-10}$

Pour ces quartz moins soignés en coupe AT pertiel 3 de  $5$  à  $20 \text{ MHz}$   $10^{-9}$  par jour est un seuil courant.

La dernière diminution lorsque le quartz vieillit. La limite est fixée par la durée de vie des éléments périphériques (boîtier, transistors). Le temps moyen entre panne peut être évalué à  $10^5$  heures (10 ans)

## 2°) A court terme

La meilleure dégradation est le paramètre  $J(z)$ , instabilité à échelle de temps donnée  $t$ .

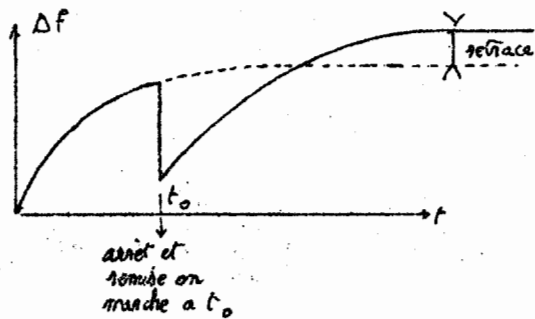


Remarque: la stabilité à court-terme d'un quartz peut être meilleure que celle d'un mésur à hydrogène c'est pourquoi c'est toujours un oscillateur à quartz qui est l'étage de sortie d'une horloge atomique (l'oscillateur à quartz est asservi en phase sur le mésur qui lui donne ainsi sa stabilité à long terme).

## 3°) Phénomène de "retrace"

La fréquence d'oscillation tend quasi asymptotiquement vers une valeur limite. Si l'alimentation de l'oscillateur est interrompue la nouvelle valeur limite après reprise du fonctionnement peut être différente de la précédente. C'est le phénomène de "retrace" qui est dû à la pollution superficielle du cristal.

On sait faire actuellement des quartz ayant des "retraces" de l'ordre de  $10^{-11}$ , pour un cristal quelconque l'erreur peut atteindre quelques  $10^{-8}$ .



## II<sub>2</sub> Technologie des oscillateurs à quartz

### II<sub>2.1</sub> Résonances parallèle et série

A la résonance l'impédance réelle d'un quartz est très différente suivant que l'on considère la résonance parallèle ou série.

- En résonance série la capacité de charge sera en série avec le quartz et à la résonance donnée approximativement par

$$L \cdot \frac{C_1 C'}{C_1 + C'} \omega_2^2 = 1$$

L'impédance se réduit à  $R$ , soit typiquement 20 à 30 Ω.

- En résonance parallèle cette impédance est beaucoup plus élevée, elle vaut

$$R_{II} = |Z| = \frac{|Z_{C'+C_0}|^2}{R} \quad \text{ou } |Z_{C'+C_0}| \text{ est le module de l'impédance du condensateur global d'accord à la fréquence considérée } \omega_2.$$

$$|Z_{C'+C_0}| = \frac{1}{(C'+C_0) \omega_2}$$

Pour  $C'+C_0 = 3.2 \text{ pF}$   $\omega_2 = 5 \text{ MHz}$   $R = 20 \Omega$  on trouve  $R_{II} \approx 50 \text{ k}\Omega$

Cette valeur est un peu élevée pour s'adapter à celle des transistors, c'est pourquoi la résonance parallèle est peu employée. Des constructeurs recommandent d'autre part l'emploi au delà de 20 MHz. On peut remarquer aussi que  $R_{II}$  varie beaucoup avec  $\omega$  alors que la résistance en résonance série est presque constante et varie peu d'un quartz à l'autre (20 à 30 Ω). En montage série le changement de quartz de fera donc souvent très facilement alors qu'il y aura lieu d'effectuer un réglage d'impédances pour une telle opération dans un montage oscillant en mode parallèle.

### II<sub>2.2</sub> Influence d'un circuit coulant annexe (circuit de détramage)

Pour utiliser un quartz en mode partiel il faudra placer dans le montage un circuit favorisant l'oscillation sur une fréquence donnée. Ce circuit indique en quelque sorte au quartz sur quel harmonique il doit osciller, on le qualifie souvent de circuit de "détramage".

Or si un oscillateur comprend 2 circuits oscillants de coefficients de sustentation  $Q_1$  et  $Q_2$  qui introduisent à la fréquence de fonctionnement des déphasages  $\Delta\phi_1$  et  $\Delta\phi_2$ , l'oscillation se produit lorsque

$$\Delta\phi_1 + \Delta\phi_2 = 0 \quad (\text{ou } 2\pi)$$

Or on sait qu'un circuit oscillant accordé sur  $f_0$  introduit à une fréquence  $f = f_0 + \Delta f$  un déphasage  $\Delta\phi$  tel que

$$\frac{\Delta f}{f_0} = \frac{\Delta\phi}{2Q}$$

$$\text{ou } \Delta\phi = 2Q \frac{\Delta f}{f_0} = 2Q \frac{\Delta\omega}{\omega_0}$$

Si le quartz qui est un circuit oscillant de qualité  $Q_x$  de fréquence propre  $\omega_x$  est associé dans un montage avec un autre circuit accordé défini par  $Q_d$  et réglé sur  $\omega_d$ , l'oscillation se produira à une fréquence telle que le déphasage global soit nul. C'est à dire

$$\Delta\phi_x = 2Q_x \frac{\omega - \omega_x}{\omega_x} = -\Delta\phi_d = -2Q_d \frac{\omega - \omega_d}{\omega_d}$$

$\omega_x$  et  $\omega_d$  étant très voisins on en vient  $\omega - \omega_x = \Delta\omega_x$   $\omega - \omega_d = \Delta\omega_d$  et on a

$$Q_x \Delta\omega_x = -Q_d \Delta\omega_d$$

$$\text{Soit } \Delta\omega_x = -\frac{Q_d}{Q_x} \Delta\omega_d$$

d'influence sur la fréquence de sortie d'un dérèglement du détrimpeur est d'autant plus faible que le  $Q$  de ce dernier est plus faible devant celui du quartz. On en déduit que : le circuit de détrimpage doit avoir une faible surtension

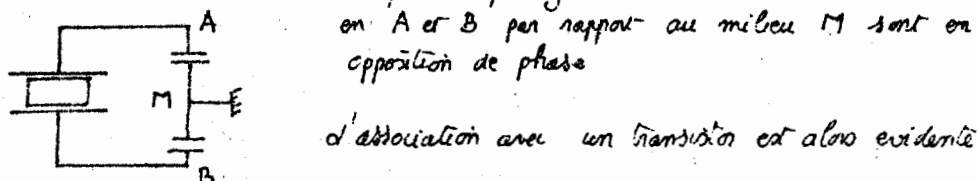
## II.3 Circuits fonctionnant en résonance parallèle

Ce mode d'oscillation est encore utilisé parfois pour des quartz en coupe DT. Un oscillateur est toujours réalisé en associant au quartz un circuit actif fournit l'énergie mais dont le déphasage entrée-sortie doit être voisin de zero.

Si un transistor unique fournit un déphasage de  $\pi/2$ , un circuit déphaseur doit être ajouté, il peut être passif ou actif.

### 1) Déphasage passif

Le plus simple est de séparer en 2 éléments série la capacité de charge du quartz lorsque le quartz oscille les 2 tensions



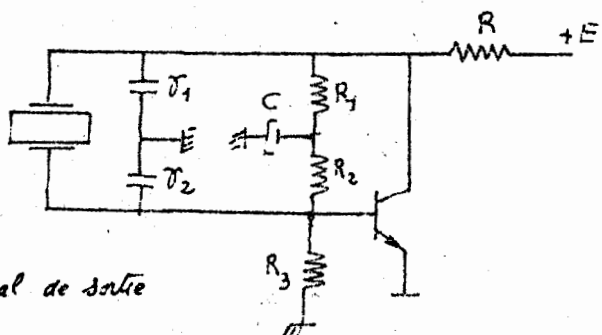
en A et B par rapport au milieu M sont en opposition de phase

de plus simple est de polariser

par un pont côté du collecteur

$R_1 R_2 R_3$  ce qui assure une certaine stabilisation. La contre réaction est assurée grâce au découplage C

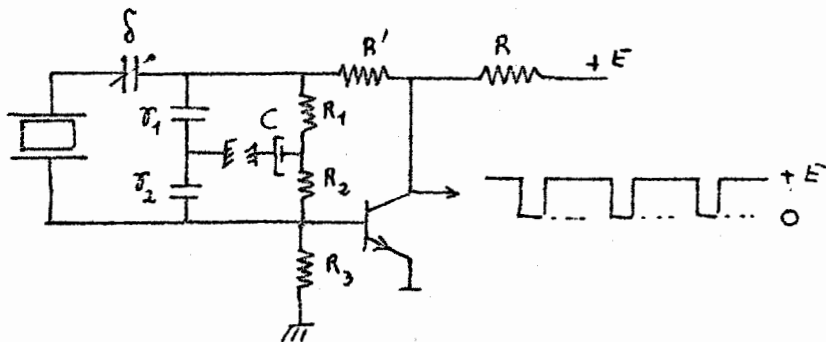
R constitue la résistance de charge aux bornes de laquelle on prélevera le signal de sortie



- Pour augmenter la fréquence on ajoutera une capacité de charge supplémentaire en parallèle sur le quartz

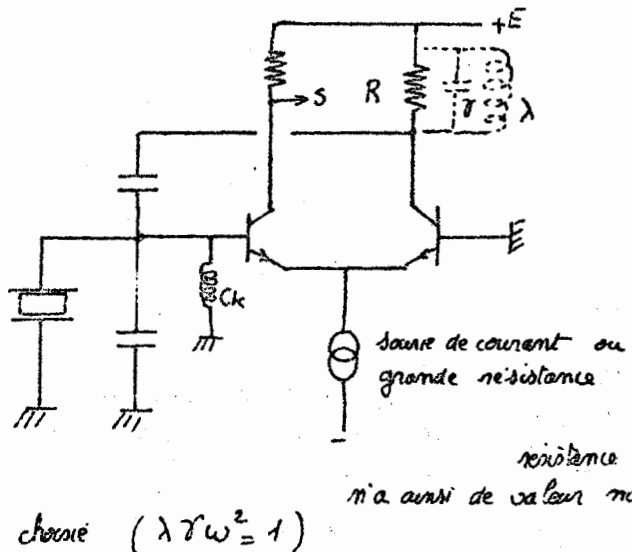
- Pour l'augmenter il faudra placer une capacité  $C$  en série avec le quartz. Le montage ressemble alors beaucoup à un "Clapp"

- Une résistance supplémentaire permet d'obtenir en sortie des signaux directement compatibles avec des circuits logiques (figure suivante)



### 2°) Déphasage actif

On utilise un second transistor ce qui conduit à un schéma voisin du "Franklin" à têtes.



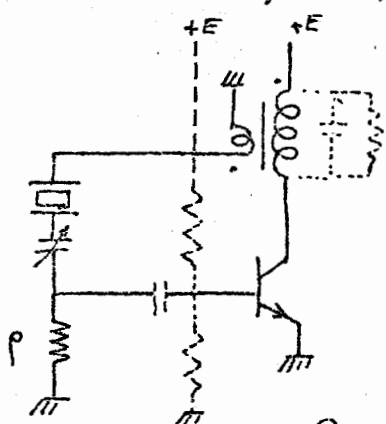
Dans un montage à 2 transistors de ce type il n'y a pas de déphasage entre la base d'un transistor et le collecteur de l'autre de quartz sera donc alimenté à partir du 2<sup>e</sup> collecteur. Un tel montage est utilisable avec un quartz en coupe DT En AT sur parallèle il faut ajouter un circuit de débrouillage en parallèle sur la résistance de charge R, le gain de l'amplificateur n'a aussi de valeur notable qu'à l'environs de la fréquence choisie ( $\lambda \tau \omega^2 = 1$ )

Mais on utilise surtout la résonance série

## II.2.4 Circuits fonctionnant en résonance série

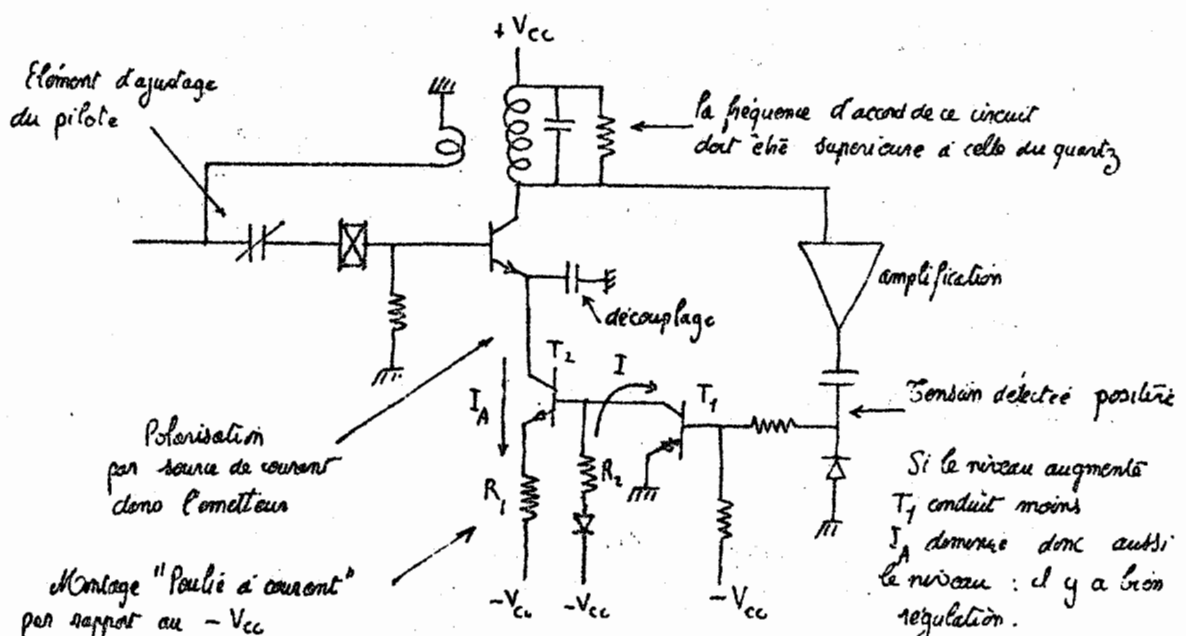
### 1°) Déphasage passif

C'est le montage classique utilisant un transformateur. Sur la figure ci-dessous les composants de polarisation sont en pointillés.



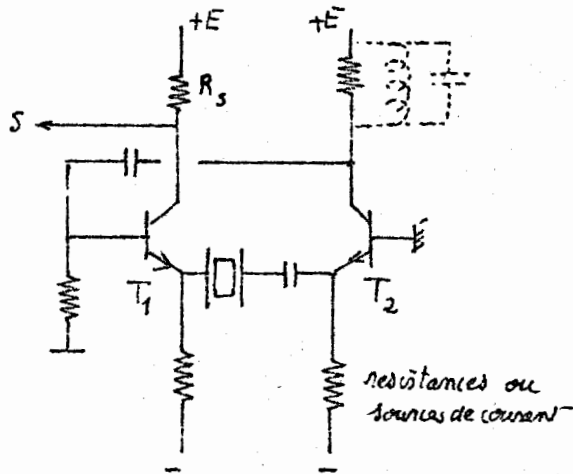
l'impédance sue au secondaire du transformateur (côté base) doit être faible par suite de l'impédance du quartz, la résistance P en série avec le circuit série équivalent au cristal influence dans la valeur du Q en charge du quartz : elle doit donc être faible au plus de l'ordre de R, soit 20 à 30Ω. Avec  $P = R$ , le Q utile est déjà trouvé de manière.

Pour fonctionner sur parallèle le débrouillage s'obtient complètement en accouplant l'enroulement collecteur (et en amortissant par une résistance le circuit bouchon formé)



## 2°) Déphasing actif

d'impédance des quartz en résonance série est tout à fait comparable à l'impédance d'entrée d'un transistor monté en base commune (l'inverse de la pente soit environ  $30 \Omega$  pour  $I_c = 1 \text{ mA}$ ). Ce montage a débouché sur un profit cette remarque : le quartz est monté entre les 2 émetteurs de 2 transistors soumis par ailleurs à une liaison RC de réaction.

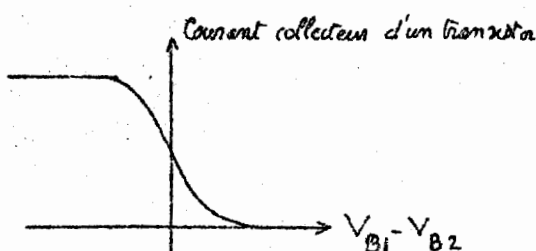


d'un des collecteurs est disponible pour y prélever le signal de sortie, il faut choisir un émetteur  $R_s$  faible pour éviter l'effet Miller sur  $T_1$ .

Ce type de circuit est utilisable au-delà de  $100 \text{ MHz}$ , en mode partie. Le circuit de déphasage est placé dans le collecteur de  $T_2$ , de façon à réduire le gain en dehors de la zone de fréquence où se place l'harmonique choisie.

Ce montage est auto-régulé en amplitude car la caractéristique de transfert d'un ampli de ce type à une forme en S et en dehors de la zone linéaire

- le gain est réduit
- les impédances sur les émetteurs qui ne sont pas en présence de courant augmentent considérablement ce qui limite l'oscillation



de courant, donc la puissance dissipée dans le quartz se trouve ainsi limitée ce qui n'est pas le cas de tous les circuits.

## Contrôle de la puissance dans le quartz

Ce contrôle est nécessaire car nous avions vu plus haut que la densité variait avec la puissance ainsi que la fréquence de résonance. Pour ces 2 raisons on est amené à choisir un niveau faible au contraire le bruit est plus faible à niveau plus élevé et de plus on constate que le Q est meilleur à niveau moyen qu'à niveau très faible. Pour un quartz  $5 \text{ MHz}$ , partie 5 le compromis se situe entre 10 et 60  $\mu\text{W}$ . Si l'on désire réaliser un pilote de haute stabilité. Si la stabilité à court terme ( $1 \text{ ms}$ ) est surtout importante on a intérêt à augmenter la puissance jusqu'à 1 mW.

Le contrôle est réalisé clairement en détectant le signal HF et en effectuant une contre réaction agissant sur le point de polarisation de l'élément actif. Un montage pratique est reproduit ci-dessous.

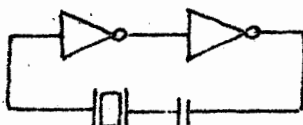
Remarque : le choix de la fréquence est également important ; le compromis densité-puissance est plus favorable à  $15 \text{ MHz}$  qui a 5, de plus les taux de multiplication ultérieurs donne plus faible à qui est une 2<sup>e</sup> raison d'augmenter la fréquence du pilote d'un synthétiseur.

### 3°) d'oscillateurs à "portes"

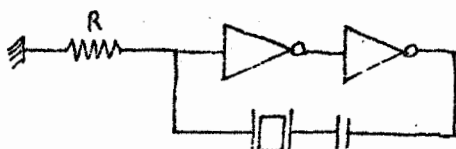
des circuits logiques permettent de réaliser des oscillateurs à quartz pour lesquels le nuage d'oscillation est parfaitement réglé.

#### a) Utilisation des portes TTL

Un inverseur TTL n'est en quelque sorte qu'un amplificateur de gain 1. La mise en série de 2 inverseurs constitue donc un ampli de gain 1 susceptible d'entraîner l'oscillation d'un quartz. Cela conduit au 1<sup>er</sup> schéma suivant :

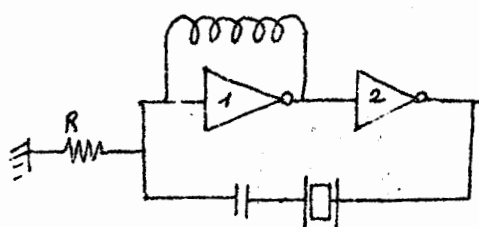


Ce montage ne fonctionne pas car les inverseurs TTL sont des éléments d'où il faut "extraire du courant". Cela conduit à ajouter la résistance  $R$  ci-dessous qui doit être faible à la fois par suite de la structure des portes ( $R < 330\Omega$ ) et parce qu'elle se trouve en série avec le quartz donc agit sur son  $Q$ .



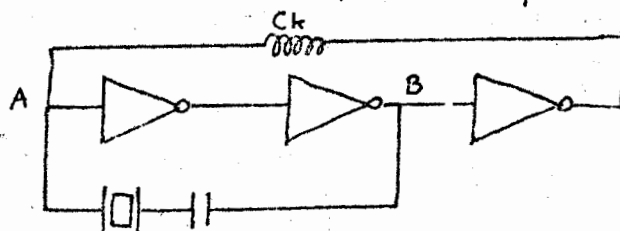
Ce montage ne plait souvent pas car si l'une des portes se trouve à un moment donné en position haute ou basse le gain devient nul et il n'y a pas de démarquage de l'oscillation.

Le démarquage ne peut intervenir que si l'on maintient par une contre-réaction en continu le point de fonctionnement des 2 portes au milieu de la zone linéaire. C'est ce qui se passe si l'on impose l'égalité des potentiels d'entrée et sortie d'une porte en les reliant par un élément de résistance en continu nulle (mais non en alternatif pour conserver le gain), par exemple une zéro de forte valeur

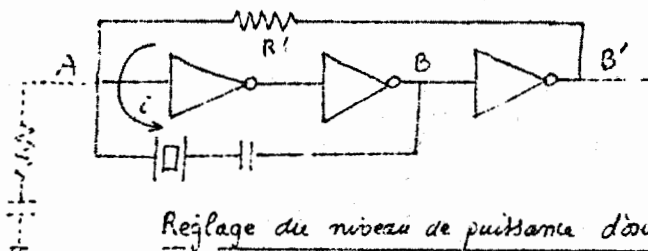


Ce montage risque encore de ne pas marcher si le potentiel de repos obtenu pour la porte 1 faut basculer 2 dans l'un des états logiques 1 ou 0 ou son gain en tension est nul.

de zéro ne pouvant être placé que dans une position où elle attire une contre-réaction en continu on ne peut résoudre le problème qu'avec 3 portes. La résistance d'entrée  $R$  devient alors inutile car le courant de la 1<sup>re</sup> porte arrive par  $C_L$ .



- Cependant le Q élevé du quartz en oscillation serré ne peut être utilisé que si l'impédance placée en série est faible. Cela peut être obtenue
- en reliant le point A à la masse par une faible résistance placée en série avec une forte capacité C
  - en shuntant C<sub>0</sub> par une résistance R' faible. A la limite pour R' très faible on peut supprimer C<sub>0</sub> ce qui conduit au schéma ci-dessous.



Grâce à R' les 3 portes se suivent polarisées dans leur zone linéaire et l'oscillation démarre

### Réglage du niveau de puissance d'oscillation

En amplitude de la limitation est obtenue par la forme particulière de la caractéristique de transfert des portes. En B on observe un signal serrilllement carré d'amplitude crête-criète 3 volts, le signal en B' est de même forme mais en opposition de phase. Or le courant circulant dans le quartz vaut

$$I = \frac{\text{Composante à la fréquence } \omega_0 \text{ de la tension } V_{B'} - V_B}{R' + R_0}$$

avec  $\omega_0$  fréquence d'oscillation     $R_0$  résistance série du quartz

$(V_{B'} - V_B)$  est une tension carrée de 7Vcc correspondant à une composante fondamentale de \*

$$7 \times \frac{\pi}{4} = 5,5 \text{ Vcc} = \frac{5,5}{2\sqrt{2}} \# 2 \text{ Veff}$$

sont

$$I = \frac{2}{R' + R_0}$$

Si comme c'est souvent le cas  $R' \gg R_0$      $I \# \frac{2}{R'}$

la puissance dissipée dans le quartz vaut

$$P_Q = R_0 I^2 = \frac{4 R_0}{R'^2}$$

elle augmente comme l'inverse du carré de la résistance de contre réaction R'

En pratique les portes TTL ne sont pas utilisées car

- leur temps de propagation est élevé ; c'est à dire qu'elles introduisent un grand déphasage donc un décalage important de fréquence
- ce déphasage varie très vite avec la tension d'alimentation et la température
- il est très variable d'une porte à l'autre
- il y a une grande dispersion de courants d'entrée des portes

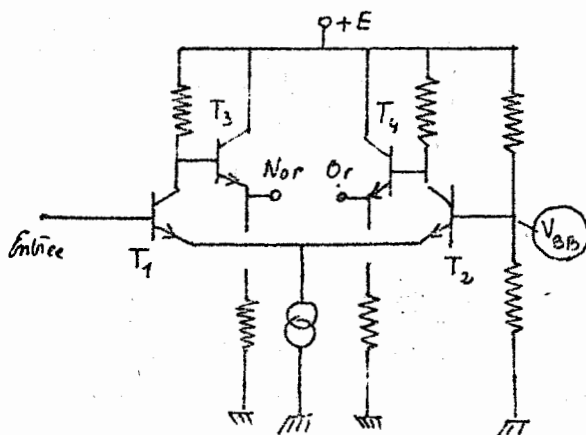
Ces montages sont réalisés essentiellement avec des portes en logique ECL

\* Décomposition en série de Fourier d'un onneau symétrique d'amplitude crête à crête 2

$$V(t) = \frac{4a}{\pi} \left[ \cos \omega_0 t - \frac{1}{3} \cos 3\omega_0 t + \frac{1}{5} \cos 5\omega_0 t \dots \right]$$

## b) Utilisation des portes ECL

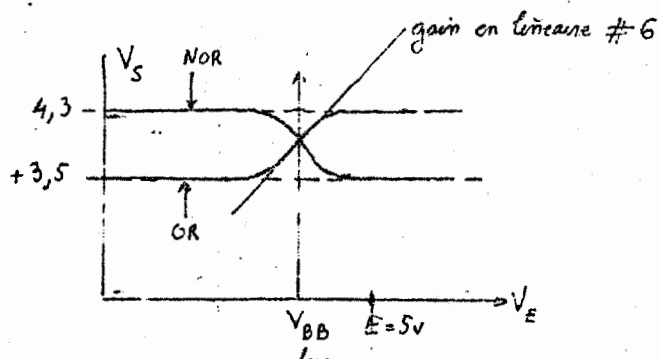
des portes ECL (logique à Emetteurs Couplés) fonctionnent en régime de non saturation c'est une des raisons de leur rapidité. Des compteurs ECL atteignent actuellement la gigahertz de schéma de la porte de base est un amplificateur différentiel. Deux



transistors  $T_3$  et  $T_4$  montés en collecteur commun assureront une faible impedance de sortie. Deux sorties en opposition de phase sont prévues : - une sortie en phase avec l'entrée c'est la sortie OR - une sortie en opposition de phase c'est la sortie NOR.

En pratique il y a plusieurs entrées le transistor  $T_1$  étant multiple.

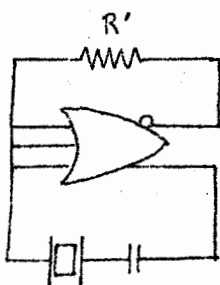
des caractéristiques de transfert de telles portes sont représentées ci-dessous ainsi que la représentation symbolique que nous utiliserons



Ce type de circuit présente pour l'utilisation recherchée ci 2 avantages

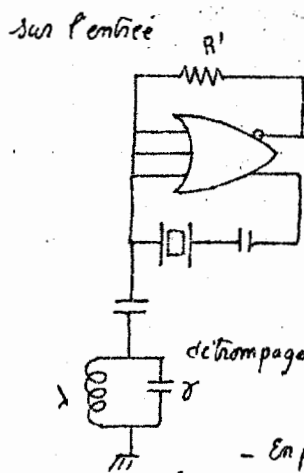
- Il y a 2 sorties inverses ou non l'une peut être utilisée pour la contre-réaction en continu l'autre pour la réaction en haute fréquence assurant l'oscillation
- le temps de propagation est très court (on sait faire 0,6 ns (1973)) au pire 3 ns soit un déphasage de  $36^\circ$  à  $33 \text{ MHz}$  un degré par  $\text{MHz}$  environ. Un quartz pouvant encore automatiquement osciller avec un circuit déphasant de plusieurs dizaines de degrés. On voit que l'on peut réaliser avec des portes ECL des oscillateurs bien au-delà de  $100 \text{ MHz}$  (avec les modèles rapides).

de circuit de base d'un oscillateur on ECL est le suivant :



R' assure la contre-réaction maintenant le point de polarisation dans la région linéaire de la caractéristique la réaction est effectuée par le quartz à partir de la sortie OR.

Lors le cas d'un fonctionnement sur partie le circuit de débrouillage peut être placé en parallèle



de signal de sortie sera prélevé par une seconde porte. Une liaison symétrique avec la charge évite que le signal ne se retrouve dans le courant d'alimentation qui est alors constant.

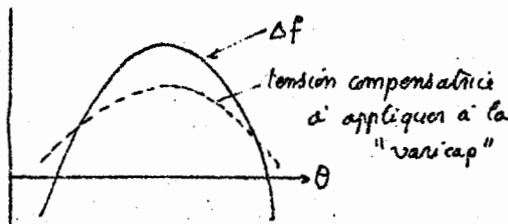
- En plaçant le quartz en parallèle sur  $R'$ , on peut obtenir une oscillation à des fréquences élevées pour lesquelles le déphasage de la porte est voisin de  $180^\circ$ .
- En toute rigueur on peut reprocher à ces montages de donner une tension faible, typiquement 1,6 Vcc, et d'avoir un bruit légèrement supérieur à celui que pourrait fournir un montage utilisant un transistors à effet de champ trié avec diode.

## II 2.5 Compensation de l'effet de température

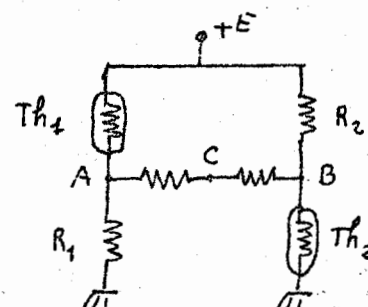
On peut: ou bien réguler la température de fonctionnement du quartz,  
ou utiliser des circuits de compensation pour rendre le montage globalement  
insensible à la température dans une plage de température plus ou moins  
large.

### 1°) Oscillateurs compensés en température TCXO

En coupe DT nous avons vu que la variation de fréquence était quadratique avec la température. Une compensation est possible en utilisant une diode à capacité variable commandée par une tension variant de façon convenable avec  $\theta$ .



La tension de compensation demandée est obtenue généralement avec des circuits à thermistances tel celui représenté ci-dessous

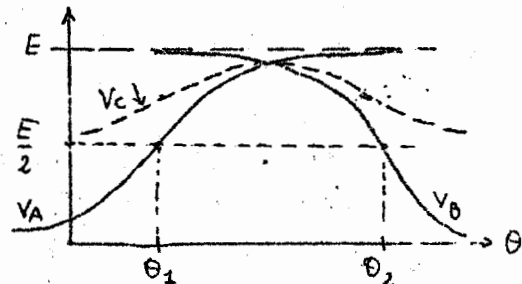


Soit  $\theta_1$  la température pour laquelle la thermistance  $Th_1$  prend la valeur  $R_1$

$\theta_2 > \theta_1$  celle où  $Th_2 = R_2$   
d'évolution des potentiels en A et B  
donc en C :

$$V_C = \frac{V_A + V_B}{2}$$

et alors en fonction de  $\theta$  l'allure ci-contre



La principale difficulté vient du fait qu'il faut pour chaque quartz recalculer les éléments du pont précédent. Une baute de prix considérable des TCXO est intervenue lorsque les programmes permettant ces calculs sur ordinateurs ont été bien "au point".

Bien qu'incapable de conduire à des stabilités "méthologiques" les TCXO fonctionnent sans préchauffage, donc immédiatement et sans dépense d'énergie de chauffage (thermostat) sont indispensables pour les équipements portatifs.

- En utilisant des montages à 3 thermistances des courbes du 3<sup>e</sup> ordre telles celles rencontrées pour les coupes AT sont également compensables.

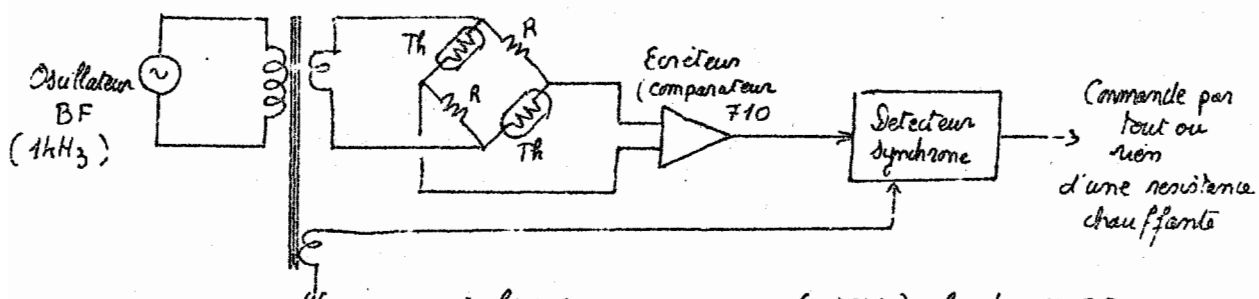
## 2° Oscillateurs Thermostatisés

### - A filtres.

des thermostats commandés par des contacts pilotés par des filtres sont à peu près abandonnés. Ils ne peuvent fonctionner qu'avec hystérésis et la température obtenue est oscillante. La fiabilité est mauvaise ainsi que la commodité de réglage de la température.

### - Ponts avec thermistances, alimentés en alternatif

de montage de base est le suivant



A la sortie du comparateur ( $\mu$ A710) la tension BF est en phase ou en opposition avec la tension alternative d'alimentation suivant que le pont est déréglé vers un sens ou l'autre. Un détecteur synchrone fournit donc une commande par tout ou rien de l'élément chauffant.

Inconvénients : le montage est complexe et l'oscillation BF utilisée risque de se retrouver sous forme de bruits parasites sur le spectre de l'oscillateur aussi thermostatisé.

Pour cette raison on utilise surtout actuellement des systèmes commandés en courant continu.

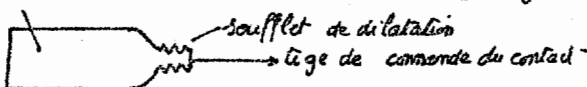
### - Thermostats commandés en continu

#### - Thermostat à changement d'état

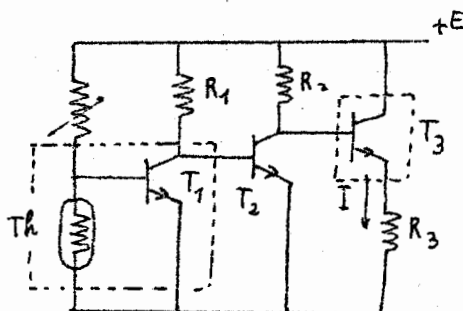
C'est un système très simple faisant appel au changement de volume lors de la solidification d'une substance. Ce changement de volume peut commander un contact qui met en marche ou coupe un circuit de chauffage.

La substance la plus utilisée est le naphthalène.

des inconvénients : - impossibilité de réglage, il faudrait changer de substance naphthalène - temps de réponse assez long à cause de l'inertie thermique



On fait actuellement appel à un circuit électrique, l'élément sensible à la température étant une thermistance et l'élément chauffant un transistor de puissance  $T_3$

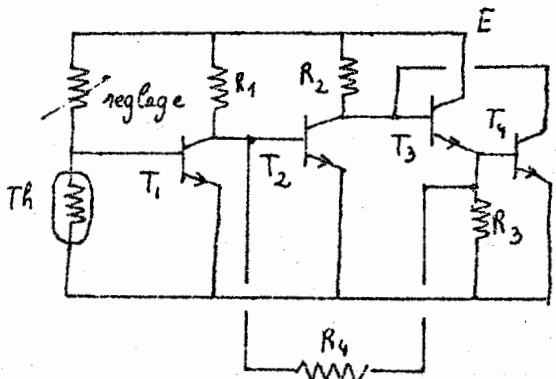


de thermistance  $Th$  et le transistor  $T_3$   
sont tous 2 soumis à la température  
à contrôler la variation du  $V_{BE}$   
du transistor (2mV par degré)  
se soulignant de la variation de la  
thermistance (3,5% par degré)

Si  $R_3$  est faible la puissance de chauffage  
fournie par  $T_3$  est de l'ordre de  $E I = P$   
donc proportionnelle à  $I$ , or la variation  
de résistance n'est pas linéaire en température.

Une linearisation du système, comprenant du même coup les deux types de caractéristiques de  $T_3$  est obtenue en faisant une contre réaction proportionnelle à  $P$  donc à  $I$ . Cela est réalisé grâce à  $R_4$  entre émetteur de  $T_3$  et base de  $T_2$ .

Enfin à froid  $Th$  a une forte valeur  $T_1$  est saturé donc  $T_2$  bloqué et  $T_3$  chauffe au maximum, la résistance  $R_4$  n'a plus aucune action notable. On y remédie en ajoutant un transistor supplémentaire  $T_4$  qui limite le courant base de  $T_3$ . Ce qui conduit au schéma pratique suivant



Pour éviter des oscillations  
il faut que le couplage thermique  
entre l'élément chauffant  $T_3$   
et l'élément sensible  $Th$  soit  
le plus serré possible. Dans ces  
conditions des constantes de temps  $RC$   
sont minimales.

Réglage de la température au point où le coefficient de température du quartz est nul

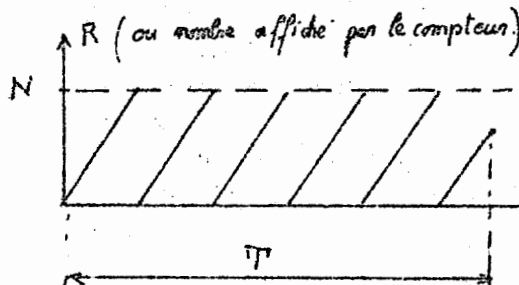
- de plus simple est de se fier au fabricant de quartz. Mais
- le thermomètre avec lequel ce dernier a fait la mesure, ainsi d'autre que celui que l'on utilise, peut être faux
- le circuit de détramage a également un coefficient de température, or il agit sur la fréquence d'oscillation de l'ensemble et la vraie température pour laquelle le coefficient de température de l'ensemble est nul est fonction du montage. Il faut la déterminer. Pour cela on fait appel à une méthode digitale

d'un pilote à quartz à tester, dans un environnement dont la température peut être commandée par une tension  $E$ , envoie un signal à l'entrée 1 d'une porte  $P$  d'autre entrée de la porte est allumée par un signal de commande de durée  $T$  de façon que le compteur  $C$  compte le quartz pendant la durée  $T$ .

Au bout du temps  $T$  le compteur a reçu  $fT$  impulsions, si  $N$  est sa capacité limitée, il a recyclé  $k$  fois et

$$n = fT = kN + R$$

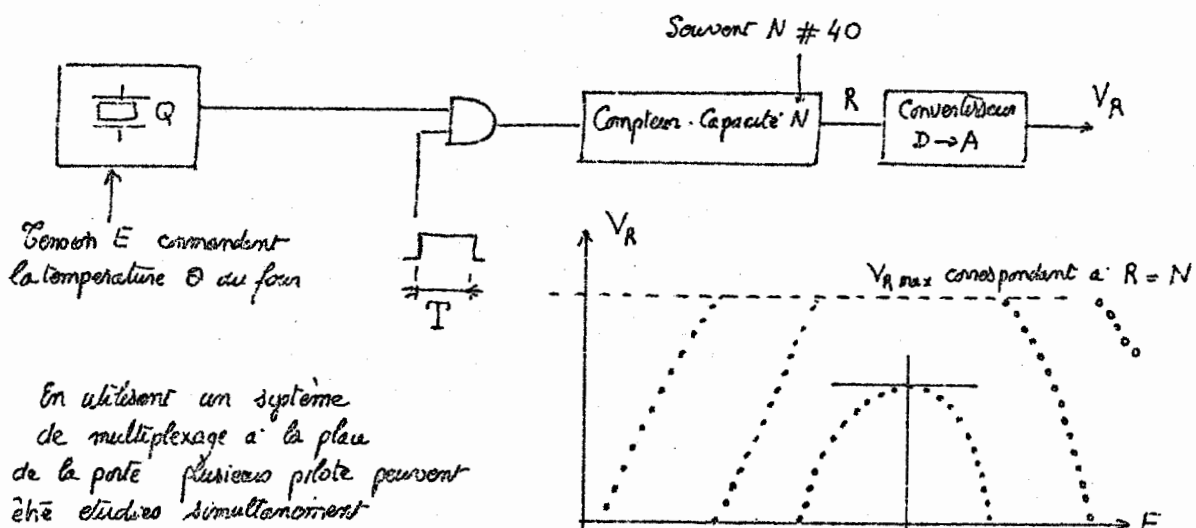
En fonction du temps le nombre R évolue comme le montre la figure ci-dessous



La valeur de R lue au bout du temps T donne un renseignement précis sur la fréquence  $f$ . Si  $f$  varie de  $\Delta f$ , faudra R varier de  $\Delta R = \Delta f$  mais  $\frac{\Delta f}{f} \ll \frac{\Delta R}{R}$

car pour le grand  $R \ll f$ .

Un convertisseur analogique digital peut transformer le chiffre affiché en fin de comptage en une tension  $V_R$  qui donne un renseignement précis sur  $f$ . Il suffit de faire varier  $E$ , donc la température, très lentement et de noter les noms successifs obtenus pour une série de comptages de même durée  $T$ . On obtient un enregistrement du type ci-dessous (ou chaque point est le résultat d'un comptage)



Remarque : la forme du maximum de la courbe doit être bien symétrique.

Une dissymétrie indique un défaut de fabrication du quartz

Valeur de  $E$  pour laquelle la température du four est telle que  $df/dE$  est nul

la valeur optimale de  $E$  étant trouvée il suffit de l'appliquer à l'entité commandée du fourneaux considéré.

### III Opérations arithmétiques sur les fréquences.

On réalise une opération arithmétique sur des fréquences à l'entrée d'un récepteur superhétérodyne. Le chargement de fréquence est une addition ou soustraction de 2 fréquences mais il faut bien remarquer qu'en fait ce résultat est obtenu par une multiplication.

Ces opérations arithmétiques sur les fréquences sont la clef des synthétiseurs de fréquences, dans lesquels à partir d'un pilote de fréquence fixe, stable, et ronde  $F_e$ , par exemple  $5 \text{ MHz}$ , on désire fabriquer une onde de fréquence

$$F_s = \frac{N}{D} F_e$$

ou  $D = A \cdot 10^9$  en général et  $N$  un entier quelconque, qui peut être assez grand.

#### III<sub>1</sub> Addition et soustraction de fréquences

##### 1°) Batteront sur un élément non linéaire

Sous un élément non linéaire dont la tension de sortie (ou le courant) est donnée à partir de la tension d'entrée par une relation polynomiale du type

$$S = \alpha E + \beta E^2 + \gamma E^3 + \dots$$

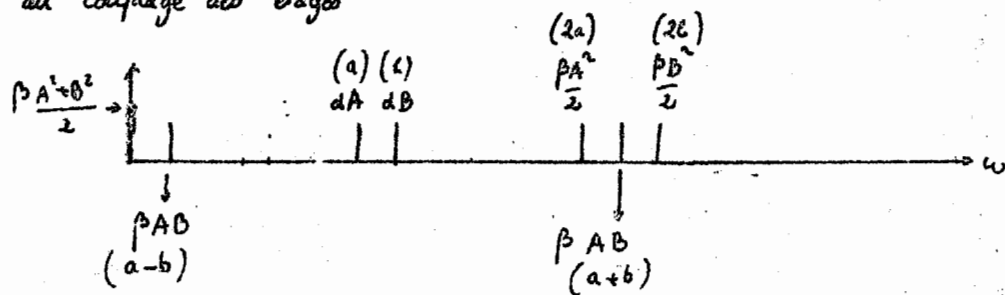
Appliquons à l'entrée la somme de 2 tensions de fréquences  $w_1$  et  $w_2$ . Posons  $w_1 t = a$      $w_2 t = b$

$$E = A \cos a + B \cos b$$

Si d'abord  $T=0$

$$S = \alpha [A \cos a + B \cos b] + \beta \left[ \frac{A^2 + B^2}{2} + \frac{A^2}{2} \cos 2a + \frac{B^2}{2} \cos 2b + AB (\cos(a+b) + \cos(a-b)) \right]$$

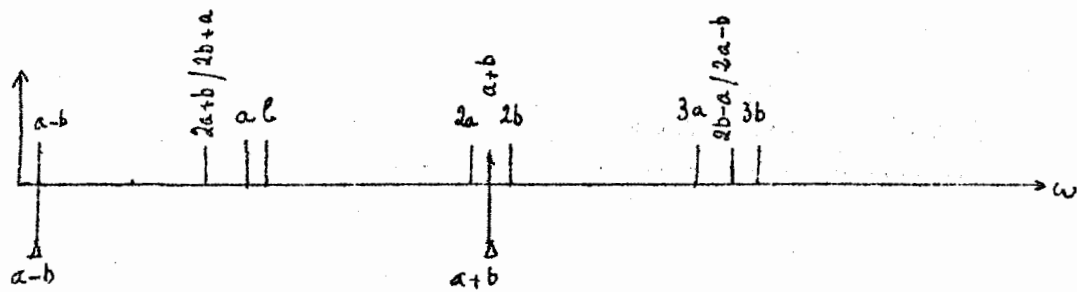
Le spectre du signal de sortie contient les 2 fréquences intéressantes  $a+b$  et  $a-b$  accompagnées de fréquences parasites  $2a$  et  $2b$ , la composante continue disparaît aisément au couplage des étages.



Le spectre se complique fortement si l'on tient compte des termes du troisième ordre

$$\gamma \left[ \frac{1}{4} A^3 \cos 3a + \frac{1}{4} B^3 \cos 3b + \frac{3}{4} A \cos a + \frac{3}{4} B \cos b + \dots \cos(2a-b) + \cos(2a+b) + \cos(2b-a) + \cos(2b+a) \right]$$

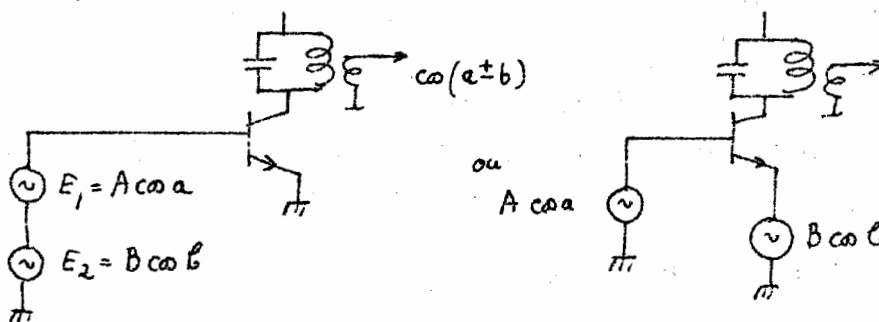
Il deviendra difficile d'isoler la somme et la différence recherchée.



Heureusement les amplitudes des rues d'ordre élevé ont une amplitude de plus ou moins faible.

### Réalisations pratiques

- En hertzienne l'élément non linéaire est un cristal détecteur sur lequel on envoie simultanément les deux signaux, les tensions de fréquence batte ( $a-b$ ) sont recueillies aux bornes du cristal
- En radiofréquence on utilise surtout la non linéarité caractéristique d'un transistor les 2 signaux étant ajoutés sur la base, ou appliqués respectivement sur la base et l'émetteur. Le circuit de collecteur contient un circuit oscillant accordé sur la fréquence de battement recherchée.



des FET  
sont très intéressants  
dans cette fonction  
car leur courbe est  
quadratique et leur  
bruit faible

des circuits de polarisation ne sont pas représentés.

### 2°) de modulateur en anneau

Il est bien plus favorable d'obtenir des battements ou différences de fréquences par multiplication plutôt que par non linéarité quadratique, cubique etc... il n'y a plus un effet dans ce cas de signaux parasites :

$$S = k E_1 E_2$$

$$\text{Si } E_1 = A \cos a \quad E_2 = B \cos b$$

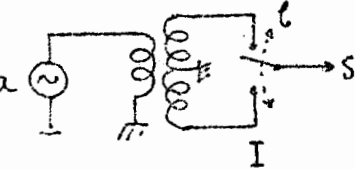
$$S = k \frac{AB}{2} [\cos(a+b) + \cos(a-b)]$$

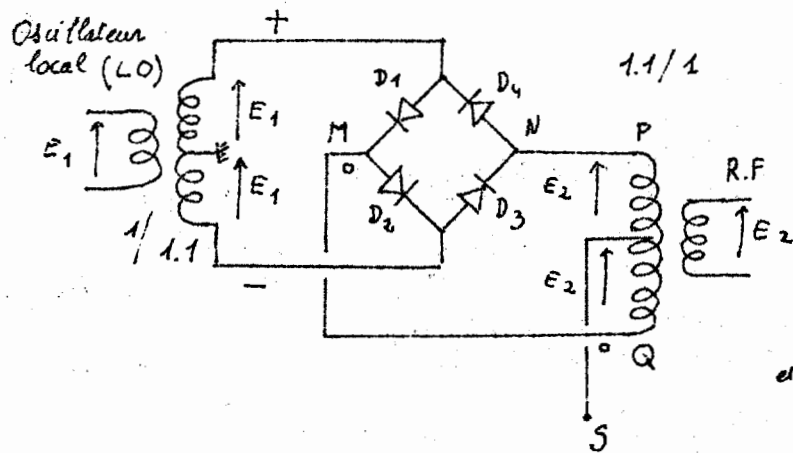
les fréquences d'entrée ( $a, b$ ) ont disparu, il n'y a plus de composante continue

de modulateur en anneau formé de 4 diodes est le plus vicin circuit multiplieur. on l'utilise encore beaucoup dans les circuits multiples téléphonique. Il se compose comme le montage idéal ci-contre, l'inverseur I étant commandé à la fréquence  $b$ . d'une des tensions alternatives appliquées est beaucoup plus grande

que l'autre, par exemple  $E_1 >> E_2$

Sont une alternance positive de  $E_1$ , les diodes  $D_1$  et  $D_2$  sont conductrices, si elles sont identiques leur point commun M est au potentiel de la masse, par contre  $D_3$  et  $D_4$  sont bloquées N est "en l'air"



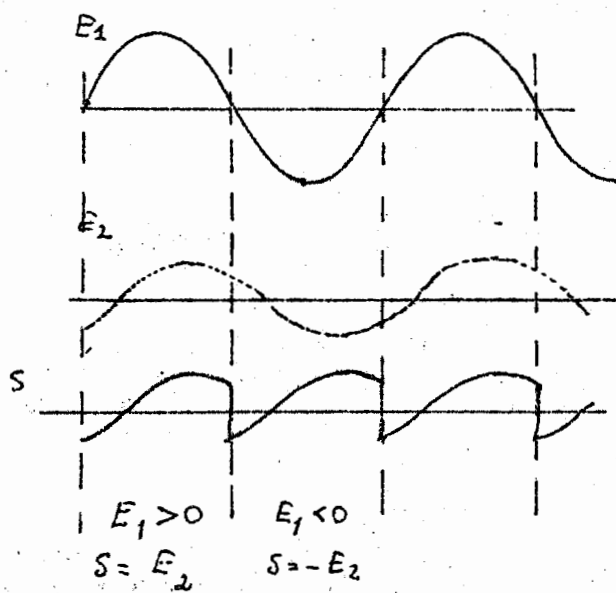


de point  $Q$  ( $\equiv M$ ) de  
l'heure à la matte et  
la sortie  $S$  est portée  
au potentiel  $E_2$  (faible)

Pendant l'allumance négative  
ce sont au contraire les diodes  
 $D_3$  et  $D_4$  qui sont conductrices  
et  $N$  "a" la matte". Le potentiel  
de  $S$  est alors  $-E_2$ .

Le fonctionnement devrait ne peut naturellement être obtenu que si  $E_2$  ne peut pas débloquer les diodes, par exemple lorsque  $M$  est au potentiel 0 (allumance positive).  $D_1$  est à  $+0,5\text{V}$  (Silicium) et  $N$  ne doit pas dépasser  $-1,2\text{V}$ \* de tension creste-crois de  $S$  doit donc être toujours inférieure au double d'une tension de conduction de diode (Pour une diode肖特基 utilisée en UHF ce seuil n'est plus  $0,6\text{V}$  mais  $0,4$  seulement)

Quand 2 tensions  $E_1$  et  $E_2$  de même fréquence sont appliquées les signaux ont l'allure ci-dessous



\* des niveaux convertibles sont typiquement de  $+7$  à  $+13\text{dBm}$  sur  $50\Omega$  pour la voie commutation et  $0\text{dBm}/50\Omega$  pour la voie signal

Remarque: quand les 2 fréquences sont dans un rapport simple on peut injecter de faux niveaux dans les 2 entrées mais alors comme nous le verrons plus loin un ou-exclusif suffit.

En ajoutant un série avec les diodes, des piles ou des résistances on peut augmenter la valeur admissible pour  $E_2$ , mais ce n'est rarement utilisé.

### Rendement

La tension  $E_2$  est en quelque sorte multipliée par  $\pm 1$  suivant le signe de la tension de pilotage  $E_1$

On la fournit en ondes symétriques d'amplitude 1 à pour décomposition en onde de Fourier

$$f(t) = \frac{4}{\pi} \left[ \cos \alpha + \frac{1}{3} \cos 3\alpha + \frac{1}{5} \cos 5\alpha + \dots \right]$$

de sorte  $E_2$  vaut donc

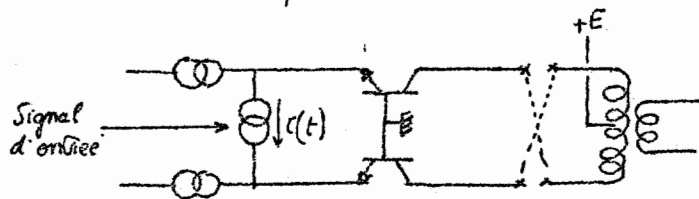
$$\begin{aligned} S &= E_2 \cos b \left[ \frac{4}{\pi} \cos a + \dots \right] \\ &= E_2 \cdot \frac{2}{\pi} \left\{ \left[ \cos(a+b) + \cos(a-b) \right] + \frac{1}{3} \cos(3a-b) + \frac{1}{3} \cos(3a+b) \right. \\ &\quad \left. + \frac{1}{5} \cos(5a-b) + \frac{1}{5} \cos(5a+b) \text{ etc.} \right\} \end{aligned}$$

Il y a encore des raies parasites mais elles sont moins gênantes que dans le cas de l'élément non linéaire, le rendement est on le voit de  $\frac{2}{\pi} = 63\%$

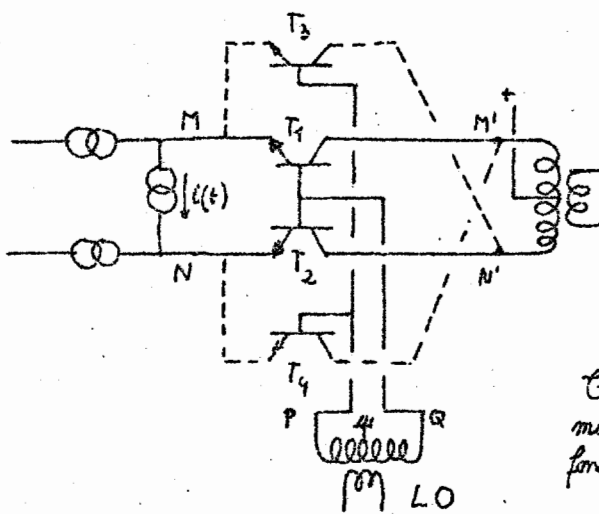
Le principal inconvénient de ce circuit (limitation d'amplitude de  $S$ ), compensé par ailleurs par une exceptionnelle tenue en fréquence, peut être éliminé en remplaçant les diodes par 4 transistors.

### 3°) Modulateur à 4 transistors

Le modulateur à 4 transistors n'est pas autre chose qu'un double base commun avec un double collecteur dont le schéma de dépôt est le suivant:



La commutation du signal d'entrée sera obtenue en commutant les 2 collecteurs. Ceci est réalisé en doublant les transistors et en appliquant le signal de commutation sur les bases.



Pendant l'allure du signal de commande ( $M = 0$ ) ou  $P > 0$ ,  $T_3$  et  $T_4$  conduisent selivant  $M$  sur  $N'$  et  $N$  sur  $M'$ .

Pendant l'autre alternance du  $M$  (ce sont  $T_1$  et  $T_2$  qui conduisent),  $M$  est alors relié à  $M'$  et  $N$  "  $N'$ .

Tout se passe comme si on avait multiplié le signal d'entrée par la fonction croissant  $+1$ .

- Diverses constructeurs ont mis sur le marché de tels modulateurs, c'est le cas en particulier de la radiotéchnique avec le TAB 101 qui peut fonctionner jusqu'à 20 MHz.)

On envoie donc :

$$i_{\text{charge}} = i \times \begin{pmatrix} +1 \\ \boxed{\phantom{0}} \\ -1 \end{pmatrix}$$

$$i_C = i \cdot \frac{2}{\pi} \left[ \cos(a+b) + \cos(a-b) + \frac{1}{3} \cos(3a+b) + \frac{1}{3} \cos(3a-b) + \dots + \frac{1}{n} \cos(na+b) + \frac{1}{n} \cos(na-b) + \dots \right]$$

$a$  étant la "fréquence" du "découpage"  $E_1$ .

d'avantage par rapport au modulateur à diodes est qui en disposant une impedance de charge différentielle commutable dans le circuit des collecteurs on peut obtenir un gain en tension malgré un rendement en courant égal à  $\frac{2}{\pi} = 63\%$  seulement.

### Influence de l'amplitude de la tension de commutation des bases

Si l'on admet que la fonction de commutation n'est plus un triangle carre d'amplitude 2 mais une锯uoide allant de +1 à -1 ce qui se produira pour une certaine valeur, faible, de  $E_1$ , le courant de sortie a la forme

$$i_C = i \times \frac{1}{2} [\cos(a+b) + \cos(a-b)] = (i \cos b) \cos a$$

alors le rendement

$$\gamma = \frac{\text{amplitude du courant à la fréquence } a+b}{\text{amplitude du courant différentiel d'entrée}}$$

vaut  $\frac{1}{2}$  (au lieu de  $\frac{2}{\pi} = 63\%$ )

En faisant passer  $E_1$  de la valeur pour laquelle la zone de commutation franche est justement (le coefficient de multiplication allant l'unité en un seul point de la période), à une valeur où la fréquence de commutation en biphasé est telle que le rendement ne passe que de 0,5 à 0,63 seulement. Or l'on sait que le courant d'un triac est divisé par 10 si sa tension base diminue de 65 mV

Pour  $E_1 = 0$  les courants collecteur des 4 triacs sont :

$$\left\{ \begin{array}{l} I_1 = I_e/2 + c/2 \\ I_2 = I_e/2 + c/2 \\ I_3 = I_e/2 - c/2 \\ I_4 = I_e/2 - c/2 \end{array} \right\} I_1 = I_2 \quad \text{les courants se répartissent également entre les 2 émetteurs de courant différentiel de sortie est alors nul.}$$

Si  $E_1 = -65 \text{ mV}$  le courant des triacs  $T_1$  et  $T_4$  est divisé par 10 par rapport aux valeurs précédentes, alors :

$$I_1 = \frac{I_e}{20} + \frac{c}{20} \quad I_4 = \frac{I_e}{20} - \frac{c}{20}$$

la somme  $(I_1 + I_2)$  restant constante et égale à  $I_e + c$   
la somme  $(I_3 + I_4)$  " " " "  $I_e - c$   
on a

$$I_2 = \frac{19 I_e}{20} + \frac{19 c}{20} \quad I_3 = \frac{19 I_e}{20} - \frac{19 c}{20}$$

alors l'un des courants de sortie vaut  $I_1 + I_3 = I_e - \frac{18c}{20}$

l'autre  $I_2 + I_4 = I_e + \frac{18c}{20}$

$$\text{le courant différentiel vaut alors } \frac{18}{20} i_c = \frac{9}{10} i_c = i_{\text{diff}}$$

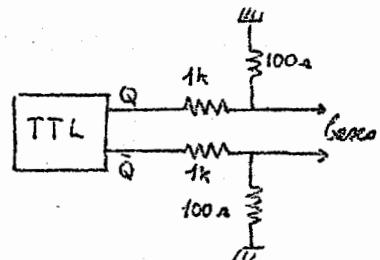
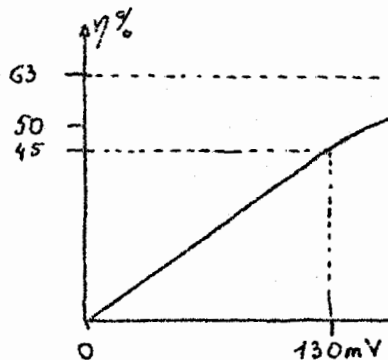
$$\text{Pour } E_1 = +65 \text{ mV on aura de même } i_{\text{diff}} = -\frac{9}{10} i_c$$

Ainsi l'application d'une tension de commande  $E_1$  sinusoidale de  $130 \text{ Vcc}$  correspond sensiblement à un produit du type

$$0,9 \left[ i_{\text{coul}} \times \underbrace{i_{\text{coul}}}_{E_1} \right]$$

$$\text{Le rendement est alors seulement } \frac{1}{2} \times 0,9 = 45\%$$

La courbe donne le rendement en fonction de l'amplitude de  $E_1$  (voleté-volté) à l'allure suivante :



Attaque directe des Geoxo à partir d'une TTL

Pour de fortes valeurs de  $E_1$ , le rendement ne dépend plus de  $E_1$ , autour de  $300 \text{ mVcc}$  une variation sur  $E_1$  se traduit sur la sortie par une variation 10 fois plus faible.

Si les transistors sont bien appariés, ce qui est le cas pour un circuit intégré, on peut utiliser la 1ère partie de la courbe, et réaliser ainsi un multiplicateur bien linéaire sur les 2 entrées (l'une est une entrée en courant)

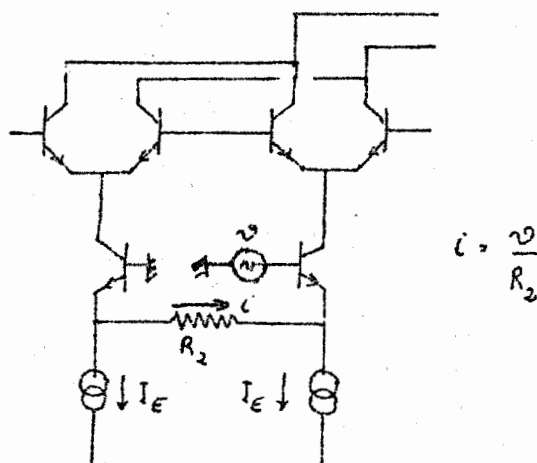
Mais lorsque l'on devra faire une addition ou soustraction de fréquence l'utilisation en modulateur, soit à dire avec  $E_1$  grand (supérieur à  $300 \text{ mVcc}$  par exemple) est intéressante car la niveau de sortie ne dépendent plus de  $E_1$ , il n'est pas nécessaire d'utiliser de décalage thermométrique d'atterrissement d'amplitude. Cela est encore plus important lorsque de nombreux opérations successives doivent être faites.

Remarques complémentaires sur le modulateur à 4 transistors

### a) Attaque des émetteurs

d'attaque des émetteurs doit se faire en courant, si l'impédance d'un transistor vu du côté émetteur est faible environ  $2.5 \Omega$  pour  $1 \text{ mA}$ , pour  $I_E = 4 \text{ mA}$  par exemple l'impédance d'entrée vaut environ  $7 \Omega$  par émetteur, soit  $14 \Omega$  entre les 2. La linéarité ne sera correcte que si la source d'attaque a une impédance au moins 10 fois plus forte.

Une solution simple est d'utiliser 2 transistors ce qui permet une attaque en tension entre leur base.



### b) Tonnes en fréquence

Il existe des circuits intégrés groupant 4 transistors permettant de couvrir une gamme de fréquence allant du continu à quelques dizaines de MHz.

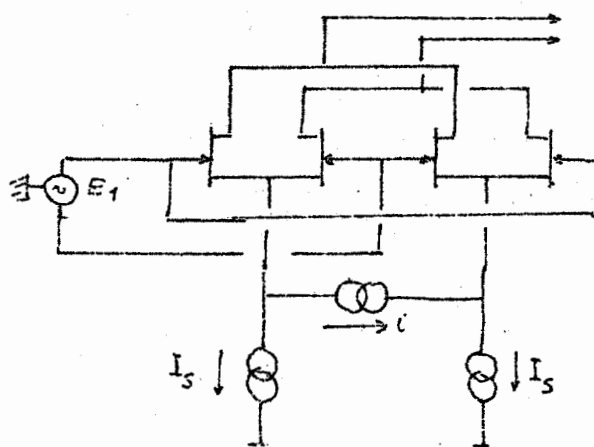
Par exemple TAB 101 jusqu'à 10 MHz

TBA 673 " 50 MHz

Au delà on pourra utiliser des transistors discrets et la tonne en fréquence n'est qu'un problème de choix de composant et de géométrie du montage. Il est possible d'atteindre près de 500 MHz.

### c) Annulation des termes de degré élevé dans l'utilisation en modulation en équilibre

On peut annuler les termes de degré élevé en utilisant 4 transistors à effet de champ dont la caractéristique est approximativement quadratique. Avec des transistors à effet de champ de haute performances un fonctionnement jusqu'à 800 MHz a pu être obtenu, avec des composants à l'arsénure de gallium le gigahertz pourra être atteint.



Remarque: les éléments étant quadratiques il y a intérêt à travailler en régime linéaire sur les 2 axes. On atteint ainsi une dynamique de 140 dB (de 20 nV à 2 V)

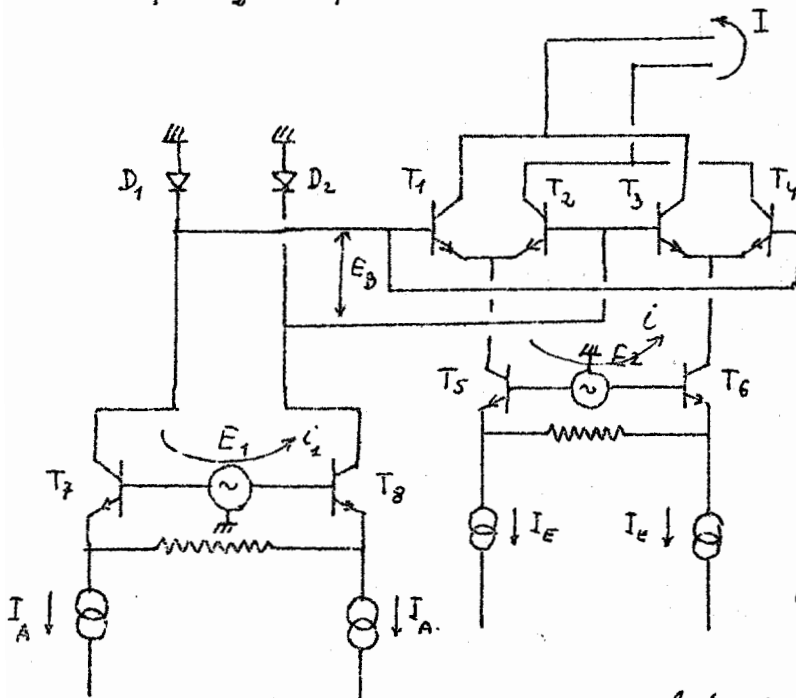
### d) linéarisation. Réalisation d'un multiplexeur

L'utilisation de 2 transistors pour l'attaque des émetteurs a déjà permis d'effectuer cette attaque dans de bonnes conditions de linéarité, il reste l'attaque des bases; or on sait que la caractéristique d'entrée d'un transistor est globalement

exponentielle

$$(I_B = I_0 e^{+ \frac{V_{BE}}{4}})$$

La linéarisation ne peut être obtenue qu'en utilisant un système d'entrée ayant une réponse opposée (logarithmique). Cela est obtenu en mettant en œuvre deux diodes  $D_1$  et  $D_2$  attaquées en courant



En effet la répartition du courant commandé  $i$  (liée à  $E_2$ ) entre les transistors est une loi exponentielle des tensions basc. de courant différentiel de sortie (dans la zone où il n'y a pas saturation) varie proportionnellement à une exponentielle de la tension de commande des basc.  $E_B$

$$I \sim \exp(E_B)$$

Or la source  $E_1$  crée un courant différentiel  $i_1$  qui lui est proportionnel des diodes ayant une caractéristique du type

$$V = 4 \log I + C$$

la tension différentielle entre les cathodes des diodes est proportionnelle au logarithme de  $i_1$

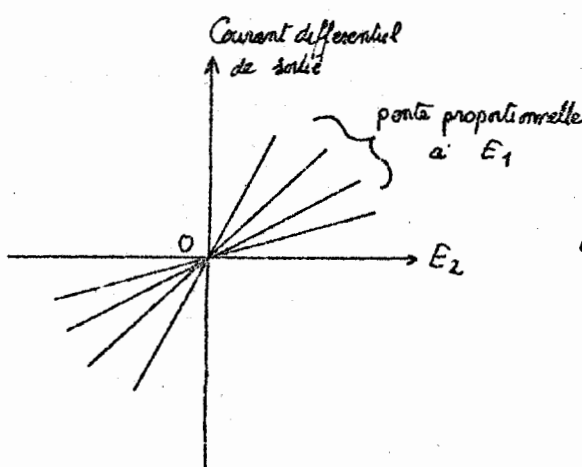
Sur  $E_B$  ou  $\log i_1$ ,

$$\text{Donc } I \sim e^{\frac{E_B}{4}} = e^{\log i_1/4} \sim i_1$$

d'attaque sur les basc. a été linéarisée, le courant différentiel de sortie devient pour les faibles valeurs de  $E_1$  et  $E_2$  proportionnel au produit  $E_1 E_2$

C'est sur ce principe que sont construits les meilleurs multiplieurs existant actuellement dont le modèle type est le MC 1595 de Motorola \*

Les performances obtenues sont remarquables, la précision du produit est meilleure que le % et le déphasage parasite peut être inférieur au degré à 500 kHz



On obtient ainsi un composant qui peut aussi être assimilé à une résistance pure commandée par une tension

En faisant  $E_1 = E_2$ , on réalise un quadrature

$$I = k E^2$$

\* On trouvera le détail du calcul du circuit dans les Proceeding of the IEEE Dec 68 p 210 ou le cours de C4 Systèmes Électroniques de 4<sup>e</sup> AUVRAY

4°) Germes parasites apparaissant à la sortie d'un modulateur. Intermodulation.

Dans l'cas des precedents sauf le modulateur à 2 FET l'un des signaux agit en commutation l'autre pouvant être parfaitement sinusoidal  
On a donc un phénomène

$F_1$  appliquée à l'entrée linéaire

$F_2$  " " commutation, avec des harmoniques  $3F_2, 5F_2$  etc...  
et même  $2F_2, 4F_2$  etc si la symétrie n'est pas parfaite

Ces signaux peuvent apparaître proportionnellement à l'ordre de symétrie  
De plus  $F_1$  peut avoir quelques harmoniques faibles dus par exemple à la non  
linéarité du circuit d'entrée

Sous par exemple 2 fréquences

$F_1$  envoyé sur la voie linéaire avec des harmoniques  $2F_1, 3F_1, 4F_1$

$F_2 = F_1 + \Delta F$  sur la voie commutation  
des fréquences en jeu sont

$F_1$	$F_1 + \Delta F$
$2F_1$	$2(F_1 + \Delta F)$ faible par symétrie
$3F_1$	$3(F_1 + \Delta F)$ $\frac{1}{3}$ du fondamental
$4F_1$	$4(F_1 + \Delta F)$ faible
	$5(F_1 + \Delta F)$ $\frac{1}{5}$ du fondamental

On trouvera donc à la sortie du modulateur

des sommes  $2F_1 + \Delta F$   $3F_1 + \Delta F$  (faible)  $4F_1 + \Delta F$  etc..

les différences  $F_1 + \Delta F - F_1 = \Delta F$

$3(F_1 + \Delta F) - F_1 = 2F_1 + 3\Delta F$

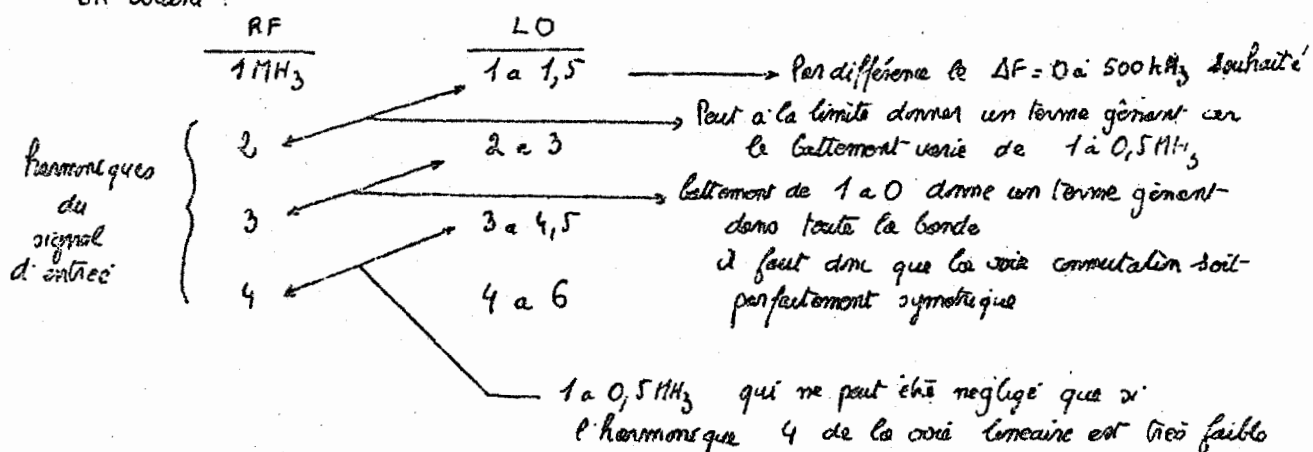
etc..

$$\text{et } 2F_1 - 3(F_1 + \Delta F) = 2\Delta F$$

$$3F_1 - 3(F_1 + \Delta F) = 3\Delta F \text{ etc..}$$

Supposons que  $F_1 = 1 \text{ MHz}$  et que  $F_2$  varie de 1 à  $1,5 \text{ MHz}$  soit  $\Delta F$  de 0 à  $500 \text{ kHz}$

on obtient :



On voit que de façon générale le signal de commutation doit être parfaitement symétrique et la signal linéaire le plus pur possible.  
De toute façon il faut noter que les difficultés sont d'autant plus grandes que  $\Delta F$  est grand devant  $F_1$ . Si  $\Delta F < \frac{1}{3} F_1$  le tonneur gênant est au ou 4<sup>e</sup> harmonique de  $F_1$ .

Pratiquement la fréquence la plus faible doit toujours être appliquée à la voie linéaire

Il existe des tableaux ou graphiques permettant de prévoir quels sont les divers signaux d'intermodulation

Supposons que nous injections dans un modulateur un signal RF de fréquence  $\omega$  et un oscillateur local  $\omega_0$ , les signaux susceptibles d'écho crois sont de la forme

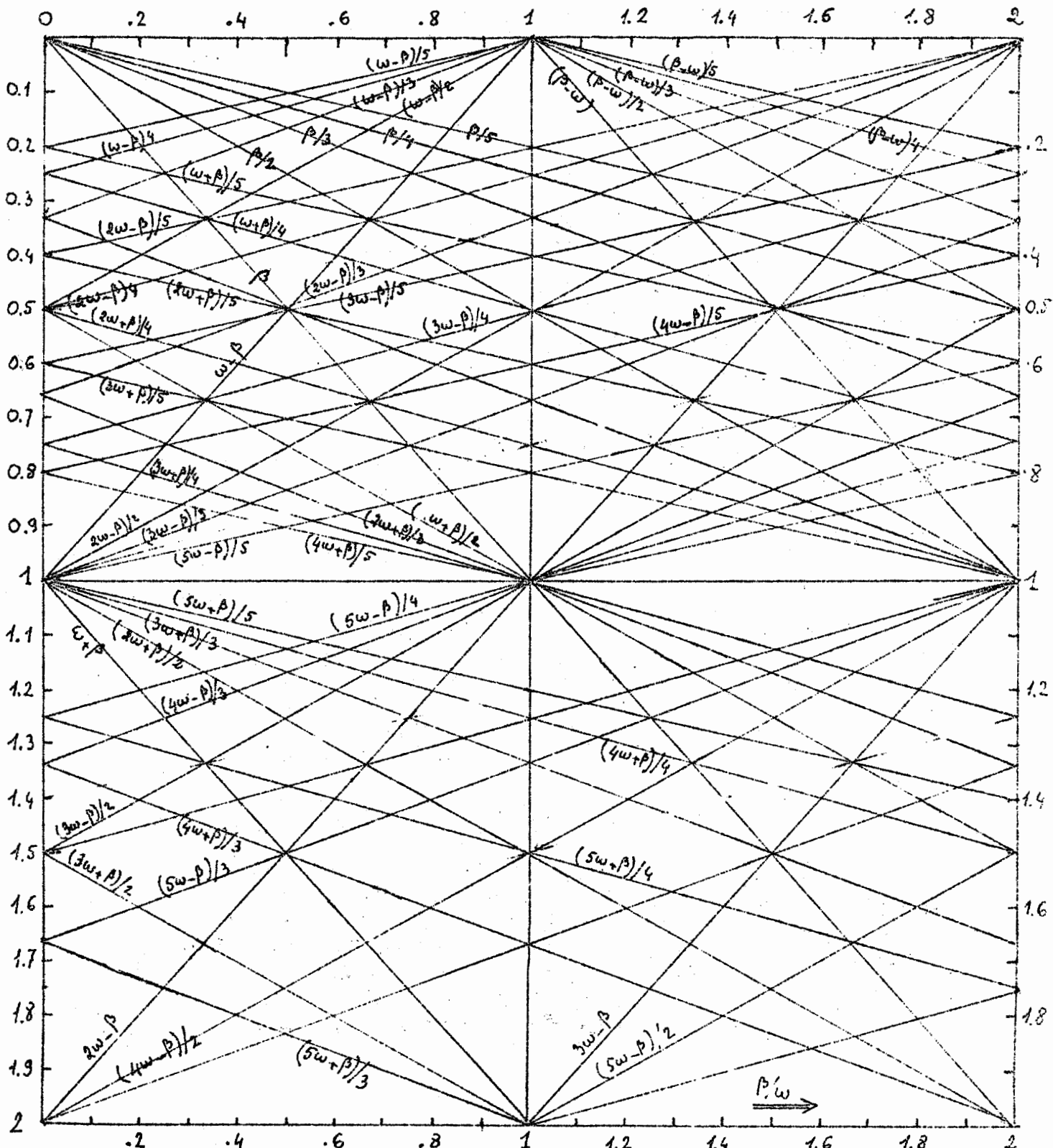
$$\beta = \pm n\omega \pm m\alpha$$

que l'on peut écrire

$$\frac{\beta}{\omega} = \pm n \pm m \frac{d}{\omega}$$

Ceci peut être traduit graphiquement par un réseau de droites dans le plan de condensées réduites  $\frac{p}{w}$  et  $\frac{\alpha}{w}$ .

( H. Loebenstein Electronics / August 2. 1873 )



d'utilisation de ce réseau est le suivant:

Si la fréquence RF varie de  $d_1$  à  $d_2$ ,  
la fréquence locale étant fixe  $\omega$  (l'inverse est possible) et que l'on s'intéresse  
au battage:

$$\beta = d - \omega \text{ varie de } d_1 - \omega \text{ à } d_2 - \omega$$

Il ne faut pas que cette même fréquence puisse être obtenue par battage  
entre les harmoniques du LO et du RF. C'est à dire qu'il existe  $n$  et  $m$  différents  
de 1 tels que

$$\beta = d - \omega = \pm n\omega \pm m\omega$$

Il ne faut donc pas que la droite d'égalité  $\beta = d - \omega$  coupe dans toute  
la zone utile une droite d'égalité  $\beta = \pm n \pm m\omega$ .

Renvoyons à notre problème précédent

$$\left\{ \begin{array}{l} d = 1 \text{ MHz} \\ \omega = 1 \text{ à } 1,5 \text{ MHz} \\ \beta = 0 \text{ à } 0,5 \text{ MHz} \end{array} \right.$$

La zone utile est délimitée par

$$\left\{ \begin{array}{l} \frac{d}{\omega} = 1 \text{ à } 0,66 \\ \frac{\beta}{\omega} = 0 \text{ à } 0,5 \end{array} \right.$$

A l'intérieur de cette zone la droite  $d = \omega - \beta$   
est coupée par

$$(4\omega + \beta)/5$$

$$\text{Soit } \beta = 4\omega - 5d$$

Il existe donc une fréquence au voisinage  
de laquelle le 4<sup>e</sup> harmonique du LO  
peut battre avec le 5<sup>e</sup> du signal  
pour donner un terme parasite.

En effet le 4<sup>e</sup> harmonique du LO  
varie de 4 à 6 MHz

le 5<sup>e</sup> du signal est à 5 MHz

$$\text{pour } \omega = \frac{6}{5} + \varepsilon$$

$$\text{Le battage est à } \frac{6}{5} + \varepsilon - 1 = \frac{1}{5} + \varepsilon$$

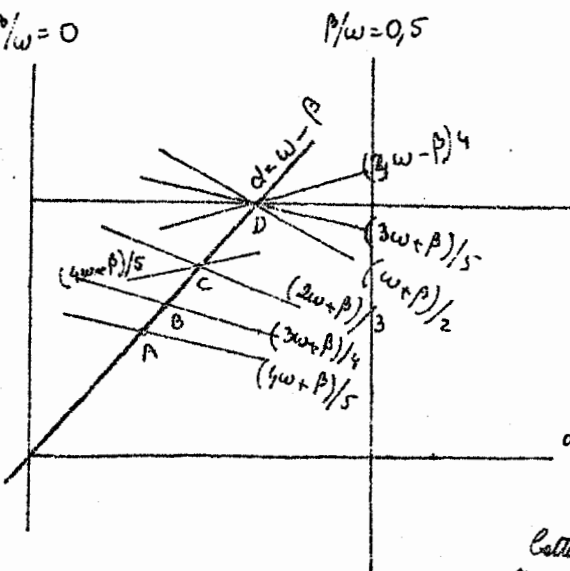
alors que le

battage entre le 4<sup>e</sup> du LO  $(\frac{24}{5} + 4\varepsilon)$  et le 5<sup>e</sup> du signal  $(5)$

$$\text{vaut } \frac{24}{5} + 4\varepsilon - \frac{25}{5} = \frac{1}{5} + 4\varepsilon$$

non séparable de  $\frac{1}{5} + \varepsilon$  pour  $\varepsilon$  petit.

On peut faire le même raisonnement pour les autres points



$$d/\omega = 1$$

$$d/\omega = 0,66$$

$$\text{et } \frac{24}{5} + 4\varepsilon - \frac{25}{5} = \frac{1}{5} + 4\varepsilon$$

Point	Droite sécante	Harmonique du LO	Harmonique RF	fréquence critique LO	$\beta$
A	$(4\omega + \beta)/5$	4	5	$6/5$	$1,2 \text{ MHz}$
B	$(3\omega + \beta)/4$	3	4	$5/4$	$1,25 \text{ MHz}$
C	$(4\omega + \beta)/5$	4	5	$4/3$	$1,33 \text{ MHz}$
	$(2\omega + \beta)/3$	2	3	$4/3$	$333 \text{ kHz}$
D	$(3\omega - \beta)/4$	3	4	$3/2$	$"$
	$(3\omega + \beta)/5$	3	5	$"$	$1,5 \text{ MHz}$
	$(\omega + \beta)/2$	1	2	$"$	$500 \text{ kHz}$

Ainsi l'utilisation d'un mélangeur à commutation est délicate lorsque l'écart  $\Delta F$  entre les fréquences mixées en jeu devient important. Pratiquement une limitation pratique est :

$$\Delta F < \frac{1}{3} F_1 \text{ ou } F_2$$

Si l'on désire utiliser la somme des fréquences il faut pour que le filtrage soit possible que  $\Delta F$  ne soit d'autre part pas trop faible. Il est préférable de se limiter à :

$$\Delta F > \frac{1}{20} F_1 \text{ ou } F_2$$

La zone de fonctionnement correct est donc limitée. On voit tout l'intérêt qu'il y a à utiliser un modulateur à 4 TEC qui se comporte comme un multiplicateur ne générant pas de fréquences parasites d'intermodulation.

## II Multiplication de fréquence

Contrairement au cas précédent les harmoniques sont recherchés pour réaliser l'opération désirée :

Si une onde sinusoïdale est appliquée à un élément non linéaire il y a distorsion donc création d'harmoniques c'est à dire multiplication de fréquence.

Soit un élément non linéaire ayant une caractéristique du type

$$V_s = \alpha E_1 + \beta E_1^2 + \gamma E_1^3 + \dots$$

Si  $E_1 = a \cos \omega t$

Le terme en  $\beta$  donne naissance à 1 forme continue + un forme en  $\cos 2\omega t$   
 " " " " " en  $\cos \omega t + \cos 3\omega t$  etc..

Si l'on désire faire une multiplication d'ordre élevé sans pertes trop importantes il faut que les coefficients des termes d'ordre élevé dans l'expression de  $V_s$  aient une forte amplitude, c'est à dire que la non linéarité du composant utilisé soit la plus forte possible.

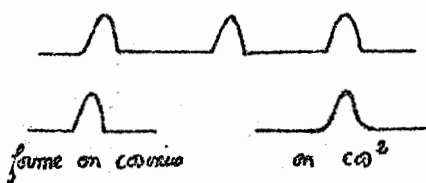
### III 2.1 Utilisation des transistors

#### 1) Multiplicateurs en classe C

la polarisation continue des composants utilisés (transistor) est choisie de façon que seuls les domaines des alternances successives soient amplifiés

le courant de sortie prend alors la forme ci-dessous qui peut être représentée mathématiquement par

2 approximations :

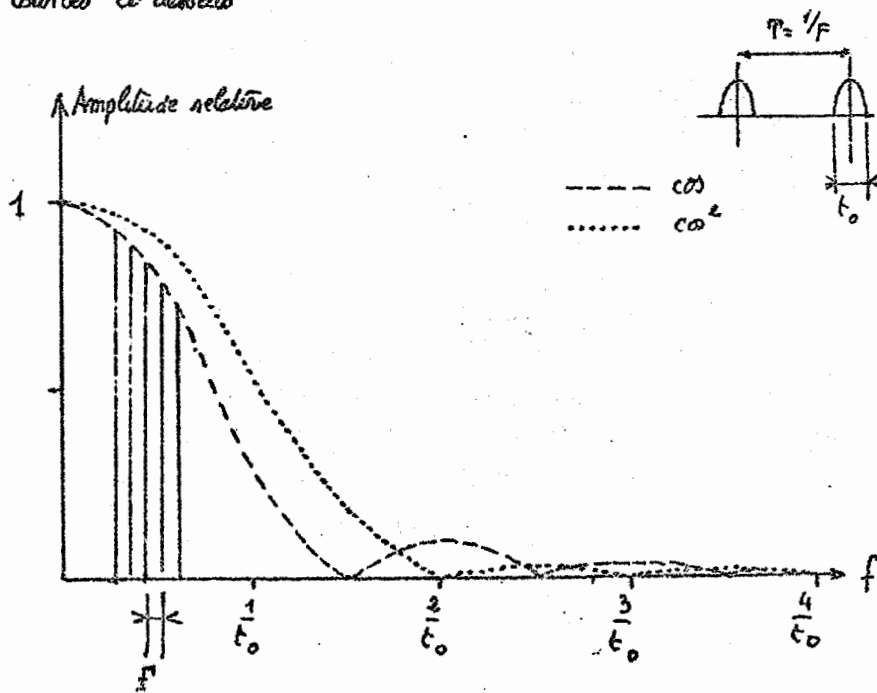


- approximation en arcs de cosinus (pour laquelle la coupure du courant est brusque)

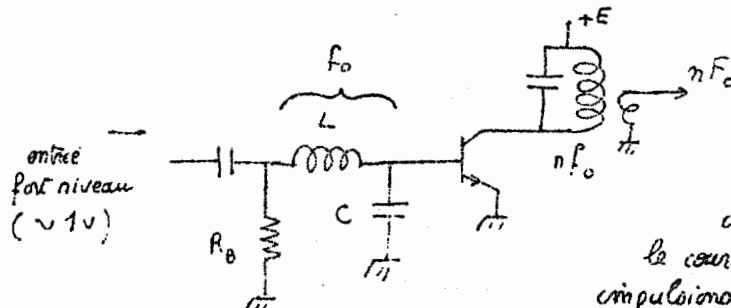
- approximation en arcs de cosinus comme

qui sont compléts de l'arrondi au voisinage du courant nul des courbes de caractéristiques

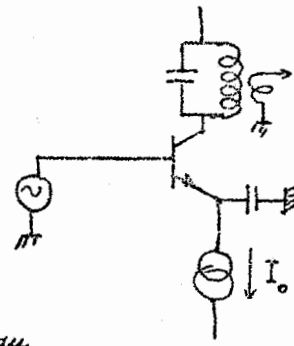
d'efficacité de la multiplication est donnée par la décomposition en série de Fourier de ces 2 formes d'énergie des harmoniques successifs en fonction du rang évolue comme le montrent les courbes ci-dessous



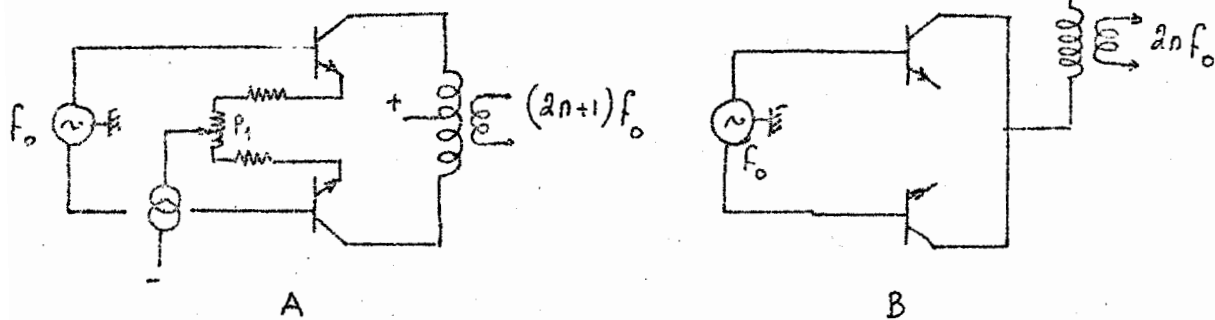
Avec un triacistor le montage de base est le suivant : la résistance  $R_B$  assure l'auto polarisation du triacistor (en classe C) par le courant de base. Le circuit LC d'entrée accordé sur  $f_0$  permet l'adaptation d'impédances le circuit de sortie accordé sur  $n f_0$  sélectionne l'harmonique désirée.



Pour obtenir une polarisation précise du triacistor il est préférable d'utiliser le montage ci-dessous pour lequel le courant moyen, donc la surface totale des impulsions, est imposé.



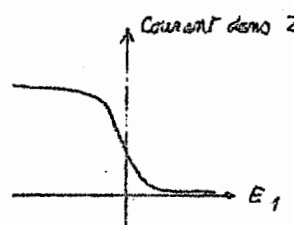
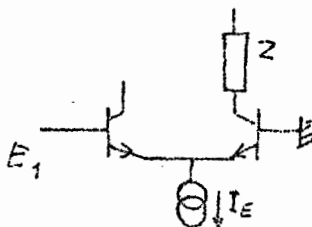
On améliore le rendement en faisant appel à un montage symétrique : en agitant sur la répartition des courants émetteurs (par  $P_1$ ) on parfait l'équilibrage des tensions avec un montage symétrique (figure A) on peut ainsi gagner 40 dB sur le niveau des harmoniques pairs parasites. Si au contraire on fait appel à un circuit de sortie diffymétrique on favorise les harmoniques pairs (figure B).



Ces circuits sont intéressants à fréquence fixe pour un taux de multiplication n excédant pas 5. Aucune oscillation générée n'est à craindre. Les circuits de collecteur et base n'étant pas accordés sur la même fréquence. Il peut de plus y avoir gain en puissance, cette dernière pouvant atteindre plusieurs watts.

## 2°) de montage LTP (long tail pair)

Pour de faibles signaux à fréquence pas trop élevée si le rendement n'est pas important on peut faire appel à une paire de triacistors montés en différentiel. C'est le montage LTP dont le fonctionnement est à la forme d'un S.

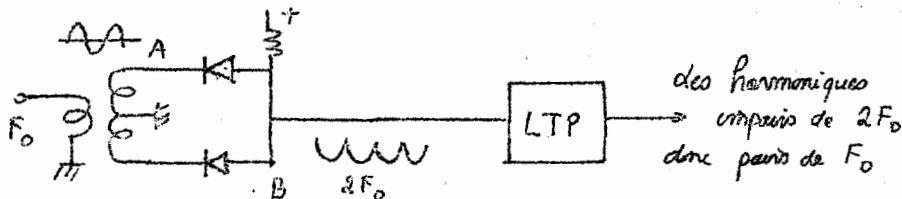


En injectant sur la base disponible une tension  $E_1$  assez élevée ( $> 300 \text{ mV}$ ) on obtient en sortie un signal en ondes sinusoïdales dont les harmoniques ont une amplitude qui décroît en  $\frac{1}{n}$

$$I_s = \frac{4}{\pi} I_o \left( \sin \omega t + \frac{1}{3} \sin 3\omega t + \frac{1}{5} \sin 5\omega t + \dots \right)$$

Si la symétrie est parfaite seuls les harmoniques impairs sont présents  
En prenant pour  $Z$  un circuit accordeé convenable on peut atteindre un taux de multiplication de 11 à 13

Pour des multiplications par des nombres pairs le montage n'est pas utilisable il faut renoncer à un système à diodes, par exemple



En pratique on évite le plus souvent d'utiliser des multiplicateurs, on préfère faire appel à des diviseurs placés dans des systèmes contre-réactionnés comme nous le verrons plus loin.

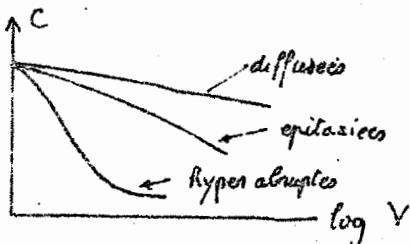
Au point de vue bruit ce montage n'est pas bon car l'information est donnée par l'instabilité de commutation qui est très sensible au bruit; le bruit du gain en courant et du transistor se retrouve dans la charge. Ce n'est pas le cas en effet car dans laquelle les impulsions successives ne font qu'entretenir l'oscillation du circuit de sortie de port Q.

### III 2.2 Utilisation d'éléments non linéaires spécifiques

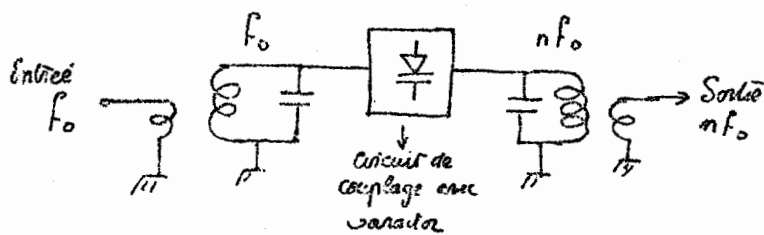
#### A) La diode varacteur

C'est une diode utilisée en inverse de comportant donc comme capacité variable  $C$  de la loi de variation de  $C$  avec la tension peut-être différente suivant la technologie (profil de dopage)

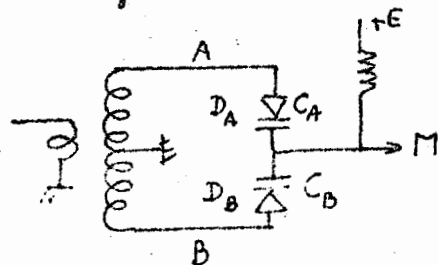
- Pour les diodes diffusées  $C$  varie en gros en  $V^{-1/2}$
- " epitaxiées  $C$  " "  $V^{-1/3}$
- $C$  varie encore plus vite pour les diodes dites "hyper abruptes"



Il suffit de placer un tel élément dans le circuit de couplage entre 2 circuits oscillants accouplés respectivement sur  $f_0$  et  $n f_0$ . Naturellement il y a perte de puissance dans tous les cas



Un montage souvent rencontré met en œuvre 2 varicaps



Il s'agit multiplicateur de fréquence on va faire le calcul.

Au repos les 2 varicaps  $C_A$  et  $C_B$  ont même capacité, elles sont alors en position d'équilibre et la tension sur  $M$  est nulle.

- Pendant l'alternance positive de la tension HF d'entrée la tension sur  $D_A$  est plus élevée que sur  $D_B$  donc

$$C_A < C_B$$

le pont reste à équilibre et sur  $M$  on recueille une tension qui a le sens de  $V_B$

- Pendant l'alternance négative au contraire la tension sur  $D_A$  ( $E + V_A$ ) est plus faible que celle sur  $D_B$  ( $E + V_B$ )

$$C_A > C_B$$

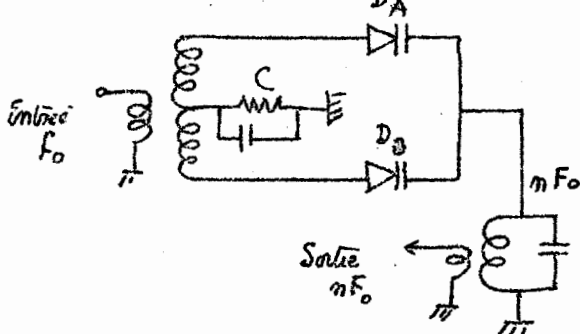
le pont est alors déséquilibré au bénéfice de A.

La tension apparaissant sur  $M$  a une fréquence double de celle d'entrée, nous avons réalisé un doubleur

Dans un montage réel on utilise une auto polarisation des varicaps on les utilisent pendant une fraction très

faible de la période HF dans le sens passant pour charger la capacité C par redressement

Un circuit accorde sur  $nF_0$  sélectionne en sortie l'harmonique désirée.

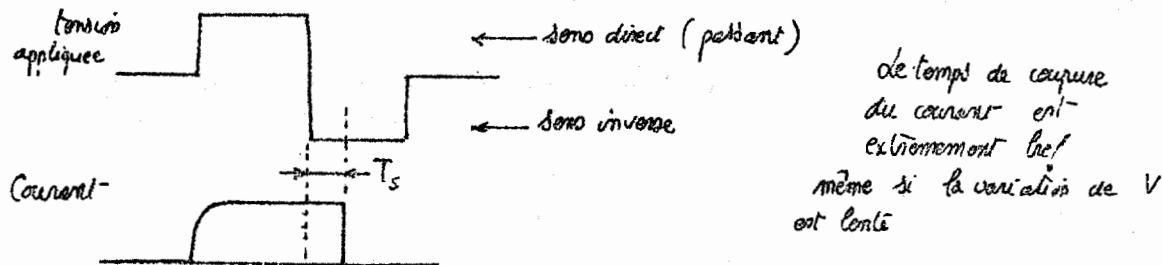


des varicaps sont utilisés pour des taux de multiplication n'excédant pas 5 mais éventuellement jusqu'à plusieurs dizaines de gigahertz (les circuits accordés sont alors des cavités)

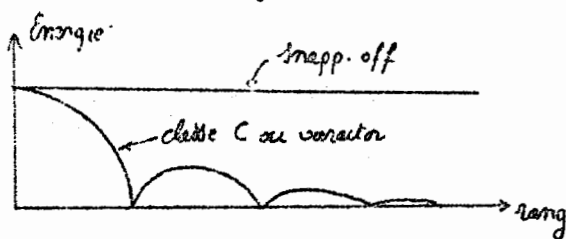
## B) diode Snapp-Off

C35

C'est également une diode qui ne diffère de la précédente que par la technologie, le jonction doit avoir une diffusion bien régulière. L'effet snapp-off se manifeste lorsque l'on soumet la diode à une tension changeant de signe, le courant a typiquement le comportement ci-dessous.

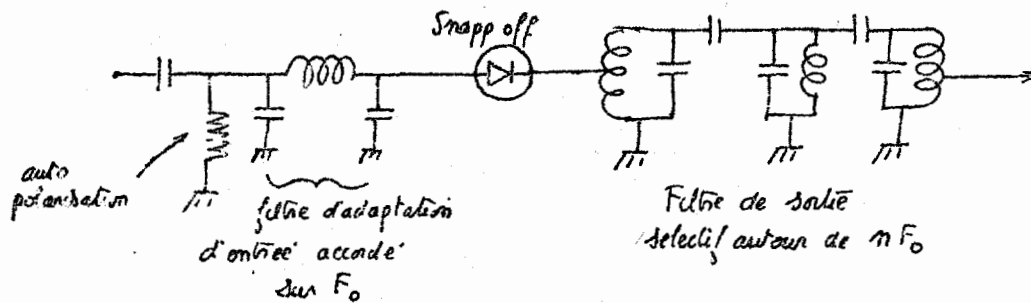


Ces snap-off ne sont pas par ailleurs très rapides, le temps de s'éteignage  $T_s$  peut atteindre 100 ns, par contre le temps de blocage du courant est typiquement de 30 ps. On constate qu'avec une transition aussi rapide la répartition de l'énergie des harmoniques créés va être très plate, presque indépendante du rang. On pourra utiliser de telles diodes pour des taux de multiplication très élevés.

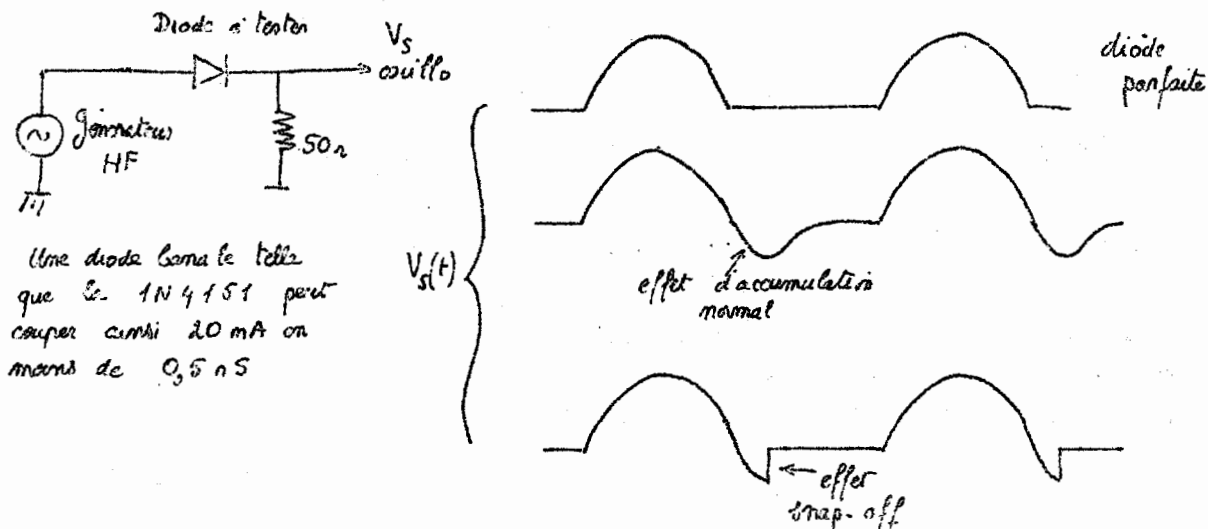


On peut par exemple passer directement de 100 MHz à 8 GHz. Le taux de multiplication utilisable est surtout limité par la technologie des filtres de sélection utilisés.

Un montage typique est le suivant:



Aux fréquences basses on peut pour faire des essais rechercher des diodes présentant un effet snap-off. Il suffit d'un générateur, un oscilloscope et une résistance de gros redresseurs présentent souvent cette caractéristique.



### III<sub>3</sub> Division de fréquences

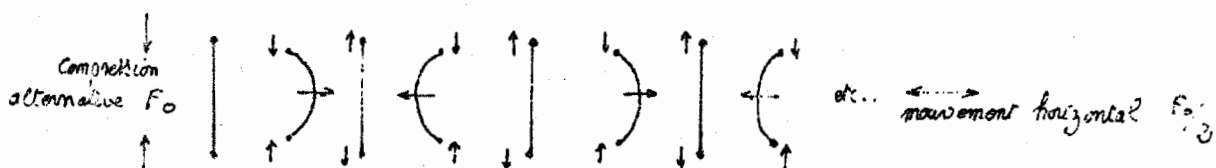
Il est très difficile de réaliser un multiplicateur à taux variable surtout pour des rapports élevés, mais cette fonction peut être remplie par un diviseur variable placé dans une boucle de contre réaction. On il est facile de réaliser des diviseurs de fréquence.

Bien que la division se fasse actuellement essentiellement avec des circuits logiques il nous faut citer d'autres procédés qui ont été utilisés

#### III<sub>3.1</sub> La division paramétrique

Dans certains cas précis le montage à caractére plus haut peut fonctionner en diviseur de fréquence, on nécessite alors de l'énergie dans les bases harmoniques  $F_0$ ,  $F_0'$ , etc...

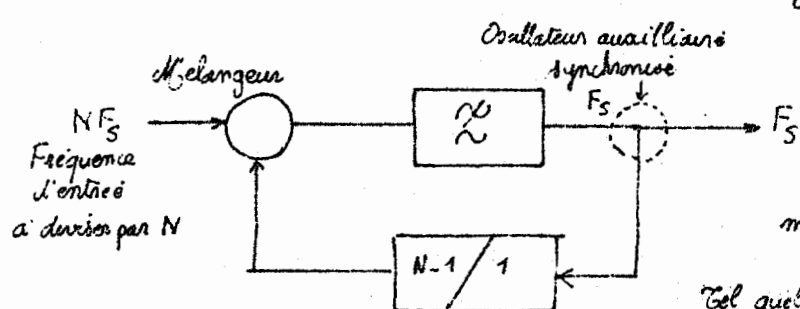
Le fonctionnement est un peu analogue à la feuille de papier qui comprimée latéralement se plie tantôt dans un sens tantôt dans l'autre, la fréquence "horizontale" est moitié de la fréquence d'excitation verticale



Référence : Gourneau Théo Gauthier

#### III<sub>3.2</sub> La division par multiplication en réaction (type Decauva)

On utilise comme le montre la figure suivante un multiplicateur placé dans une boucle de réaction



La fréquence de sortie est obtenue en faisant varier la fréquence d'entrée  $NF_5$  avec le résultat de la multiplication de  $F_S$  par  $N-1$  dans un circuit multiplicateur quelconque

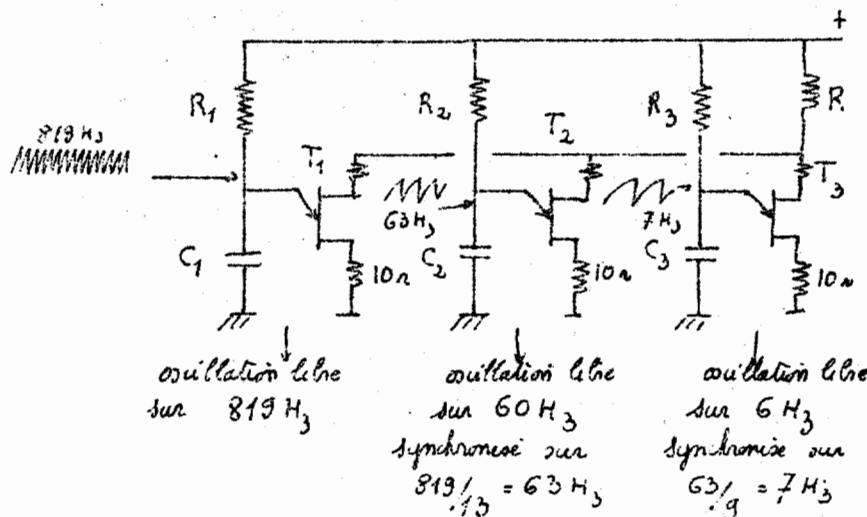
Tel quel le montage ne peut pas démarquer il faut utiliser un oscillateur auxiliaire oscillant légèrement au voisinage de  $F_S$  qui en fonctionnement normal se trouve synchronisé exactement sur cette fréquence

Ce montage a été utilisé pour réaliser des décades avec des tubes il est actuellement sans intérêt

#### III<sub>3.3</sub> Utilisation de multivibrateurs synchronisés

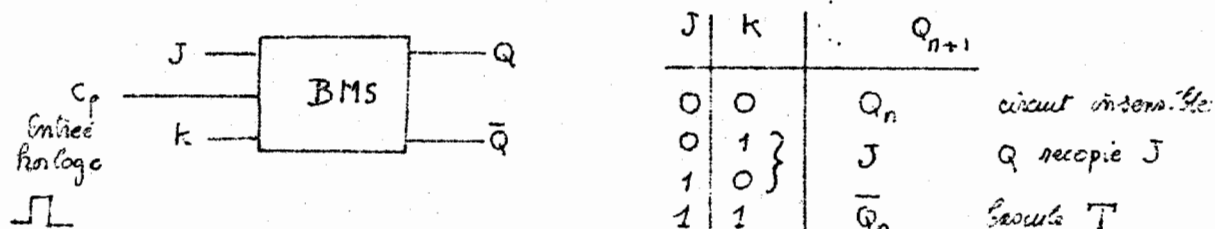
C'est un procédé encore intéressant pour l'économie de composants qu'il permet le réglage est d'autant plus critique que le taux de division est élevé, on peut cependant atteindre 11 ou 13 sans trop de difficultés

de montage ci-dessous est l'exemple d'un tel système réalisé avec des relaxateurs à UJT dont le couplage est assuré par la résistance commune R.



### III. 4 Division par compteurs

d'élément de base est le bascule JK matrice électronique dont on rappelle la table de vérité qu'il faut avoir parfaitement assimilée ;  $Q_{n+1}$  étant l'état de la sortie Q après la  $n$  ième impulsion d'horloge



Revenons que le basculement éventuel se produit toujours à la descente de l'impulsion d'horloge

la division par 2 ou plus généralement par  $2^n$  s'obtient immédiatement avec ces bascules et il est courant de s'étonner du fait ce sujet.

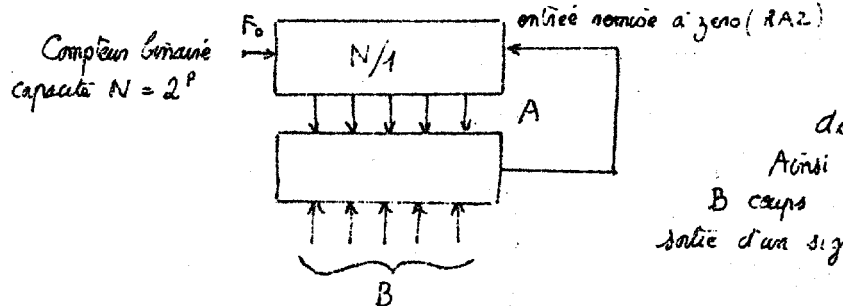
La division par  $n$  entier quelconque est également très aisée, la division par 10 par une décade peut être considérée comme un cas particulier. (voir cours Circuits digitaux)

Il est plus intéressant de considérer les compteurs programmables où le taux de division est variable et commandable à partir d'une information numérique. On peut ranger ces compteurs en 2 familles distinctes

#### 1) Compteurs à coïncidence

Sont un compteurs binaires par de capacité  $N$ , les sorties de chaque étage sont accessibles et matérialisent un nombre binaire qui varie de 0 à  $N-1$  pendant le comptage, désignons par A ce nombre.

On dispose d'autre part d'un comparateur binaire fournissant un niveau 1 lorsque les 2 nombres qui lui sont appliqués sont égaux de montage est alors le suivant :

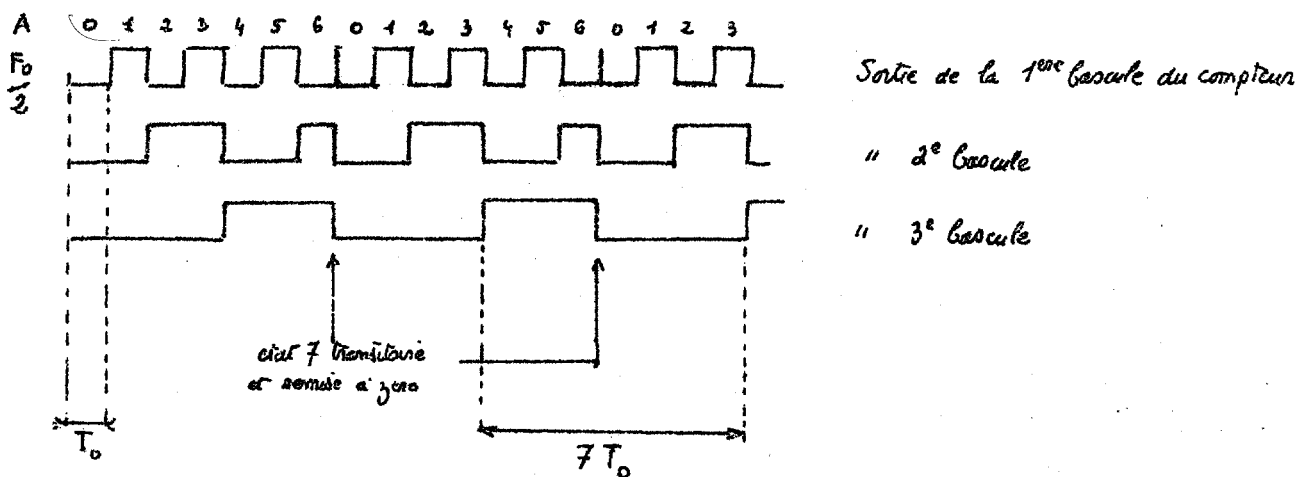


donc  $A$  devient égal au nombre bininaire à l'heure  $N$   
un signal de remise à zéro est envoyé au compteur qui revient donc l'état 0

Ainsi le compteur recycle tous les  $B$  coups on peut donc dépasser à la sortie d'un signal de fréquence  $F_0/B$

En faisant varier  $B$  le taux de division peut être choisi à volonté de 1 à  $N$

Pour exemple pour  $B=7$  avec 3 bascules dans le compteur ( $N=8$ ) on a :



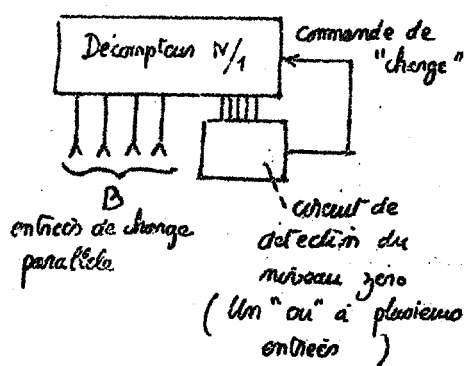
Ce montage par ailleurs très pratique car généralisable à  $B$  quelconque même grand n'a l'inconvénient moyen d'être lent. Il faut que la détection de coïncidence et remise à zéro soit effectuée avant que l'impulsion d'entrée durant  $T_0$  n'apparaisse. Avec des décades 7490 qui travaillent normalement à  $20 \text{ MHz}$  on ne peut avec ce montage dépasser  $4 \text{ MHz}$

## 2) Compteur à pré-détermination

On utilise un circuit à décompte qui est "chargé" à la valeur  $B$  au départ on détecte le passage par 0 et à ce moment on recharge le compteur à  $B$ . C'est le montage symétrique du précédent possédant le même inconvénient

(Il peut cependant être plus rapide car il évite des compteurs pour lesquels la charge est synchrone et provoquée par l'impulsion suivant la détection de la coïncidence (74162))

On perd ainsi un coup d'horloge dont il faut tenir compte dans la coïncidence. Cependant de toute façon l'une des opérations du cycle est différente des autres (chargement) ce qui limite la vitesse.



### 3°) Compteur à commutation du taux de division

On dispose d'un compteur pouvant varier sur commande par 2 sélecteurs discrètes  $N_1$  et  $N_2$ , il est suivi d'un système à comparateur analogue à celui déjà vu plus haut. Le comparateur utilisé est capable de nous renseigner sur la grandeur relative du nombre A affiché à un instant donné par le compteur de capacité P et B "consigne" appliquée de l'extérieur.

Supposons que le signal de sortie du comparateur soit tel que pour  $A < B$  le diviseur d'entrée devise par  $N_1$ , et devise par  $N_2$  pour  $A \geq B$ .

Au début A étant nulle le diviseur devise par  $N_1$  il faut donc  $N_1 B$  impulsions d'entrée pour que le compteur P atteigne le contenu  $A = B$ , il faut ensuite  $N_2 (P-B)$  temps pour qu'il revienne à zéro. Le taux de division global est donc

$$R = N_1 B + N_2 (P-B)$$

Il peut varier de  $P N_2$  (pour  $B=0$ ) à  $N_1 (P-1) + N_2$  (pour  $B=P-1$ )

Par exemple pour  $N_1=4$   $N_2=3$   $P=10 \rightarrow R = 4B + 3(10-B) = 30 + B$   
R peut varier de 30 à 39 lorsque la consigne B varie de 0 à 9

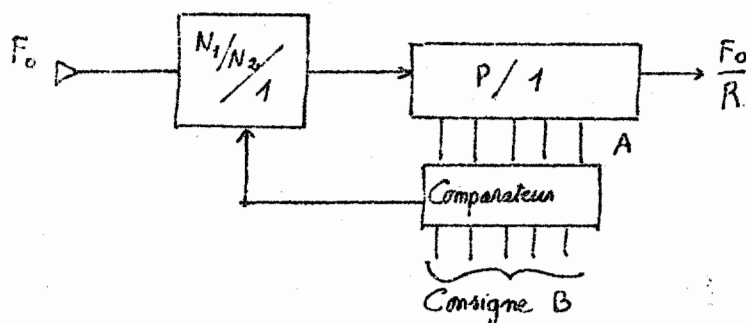
En inversant la polarité à la sortie du comparateur on peut obtenir un taux de  $N_2$  pour  $A < B$  et  $N_1$  pour  $A \geq B$  le taux devient

$$R = N_2 B + N_1 (P-B)$$

Il varie alors de  $P N_1$  à  $N_2 (P-1) + N_1$ , c'est à dire avec l'exemple numérique choisi de 40 à 31 pour B variant de 0 à 9, le sens relatif de variation de R et B est inversé.

Ce montage présente l'avantage de permettre un fonctionnement très rapide. Il n'y a en effet ni pré-détermination ni remise à zéro. De plus la commutation du taux de division du circuit d'entrée n'a pas besoin d'être rapide, on effectue presque qu'il ait d'abord un taux de division de  $N_1$ , à la  $N_1$  ième impulsion il revient à zéro et actionne P. Si alors la commutation de  $N_1 \rightarrow N_2$  est commandée il y a le temps pour le faire car le recyclage du diviseur n'intervient qu'au bout de  $N_1$  ou  $N_2$  impulsions d'entrée ; au début du comptage le fonctionnement est strictement le même que le recyclage soit sur  $N_1$  ou sur  $N_2$ . On peut donc utiliser pleinement la cadence maximale de comptage précise pour les comparateurs utilisés (jusqu'à 25 MHz avec la décade 7490). En TTL shottky on dépasse 100 MHz.

#### Diviseur programmable



### 3. 1. de compteur à 2 taux de division commutables

Il y a de nombreux systèmes possibles l'un des plus simples (mais non le plus rapide) est la mise en œuvre d'un registre à décalage à chargement parallèle (type 7495 par exemple)

#### 3. 1. 2) Utilisation d'un registre à décalage

- On peut appeler à un registre du genre 7495 possédant
- une entrée série
  - une sortie série  $Q_0$
  - 4 entrées parallèles sur les 4 cellules D constituant le registre
  - 4 sorties parallèles  $Q_A, Q_B, Q_C, Q_D$

Une entrée "horloge"

et une entrée "mode contrôle"  $M_C$

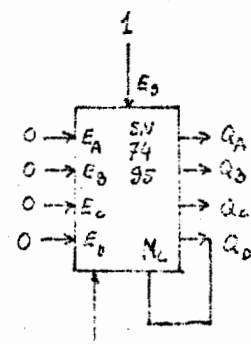
Si  $M_C$  est au niveau 1 le signal d'horloge provoque un chargement parallèle. Les grandeurs appliquées aux 4 entrées sont transférées dans les cellules du registre.

Si  $M_C = 0$  le signal d'horloge provoque un décalage à droite.

Sont alors le montage suivant :

- l'entrée série est au 1
- le  $M_C$  est relié à la sortie  $Q_0$
- les 4 entrées pour chargement parallèle sont au zéro

Supposons qui initialement  $Q_A = \dots = Q_D = 0$   
 $M_C = Q_D$  est au zéro, la 1<sup>re</sup> impulsion d'horloge fait entrer le 1 présenté en  $E_S$  dans la 1<sup>re</sup> cellule  
 Ce 1 progresse ensuite aux impulsions suivantes



	$Q_A$	$Q_B$	$Q_C$	$Q_D = M_C$
Etat initial	0	0	0	0
Après le 1 <sup>er</sup> top	1	0	0	0
2	1	1	0	0
3	1	1	1	0
4	1	1	1	1
5	0	0	0	0

Après la 4<sup>e</sup> impulsion d'horloge  $Q_D = M_C$  prend la valeur 1. da 5<sup>e</sup> impulsion produit donc un chargement parallèle qui ramène dans l'état initial

Le système est donc un diviseur par 5

Si maintenant les valeurs affichées sur les entrées parallèles ne sont plus 0 mais par exemple 1 0 0 0 le fonctionnement devient :

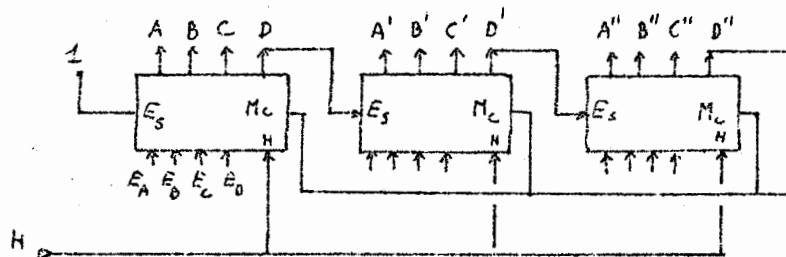
	$Q_A$	$Q_B$	$Q_C$	$Q_D = M_C$
Après chargement II	1	0	0	0
Progression	1	1	0	0
	2	1	1	0
	3	1	1	1
	4	1	0	0

) chargement II

Il ne suffit que de 4 impulsions on a obtenu un diviseur par 4

On pourra vérifier qu'en appliquant sur les entrées 1100 ou 0100 on obtiendra une division par 3, avec 1110 une division par 2

Le système est généralisable à une division par un nombre quelconque. Par exemple avec 3 registres en série on peut avoir un taux de division négatif de 13 à 2.



Avec  $E_A = E_B = E_C = E_D = \dots = 0$  mais  $E_{C'} = 1$  (le seul valant 1) on obtient

Etat après chargement //

après le top

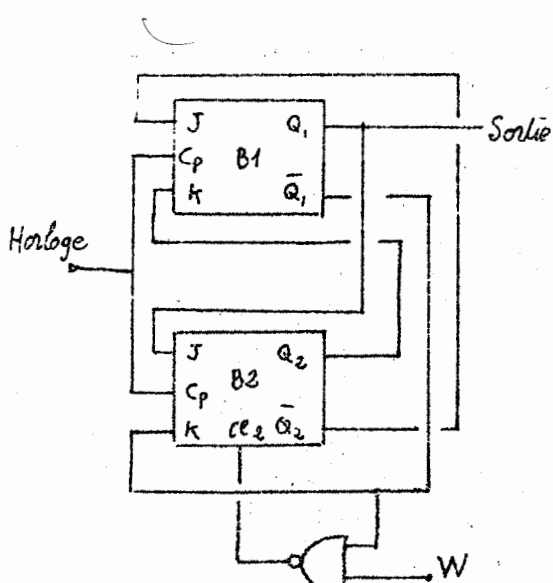
	0 0 0 0 0 0 1 0 0 0 0	
1	1 0 0 0 0 0 0 1 0 0 0	
2	1 1 0 0 0 0 0 0 1 0 0	
3	1 1 1 0 0 0 0 0 0 1 0	
4	1 1 1 1 0 0 0 0 0 0 1	top 5

C'est un diviseur par 5

### 2.1. b) Utilisation de bascules bi-stables

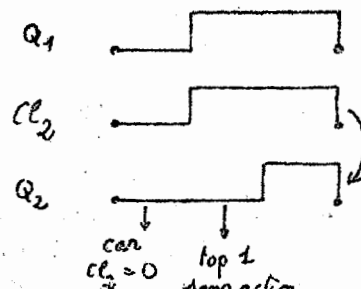
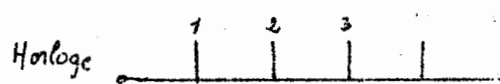
Un diviseur par 4 peut être réalisé simplement avec deux JK. Par exemple le montage suivant ayant comme table de vérité :

n	Q <sub>1</sub>	Q <sub>2</sub>
0	0	0
1	1	0
2	1	1
3	0	1
4	0	0



Pour faire reculer le circuit à la 3<sup>e</sup> impulsion il suffit d'appliquer un zéro sur l'entrée clear de B2 lorsque l'état 3 est atteint. Ceci peut être obtenu en reliant l'entrée clear à Q<sub>1</sub>, en effet Q<sub>1</sub>=0 pour l'état 3. B<sub>2</sub> sera alors forcée dans l'état zéro à la 3<sup>e</sup> impulsion, mais également lorsque le compteur est dans son état initial. Ceci n'est pas gênant car la 1<sup>re</sup> impulsion n'agit pas de toute façon sur B<sub>2</sub>.

des formes d'onde sont les suivantes =



Pour réaliser un circuit divisant à volonté par 3 ou 4 il faut ajouter une entrée de commande permettant d'effectuer au moins la norme à zéro au 3<sup>e</sup> top. On utilisera pour cela un "nand" dont l'effet inverseur sera compensé en utilisant Q<sub>1</sub> au lieu de Q<sub>1</sub>

car  $Q_1 = 0$  top 1 sans action

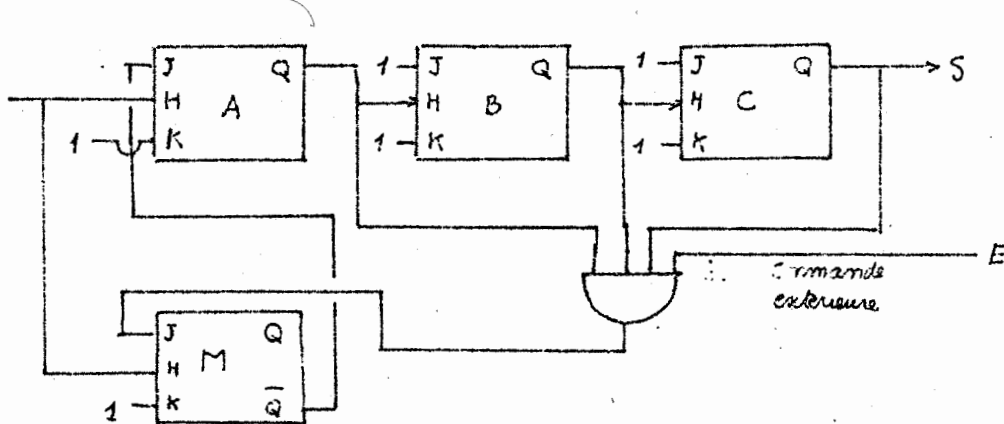
Si  $W=0$  la porte est bloquée le circuit divise par 4  
 $W=1$  il divise par 3

Des montages de ce type peuvent être aisement imaginés pour d'autres bases de dévision.

### 3.1. C de compteur à "piégeage"

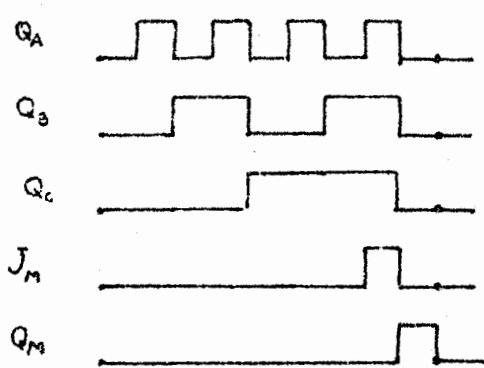
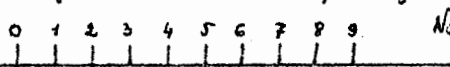
Nous allons traiter un cas particulier qui est un compteur par 8 qui grâce à un artifice de "piégeage d'une impulsion" peut être transformé en compteur par 9.

Le montage comporte d'abord un ensemble de 3 bœufs SR, mais en série constituant le diviseur par 8 de base (chaîne de comptage asynchrone)



Si la bœuf A a son K à 1 on a un clignotement sur S. Ajoutons une 4<sup>e</sup> bœuf, M, dont le J est l'opposé du temps 2 (c'est à dire que Q<sub>M</sub> se mette alors au 1) amenant au niveau haut le J de A

A un moment donné du cycle  $Q_A = Q_B = Q_C = 1$ , alors si la commande extérieure est au 1  $J_M = 1$ . On a donc  $\overline{Q_M} = 1$   $J_A = 1$  d'impulsion suivante :  
 - agit sur A puisque  $J_A = \overline{Q_M} = 1$  avant le top  
 - agit sur M ou  $Q_M$  reçoit  $J_M$  donc  $Q_M$  passe à zéro  
 on passe alors à l'état  $Q_A = Q_B = Q_C = 0$   $J_M = 0$   $Q_M = 0 = 1$   
 d'impulsion suivante n'agit pas sur A car  $J_A = 0$  et  $Q_A$  est déjà au zéro mais elle agit sur M,  $Q_M$  recevant  $J_M$  passe à zéro. On voit sur le diagramme ci-dessous qu'il faut avoir 8 tops pour retrouver l'état initial.



Naturellement si  $E=0$  on retrouve le compteur par 8.  
 Dans ce système le retard est limité par l'apparition du 1 sur le J de M mais ce 1 provient de la combinaison de 4 signaux dont :

$K$  qui est une commande extérieure donc l'impulsion.  
 $Q_C$  qui est au 1 depuis 3 périodes d'impulsion.

$Q_0$  " " 1 "  
 Le retard n'intervient qu'entre le basculement du seul  $Q_A$  et l'apparition du  $J_M = 1$  (retard de la porte et de la bœuf A).

Avec un tête (pour A et M) de la TTL Schottky et dernière de la TTL normale on atteint 100 MHz.

Généralisation: On peut mettre une série de piégeage à n'importe quel étage du compteur, le nombre de temps d'entrée qui seront piégés dépend de la position dans la chaîne de transmission binaire. On peut donc piéger n'importe quelle impulsion que l'on veut. C'est une structure très intéressante pour constituer un compteur à deux commutateurs.

### 3. 2°) Système de pilotage du compteur de tête à 2 taux commutables

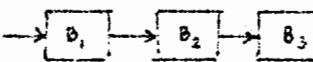
#### 2. a) Comparaison directe du contenu du compteur secondaire P et de la consigne B

C'est le montage de base représenté plus haut. On utilise un montage comparateur (exemple comparateur à 4 bits 7485). En pratique la vitesse de comptage dépend de la valeur de la consigne B, c'est le problème général de la "retourne avancée" dans les compteurs.

Retourne avancée dans les compteurs.

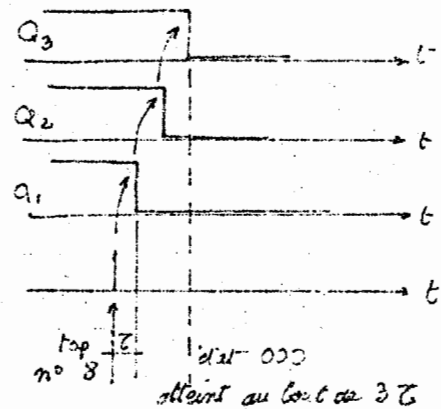
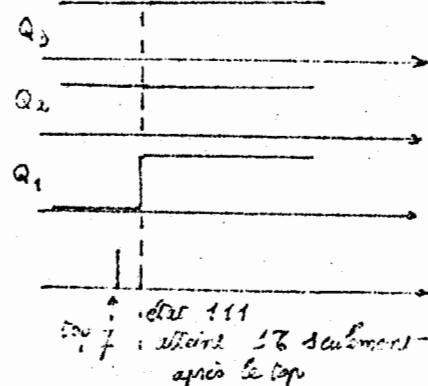
La commande de commutation de taux de comptage est obtenue à partir d'une coïncidence entre divers états d'un compteur, mais la nature de cette coïncidence n'est pas indifférente si l'on se préoccupe des performances en vitesse du montage. Considérons par exemple les divers états d'un compteur binaire à 3 étages (compteur par 8).

	Q <sub>1</sub>	Q <sub>2</sub>	Q <sub>3</sub>
1	0	0	0
2	1	0	0
3	0	1	0
4	1	1	0
5	0	0	1
6	1	0	1
7	0	1	1
8	0	0	0



La détection de l'état 000 est un très mauvais cas car pour passer de 1 et d'être 000 il faut tout le fonctionnement et le temps de retard s'ajoutent comme le montre la figure à droite

Au contraire en choisissant l'état 111, seule une seule intervention, la vitesse peut être triplée



#### 2. b) Utilisation d'un Multiplexeur de Rythme digital (Binary Rate Multiplexer BRM)

d'expansion caténaire plus haut

$$R = N_1 B + N_2 (P-B)$$

montre que pendant un cycle complet du compteur  $P$  le diviseur d'entrée doit diviser  $B$  par  $N_1$  et  $(P-B)$  par  $N_2$

de BRM est un circuit qui permet  $P$  impulsions d'un cycle en sorte un nombre fixe  $B$ . Une variante de ce montage peut fournir un signal dont la durée est le  $B/P$  temps d'un cycle de  $P$   
Prenons un exemple avec  $P = 10$  (une décade)

Etat	$Q_1$	$Q_2$	$Q_3$	$Q_4$	$f_B$	Sur 10 intervalles
0	0	0	0	0	0	le temps l'état
1	1	0	0	0	0	$\bar{Q}_4 = 1$ dure 8
2	0	1	0	0	0	$\bar{Q}_3 = 1$ dure 4
3	1	1	0	0	0	$\bar{Q}_2 \bar{Q}_3$ dure 2
4	0	0	1	0	0	$\bar{Q}_1 \bar{Q}_4 = 1$ dure 1
5	1	0	1	0	0	
6	0	1	1	0	0	
7	1	1	1	0	0	
8	0	0	0	1	1	Il est donc aussi de
9	1	0	0	1	1	1/2 temps des durées 1, 2, 4, 8

Pour des temps qui ne sont pas multiples de 2 on peut effectuer une combinaison des temps précédents à condition qu'ils ne se chevauchent pas

On prendra par exemple :

$f_B$  durée 8 par  $\bar{Q}_4 = 1$

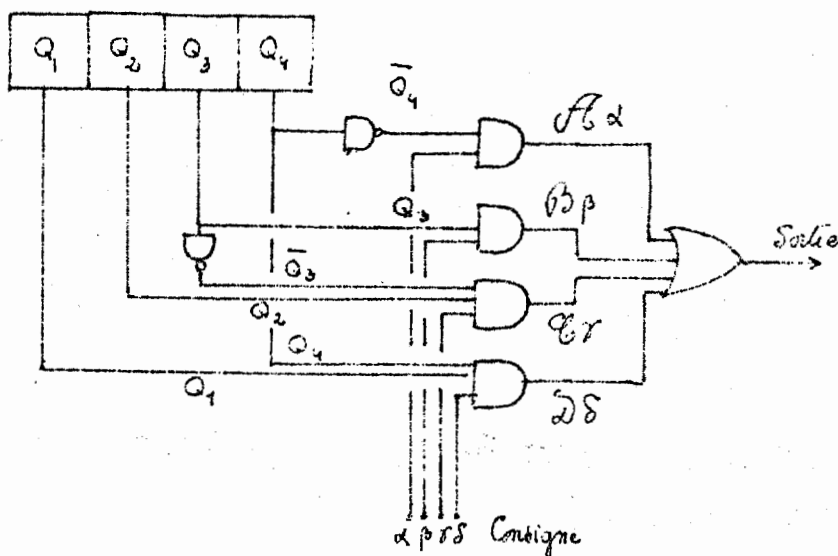
$\beta_B$  durée 4 par  $\bar{Q}_3 = 1$

$f_B$  et  $\beta_B$  se chevauchent dans le temps mais ils ne sont jamais utilisés simultanément car leur somme est supérieure à 10

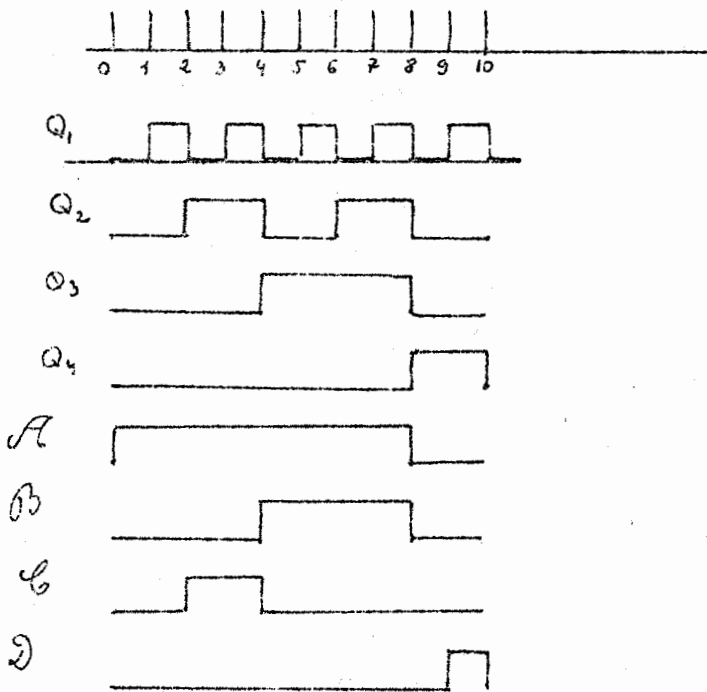
$\mathcal{C}$  durée 2 par  $\bar{Q}_2 \bar{Q}_3$

$\beta_D$  durée 1 par  $\bar{Q}_1 \bar{Q}_2$  par exemple (la combinaison  $\bar{Q}_1 \bar{Q}_2$  convient également car elle ne se chevauche dans le temps avec aucune autre)

En ajoutant des portes de sortie permettant d'introduire le signe  $B$  sous forme binnaire  $[\alpha \beta \delta \gamma]$  on obtient le circuit ci-dessous



Affichons par exemple  $\alpha\beta\delta = 0101$  (5) on obtient le diagramme de fonctionnement suivant:



$\alpha\beta\gamma\delta = P(B+C+D)$

$$\text{---} \quad \underbrace{\text{---}}_{4} + \underbrace{\text{---}}_{1} = 5$$

Nous donnerons plus loin un exemple de compteur à deux variables utilisant un circuit de ce type.

### 3.3 Exemples

- a) Soit à réaliser un diviseur fixe par 79, on peut faire appel à une structure classique avec des JK attoués à des portes que l'on détermine en tracant les diagrammes de Karnaugh en fonction du cycle de fonctionnement désiré. C'est une méthode lourde qui nécessitera au moins 7 bâtonnets ( $2^7 = 128 > 79$ ) et de nombreuses "nand" à plusieurs entrées.

Il est plus élégant de remarquer que

$$79 = 80 - 1$$

ou

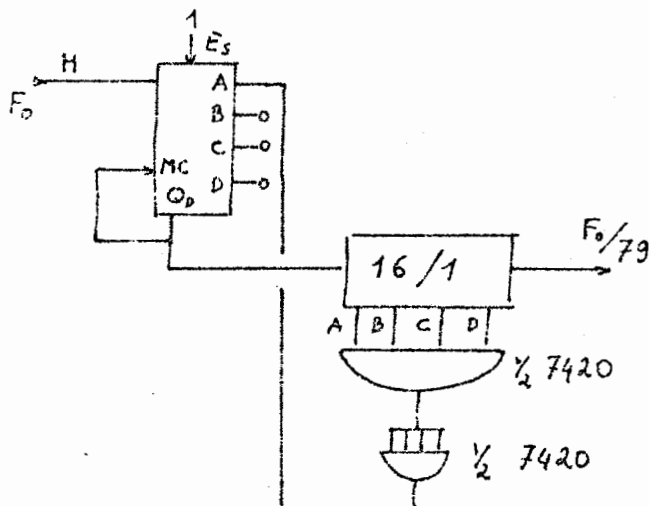
$$79 = 16 \times 4 - 1 = (15 \times 5) + (1 \times 4)$$

On utilisera donc un diviseur de tête par 4 ou 5 suivi d'un diviseur par 16 et on fera en sorte que pour une position et une tensio du diviseur par 16 l'étage de tête donne par 4 au lieu de 5.

On pourra utiliser en tête un registre 7495 monté comme il a été indiqué plus haut pour  $A=0$  il divise par 5  
pour  $A=1$  il divise par 4

Le diviseur par 16 sera le plus basique 7493 et il faut choisir l'un des états pour amener à 1 le A du registre. En vertu de ce qui a été signalé plus haut il ne faut pas choisir le niveau 0000 qui n'apparait qu'après 4 secondes individuelles mais par exemple le 1111 obtenu par le basculement d'un seul étage.

D'où le schéma très simple n'utilisant que 3 boîtiers TTL



En modifiant les taux au niveau de la comparaison ou sur le registre on peut obtenir d'autres taux de division. Par exemple en reliant la sortie des ET à A et B du 7495 et non au A seul, le diviseur de tête divisé par 5 ou 3 etc.

$$R = 15 \times 5 + 1 \times 3 = 78$$

### c) Diviseur par 30 à 33 lorsque la consigne passe de 0 à 9

$$\text{On veut } R = 30 + B$$

$$\text{que l'on peut écrire } R = 4B + 3(10-B)$$

Il faut utiliser un diviseur par 3 ou 4 suivi d'un diviseur par 10 qui lui commandera de diviser B fois par 4 et  $(10-B)$  fois par 3

- Pour le diviseur par 3 et 4 on utilisera par exemple le montage à 2 bexules cité plus haut (p. 42)

Il divise par 3 si  $W = 1$   
4 si  $W = 0$

- de circuit de commande associé à une décade sera du type BRM :

Il nous faut fabriquer un signal qui pendant un cycle de 10 vaut 0 et 1 alternativement à l'entrée de la décade vaudra [0] B fois et [1]  $(10-B)$  fois. Ce signal atteignera alors l'entrée de commande W du diviseur variable devait être haut.

Naturellement la consigne B doit être appliquée sous forme digitale (c'est à dire en quelque sorte d'une tétrade  $[d_3d_2d_1d_0]$ ) pouvant prendre toutes les valeurs entre [0000] et [1001]. Il est naturel d'essayer de fabriquer les signaux valant 0 pendant des durées 8 - 4 - 2 - 1 que nous combineraons ensuite.

On considérera la table de fonctionnement d'une décade

- le signal le plus simple valant 0 pendant 8 cycles d'horloge est  $d_3 = D$

- le signal le plus simple valant 0 pendant 4 " " "

- " " " " 2 " "

- " " " " 1 " "

$$d_2 = \bar{C}$$

$$d_1 = BC$$

$$d_0 = \bar{D}A \text{ ou } \bar{D}\bar{A}$$

Ces signaux sont fabriqués aisément avec des "Nand"

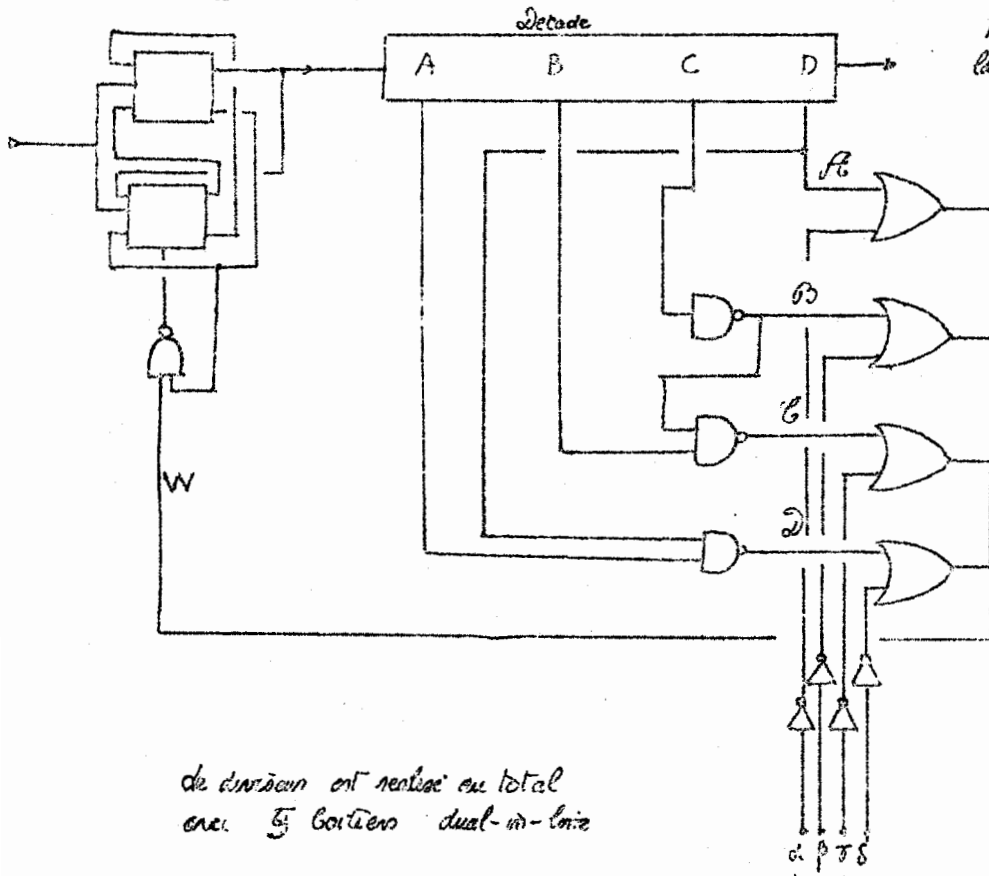
## Table de fonctionnement d'une décade

Table de fonctionnement d'une décade				
a	A	B	C	D
0	0	0	0	0
1	1	0	0	0
2	0	-1	0	0
3	1	1	0	0
4	0	0	1	0
5	1	0	1	0
6	0	1	1	0
7	1	1	1	0
8	0	0	0	1
9	1	0	0	1

Si l'on desire que l'addition donne un "ou"  
 d'un signal de durée  $2^m$  ( $1-2-4$  ou  $8$ )  
 et d'un autre de durée  $2^n$  dure au total  
 $2^m + 2^n$  il faut que les 2 signaux  
 soient déjoutés dans le tempo dont ne  
 se produisent pas pour les mêmes étages  $n$   
 de la décade, c'est à dire des signaux  
 $B_3$  et  $C_3$  ou  $B_2$  et  $D_2$   
 mais non  $B_3$  et  $B_2$  ou  $C_3$ , cette dernière  
 coïncidence n'a pas d'importance car le signal  $B_3$   
 n'est jamais additionné à  $B_2$  ou  $C_3$ , en effet  
 $8+2$  ou  $8+4$  sont supérieurs à  $9$  et ne sont donc  
 jamais utilisés.

Pour combiner les signaux sur commande d'une consigne B il faut prévoir 4 portes bloquant ou non les 4 signaux précédents et commandées par les digits  $\alpha^{3\&8}$  de B

Dans ce qui précède c'est le niveau O qui est utile, on l'obtiendra en injectant un 1 sur la 2<sup>e</sup> entrée d'un "or".



de division ont réalisé en total  
avec 500000 dual-m-bois

1. 7473 adulte JK  
 1 7490 déconde  
 1 7400 quadruple nomé!  
 1 quadruplé ou

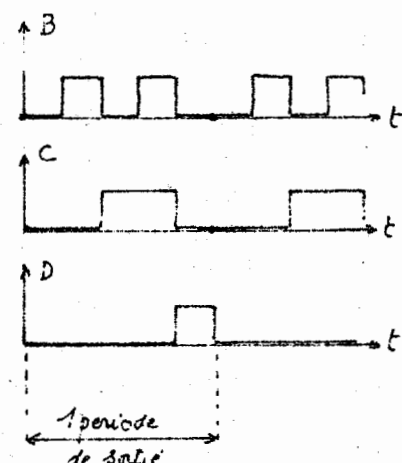
### III.3.3 Utilisation du contenu harmonique des formes d'ondes logiques

On peut utiliser les formes d'ondes produites par les circuits logiques non pas seulement comme transitions 0-1 c'est à dire information binaire mais comme signal de forme particulière dont la composition harmonique peut être exploitée pour réaliser telle ou telle fonction.

Pour générer par exemple un signal de fréquence  $\frac{2}{3} f_0$  on peut diviser d'abord le signal d'entrée de fréquence  $f_0$  par un compteur  $B$  de rapport 3 et sélectionner dans le résultat l'harmonique de rang 2. Pour certains valeurs de  $B$  et 2 cet harmonique 2 peut avoir un niveau plus élevé que celui des autres et être ainsi très facile à filtrer.

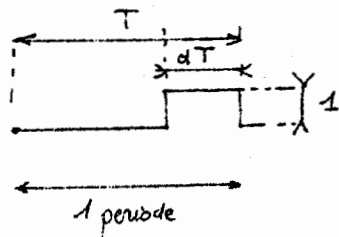
Considérons le cas important d'une décade, elle est constituée par la mise en série d'un diviseur par 5 et d'un diviseur par 3. La liste de vérité du diviseur par 5 est la suivante :

	B	C	D
0	0	0	0
1	1	0	0
2	0	1	0
3	1	1	0
4	0	0	1
5	0	0	0



D'où les signaux correspondants :

Pour calculer le transformée de Fourier le plus simple est de remarquer qu'une onde définie par le paramètre  $\alpha$  (figure ci-dessous)



$\alpha$  pour décomposition

$$\frac{2}{\pi L} \left[ \sin d\pi \cos x + \frac{1}{2} \sin 2d\pi \cos 2x + \dots + \frac{1}{n} \sin nd\pi \cos nx + \dots \right]$$

Remarque importante

des signaux préservés dans un circuit de division par  $k$  ne comportent pas d'harmoniques  $nk$  ( $n$  entier)

En effet dans un diviseur par  $k$  les  $\alpha$  qui interviennent sont toujours de la forme  $\alpha = \frac{p}{k}$  où  $p$  est un entier ( $0 < p < k$ )

le  $nk^{ème}$  harmonique a comme amplitude

$$\frac{1}{nk} \sin nk \cdot \frac{p}{k} \pi = \frac{1}{nk} \sin np \pi$$

Or  $np$  est un entier,  $\sin (np) \pi = 0$

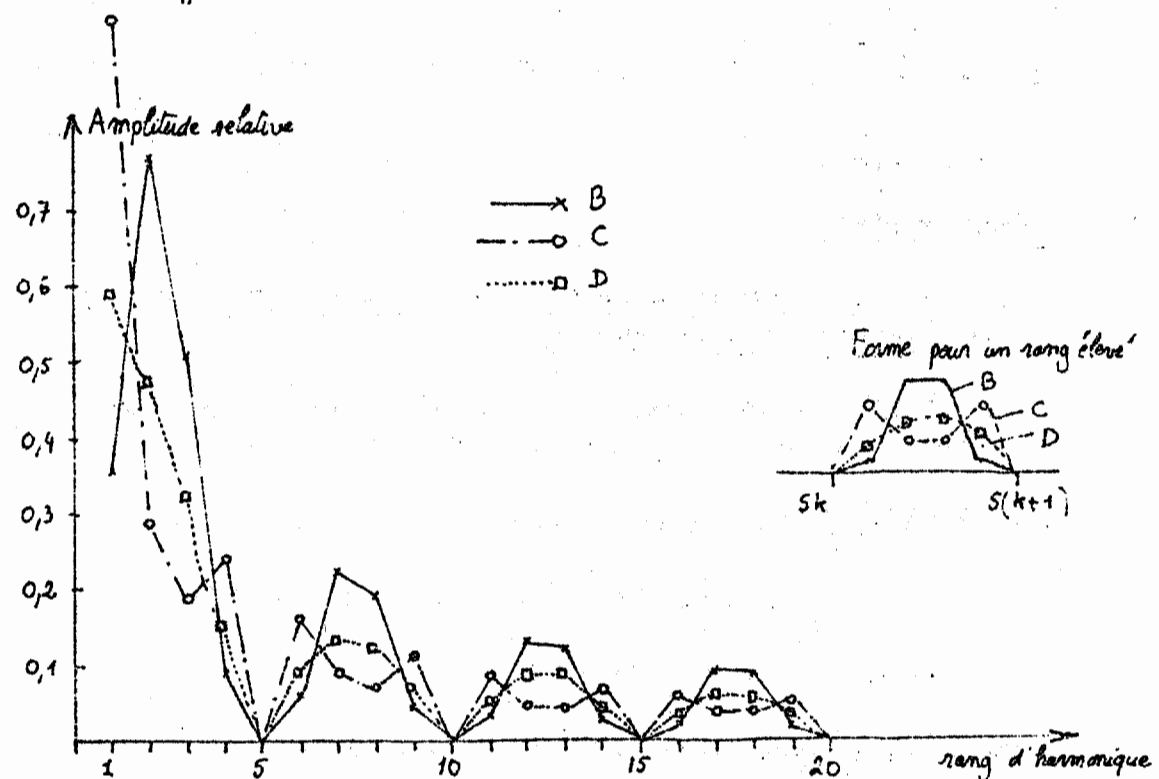
Pour calculer la décomposition du signal B nous écrivons :

$$B = \text{signal avec } \alpha = 0,6 - \text{signal avec } \alpha = 0,2$$

$$(B) = \frac{2}{\pi} \left[ (\sin 0,6\pi - \sin 0,2\pi) \cos x + \frac{1}{2} (\sin 1,2\pi - \sin 0,4\pi) \cos 2x \right. \\ \left. + \frac{1}{3} (\sin 1,8\pi - \sin 0,6\pi) \cos 3x + \frac{1}{4} (\sin 2,4\pi - \sin 0,8\pi) \cos 4x \right. \\ \left. + \frac{1}{5} (\sin 3\pi - \sin \pi) \cos 5x + \dots \right]$$

On obtient les résultats numériques suivants

Rang de l'harmonique	Amplitude relative (unité $2/\pi$ )		
	B dB	C dB	D dB
1	0,36	-8,9	0,95
2	0,77	-2,3	0,29
3	0,51	-5,8	0,19
4	0,09	-20,9	0,24
6	0,06	-24	0,158
7	0,22	-13	0,084
8	0,19	-14	0,073
9	0,04	-28	0,105
11	0,033	-29,6	0,086
12	0,128	-17,8	0,049
13	0,118	-18,6	0,045
14	0,025	-32	0,068
16	0,022	-33	0,059
17	0,090	-21	0,034
18	0,085	-21,4	0,0326
19	0,019	-34,4	0,050

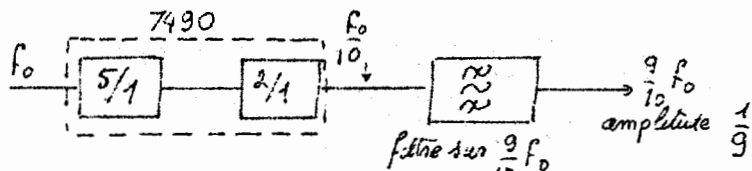


- Dans le signal B les harmoniques de rang  $5n \pm 2$  sont favorisés par rapport à  $5n \pm 1$
- Pour C au contraire ce sont les harmoniques de rang  $5n \pm 1$  qui sont les plus importants

### Exemples

1<sup>o</sup>) Sort d'abord à réaliser  $\frac{9}{10} f_0$

On peut penser à diviser d'abord par 10 puis à prendre le 9<sup>e</sup> harmonique du résultat. Il faudra bien sûr isoler ce 9<sup>e</sup> harmonique parmi les 8<sup>e</sup> et le 10<sup>e</sup>. Il est donc fondamental pour effectuer cette division par 10 de diviser d'abord par 5 et ensuite par 2 de façon à obtenir un signal dépourvu d'harmoniques pairs ou symétriques. De toute façon on isolera une amplitude de  $\frac{1}{9}$  d'harmonique 9.



Cependant on a à la sortie une information toutes les 9, si on a un bruit de phase à la sortie du diviseur par 10, ce bruit se trouve multiplié par 9. Il vaut mieux utiliser le 2<sup>e</sup> procédé qui consiste à envoier

$$9 = 10 - 1$$

et à soustraire de  $f_0$  son dixième  $f_0 - \frac{f_0}{10} = \frac{9}{10} f_0$

deux fréquences à soustraire étant multiples l'une de l'autre on peut faire appel à un ou exclusif, en effet :

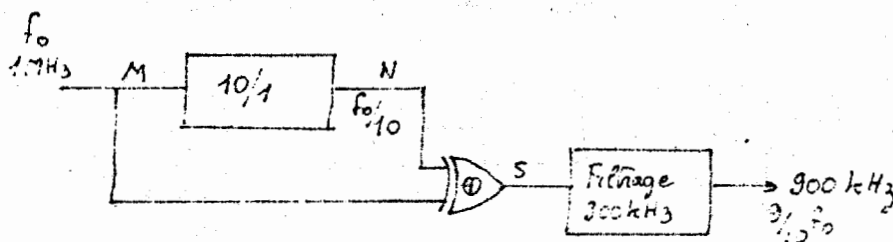
la table de vérité du circuit identité qui est le complément du ou exclusif est :

A	B	$S = A \ominus B = \overline{A \oplus B}$
0	0	1
1	1	1
1	0	0
0	1	0

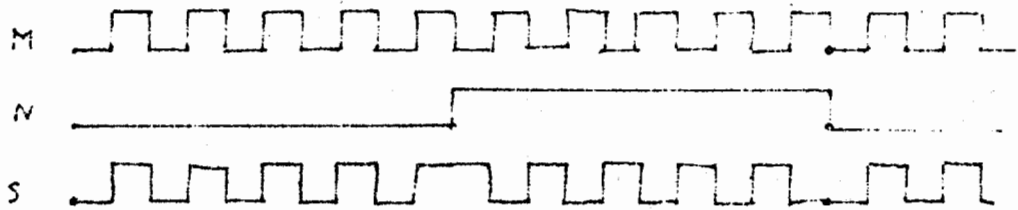
En associant le 1 logique à une tension +1V et le 0 à une tension -1V on obtient une nouvelle table qui est la règle des signes pour le multiplication

V <sub>A</sub>	V <sub>B</sub>	V <sub>S</sub>	de l'ou exclusif (ou son complément)
-	-	+	est donc un multiplicateur, on pourra
+	+	+	l'utiliser pour effectuer des sommes ou différences
-	+	-	de fréquences
+	-	-	

ce circuit est :



ces formes d'onde sont les suivantes :



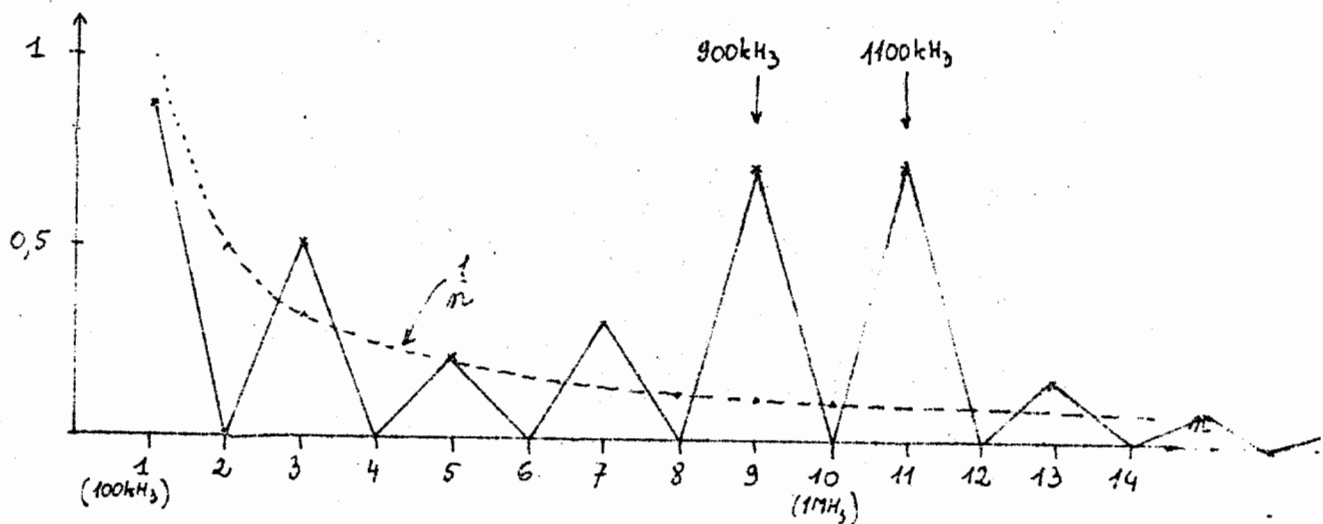
de méthode d'analyse spectrale décrite plus haut est encore utilisable  
il faut combiner 9 signaux ayant des durées de 0,9 à 0,1  
Symboliquement :

$$(0,9) - (0,8) + (0,7) - (0,6) + (0,5) - (0,4) + (0,3) - (0,2) + (0,1)$$

on obtient :

Fréquence	100kHz	200	300	400	500	600	700	800	900	1MHz	1,1	1,2	1,3	1,4	1,5	1,6	1,7
Amplitude relative	0,84	0	0,50	0	0,20	0	0,28	0	0,70	0	0,70	0	0,15	0	0,04	0,03	

D'où le spectre



On voit apparaître les raies prédominantes à  $-900 - 1100 \text{ kHz}$  que l'on peut isoler  
évidemment par filtrage

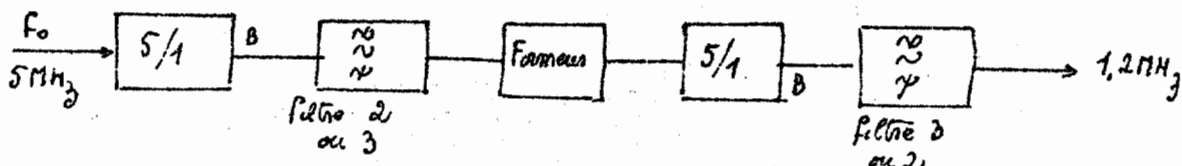
d'énergie renvoyer sur l'harmonique intéressant où bien plus grande qu'avec  
le procédé précédent : 0,70 au lieu de  $1/9$

2<sup>e</sup> exemple

Soit à réaliser  $\frac{6}{25} f_0$  ( $1,2 \text{ MHz}$  à partir du  $5 \text{ MHz}$ )

$$\text{Il faut faire } f = \frac{2}{5} \times \frac{3}{5} f_0$$

D'où le système utilisant la propriété de la sortie B d'avoir beaucoup d'harmoniques  
2 et 3



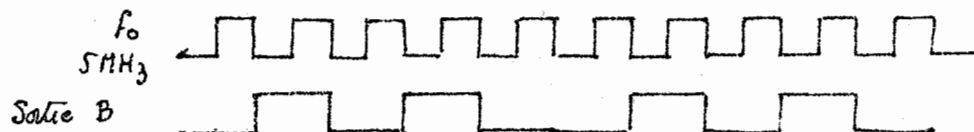
Il y avait 2 possibilités de filtreage possible :

$$5 \text{ MHz} \rightarrow \frac{5}{1} \xrightarrow{\text{filtre par } 2} 2 \text{ MHz} \xrightarrow{\frac{5}{1}} 400 \text{ kHz} \xrightarrow{\text{filtre par } 3} 1,2 \text{ MHz}$$

ou

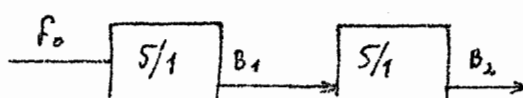
$$\rightarrow \left(\frac{5}{1}\right) \rightarrow (\times 3) \rightarrow 3 \text{ MHz} \left(\frac{5}{4}\right) \rightarrow 600 \text{ kHz} (\times 2) \rightarrow 1,2 \text{ MHz}$$

Mais un recours est possible, si on a le choix lors du 1er filtrage de choisir le 2<sup>e</sup> ou le 3<sup>e</sup> harmonique, en nombre de transitions par unité de temps de la sortie B et y en a 2 par période (du signal de sortie B)

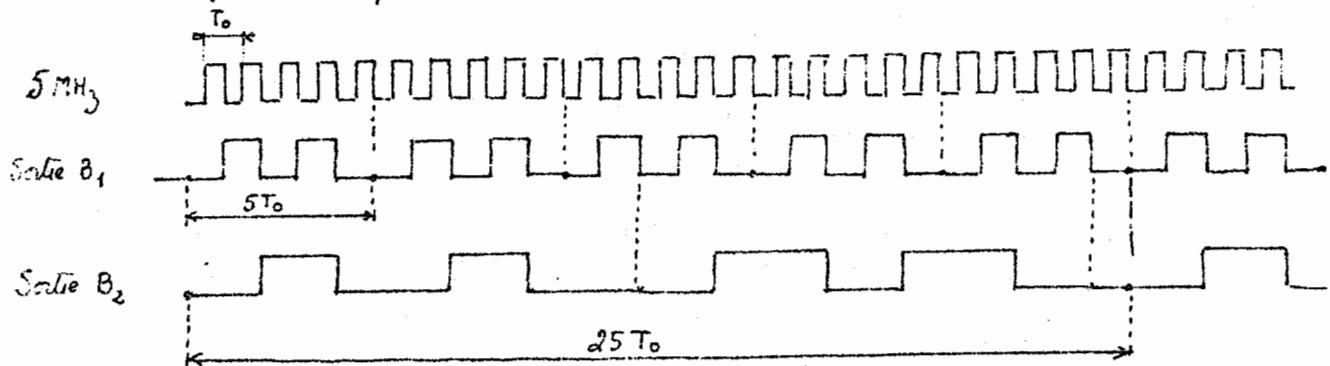


on peut donc être tenté de supprimer le filtre et le formeur et enterrer directement la sortie B<sub>1</sub> précédente sur l'entrée du second diviseur.

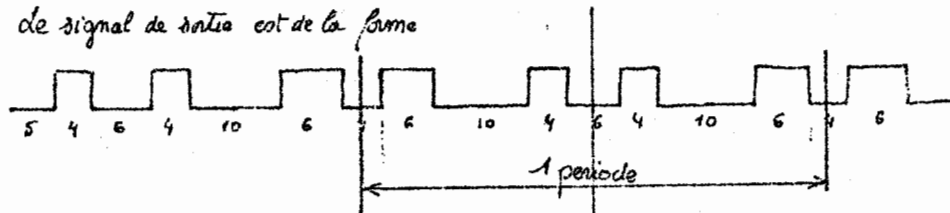
Cela marche fort bien comme le montre le calcul complet fait ci-dessous



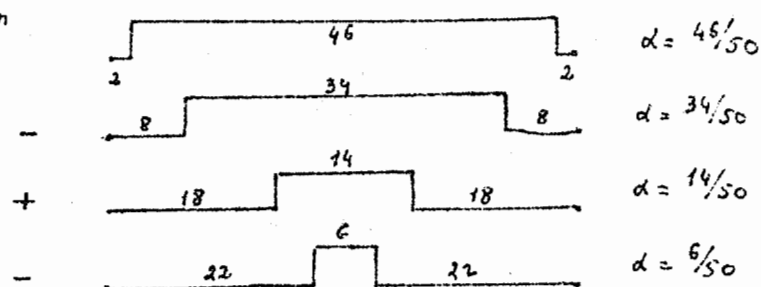
des signaux ont la forme suivante :



de signal de sortie est de la forme



on peut le décomposer en



On a donc

$$\text{Amplitude du } 1^{\text{er}} \text{ harmonique} \quad \left( \sin \frac{46}{50} \cdot 180^\circ - \sin \frac{34}{50} \cdot 180^\circ + \sin \frac{14}{50} \cdot 180^\circ - \sin \frac{6}{50} \cdot 180^\circ \right)$$

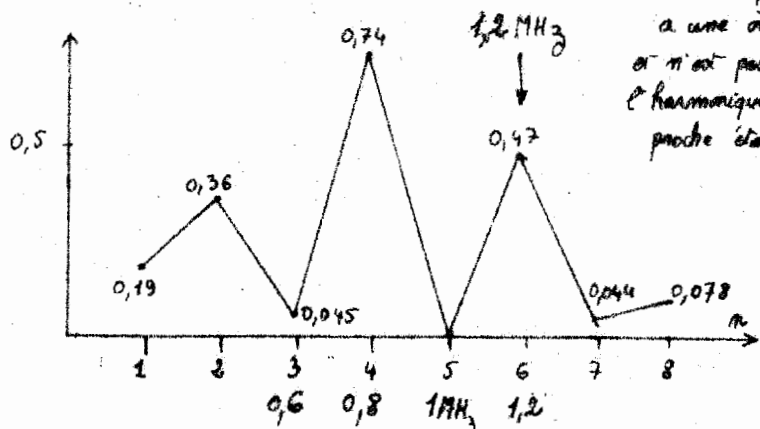
$$2^{\text{e}} \text{ harmonique} \quad \frac{1}{2} \left( \sin \frac{46}{25} \cdot 180^\circ - \sin \frac{36}{25} \cdot 180^\circ + \sin \frac{14}{25} \cdot 180^\circ - \sin \frac{6}{25} \cdot 180^\circ \right)$$

$$3^{\text{e}} \text{ harmonique} \quad \frac{1}{3} \left( \sin \frac{3 \cdot 46}{50} \cdot 180^\circ - \sin \frac{3 \cdot 34}{50} \cdot 180^\circ + \sin \frac{3 \cdot 14}{50} \cdot 180^\circ - \sin \frac{3 \cdot 6}{50} \cdot 180^\circ \right)$$

$$4^{\text{e}} \text{ harmonique} \quad \frac{1}{4} \left( \sin \frac{4 \cdot 46}{50} \cdot 180^\circ - \sin \frac{4 \cdot 34}{50} \cdot 180^\circ + \sin \frac{4 \cdot 14}{50} \cdot 180^\circ - \sin \frac{4 \cdot 6}{50} \cdot 180^\circ \right)$$

etc...

de sorte calculé sur le suivant :



On voit que le  $6^{\text{e}}$  harmonique a une intensité importante et n'est pas difficile à séparer de l'harmonique voisine le plus proche étant le 4 à  $800 \text{ kHz}$ .

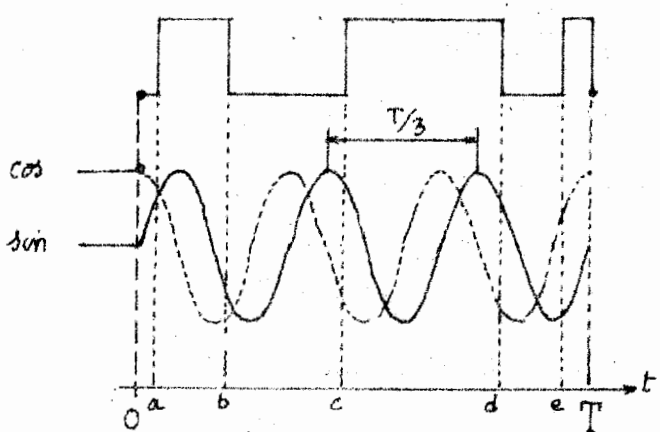
Note :

### Méthode graphique de détermination des ordres harmoniques d'une forme d'onde logique

Dans le cas général il n'est pas possible de supprimer les termes en sinus (ou en cosinus) du développement, le terme harmonique n'est de la forme

$$a_n \cos nwt + b_n \sin nwt$$

Supposons alors une période de la forme d'onde logique et une sinusoïde et une cosinusoïde de période  $T/3$ .



Il vient :

$$a_n = \frac{2}{T} \int_0^T f(t) \cos nwt dt$$

$$a_n = \frac{1}{\pi n} \left[ \sin nwt \right]_0^{2\pi/T} \text{ a.c.e}$$

$$a_n = \frac{1}{\pi n} \left[ \sin nw(b-a) - \sin nw(d-c) + \sin nwT - \sin nw(e-a) \right]$$

qui peut se mettre sous la forme

$$a_n = -\frac{2}{\pi} \frac{\sum_j \left( \begin{array}{l} \text{Valeur relevée sur la sinusoides} \\ \text{au moment de la transition } j \end{array} \right) \times \text{signe de la transition}}{2n}$$

le signe de la transition étant un + pour  $0 \rightarrow 1$   
 un - "  $1 \rightarrow 0$

de même

$$b_n = \frac{2}{T} \int_0^T f(t) \sin nwt dt = \frac{1}{n\pi} \left[ -\cos nwt \right]_a^c$$

$$b_n = \frac{1}{n\pi} [\cos nwta - \cos nwcb + \cos nwcc - \cos nwcd + \cos nwce - \cos nwCT]$$

Donc

$$b_n = +\frac{2}{\pi} \frac{\sum_j \left( \begin{array}{l} \text{valeur relevée sur la sinusoides} \\ \text{au moment de la transition } j \end{array} \right) \times \text{signe de la transition}}{2n}$$

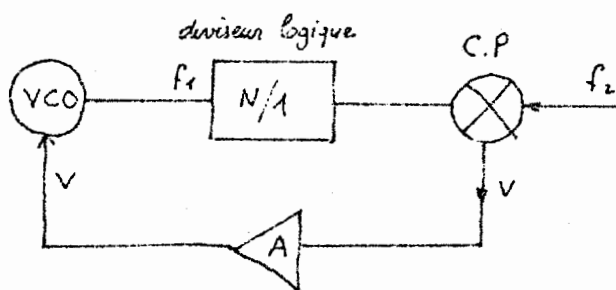
## IV Boucle d'Asservissement de Phase (Phase lock loop PLL)

C'est un domaine très important, tout au moins dans le domaine d'instrumentation. Les PLL servent à beaucoup de chose, en particulier on utilise beaucoup cette technique pour améliorer un signal entaché de bruit. par exemple le système d'asservissement de la fréquence ligne ou trame d'un récepteur de télévision : on compare la phase entre un signal issu de l'information vidéo (signaux de synchronisation) et d'un autre signal fourni par le sélecteur de balayage ligne (ou image). ce signal d'erreur est alors utilisé pour piloter la fréquence du réducteur, cette commande se faisant par l'intermédiaire d'une forte constante de temps de façon que l'image ne déroche pas si quelques tops sont perdus à cause du bruit. Cela revient en quelque sorte à améliorer le rapport signal/bruit des tops de synchro.

La boucle d'asservissement de phase à division numérique dont nous parlons surtout ici permet de faire l'inverse du diviseur décœurs ; multiplie les fréquences à l'aide d'une division.

### IV<sub>1</sub> Structure de base d'une boucle d'asservissement de phase . Propriétés

Une boucle dans sa généralité comprend un oscillateur commandé par une tension (VCO ou voltage control oscillator) dont le signal traverse (ou non) un diviseur de fréquence de rapport  $n$  avant d'être appliquée à un comparateur de phase qui reçoit par ailleurs une fréquence  $f_2$ . Ce comparateur fournit une tension qui par l'intermédiaire d'un amplificateur ayant une certaine fonction de transfert  $A(\phi)$  agit sur la fréquence  $f_1$  délivrée par le VCO.



- Souvent le rapport  $N$  vaut 1 c'est le cas par exemple en télécommunications il existe des récepteurs FM qui utilisent cette technique, le signal utilisé est alors prélevé à la sortie du comparateur de phase
  - Si on utilise un diviseur  $n$  on a lorsque la boucle est accrochée  $f_1/n = f_2$  le système se comporte comme un multiplicateur de fréquence
- $$f_1 = n f_2$$

Essayons d'évaluer la constante de temps d'une telle boucle :

Supposons que l'amplificateur est périodique  $A(\phi) \equiv A$ .  
On peut écrire

$$f_1 = aV \quad V étant la tension de commande du VCO$$

de même

$$V = b\phi' \quad \text{caractéristique du comparateur de phase, } \phi' \text{ étant exprimé en radians}$$

Si  $\phi$  est la phase à la sortie du VCO, la phase de commande du CP est  $\phi' = \frac{\phi}{N}$  donc lorsque la boucle est accrochée

$$\omega_1 = 2\pi f_1 = 2\pi aV = 2\pi ab\frac{\phi}{N}$$

$$\text{mais } \omega_1 = \frac{d\phi}{dt}$$

$$\text{donc } \frac{d\phi}{dt} = 2\pi ab \frac{\phi}{N}$$

$$\text{dont la solution est } \phi = \phi_0 \exp \frac{2\pi ab}{N} t$$

la constante de temps du système est donc

$$T = \frac{N}{2\pi ab}$$

Ce qui correspond à une fréquence de coupure de la boucle

$$F_C = \frac{ab}{N}$$

lorsque la phase au niveau du comparateur de phase varie de  $360^\circ$  la tension de l'erreur correspond à une variation  $(\Delta f_1)$  du VCO (valeur calculée en utilisant les coefficients)

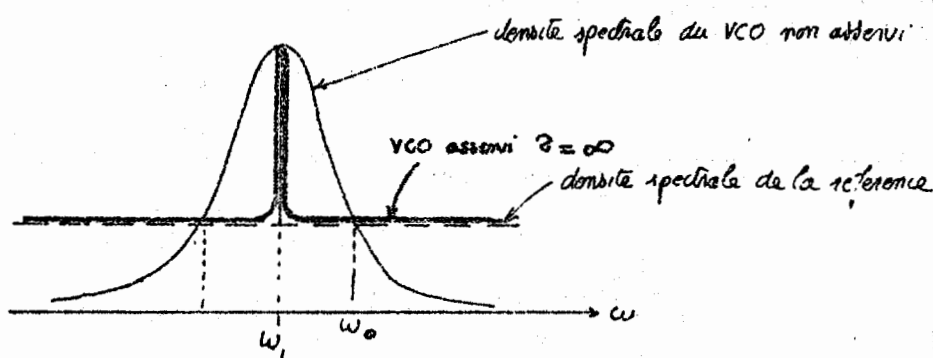
$$(\Delta f_1) = a \cdot b \cdot \frac{2\pi}{360}$$

On notera :

$$T = \frac{1}{\frac{(\Delta f_1)}{N} \cdot 360}$$

un point important est l'existence d'une fréquence de coupure qui va nous conduire à définir les deux domaines distincts de fonctionnement

considérons en effet la représentation spectrale du VCO non attenue et de la référence nous supposons que cette dernière est entachée d'un bruit blanc (autour d'une fréquence de dérive centrale sur  $\omega_1$ )



Si l'on ne tient pas compte de la fréquence de coupure de la boucle la fréquence  $f_1$  du VCO est rendue à chaque instant identique à la référence  $f_0$ , la densité spectrale du VCO attenue est alors confondue avec la densité spectrale de la référence (courbe en trait fort)

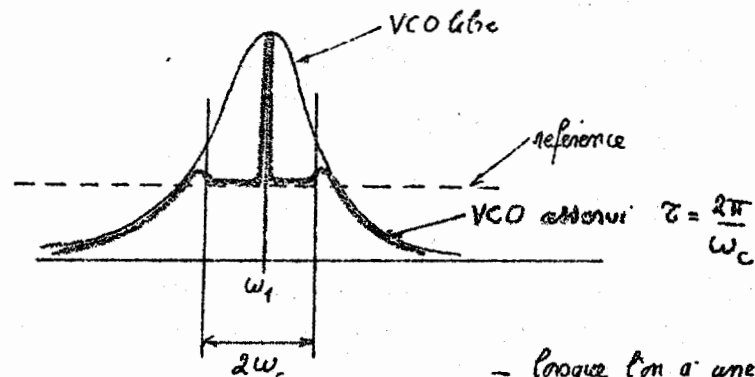
Au voisinage de la pulsation  $\omega_1$  le VCO attenue est meilleur (densité spectrale plus faible) que la référence. On dira que l'oscillateur  $f_1$  est débruité par la référence.

Par contre au delà de  $\omega_1$  le VCO attenue est moins bon que le VCO libre.

On voit que dans ces conditions le VCO attenue ne peut pas être meilleur que la référence de situation change si l'on tient compte de la fréquence de coupure de la boucle

- au voisinage de la fréquence centrale  $\omega_1$  la boucle fonctionne et l'oscillateur  $f_1$  est débruité par la référence
- pour une fréquence éloignée telle que  $\omega - \omega_1 > \omega_c$  la boucle est inactive et le bruit restant est celui du VCO libre qui dans notre exemple est alors plus faible que celui de la référence

on obtient la courbe en trait fort de la figure ci-dessous



au voisinage de  $\omega_r$ , l'oscillateur  $F_1$  est débruité par la référence

loin de  $\omega_r$ , c'est la référence qui est débruitée par l'oscillateur

Ceci définit les 2 domaines annoncés plus haut

- lorsque l'on a une référence qui est très bruitée on cherche à l'améliorer par la PLL c'est le cas de la synchronisation de ligne en TV ou des récepteurs de télémesure FM

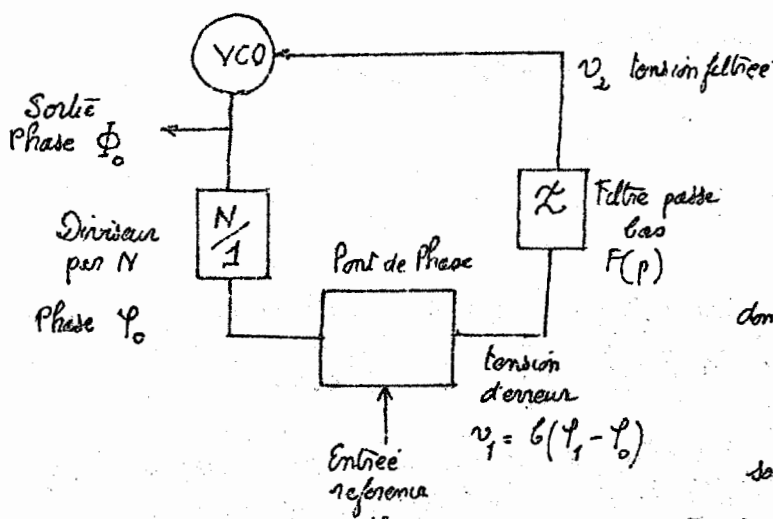
- Au contraire lorsque l'on a une référence de très bonne qualité et ce sera le cas des synthétiseurs de fréquence ou l'on part d'un quartz, on cherche à améliorer les caractéristiques spectrales d'un oscillateur en l'abréguant à une référence meilleure que lui.

Ces propriétés peuvent être démontrées avec plus de rigueur par le calcul suivant

## IV.2 Description mathématique du comportement d'une PLL

Pour étudier l'influence de la bande sur le bruit nous allons formellement introduire dans le schéma le bruit de la référence et celui du VCO de schéma initial est le suivant :

Il est donné par les équations



$$v_1(p) = G[\varphi_i(p) - \varphi_o(p)] \quad (1)$$

$$v_2(p) = F(p) v_1(p) \quad (2)$$

d'après la fréquence du VCO est  
 $\Delta\omega = a_o v_2$   
 donc la phase

$$\phi_o = \int \Delta\omega = \frac{a_o v_2}{p} = \phi_o(p)$$

soit

$$\phi_o(p) = \frac{a_o G F(p) [\varphi_i(p) - \varphi_o(p)]}{p}$$

et enfin si le diviseur introduit un retard  $t_0$

$$\varphi_o(p) = \frac{\phi_o(p)}{N} e^{-pt_0}$$

\* Phase Lock techniques

Floyd, M. Gardner

J. Wiley and Sons New York 1966

Pour simplifier nous supposons que le retard  $t_0$  est nul  
On en déduit alors l'équation fondamentale de la boucle

$$\frac{\Phi_o(p)}{\Phi_i(p)} = \frac{N a_0 b F(p)}{Np + a_0 b F(p) e^{-pt_0}} = H(p)$$

### 1<sup>o</sup>) - Influence du bruit de phase de la référence

la phase  $\Phi_i$  de la référence est entachée d'un bruit  $\Delta\Phi_i$  que l'on peut caractériser par sa densité spectrale de puissance

$$S_{\Delta\Phi_i}(f)$$

Or la phase de sortie est reliée à celle de la référence par

$$\Phi_o(p) = H(p) \cdot \Phi_i(p)$$

D'après les propriétés de la densité spectrale de puissance

$$S_{\Delta\Phi_o}(f) = |H(j\omega)|^2 \cdot S_{\Delta\Phi_i}(f)$$

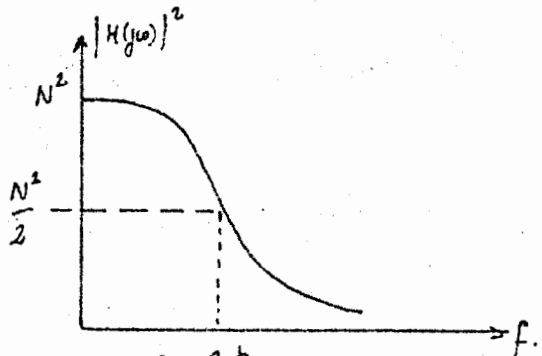
Considérons le cas simple d'une boucle du 1<sup>er</sup> ordre  $F(p) \equiv 1$

$$H(p) = \frac{Na_0 b}{Np + a_0 b}$$

$$|H(j\omega)|^2 = \frac{N^2 a_0^2 b^2}{a_0^2 b^2 + N^2 \omega^2}$$

de bruit introduit au niveau de la référence subit un filtrage passe bas

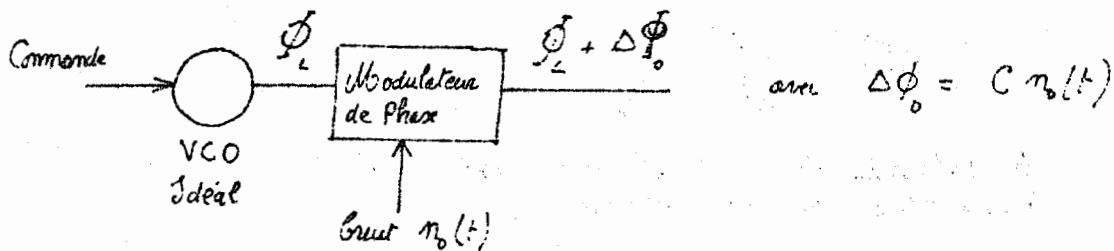
des fluctuations lentes de la phase de la référence (bruit à long terme de la référence) se retrouvent intégralement dans le signal de sortie, par contre le bruit à court terme (composante de fréquence élevée) est éliminé



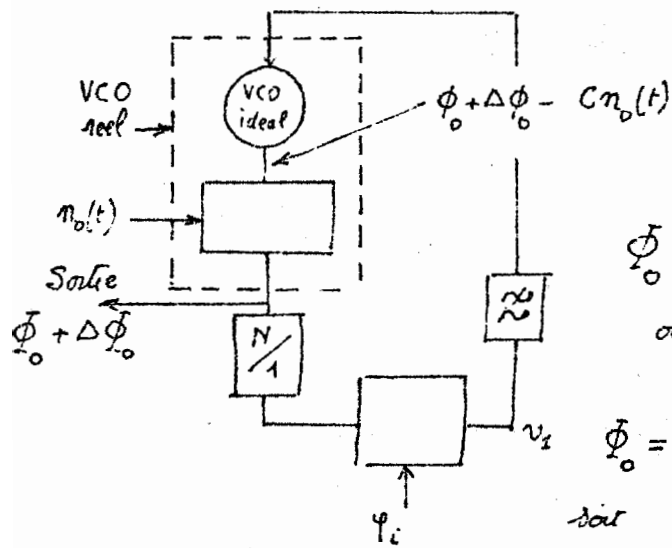
$$f_c = \frac{a_0 b}{2\pi N}$$

### 2<sup>o</sup>) Influence du bruit du VCO

de bruit du VCO est symbolisé par l'introduction d'un modulateur de phase attaqué par un bruit  $n_b(t)$



de schema devient



Et les équations

$$v_i(p) = b \left[ \varphi_i(p) - \frac{\phi_0 + \Delta\phi_0}{N} \right]$$

$$v_2(p) = F(p) v_i(p)$$

$$\dot{\phi}_0 = \phi_0 + \Delta\phi_0 - Cn_o(p) = \frac{a_o v_2(p)}{p}$$

ou

$$\dot{\phi}_0 = \frac{Fa_o b}{p} \left[ \varphi_i(p) - \frac{\phi_0 + \Delta\phi_0}{N} \right]$$

soit

$$\dot{\phi}_0 = \frac{Fa_o b / p \varphi_i(p)}{1 + \frac{Fa_o b}{Np}} - \frac{Fa_o b / Np}{1 + \frac{Fa_o b}{Np}} \Delta\phi_0$$

la phase du signal de sortie est  $\dot{\phi}_0 + \Delta\phi_0$  soit

$$\dot{\phi}_0 + \Delta\phi_0 = \frac{Fa_o b / p}{1 + \frac{Fa_o b}{Np}} \varphi_i(p) + \frac{1}{1 + \frac{Fa_o b}{Np}} \Delta\phi_0 = \text{Partie constante} + \text{bruit}$$

la fluctuation de phase que nous désignerons par  $\Delta\varphi_0$  vaut

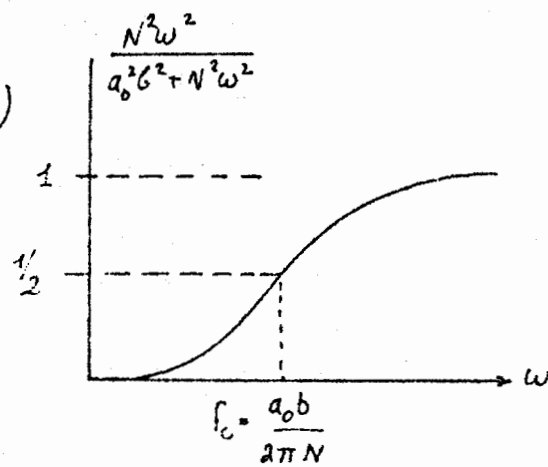
$$\Delta\varphi_0 = \frac{1}{1 + \frac{Fa_o b}{Np}} \Delta\phi_0$$

sa densité spectrale vaut

$$S_{\Delta\varphi_0}(f) = \left| \frac{1}{1 + \frac{a_o b F(j\omega)}{Np}} \right|^2 S_{\Delta\phi_0}(f)$$

Si la boucle est du 1<sup>er</sup> ordre  $F \equiv 1$

$$S_{\Delta\varphi_0}(f) = \frac{N^2 \omega^2}{a_o^2 b^2 + N^2 \omega^2}$$

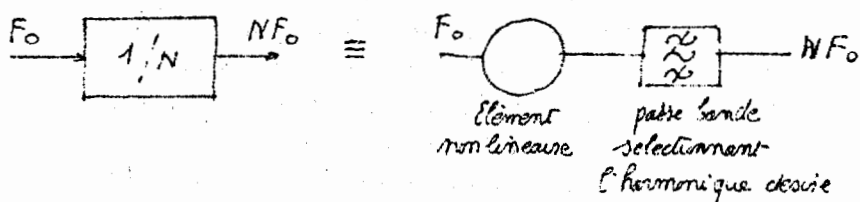


des fluctuations lentes sont éliminées, seul le bruit à court terme du VCO persistera

S'agit bien ce qui a été annoncé plus haut.

### Utilisation d'une PLL en multiplicateur de fréquence

Pour réaliser une multiplication de fréquence directe on doit utiliser un élément non linéaire et un filtrage



la qualité du signal de sortie dépend essentiellement du Q du filtre qui peut difficilement séparer la rentaine

Une boucle d'atténuation de phase utilisant un diviseur par N peut être équivalente à un multiplicateur, mais le bande passante est reliée à l'atténuation

La constante de temps de

la boucle peut être

ajustée à volonté

Pour  $B = 10^{-1}$  sec

avec  $NF_0 = 1 \text{ MHz}$

tout se passe comme si on utilisait un filtre ayant un Q de  $10^5$

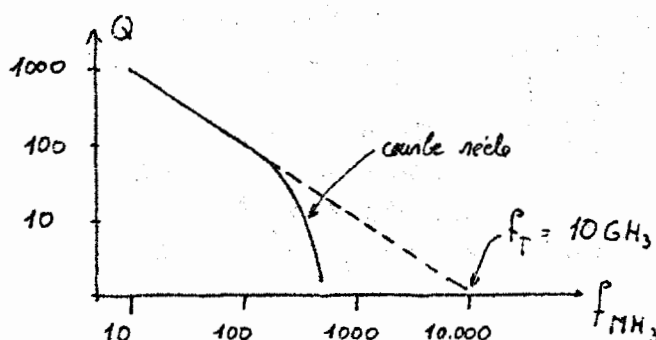
Ce filtre étant bien sûr irréalisable directement, il est d'autre part automatiquement accordé sur la bonne fréquence

### IV<sub>3</sub> des éléments d'une boucle d'atténuation de phase

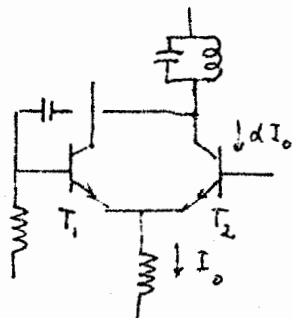
#### A) des VCO

Ils utilisent des composants dépendant de la tension et commandent une fréquence. On trouve en version intégrée des VCO constitués par des multivibrateurs dont on fait varier la tension base, ils n'ont pas les qualités suffisantes pour être retenus ici car ils sont très bruyants et n'étant pas munis d'un circuit de fort Q jouent le rôle de volant de régulation.

d'élément le plus souvent utilisé est la diode à capacité variable (varicap marqué déposée), leur fréquence de coupure (pour laquelle le Q diminue à 1) atteint couramment  $10 \text{ GHz}$ , sur un Q de 100 à  $100 \text{ MHz}$ . Les valeurs courantes sont de quelques picofarad ou dizaines de  $\mu\text{F}$ , en cette fréquence il faut mieux diviser une fréquence plus élevée que d'utiliser des varicaps de forte valeur de mauvaise qualité.



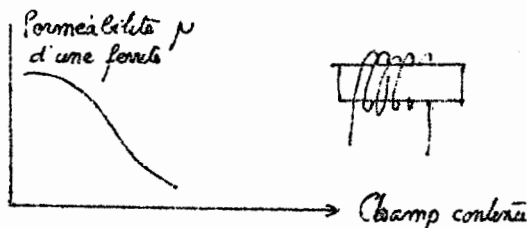
Il faut insister ici sur l'intérêt des procédés paramétriques :  
 Il y a dans les oscillateurs des éléments actifs et réactifs. Pour faire ouvrir un CO on le coule sur un circuit actif qui le déclenche en compensant le terme réactif du circuit ouvert. Le bruit provient des variations des composants du circuit LC soit sa capacité mais surtout du circuit actif fournit l'énergie, d'où l'intérêt d'utiliser un oscillateur du type classe C plutôt qu'un système à commutation de courant entre 2 émetteurs. En classe C l'élément actif n'intervient que pendant le temps minimum nécessaire pour compenser les pertes du circuit qui sont d'autant plus faibles que le Q est élevé, dans un oscillateur du type Franklin (ci-dessous).



Le triode  $T_2$  débite pendant un temps long et par suite des fluctuations de son d'introduit ainsi un bruit important. Son spectre de bruit est bien plus mauvais que celui du classe C.

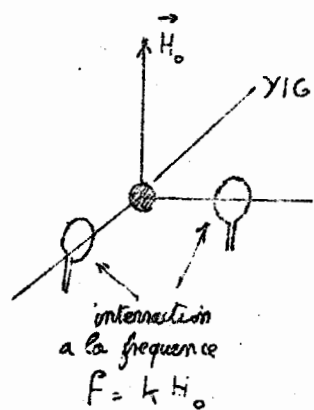
Pour faire varier la fréquence on peut agir sur  $L$  ou  $C$  mais aussi introduire un élément actif agissant sur le déphasage entrée-sortie (lampe à résistance) c'est une très mauvaise solution car ce second élément actif introduit son bruit. Seule l'autre paramétrique dirigée sur  $L$  ou  $C$  peut introduire qu'un bruit faible, donc l'intérêt des diodes "variapé" :

- En cette fréquence on peut agir sur la self en utilisant des self sélectables (le  $\mu$  varie avec le champ, on agit sur  $L$  en jouant sur le courant continu circulant dans le bobinage, la variation peut être très importante)



D'ouïi est l'existence d'une hystéresis, le sens de variation de  $H$  intervient.

- En UHF on utilise des oscillateurs à gâche de grenat d'Yttrium (YIG). Une sphère de grenat d'Yttrium étant placé dans un champ continu  $H_0$  il y a interaction entre 2 bobines servant des champs orthogonaux entre eux et à  $H_0$  pour une fréquence bien déterminée dépendant linéairement de  $H_0$ .



En reliant les 2 spires orthogonales aux entrée et sortie d'un amplificateur il y aura oscillation à la fréquence pour laquelle il y a couplage.

Cette fréquence peut être commandée linéairement grâce à  $H_0$ .



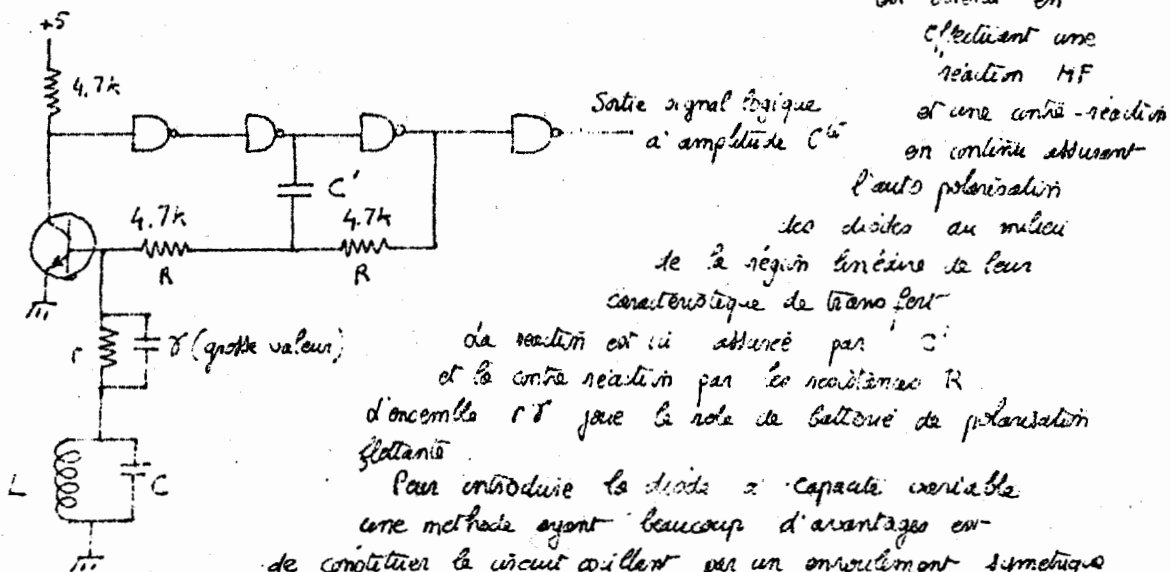
On réalise ainsi des oscillateurs de 1 à 20 GHz.

C'est là encore un oscillateur paramétrique, son bruit décroît en  $1/f^3$  d'où une très grande pureté de Q équivalent croît avec  $f$  il atteint  $10^4$  à 10 GHz.

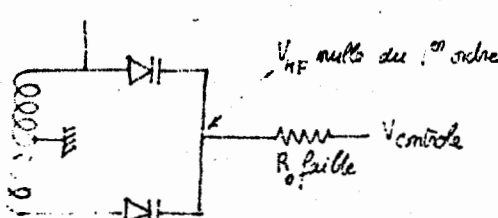
Dans les montages qui nous intéressent les signaux sont utilisés le plus souvent sous forme logique, nous devrions surtout utiliser des oscillateurs VCO utilisant comme éléments actifs des circuits logiques.

En logique TTL le montage suivant est l'un des meilleurs :

- Il fait réaliser un circuit à résonance négative que l'on plaça aux bornes du circuit oscillant. On remarquera dans le schéma à deux étages à transistor T permettant d'entrer du courant de l'entrée de la porte TTL. Le fonctionnement en oscillateur est obtenu en effectuant une réaction HF et une contre-réaction en continu assurant



Pour introduire la diode à capacité variable une méthode ayant beaucoup d'avantages consiste à constituer le circuit oscillant par un enroulement symétrique relié à 2 diodes montées tête-bêche ; les diodes ayant un bâton du second ordre ( $C \sim \frac{1}{f^{1/2}}$ ) le montage symétrique réduit le bruit et harmoniques pairs, de plus le point commun des deux diodes est tenu au 1<sup>er</sup> ordre à une tension HF nulle, la résistance d'alimentation  $R_0$  peut donc être très grande sans atténuer le circuit, son bruit thermique est donc ainsi faible (sauf une résistance de 100 ou 200 ohm comme on le voit souvent la fréquence intérieure est considérable)



On peut déterminer  $f_{max} = 1,7 f_{min}$

Il vaut mieux ne pas dépasser 1,4 (rapport 2 en capacité)

Quand l'on monte en fréquence il est bon d'utiliser des transistors à effet de champ dont le bruit est inférieur à celui des bipolaires.

## B) des Compensateurs de phase

### B1) Notion de captage d'une PLL

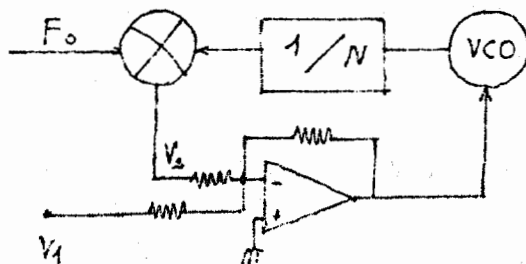
Soit  $f_c$  la fréquence de coupure d'une bande

Appliquons brièvement un signal  $F_0$ , la fréquence d'oscillation sera de  $VCO$  étant à cet instant  $F_1 = f_c - NF_0$ .

Le circuit comparateur de phase va délivrer le battement  $F_1 - F_0$

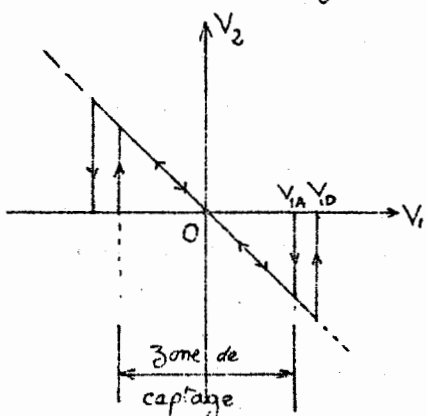
S'il cette fréquence de battement est supérieure à  $f_c$  l'accrochage de la bande ne s'effectue pas.

Experimentalement l'étude du "captage" d'une boucle peut être étudiée en ajoutant un sommateur : En faisant varier  $V_1$   $V_2$  varie en sens inverse si la boucle est accrochée. Naturellement  $V_1$  ne peut varier qu'entre 2 limites



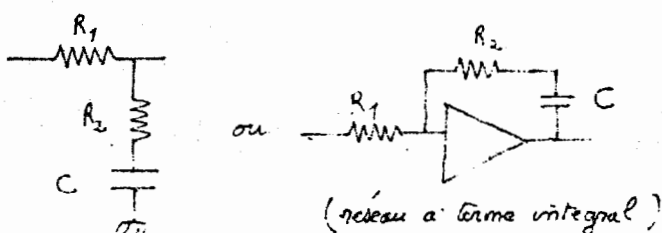
On remarque que lorsque la boucle est accrochée et que l'on augmente  $V_1$  le dérangement se produit pour  $V_1 = V_{1D}$ . Il faut ensuite pour obtenir le dérangement théorique  $V_1$ , jusqu'à  $V_{1A} < V_{1D}$

La "zone de captage" est plus étroite que la zone de tracking.



Quand  $V_1$  est trop élevé le comparateur de phase délivre une tension alternative me contenant plus de composante continue (fréquence de battement)

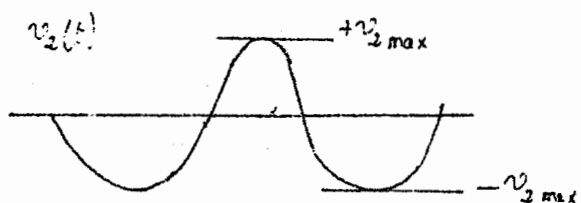
Il est intéressant de noter que dans une boucle du second ordre où le circuit de filtrage est du type ci-dessous :



La boucle peut accrocher malgré la fréquence de coupure très faible déterminée par un condensateur  $C$  qui peut être très important. Quand l'on supprime la perturbation sur la boucle le terme du 1<sup>er</sup> ordre même si la boucle n'est pas accrochée module en phase (ou en fréquence) la fréquence  $f_1$  à une fréquence qui est le battement  $f_0 - f_{1N}$ . Il apparaît alors si l'on regarde la tension  $V_2$  qui sort du comparateur de phase un terme de déflexion d'ordre pair donc une

tension continue qui charge peu la capacité  $C$  et amène lentement le système dans sa zone de captage

On constate que la boucle se verrouille au bout de quelques périodes seulement. Le calcul théorique de ce système est très difficile.



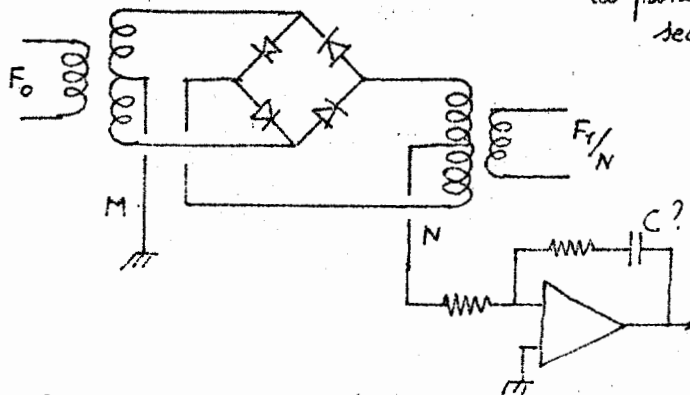
Remarque: Il n'existe pas de système qui soit seulement du 1<sup>er</sup> ordre car le comparateur de phase ne fournit l'information qui une fois par période, les points permettant la reperage d'une onde par rapport à l'autre n'existent en effet qu'une fois par période. Sauf de cette sorte comme si existait un retard moyen de  $\frac{1}{2}f_0$  ( $\frac{1}{2}$  période) donc il faut tenir compte dans la boucle, une boucle appartenant du 1<sup>er</sup> ordre est donc en fait du second au moins.

Ce terme de retard parallèle permet de comprendre pourquoi des oscillations parasites peuvent se produire pour une bande du 1<sup>er</sup> ordre lorsque l'on augmente le gain.

### B.2 des comparateurs de phase

Un comparateur de phase n'est pas autre chose qu'un modulateur effectuant la différence entre deux fréquences ; dans ce cas égalité. On retrouve les schémas ci-dessous plus haut.

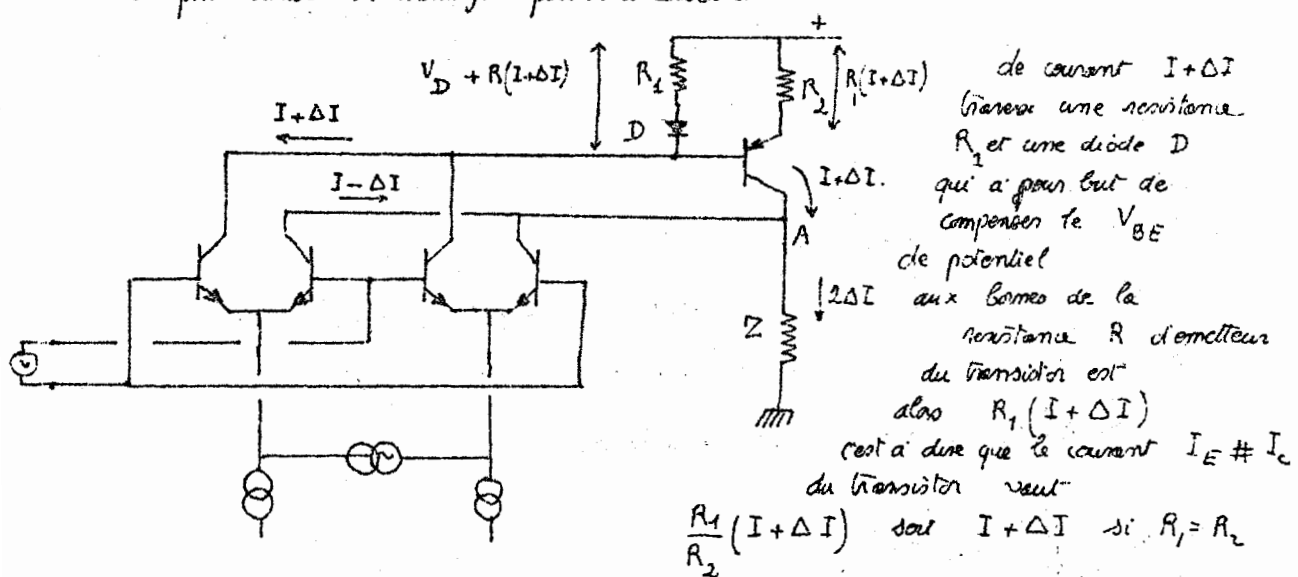
#### 1°) de modulateur à 4 diodes



La tension de commande apparaît entre les points milieu des deux enroulements secondaires des transformateurs, elle peut être facilement amplifiée par un ampli op comprenant ou non un condensateur si l'on desire faire une bande du 2<sup>e</sup> ordre.

#### 2°) de modulateur à 4 transistors

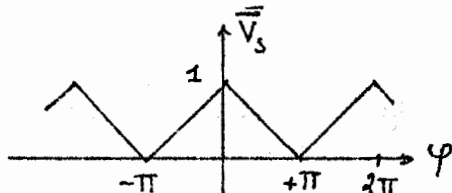
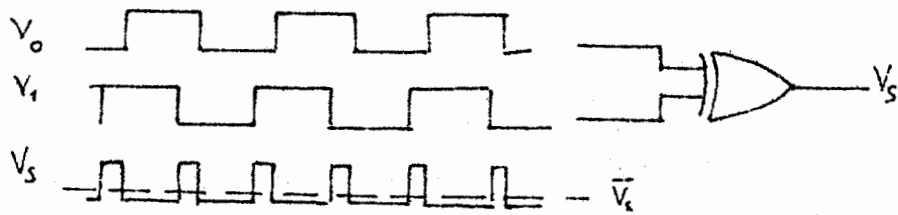
C'est plus compliqué car le signal de sortie est une différence de courant. On peut utiliser un montage "poulie à courant".



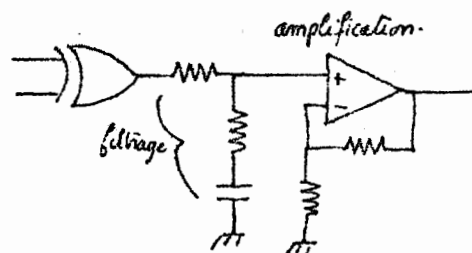
Ce courant de sorties au point A, avec  $I - \Delta I$ , sortent de l'autre paire de transistors du modulateur, la charge Z se trouve ainsi parcourue par  $2\Delta I$ . de potentiel on A est donc la tension de commande cherchée.

### C) de Ou exclusif

Si les 2 signaux de fréquence  $F_0$  et  $F_1/N$  sont sous forme de signaux logiques si possible de rapport cyclique  $1/2$ , la tension de sortie du ou exclusif à une composante continue comprise entre 0 et 1 lorsque la phase des signaux d'entrée varie entre 0 et  $\pi$ .



Il suffit de filtre puis d'amplifier le résultat  $V_s$  par exemple :

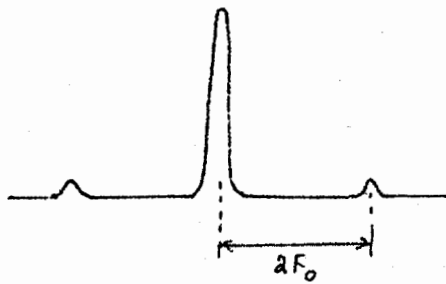


Mais de moins que dans le cas précédent il existe une composante à  $2\omega$  qui faut filtre.

Si l'on utilise un filtre trop étroit la bande à mi-haut s'accroche

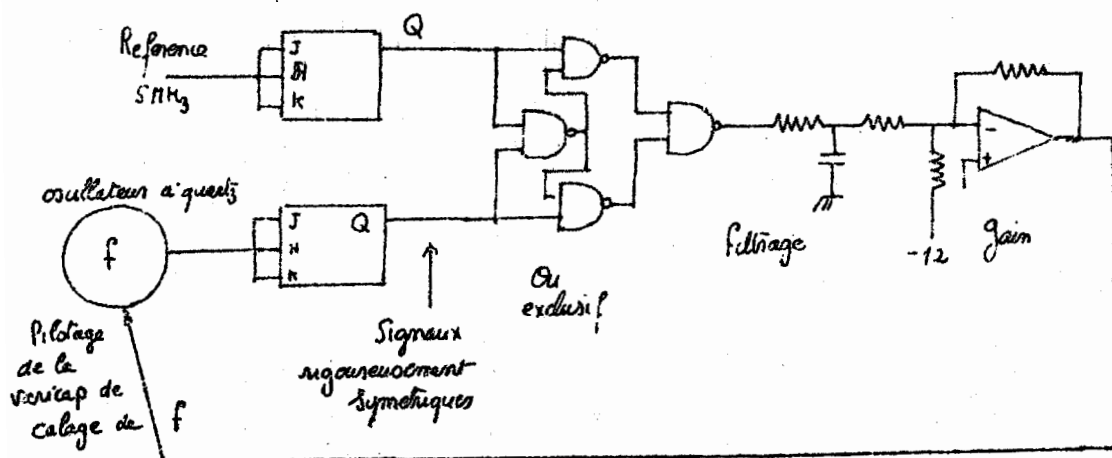
Si au contraire on a un filtre trop large il y a accrochage mais le terme en  $2f_0$  est mal éliminé par la boucle et des raccords latéraux apparaissent sur le spectre du signal de sortie

Ce système est utilisé dans le cas où l'excursion de fréquence nécessaire est la plus faible



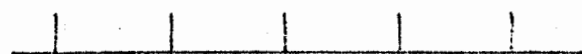
des montages suivants par nature même ne fournissent pas de terme en  $2f_0$

Exemple d'application du ou exclusif : atténuation d'un pilote à quasi sur une référence de schéma complet est reproduit ci-dessous

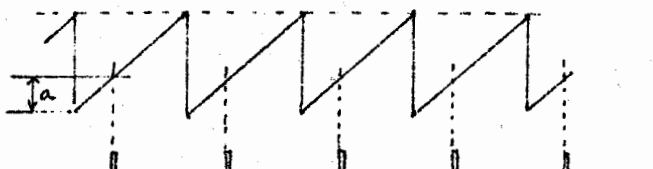


### D) le comparateur à rampe

$F_0$  est mis sous forme d'une rampe linéaire.  $F_{1/N}$  est sous forme d'impulsions brèves qui vont mémoriser la tension de la rampe.



Impulsions  $F_{1/N}$  remettent à zéro un intégrateur qui fournit la rampe



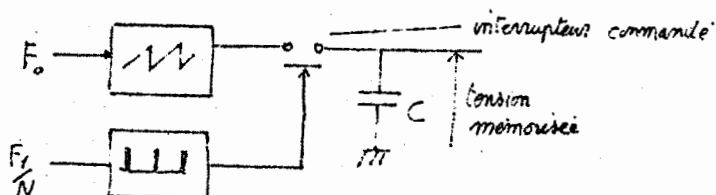
rampe.



Impulsions  $F_{1/N}$  (finies)

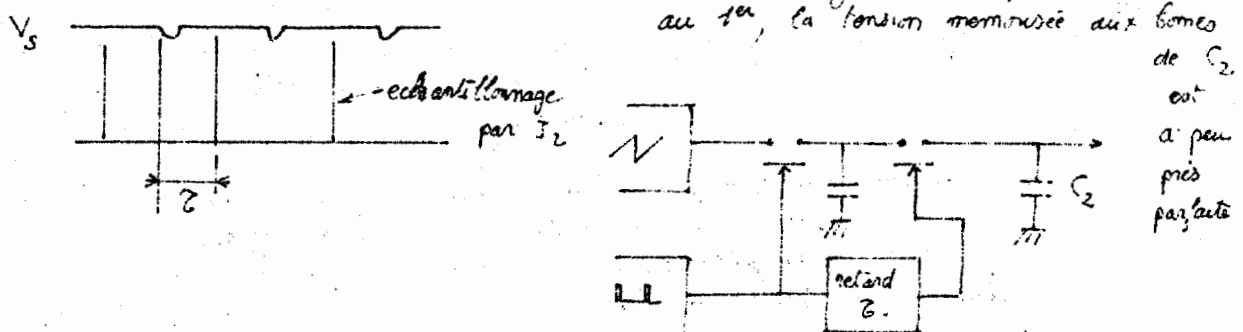
Résultat de l'échantillonnage

des impulsions  $F_{1/N}$  peuvent par exemple commander une porte série placée devant une capacité  $C$  mémorisant la valeur instantanée de la rampe à l'instant l'échantillonnage. Cette tension mémorisée dépend naturellement de la phase relative de  $F_0$  et  $F_{1/N}$ .



d'inconvénient est que les temps d'échantillonnages ne sont pas de largeur nulle, alors les impédances internes de la porte et du générateur de rampe n'étant pas nulles la tension aux bornes de  $C$  présentera de petites impulsions négatives parasites pendant l'échantillonnage. On peut y remédier en pratiquant un second échantillonnage retardé par rapport au 1<sup>er</sup>, la tension mémorisée aux bornes de  $C_2$

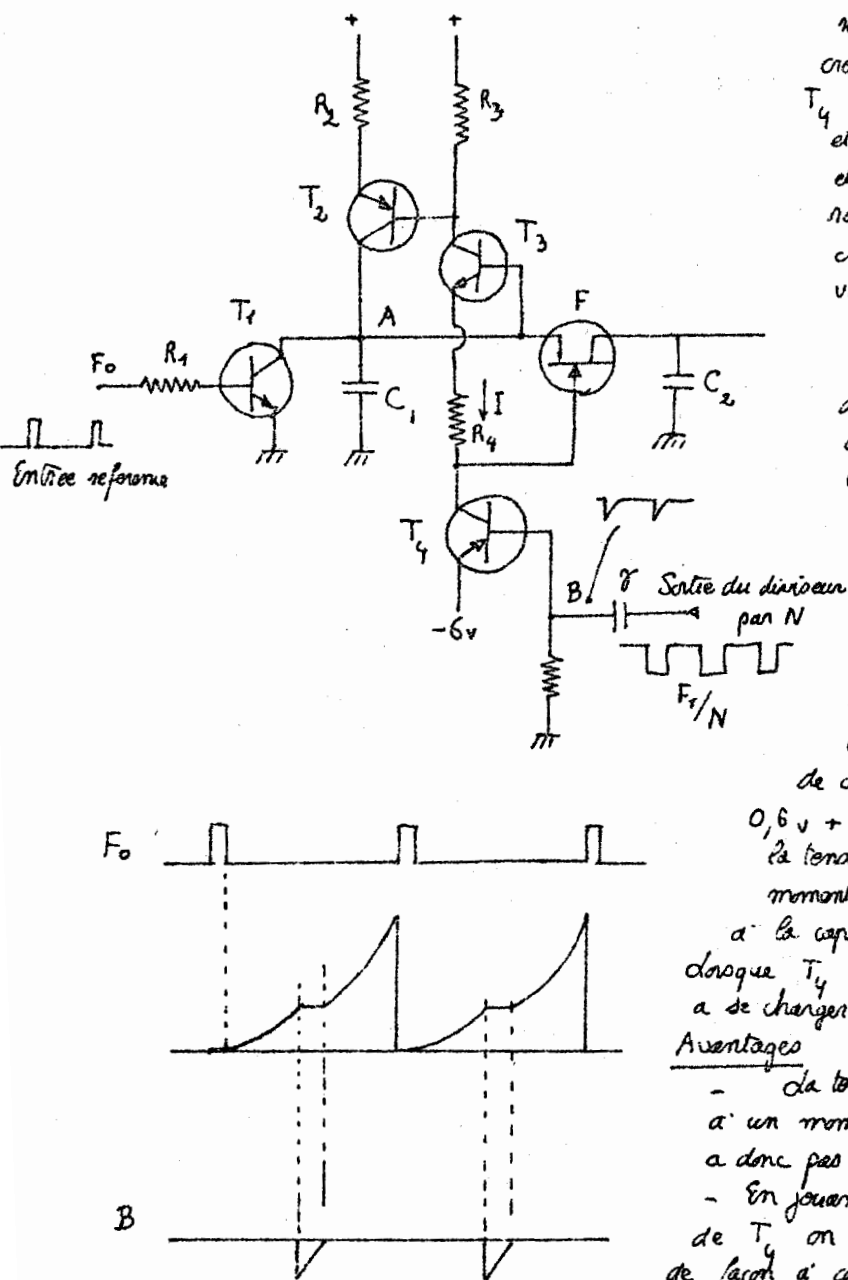
est à peu près parfaite



Ce montage de base peut être amélioré

### E) le comparateur à rampe interrompue

On aurait pas de signal parasite si pendant la période où la porte est ouverte la rampe avait une pente nulle, on va donc chercher à interrompre la croissance de la rampe au moment où elle va être mise en mémoire. Pour y parvenir le schéma peut être le suivant



de circuit  $F_0$  décharge  $C_1$ , en rendant  $T_1$  conducteur, à la fin du circuit le tension sur  $A$  est donc nulle.  $T_4$  est à ce moment bloqué.

et son courant collecteur  $I$  traversant  $R_4$  et  $R_3$  est réparti par  $T_3$  jouant le rôle de miroir à courant.  $C_1$  se charge donc mais de plus en plus vite car au fur et à mesure que  $I$  se charge la tension sur  $A$  étant limitée par  $T_3$  aux bornes de  $R_4$ , cette résistance voit sa tension aux bornes réduite donc  $I$  augmente et la tension sur  $C$  est une exponentielle croissante.

À un moment donné la tension de sortie du diviseur, différentielle par  $T$  vient bloquer  $T_4$ ,  $I$  s'annule

$C_1$  ne se charge plus mais en même temps le transistor a effet de champ  $F$  se trouve débloqué ( $V_{GS} = 0,6V + \text{tension sur } R_3 \approx 0,6V$ ) de valeur de la tension aux bornes de  $C$ , qui à ce moment ne varie plus de valeur transférée à la capacité de mémoire  $C_2$ , lorsque  $T_4$  se devient conducteur  $C_1$  continue à se charger jusqu'au niveau  $F_0$  suivant.

- Avantages
- La tension sur  $C_1$  est mise en memoire à un moment où elle ne varie pas, il n'y a donc pas de signal parasite.
  - En jouant sur  $R_3$ ,  $R_2$  et l'alimentation de  $T$  on obtient à l'aide la forme de la rampe de façon à compenser la non linéarité des varicaps et rendre à peu près  $C_1$  la constante de temps  $N/2\pi f_{stab}$ .

Il y a toujours un léger parasite aux bornes de  $C_2$  au moment de la passe de memoire à cause de la resistance de  $F$  à l'état passant et des capacités parasites. Sur  $C_2$  on observe un petit circuit provenant du signal de commande de grille du TEC ( $\approx 2mV$ ). Le transistor à effet de champ le plus intéressant est celui qui a le plus petit produit

$f_{on} \times C_{GS}$   
le 2N4416 convient parfaitement à cet usage (FET type ampli HF)  
( $f_{on} \approx 300 \mu s$   $C_{GS} \approx 1,2 \mu F$ )

Dans une boucle du 1<sup>er</sup> ordre la tension aux bornes de  $C_2$  peut être envoyée directement sur les varicaps et on observe un fonctionnement parfait pour  $N_2/N_1 \leq 1,4$

## E) de Comparateur Phase-fréquence (CPF)

Ce qui serait idéal ce serait que la zone de captage d'une PLL soit aussi grande que l'on veut. Cela signifie que la fréquence de coupure  $F_c$  doit aussi faible que l'on veut. Cela permettrait de faire des multiplexateurs reflectant parfaitement le bruit de la référence ou le bruit multiple d'une source dont on veut analyser le bruit avec une bande passante très faible.

Il faudrait avoir un comparateur de phase dont la tension de sortie  $V_S$  varie linéairement de 0 au maximum lorsque  $\phi$  varie de 0 à  $360^\circ$  puis de nouveau de 0 au même maximum de  $360^\circ$  à  $720^\circ$  etc... A chaque fois

que la phase tourne de  $360^\circ$  c'est à dire que les

2 fréquences diffèrent de  $1\frac{1}{3}$  de plus  
l'une des fréquences dont de ces

sont déviées

Il faudrait en plus que cette courbe ait un sens ; lorsque la phase varie dans l'autre sens par exemple à partir du point M on devrait une autre courbe représentée ci-contre en pointillé.

La courbe en trait plein correspond au cas

où l'une des fréquences par exemple  $F_0$  est supérieure à l'autre ( $F_{1/N}$ ) puisque la phase  $\phi$  est

toujours croissante, au contraire la courbe en pointillé correspond à la situation inverse  $F_0 < F_{1/N}$ . Ainsi la tension moyenne délivrée par le comparateur de phase est toujours positive si  $F_0 > F_{1/N}$  et toujours négative dans le cas contraire. Si cette tension est appliquée à un circuit comprenant une capacité C (boucle du second ordre), cette capacité se charge toujours dans le sens pour amener la PLL dans la zone de captage. Il n'y a plus de zone de captage proprement dite. La boucle s'accroche toujours. Des qu'elle est accrochée on travaille sur un segment de droite partant par l'origine (AOB), le montage se comporte comme un comparateur de phase normal.

- loin de l'accrochage il joue le rôle de comparateur de fréquence

- à l'accrochage c'est un comparateur de phase  
d'où le nom de comparateur phase-fréquence

Remarquons en plus que  $V_S$  est nulle pour une différence de phase nulle, il n'y a plus quadrature comme dans les comparateurs précédents, cela signifie que le terme à  $2F_0$  a disparu.

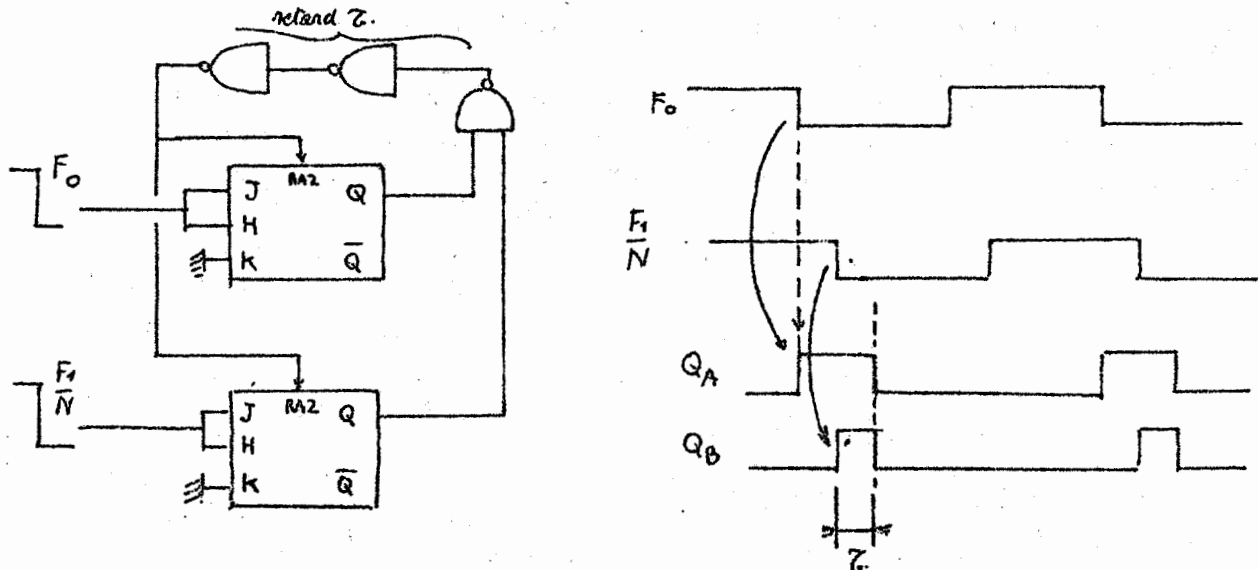
de circuit soit une information sur la phase relative des 2 signaux non attenue avec un signal à fréquence double. de filtrage est donc très facile

Il existe des circuits intégrés qui réalisent cette fonction par exemple le MC 4044 mais on peut utiliser des circuits très simples :

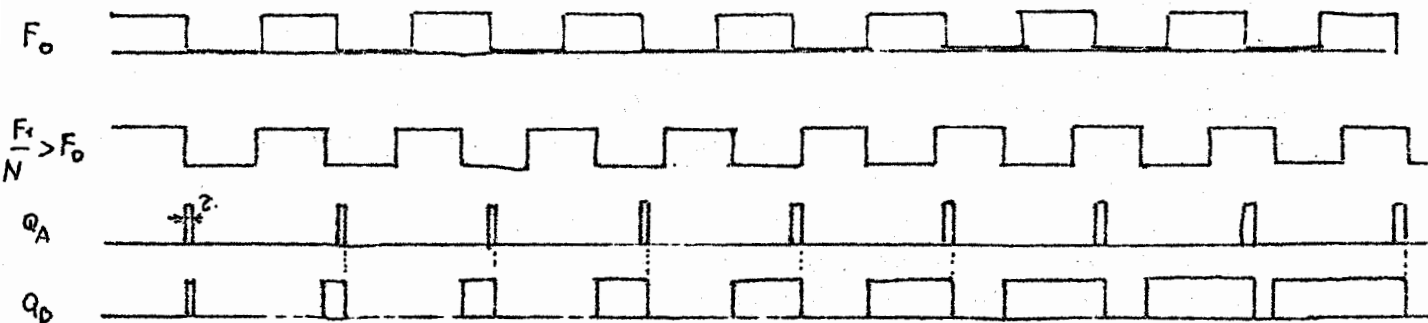
Seront 2 bascules JK malin-éclaire recevant sur leur entrée horloge aussi que l'entrée J des fronts négatifs correspondant respectivement à  $F_0$  et  $F_{1/N}$

des K sont au zéro

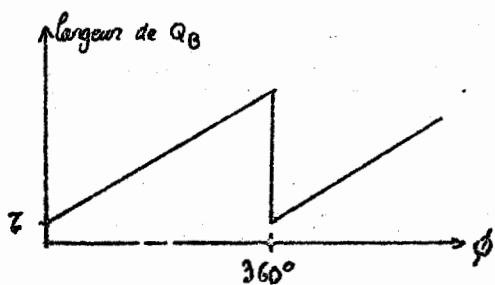
Faisons une coïncidence entre les 2 sorties Q des 2 bocules et appliquons le signal obtenu après passage dans un retard (obtenu par 3 "nand" mis en série) aux entrées clear des 2 bocules  
Le diagramme de fonctionnement est reproduit ci-dessous



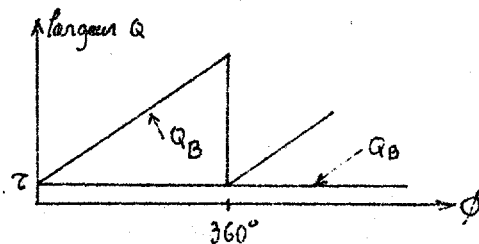
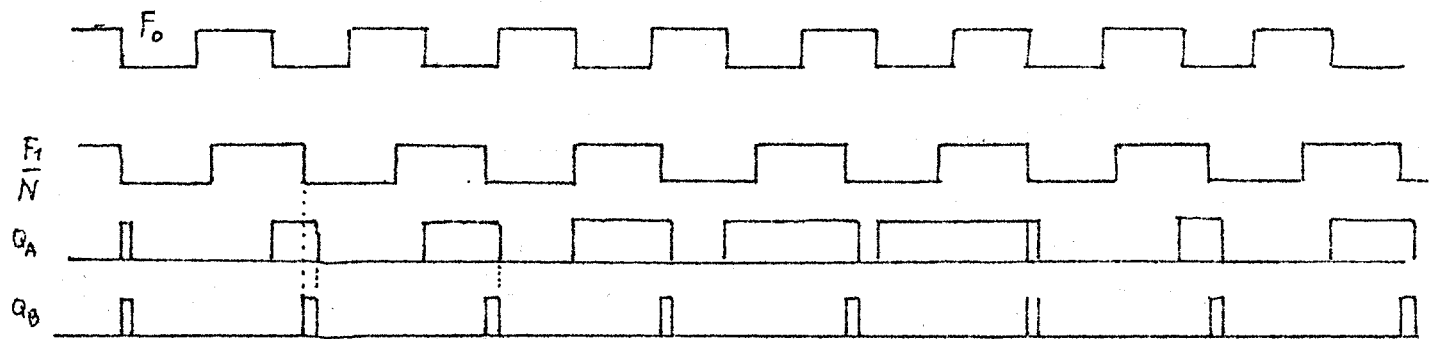
Si  $F_0$  augmente ( $F_0 > F_1/N$ ) c'est à-dire que le signal  $F_0$  prend de l'avance de phase sur  $F_1/N$  le signal  $Q_A$  s'allonge alors que  $Q_B$  dure toujours  $T$ .  
Si au contraire  $F_1/N$  prend de l'avance par rapport à  $F_0$  c'est  $Q_B$  qui s'allonge  $Q_A$  ayant une largeur fixe  $T$ .



$F_1/N > F_0$   $Q_A$  reste fixe de largeur  $T$ .  $Q_B$  va de largeur croissante proportionnellement au déphasage  $\phi$

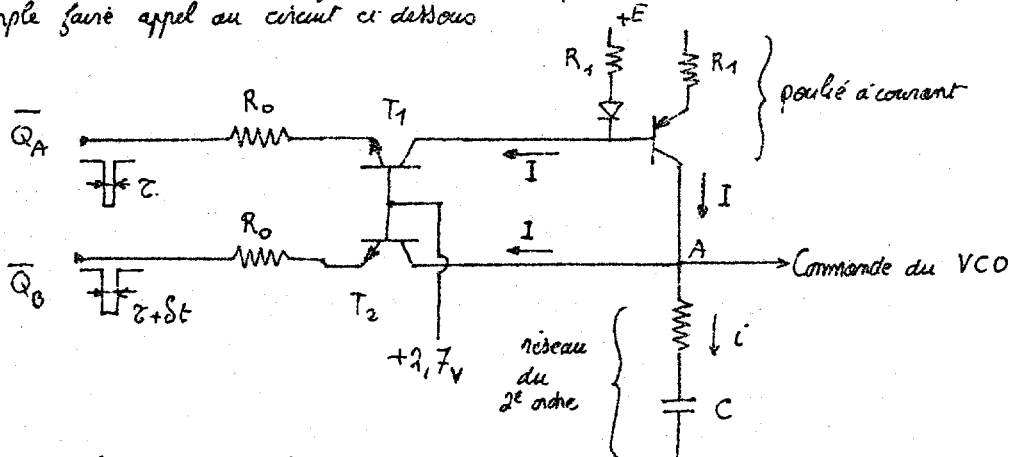


Si au contraire  $F_0 > \frac{F_1}{N}$  on a la figure ci-dessous



donc que la boucle est attenuee les 2 fréquences sont égales , les impulsions sur  $Q_A$  et  $Q_B$  ont la largeur  $T$ . Si  $F_0$  tend à prendre de l'avance de phase  $Q_A$  s'allonge c'est au contraire  $Q_B$  qui s'allonge si  $F_0$  tend à prendre du retard. On dispose ainsi de la tension de commande pour agir dans un sens ou l'autre sur le VCO. On obtiendra un atténuation non pas en quadrature mais en concordance de phase entre  $F_0$  et  $F_1/N$ , c'est le seul comparateur de phase ayant cette propriété.

Reste à utiliser les signaux  $Q_A$  et  $Q_B$  pour commander le VCO . on peut par exemple faire appel au circuit ci-dessous



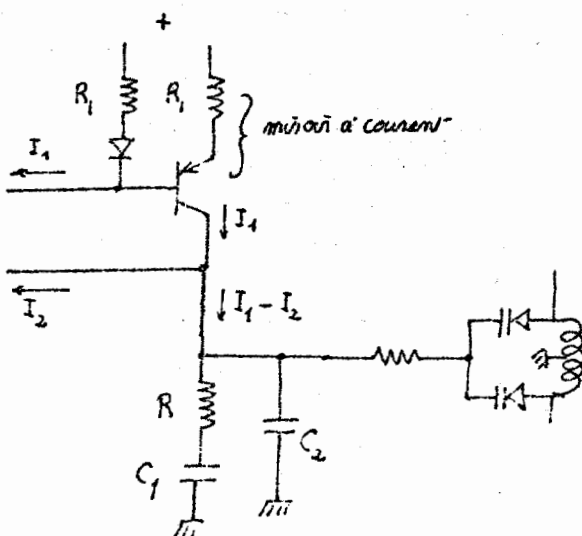
Pendant le temps des creneaux

$T_1$  et  $T_2$  conduisent , les courants se compensent au point A.

Pendant l'intervalle de temps où  $Q_B = 0$  alors que  $Q_A = 1$  (largeur de  $Q_B$  > largeur de  $Q_A$ ) seul  $T_2$  conduit la compensation ne se fait plus et la capacité C perd des charges elle en gagnerait au contraire si  $T_1$  conduisait seul ce qui se produit lorsque  $Q_A$  est plus large que  $Q_B$  . la tension au point A varie bien dans un sens ou l'autre suivant que  $F_0 \geq F_1/N$

Ce circuit nonlineaire donne directement sur le sens de l'écart de 2 fréquences , on a réalisé dans la même des fréquences ce qui est très facile à obtenir pour des tensions

## Calcul des éléments RC du filtre de sortie d'un comparateur phase-fréquence.



La boucle est caractérisée par un coefficient  $a$  du VCO

$$a = \frac{\Delta f}{\Delta V}$$

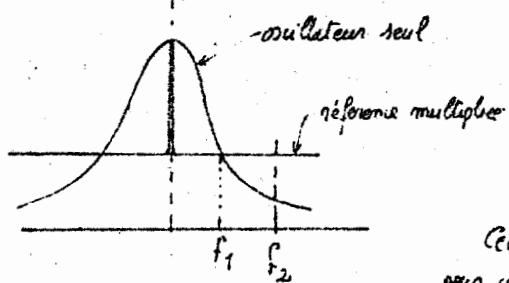
et un coefficient  $b$  du comparateur de phase

$$b = \frac{\Delta V_{sortie}}{\Delta \varphi}$$

La constante de temps de la boucle étant nulle l'oscillation (1<sup>er</sup> ordre)

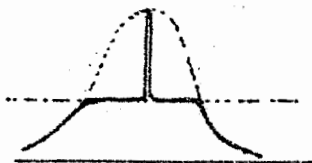
$$\tau = \frac{N}{2\pi ab}$$

d'où une fréquence de coupure  $F_c = \frac{ab}{N}$



Pour obtenir le bruit le plus faible possible il faut que pour  $f < f_1$  (figue ci-contre) le bruit soit celui de la référence multipliée mais soit au contraire celui de l'oscillateur seul pour  $f > f_1$ .

Ceci est obtenu pour une fréquence de coupure de la boucle



de l'ordre de  $2f_1$ , la méthode à suivre est alors la suivante :

On considère d'abord la boucle du 1<sup>er</sup> ordre obtenue avec  $R$  grande (sans  $C_1$  et  $C_2$ ) le coefficient  $b$  peut être calculé puisque pour  $\Delta\varphi = 360^\circ$  le courant passe toujours dans l'une des voies (par exemple  $I_2 = 0$ ). En utilisant l'équation ci-dessous on calcule  $R$  pour avoir  $F_c = a b(R)/N \sim 2f_1$

Ensuite pour atténuer plus rapidement l'action de la boucle au-delà de  $f_1$  on ajoute un pôle par  $C_2$  en prenant par exemple  $RC_2 w = 1$  pour  $w = 2\pi f_2$  (voir figure) avec  $f_2 \sim 3$  ou  $4 f_1$ .

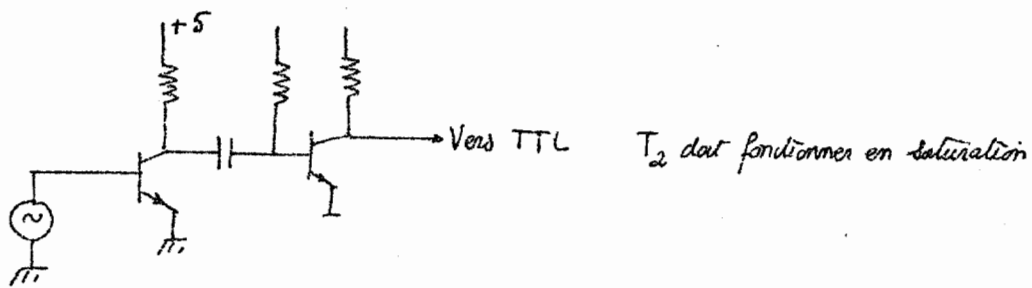
Vers la fréquence centrale au contraire on augmente le gain grâce au terme intégral obtenu par  $C_1$  en prenant  $RC_1 w = 1$  pour  $w \sim \frac{1}{3}$  ou  $\frac{1}{2}$  de  $f_1$ .

C'est une méthode approchée fournissant des résultats très voisins de ceux fournis par le calcul rigoureux très long.

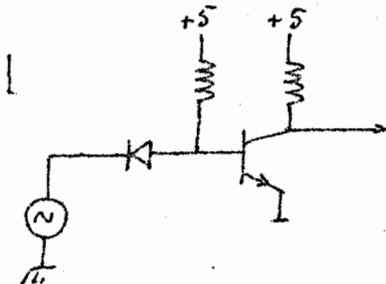
## C de Formeur

Pour utiliser les circuits précédents on a souvent besoin de fabriquer à partir d'un signal sinusoïdal une tension acceptable par la logique TTL par exemple.

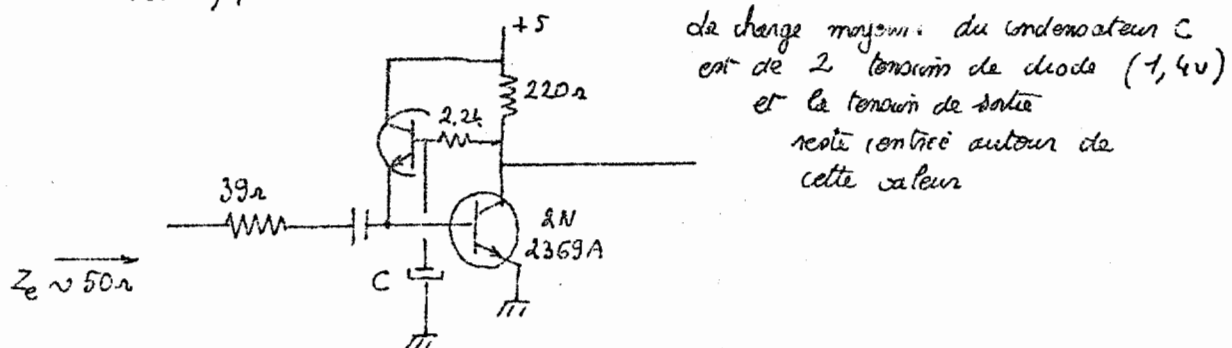
En TTL on sait qu'en dessous de 1,4 volt d'entrée il faut entraîner du courant au circuit donc les conditions pour des fréquences pas trop élevées on peut faire appel aux montages suivants



Le circuit ci-dessous est encore plus simple



Pour des fréquences plus élevées on utilise un circuit autocentré sur 1,4 volt.



#### D) de diviseur programmable

Voir chapitre précédent.

## V Comparaison des fréquences

Il s'agit de comparer deux fréquences voisines ou dans un rapport simple. Cette opération fondamentale se rencontre très souvent dans les instruments ou les systèmes de télécommunications.

Puisque si les 2 fréquences sont  $F$  et  $F+E$  on desire mesurer  $E$  en un temps le plus court possible.

des fréquences de comparaison les plus souvent rencontrées sont 100 kHz, 1 MHz et 3 MHz. Avec les progrès réalisés dans la fabrication des quartz le 10 MHz commence à être utilisé de 1 kHz qui était la fréquence de référence standard par les PTT est peu à peu abandonné car trop bas, pour 2 fréquences à 1 kHz distancées de quelques  $10^{-8}$  le temps de mesure serait trop long.

La fréquence la plus souvent rencontrée est le 5 MHz

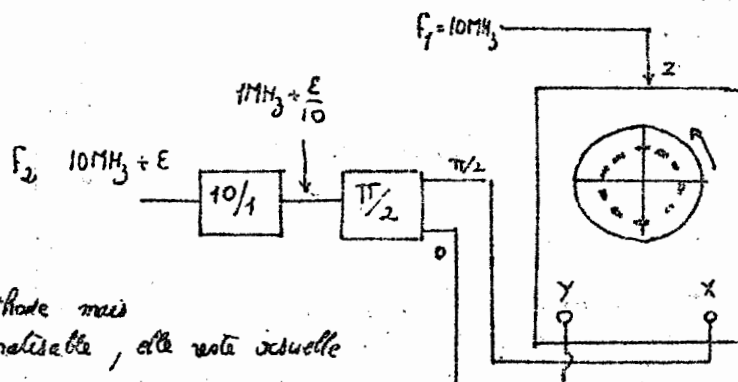
### V<sub>I</sub> Comparateurs directes

### V<sub>II</sub> Méthode de débâlage

C'est une méthode de comparaison visuelle simple, pour 2 fréquences voisines l'ellipsoïde observé sur l'écran tourne à la fréquence  $\Delta f$  différence entre les 2 fréquences incidentes, mais il n'est pas facile de déterminer le signe du  $\Delta f$ .

### V<sub>III</sub> Méthode par ponction

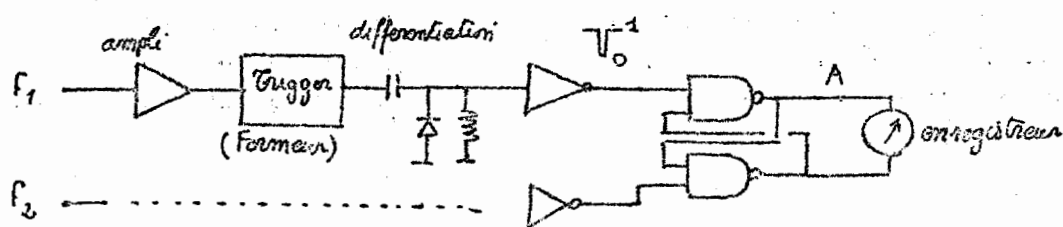
On utilise la modulation verticale d'un oscilloscope (entrée Z) d'une des fréquences est appliquée sur cette entrée Z, l'autre après division par 10 est utilisé pour fabriquer deux signaux en quadrature permettant de déterminer sur l'écran d'un oscilloscope un cercle de signal appliquée à l'entrée Z module la luminosité et fait apparaître sur le cercle précédent 10 zones de surveillance. Ces zones sont fixes si les 2 fréquences sont égales. Si elles tournent dans un sens ou l'autre suivant le signe du  $\Delta f$ . Si l'on contrôle ce temps mis par une zone pour défilez sous le cercle pour  $f_1 = 10 \text{ MHz}$  le  $\Delta f/f$  est alors  $10^{-2}/3$ .



C'est une bonne méthode mais difficilement automatisable, elle reste actuelle

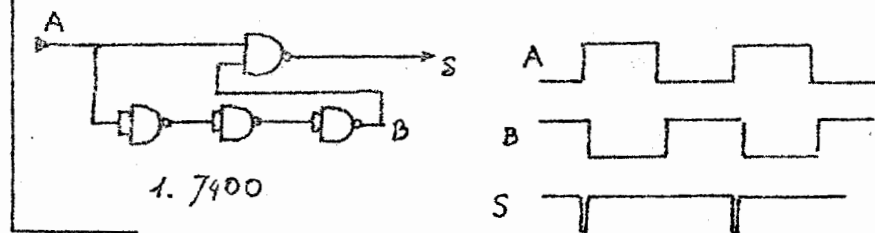
### V<sub>IV</sub> Enregistrement de la phase entre les deux fréquences d'entrée

de phasomètre utilisé peut être purement digital  
- les 2 fréquences sont mises en forme puis transformées en impulsions régulières attaquant les deux entrées d'une bacule RS

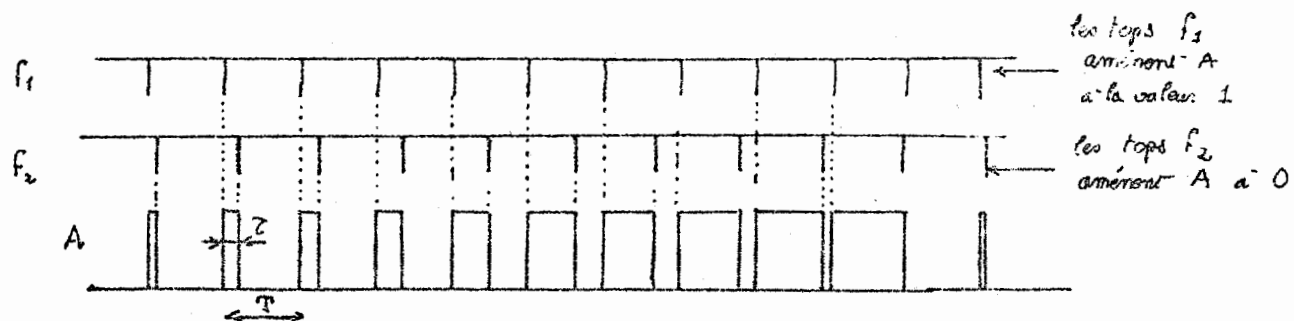


Rémanque:

Il est souvent préférable de fabriquer les tops brevés sans utilisation de condensateurs moins fiable que les circuits intégrés. On peut faire appel au circuit suivant mettant à profit le temps de transit des portes



Il est facile de voir que la largeur relative du niveau positif mesurée en A augmente linéairement avec la différence de phase entre les 2 signaux



Il suffit de prendre la valeur moyenne de A par intégration

$$\bar{A} = V_i \cdot \frac{t}{T}$$

En pratique il suffit de relier A à un enregistreur dont le temps de réponse admet l'intégration cherchée

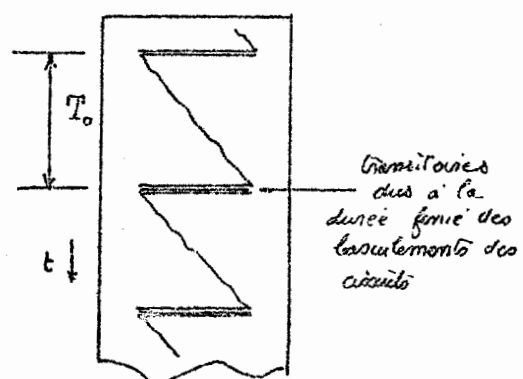
C'est une méthode précise et simple mais demande un temps de dépeuplement important

Pour  $f_1 = 1 \text{ MHz}$

$f_2 = 1 \text{ MHz} + \epsilon$

avec  $\epsilon = 10^{-9}$

il faut  $10^9$  périodes soit  $10^4$  secondes  
pour que la phase relative varie de  $2\pi$   
(soit  $T_0 = 10^4 \text{ sec}$ )



de forme de la courbe enregistrée

entre 2 pétages par  $\phi = 0$  donne des renseignements précis sur le comportement des oscillateurs mais qui ne sont pas toujours nécessaires. On a besoin seulement de savoir combien il faut faire tourner le disque pour 24 heures, et donc quel sens, la phase relative a varié de  $360^\circ$ . Dans ces conditions l'enregistreur est inutile et peut être remplacé par un système logique

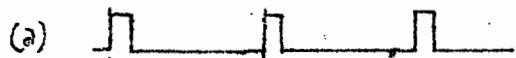
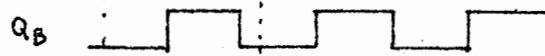
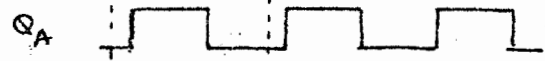
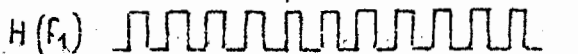
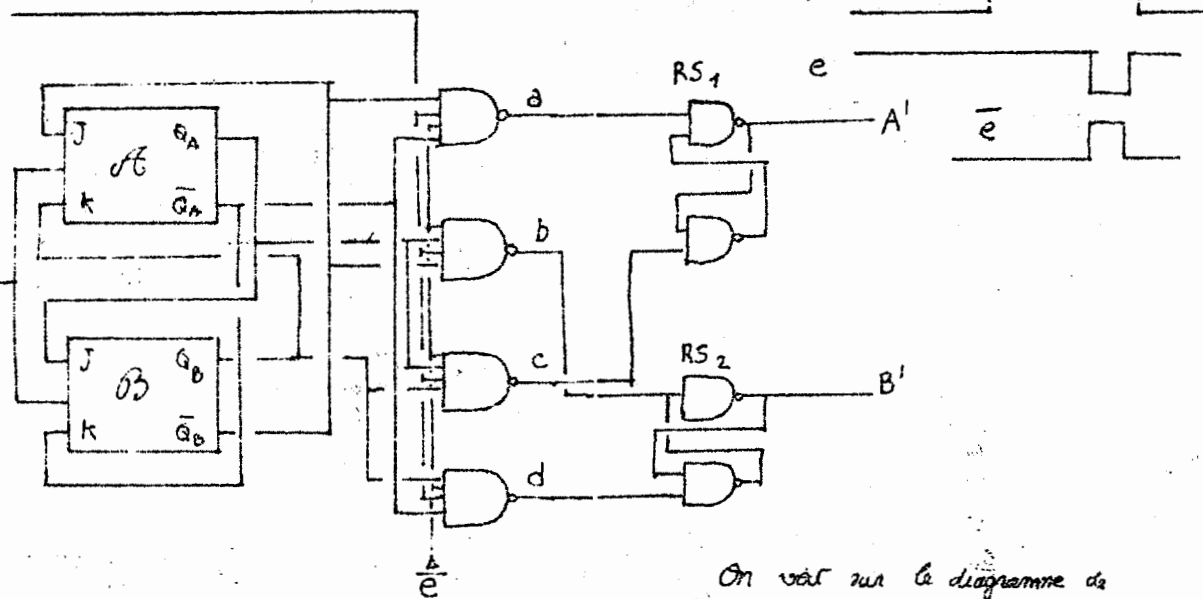
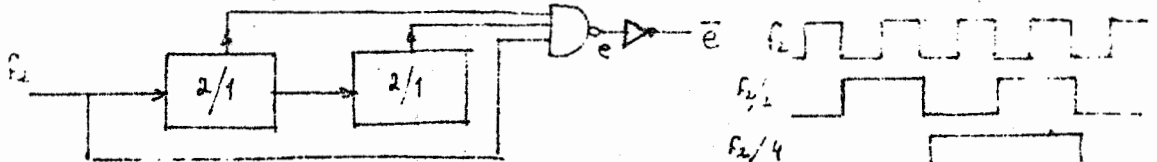
Rémanque tout d'abord que pour observer dans quel sens évolue un système rotacoidal il faut faire appel à un circuit polyphasé. Un terme en court est la projection d'un mouvement circulaire pouvant s'effectuer dans un sens ou dans l'autre, si l'on ne dispose pas d'une observation directe

2 axes. La détermination du sens n'est pas possible.

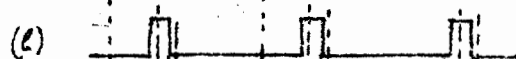
Nous allons donc d'abord fabriquer un signal polyphasé à partir de l'une des 2 fréquences à comparer, pour cela une double bascule JK maitre esclave convient parfaitement.

Le montage ci-dessous délivre 4 impulsions se succédant sur 4 voies d'orientation.

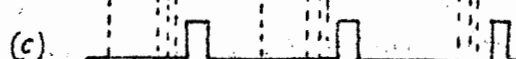
A partir de la fréquence  $f_2$  on fabrique de même un signal  $\bar{e}$ , lequel la phase relative par rapport aux temps prototypiques pour être automatique.



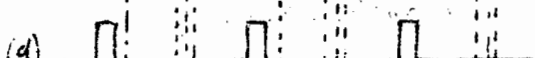
$H\bar{Q}_A\bar{Q}_B$



$H\bar{Q}_A\bar{Q}_B$



$H\bar{Q}_A\bar{Q}_B$



$H\bar{Q}_A\bar{Q}_B$

4 périodes de  $f_2$

$f_2 > f_1$

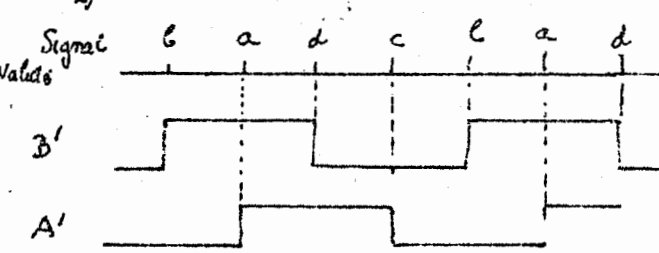
On voit sur le diagramme de fonctionnement ci-joint dont la construction ne nécessite aucun commentaire que les 4 temps successifs de l'angle ont une même période de  $f_1$ , qui équivaleraient en a b c d, sont en fait en partie validés par le signal  $\bar{e}$ .

Sur la figure la phase du temps  $\bar{e}$  par rapport au signal  $H$  est telle que seul le signal  $H\bar{Q}_A\bar{Q}_B = b$  parvient en sortie et amène donc  $RS_2$  en position  $B' = 1$ .

Si la fréquence  $f_2$  est plus élevée que  $f_1$ , le signal  $\bar{e}$  va prendre du retard et glisser vers la gauche, il va donc valider et donc l'ordre des signaux  $b \rightarrow a \rightarrow d \rightarrow c$ .

$\bar{e}$  (côte de  $f_2$ )

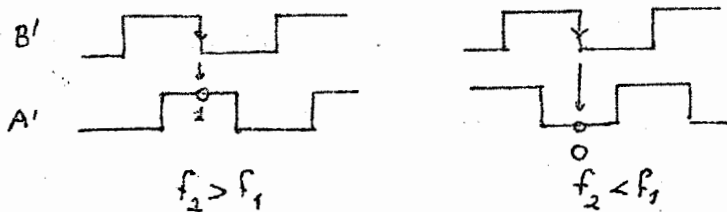
Signal Valide



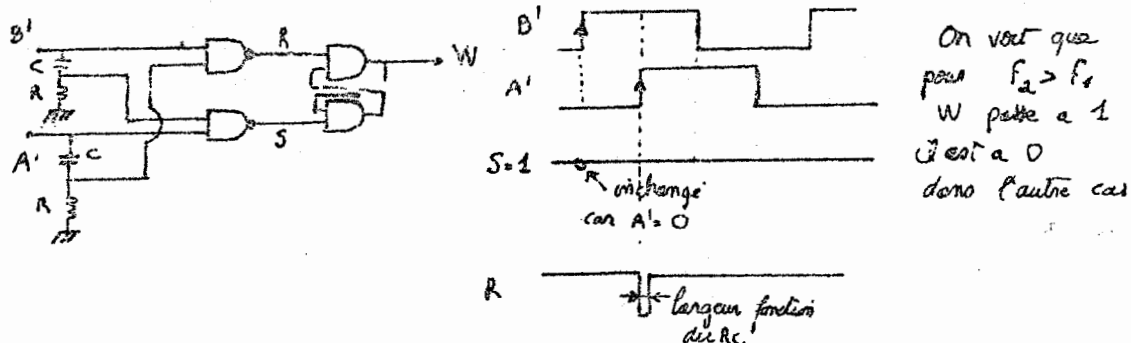
$A'$

$f_2 > f_1$

A la sortie des 2 bascules RS on a un signal à la fréquence  $E = f_2 - f_1$ . En tenant compte de la phase relative c'est à dire par exemple de l'état de A' lors d'une transition déterminée de B' on peut sans ambiguïté déterminer le signe de E.



Il est facile d'imaginer un circuit affichant automatiquement ce signe par exemple avec un RS et 2 portes



#### V<sub>4</sub> Comptage de fréquence direct

Cette méthode simple n'est pas intéressante pour les faibles écarts de fréquence car il faut attendre au moins le temps que met la phase relative à varier de  $360^\circ$  soit 1 Hz de  $\Delta f$ . Pour une variation relative de  $10^{-6}$  à 1 MHz le temps de comptage doit dépasser une seconde de montage de base. Donc le suivant, la porte P passe entre la fréquence  $F_2$  pendant  $10^6$  périodes de  $F_1$ .

$$\text{Si } F_1 = 1375325 \text{ Hz} \\ F_2 = 1375410 \text{ Hz} \\ \text{le compteur affichera}$$

$$N = \frac{1375410}{1375325} = 1.000.061$$

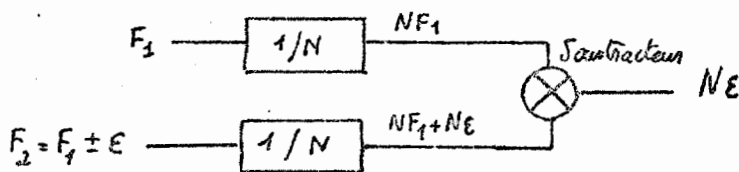
c'est à dire "on divisé" l'écart relatif  $61 \cdot 10^{-6}$

Cette méthode n'est utilisable que pour de faibles différences aussi est-il intéressant de multiplier par un facteur grand comme l'écart à mesurer, c'est l'opération effectuée par les multiplicateurs d'erreur.

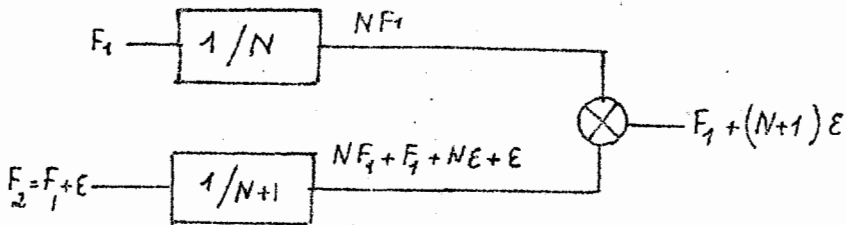
#### V<sub>2</sub> des multiplicateurs d'erreur

##### V<sub>2.1</sub> Multiplication directe

On multiplie tout simplement les 2 fréquences à comparer, l'écart absolu est évidemment multiplié dans le même rapport. Il suffit ensuite d'utiliser un soustracteur

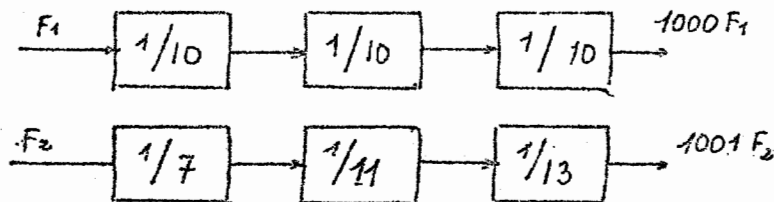


de l'inconvénient de la méthode est que le signe de l'erreur  $E$  n'est pas connu. On peut remédier à cela en faisant différer d'une unité les taux de multiplication : la fréquence de sortie se trouve ainsi composé d'un terme constant auquel s'ajoute  $E$  avec son signe.



La réalisation de multiplicateurs de ce type n'est pas facile, remarquons toutefois que  
 $99 = 9 \times 11$   
 $1001 = 7 \times 11 \times 13$

D'où une structure possible

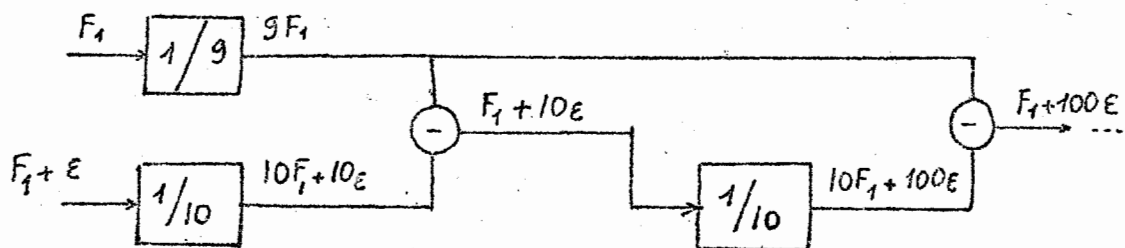


De toute façon cette méthode n'est applicable qu'à des taux de multiplication faibles et des fréquences faibles par suite de la fréquence élevée à laquelle on aboutit à la sortie des multiplicateurs.

## V.2 Multiplicateur d'erreur de Parzon

C'est l'ancêtre des montages multiplicateurs d'écart de fréquence. Soient  $F_1$  et  $F_1 + E$  les 2 fréquences

d'une est multipliée par 9 l'autre par 10. Le bâtonnement soustractif des 2 fréquences multipliées conduit à  $F_1 + 10E$  c'est à dire une fréquence pour laquelle l'écart de fréquence avec  $F_1$  est multiplié par 10.



On peut recommencer l'opération de la même façon.

En pratique il est difficile de dépasser 2 ou 3 étages en effet

- les fréquences multipliées  $10F_1$  ou  $9F_1$  ne doivent pas contenir du tout de fondamental  $F_1$  ce qui nécessite des filtres de très bonne qualité.
- des bruits sont multipliés également, il est impossible de réaliser des filtres suffisamment étroits pour amener le bruit à un niveau acceptable au delà de 3 étages. Cet inconvénient est le plus grave, le montage suivant est pratiquement exempt de ce défaut.

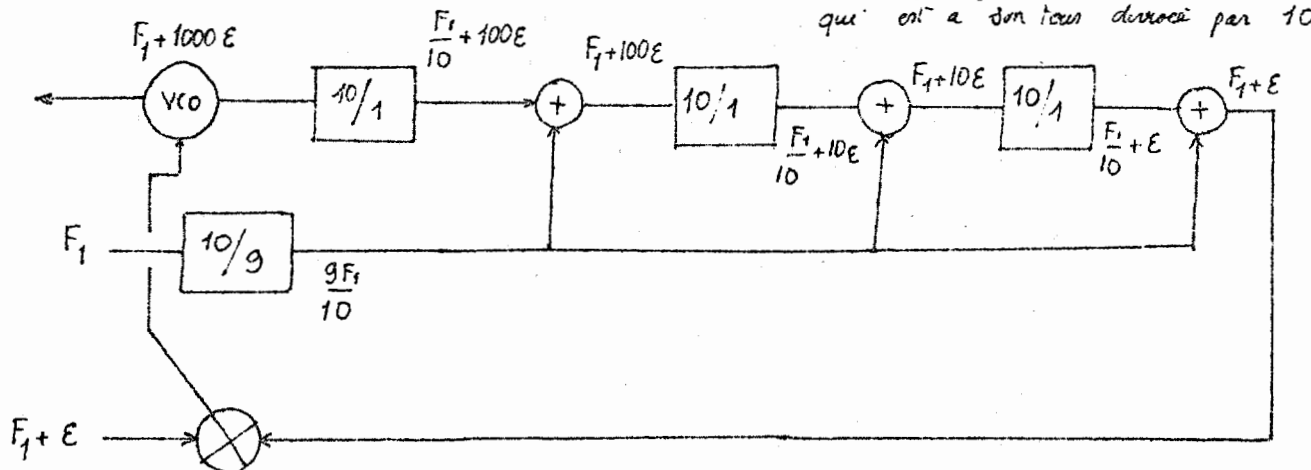
### V.2.3 Multiplieur d'erreur à boucle d'asservissement de phase

On utilise ou fait un diviseur d'erreur placé dans une boucle d'asservissement. Un oscillateur VCO oscillant sur  $F_1 + 1000 \text{ E}$  est attenu en phase sur la fréquence d'entrée  $F_1 + E$  après division de l'erreur par 1000 de montage est donné ci-dessous.

Un additionneur reçoit d'une part la fréquence ( $F_1 + 100 \text{ E}$ ) provenant du VCO par division par 10 et la fréquence de référence  $F_1$  multipliée par  $9/10$ , il en sort

après filtrage  $F_1 + 100 \text{ E}$

qui est à son tour divisé par 10



puis comparée au même  $9F_1/10$  ce qui donne un battement à  $F_1 + 10 \text{ E}$ , une nouvelle division amène de la même façon à  $F_1 + E$  qui est appliquée au comparateur de phase recevant le 2<sup>e</sup> signal ( $F_1 + E$ ) et pilotant le VCO

Le circuit présente de nombreux avantages

- un diviseur est plus facile à faire qu'un multiplicateur
- la constante de temps (donc la bande passante) peut être choisie à volonté. Une grande C<sup>o</sup> de temps joue le rôle du filtre de très haute sélectivité automatiquement accordé sur la fréquence utile qui était irréalisable dans le cas du montage de Panzen. Un taux de multiplication d'erreur de  $10^6$  est facilement réalisable
- Soit par exemple une VCO qui a  $1 \text{ MHz}$  à une sensibilité de  $1 \text{ kHz}$  pour 1 radian de variation de phase. La constante de temps dans le cas d'une boucle du 1<sup>er</sup> ordre est pour un taux de 1000

$$\tau = N / 2\pi a b = 0,16 \text{ sec}$$

sont une fréquence de coupure

$$f_c = 6,28 \text{ Hz}$$

Au point de vue du bruit le résultat est le même que celui que l'on obtiendrait avec le montage de Panzen associé à un filtre ayant une largeur de bande relative de

$$\frac{6,28}{10^6} = \frac{1}{160.000}$$

ce qui est irréalisable

- Soit à comparer deux fréquences voisines de  $1 \text{ MHz}$  ( $1 \text{ MHz}$  et  $1 \text{ MHz} + E$ ) on utilisant 6 étages on obtient  $1 \text{ MHz} + 10^6 \text{ E}$  par comptage direct pendant une seconde comme il a été dit plus haut (paragraphe V.I.4) le compteur affiche directement les  $10^{-12}$  de stabilité relative

## V1 Synthèse des fréquences

Le synthétiseur de fréquence est un appareil qui à partir d'un signal de fréquence  $F_0$  très stable est capable de fabriquer toute fréquence de la forme

$$F_s = \frac{N}{D} F_0$$

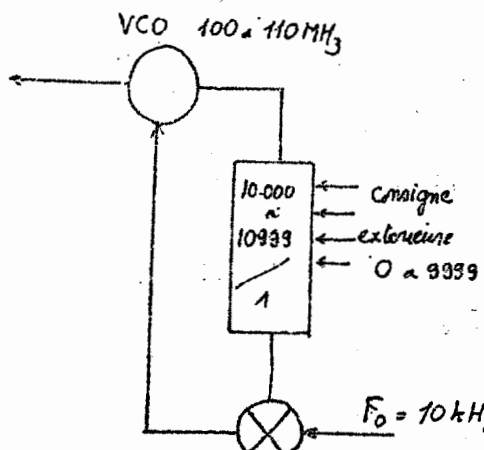
où  $D$  est généralement une fréquence entière de 10 et  $N$  un entier pouvant avoir un nombre important de chiffres significatifs que nous noterons

$$N = [m.c.d.u]$$

### V1.1 Cas particuliers

Il s'agit le plus souvent de générer un nombre assez faible de fréquences divisées pour éviter d'employer une série de quartz par exemple

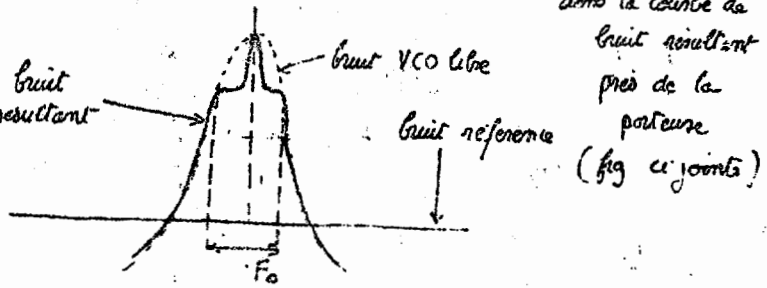
a) fabriquer toutes les fréquences de 100 à 110 MHz de 10 en 10 kHz. Une boucle d'atténuation de phase entraînée par un diviseur variable dont le taux est ajustable de 10.000 à 10999 peut être utilisée



Le résultat sera mauvais car:  
la constante de temps sera très importante  
le taux de division étant grand

$$(T = \frac{N}{2\pi f_0})$$

d'où fréquence de coupure de la boucle très faible  
il y a un pincement à fort niveau dans la courbe de

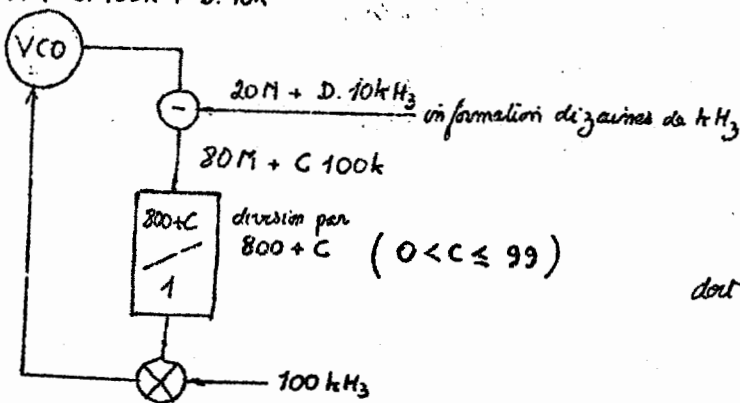


Bruit n'ayant pas de portance

(fig ci-jointe)

La situation peut être améliorée si l'on utilise une fréquence annexe permettant de séparer les pas de 100 kHz et ceux de 10 kHz.  
Soit  $(100 \text{ MHz} + C. 100 \text{ kHz} + D. 10 \text{ kHz})$  la fréquence désirée au VCO  
on introduit dans un comparateur soustractif un signal à fréquence voisine de 20 MHz porteur de l'information  $D$ , sa fréquence sera  $20 \text{ MHz} + D. 10 \text{ kHz}$  avec  $0 < D < 10$   
le résultat du balancement est divisé par un rapport variant seulement de 800 à 899

$$100M + C. 100k + D. 10k$$

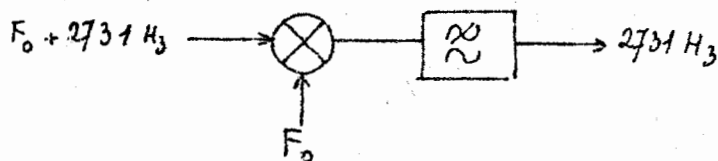


La compensation finie se fait celle fois à 100 kHz et le diviseur à un taux de division 10 fois plus faible mais un circuit auxiliaire dont gère le 20 + D 10

## V12 Partage du synthétiseur itératif

Il s'agit de réaliser une structure dans laquelle les chiffres successifs de la fréquence à synthétiser sont introduits l'un après l'autre. Chaque introduction est faite par un circuit appelé unité d'insertion digitale (UID) en plus simplement décrite

Remarquons d'abord que l'opération se fait toujours avec l'aide d'une penteuse  $F_0$  de fréquence plus haute que la plus grande des fréquences à synthétiser, pour fabriquer  $2731\text{ Hz}$  on réalise d'abord  $F_0 + 2731\text{ Hz}$  que l'on fait battre ensuite dans un mélangeur soustractif avec  $F_0$  pour éliminer par filtrage les  $2731\text{ Hz}$  déduits



Sert donc à synthétiser une fréquence qui n'est en système décimal [CDU] (centaines C, dizaines d, unités u)

Une 1<sup>re</sup> méthode dans laquelle les chiffres u, d, et c sont introduits successivement peut être la suivante.

Par un procédé sur lequel nous reviendrons plus haut on réalise la fréquence  $\frac{9F_0}{1000} + u$  (soit au total 10 fréquences discrètes  $\frac{9F_0}{1000}$  à  $\frac{9F_0}{1000} + 9\text{ Hz}$ )

par battage additif avec  $\frac{F_0}{1000}$  on obtient

$$\frac{F_0}{100} + u$$

Ce qui constitue la 1<sup>re</sup> décade

On fabrique alors  $\frac{9F_0}{100} + 10d$

soit 10 fréquences discrètes de  $\left( \frac{9F_0}{100} + \frac{9F_0}{100} + 90\text{ Hz} \right)$  ( $0 \leq d \leq 9$ )

qui par battage avec le résultat précédent conduit

$$\frac{F_0}{10} + [d u]$$

Dans la 3<sup>e</sup> UID on fabrique enfin  $\frac{9F_0}{10} + 100c$  ( $0 \leq c \leq 9$ )

qui par battage avec le résultat précédent donne

$$F_0 + 100c + 10d + u = F_0 + [cdu]$$

Un battage soustractif final avec  $F_0$  élimine la fréquence cherchée



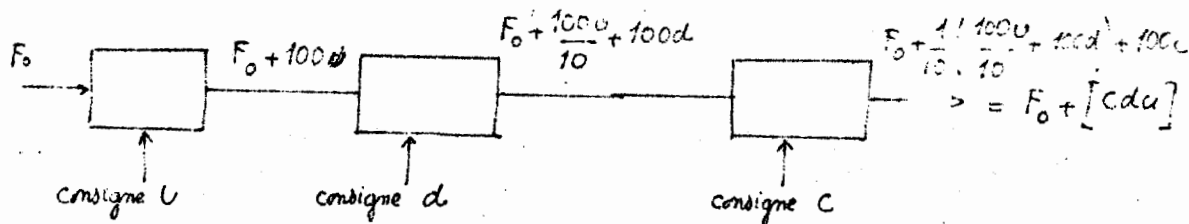
Avec ce montage théorique les chiffres sont bien introduits successivement mais :

- Nous n'avons pas écrit la façon de réaliser les diverses fonctions
- des diverses unités d'ordination digitale ne sont pas identiques

Pour redoubler cette difficulté chaque V/D doit :

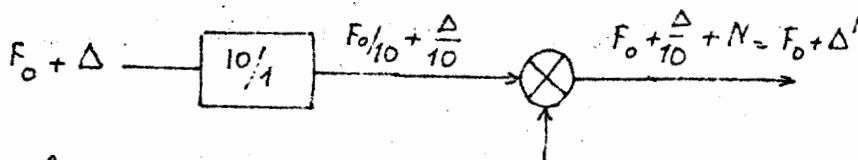
- ajouter sa propre contribution
- diviser par 10 la contribution de l'étage précédent

Par exemple la 1<sup>re</sup> V/D ajoutera à  $F_0$  le terme 100 U  
la seconde ajoutera à ce qui lui est injecté 100d en divisant par 10 l'unement précédent qui devient 10 U, etc...



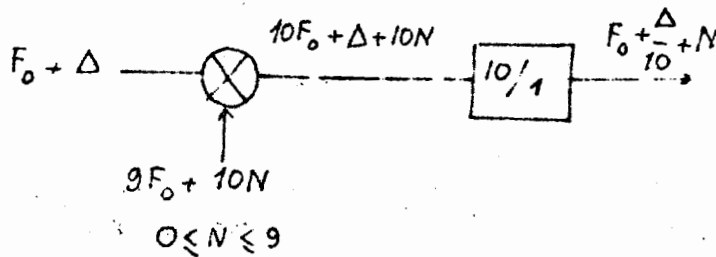
Pour effectuer la division de l'unément précédent 2 structures sont possibles suivant que le diviseur est placé en tête ou en queue

Par exemple avec un diviseur en tête :



$\Delta$  étant l'unément introduit par les étages précédents  
 $N$  celui introduit par la decade considérée

Avec un diviseur en queue on aurait :



Le résultat est le même mais ce montage est moins intéressant car les composants travaillent à des fréquences 10 fois plus élevées

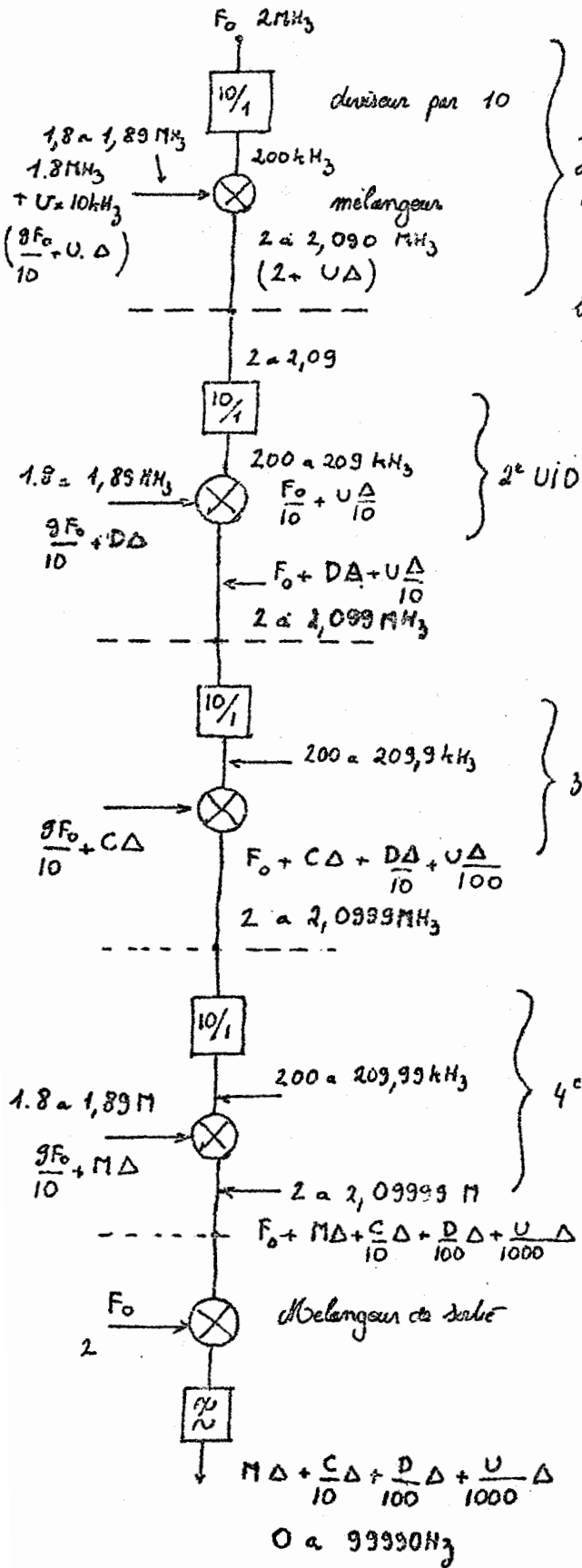
### Choix de $F_0$

$F_0$  doit être telle que le filtrage à la sortie des mélangeurs soit toujours possible. En pratique il faut respecter la condition

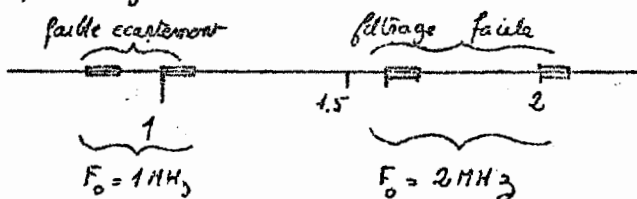
$$F_0 > 10 \times [\text{Somme de tous les pas}]$$

Exemple

Soit des pas de  $\Delta = 10 \text{ kHz}$ , la somme des pas est de  $100 \text{ kHz}$  au maximum et faut donc  $F_0 > 1 \text{ MHz}$ , nous prendrons  $F_0 = 2 \text{ MHz}$ .  
La structure est alors la suivante :



On voit la nécessité d'avoir un  $F_0$  élevé, à la sortie du mélangeur on a à égaler une fréquence comprise en 2 et 2,090 MHz.  
Si  $F_0$  valait 1 MHz, seulement les 2 bandes seraient beaucoup plus difficilement séparables  
1 à 1,09 MHz contre 800 à 889 kHz.



Par exemple pour synthétiser

87650 Hz

on injectera sur les mélangeurs des UUD successifs

- 1,85 MHz → qui donnera à la sortie de la 1<sup>er</sup> UUD 2,05 MHz
  - 1,86 → sortie du 2<sup>e</sup> UUD 2,065
  - 1,87 → 2,075
  - 1,88 → 2,085
  - 2,0875
- Par balancement de sortie → 87650 Hz

Chaque UUD reçoit une fréquence choisie dans la série de 10

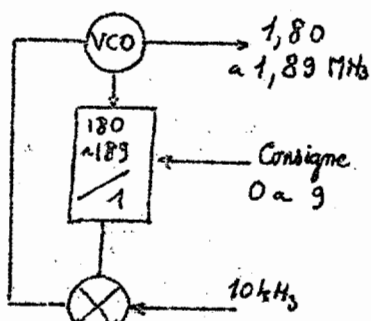
1,8 - 1,81 - 1,82... - 1,89 MHz

On distingue 2 types de synthétiseurs suivant la manière dont les fréquences sont fabriquées :

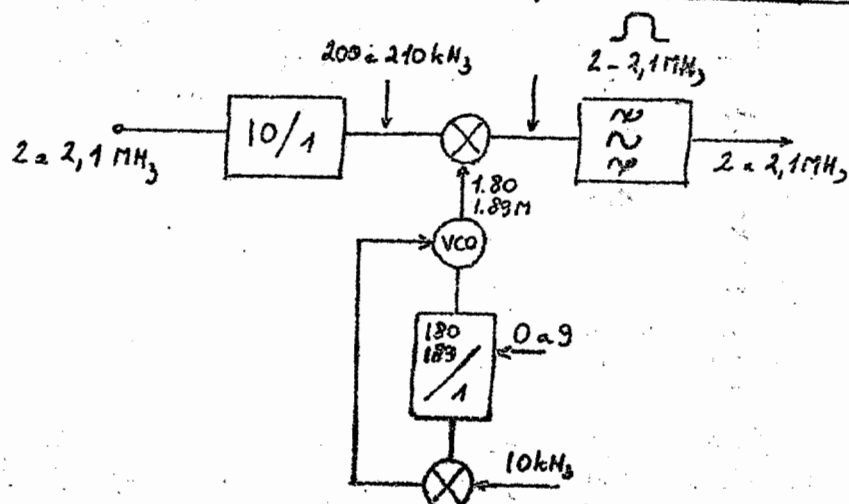
- des 10 fréquences sont générées dans l'appareil et prélevées ensuite par un commutateur pour alimenter chaque decade. C'est la synthèse directe.  
C'est une méthode lourde car il faut 10 oscillateurs pilotés par 10 boucles d'asservissement de phase, de plus ces 10 fréquences sont distribuées dans tout le collage ce qui est à priori mauvais (couplages parasites) mais le temps d'acquisition peut être court, 5 à 10 µs sans difficultés.
- La synthèse directe est peu à peu abandonnée au profit de la synthèse indirecte où chaque VCO est équipé d'un oscillateur séparé générant la fréquence nécessaire.
  - Il faut un VCO + PLL par VCO dont souvent moins de 10, donc économie de composants
  - les couplages parasites sont réduits chaque VCO étant mieux isolé des autres
  - Mais en contre partie le changement de fréquence peut être plus long car il faut tenir compte du temps d'acquisition des boucles d'asservissement de phase (200 µs à 5 ms)

### VJ3 Technologie des synthétiseurs. Structure de l'unité d'oscillation digitale

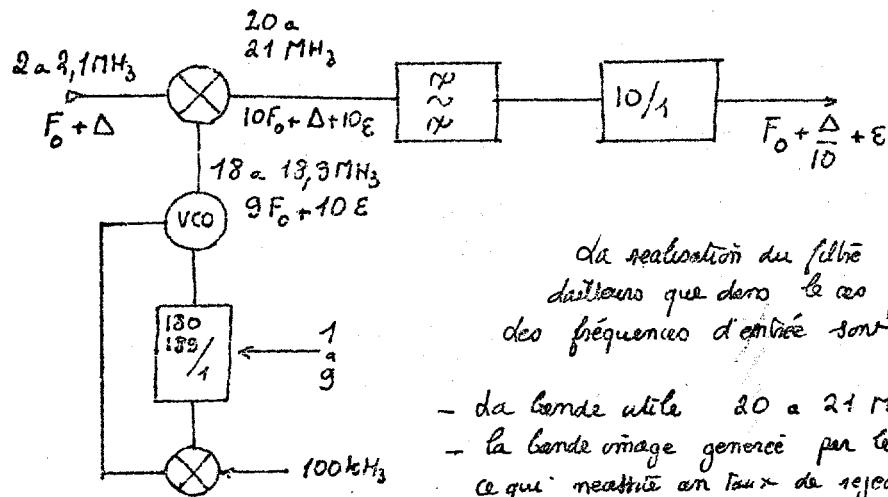
Pour fabriquer la fréquence intermédiaire, 1,8 à 1,89 MHz, par pas de 10 kHz, la structure la plus simple est la tunable, elle utilise un diviseur programmable sur consigne de 180 à 189



Ce qui conduit à la structure suivante pour la décade complète ou synthèse indirecte:



Le diviseur a été placé en tête de façon à faire travailler les circuits le plus bas possible en fréquence mais ce n'est pas une obligation. Un exemple de division de sortie est donné ci-après.

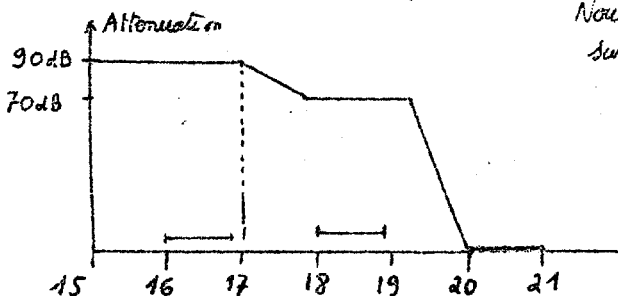


La réalisation du filtre présente toujours, de même  
différences que dans le cas précédent, quelques difficultés  
des fréquences d'entrée sont :

- la bande utile 20 à 21 MHz,
- la bande image générée par le mélangeur, de niveau comparable  
ce qui nécessite un taux de réjection de l'ordre de 90 dB (16 à 16,9 MHz),
- le résidu de fréquence d'entrée du mélangeur 18 à 18,9 MHz

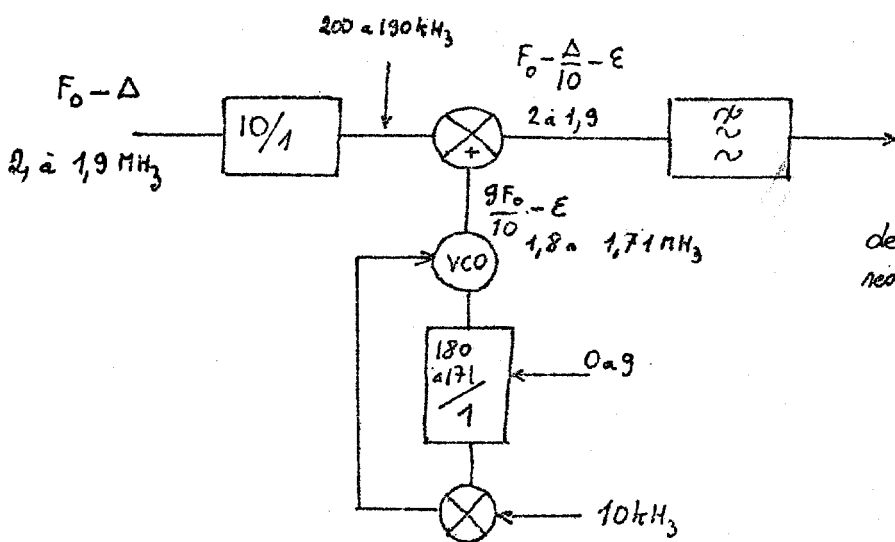
présent à un niveau de l'ordre de -30 dB si le mélangeur est bien équilibré  
ce qui fait qu'une atténuation de -70 dB suffit pour le filtre.

Dès la courbe d'atténuation demandée pour le filtre



Nous reviendrons plus loin  
sur ce problème de filtrage

- Il est possible d'utiliser des enversements négatifs. C'est ce qui  
est fait dans l'exemple ci-dessous. On dit que cette méthode est "la méthode du spectre inversé"

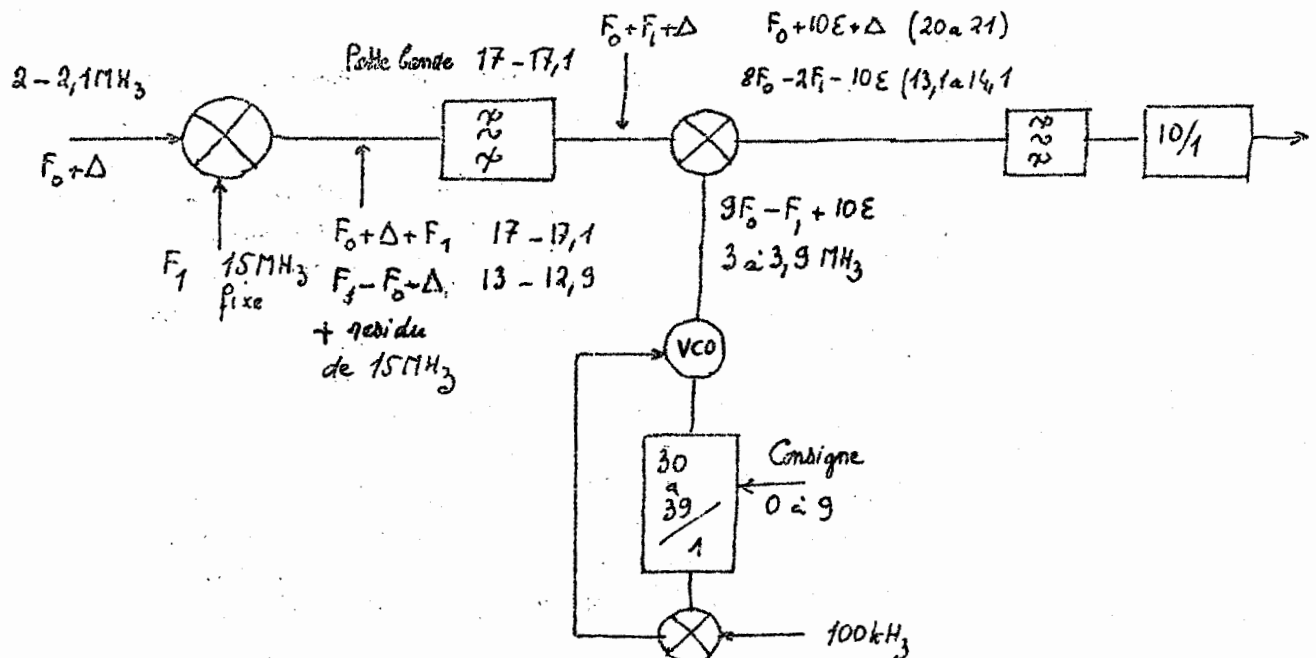


d'avantage pour déterminer  
qui apparaît est un  
taux de division  
plus faible  
171 à 180 au lieu  
de 180 à 189  
de problème de filtrage  
reste la même.

L'augmentation de la facilité du filtrage est obtenue au même temps qu'une  
diminution importante du taux de division en faisant appel à un double changement  
de fréquence. Considérons dans le cadre de notre exemple numérique  
la figure suivante donne le schéma bloc de l'VID à double changement  
de fréquence et division de sortie

de  $9F_0 = 18 \text{ MHz}$  est coupé en deux

$15 + 3 \text{ MHz}$



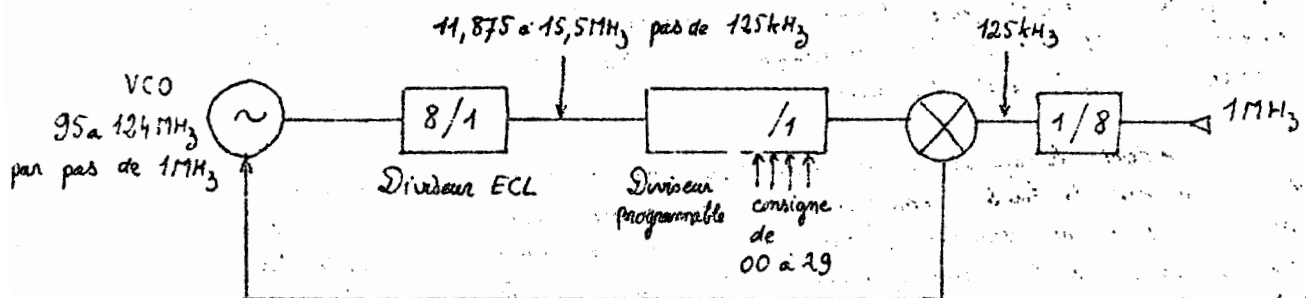
A la sortie du 2<sup>e</sup> mélangeur, le signal parasite le plus proche est à  $6 \text{ MHz}$   
Le diviseur est à deux pas bas (on a vu plus haut sa structure)  
Bien que plus complexe cette structure n'a que des avantages

### Structures plus évoluées

de but est surtout de faciliter la montée en fréquence.

#### A) Boucle de phase triple

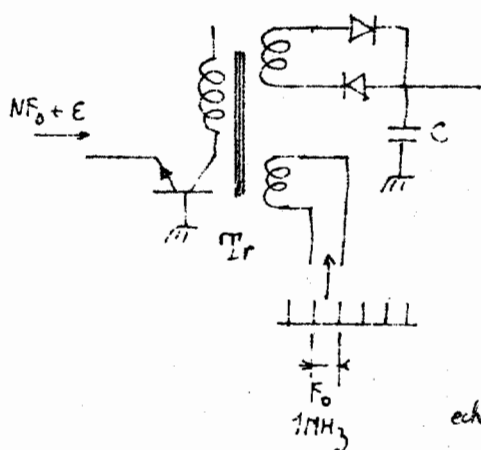
des diviseurs programmables ne sont réalisables que jusqu'à quelques dizaines de megahertz au mieux, lorsque l'on devra synthétiser une fréquence très élevée on est amené à la diviser (et il existe des diviseurs ECL jusqu'à  $1.6 \text{ GHz}$ ) avant d'attaquer le diviseur programmable. Par exemple pour réaliser un oscillateur aux environs de  $100 \text{ MHz}$  stabilisé sur les harmoniques d'un quartz à  $15 \text{ MHz}$  on fera appel au circuit ci-dessous



de pas est divisé également par 8 et le taux de division global doit varier de  $95000/125 = 760$  à  $124000/125 = 992$ . Avec un tel taux compte tenu du Q réalisable pour les circuits de filtrage une pulsation spectrale convenable ne peut pas être obtenue de système de la boucle triple permet de résoudre ce problème

Un système par triple boucle comporte d'abord une boucle ordinaire à fort taux de division telle qu'elle vient d'être décrite plus haut mais à laquelle on a ajouté un interrupteur commandable (un TEC) et une capacité  $C$  capable de garder en mémoire l'ordre provenant du comparateur de phase  $K_1$ .

Par ailleurs on effectue une comparaison directe par échantillonnage envoi la fréquence  $NF_0 + \epsilon$  du VCO et les harmoniques de  $1MHz$ . Le montage peut avoir la structure ci-dessous :



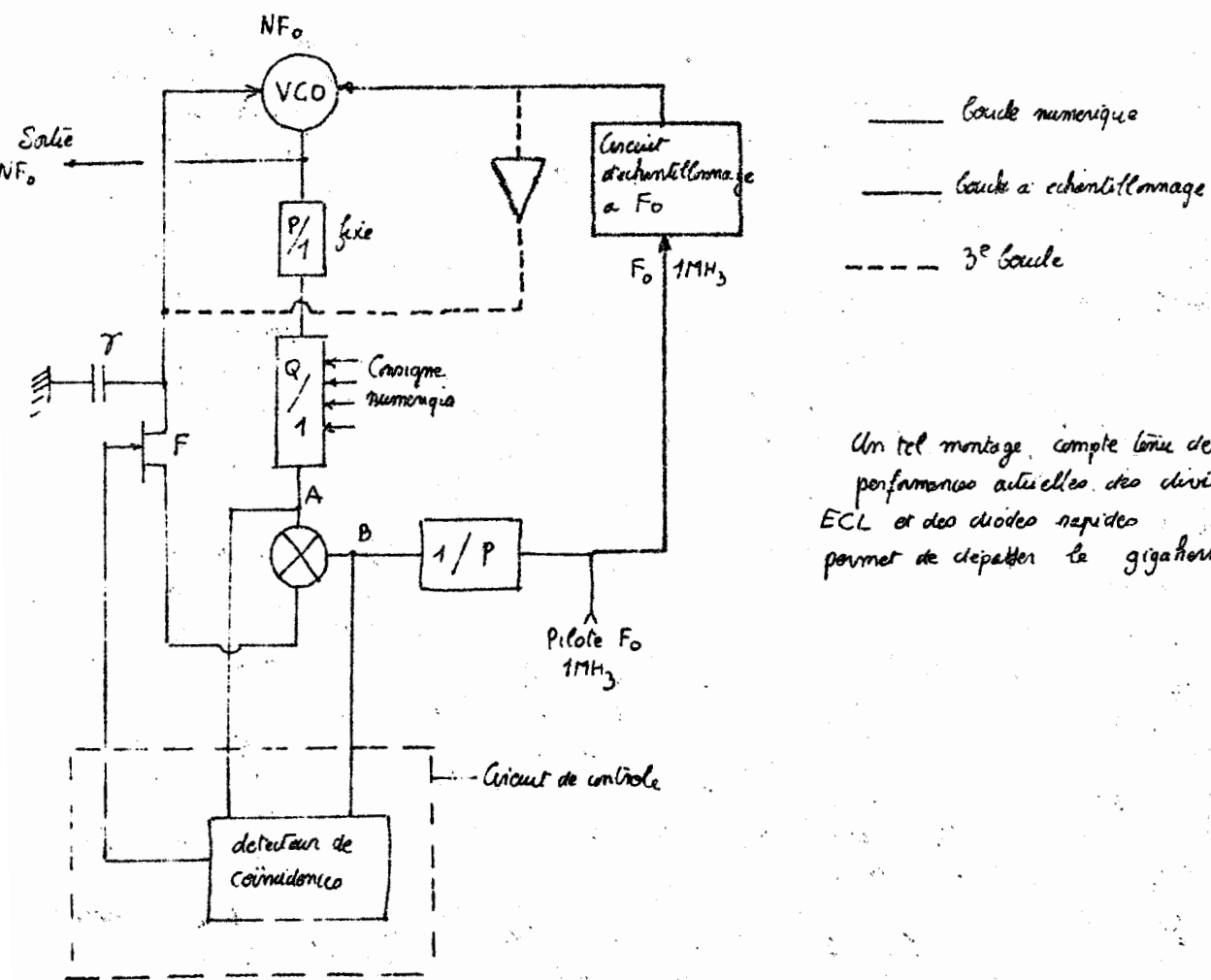
Le transformateur  $Tr$  est un transformateur toroïdal recevant sur son primaire le signal à  $NF_0$  venu du VCO et sur un enroulement de commande des impulsions à  $F_0$  ( $1MHz$ ). Ces impulsions très serrées (fabriquées avec une diode snap-off par exemple) rendent les 2 diodes  $D_1$  et  $D_2$  (qui sont des diodes rapides) conductrices ce qui permet au signal  $NF_0$  d'être appliqué aux diodes. On fait en quelque sorte un échantillonnage de  $NF_0 + \epsilon$  à la fréquence  $F_0$ .

On sait qu'une tension continue n'apparait aux bornes de  $C$  que si la fréquence échantillonnée ( $NF_0 + \epsilon$ ) est un multiple entier de la fréquence d'échantillonnage ( $F_0$ )

La tension continue sur  $C$  pourra servir à bloquer le VCO sur un des harmoniques de  $F_0$ . Si il n'y a pas de diviseur de grand rapport le bruit peut être faible mais les harmoniques étant très serrés la plage d'ajustissement sera très étroite.

On fait alors intervenir un circuit de coïncidence. On sait en effet que pour un comparateur de phase à l'accord les 2 tensions qu'il reçoit sont en quadrature. Un détecteur de coïncidence placé entre les points A et B du montage permettra de savoir si la boucle numérique est accrochée ou non ; à l'accrochage les signaux en A et B sont en quadrature, il n'y a plus coïncidence et un signal d'ouverture est (au bout de quelques périodes) appliqué au TEC qui ouvre la boucle numérique. La boucle à échantillonnage est alors prépondérante la capacité  $T$  ayant gagné l'onde élaborée par la boucle numérique c'est à dire amenée à VCO sur le bon harmonique. Ce bruit introduit par le diviseur de division n'intervient plus alors.

Cependant la capacité  $T$  ne pourrait pas conserver longtemps la mémoire et lors d'accrochage la boucle numérique ferait de nouveau solliciter la boucle à échantillonnage ayant déroché. Pour y remédier on utilise un amplificateur qui à partir de la tension d'envers élaborée par la boucle à échantillonnage rend maintenue à son niveau d'origine la charge de  $T$ , c'est la 3<sup>e</sup> boucle mise en œuvre dans ce système. Ainsi après une période d'acquisition au départ la boucle numérique source de bruit n'intervient plus.



Un tel montage, compte tenu des performances actuelles des diviseurs ECL et des diodes rapides permet de dépasser le gigahertz.

### B ) Système à 5 Gouales

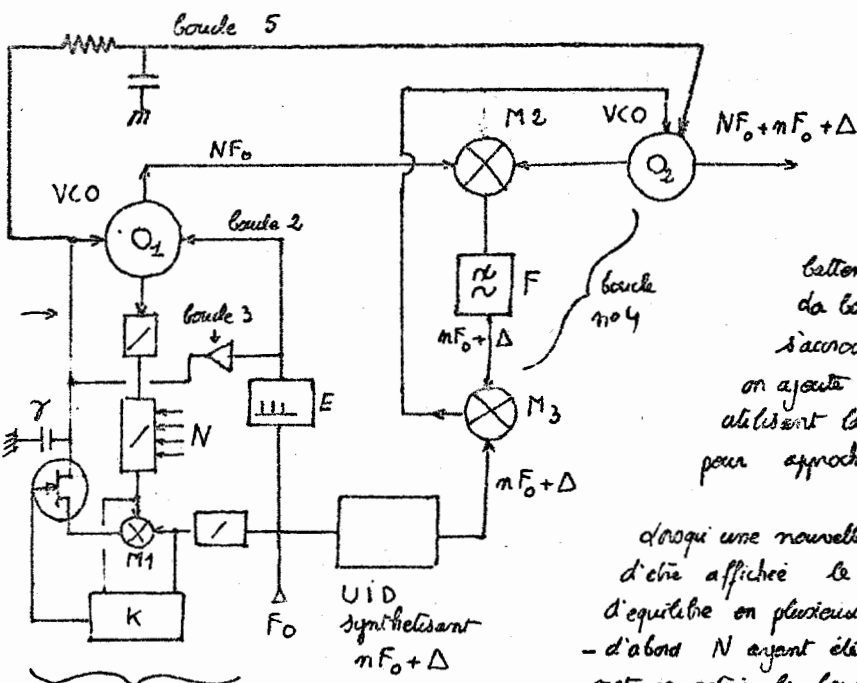
Nous venons de voir comment, en faisant appel à une triple gouale d'atténuation il était possible de synthétiser une fréquence du type  $NF_0$  avec  $F_0 = 1 \text{ ou } 5 \text{ MHz}$ , et  $N$  grand de façon que  $NF_0$  soit de l'ordre de la centaine de mégahertz. Pour réaliser un synthétiseur complet il faut ajouter au résultat précédent les faibles niveaux correspondant aux chiffres de plus faible poids. Cela peut être obtenu de la façon suivante :

- On fabrique d'abord par la méthode classique décrite plus haut une fréquence  $nF_0 + \Delta$  située dans la gamme des 10 ou 20 MHz ( $n \ll N$ )

$\Delta$  représentant tous les niveaux de poids inférieurs à  $F_0$

Cela ne présente pas de difficulté puisque  $n$  est faible

- Soit alors un VCO, note  $O_2$  sur la figure ci-dessous, qui doit osciller sur la fréquence finale cherchée  $NF_0 + nF_0 + \Delta$ . On a fait battre dans un mélangeur soustractif avec  $NF_0$  provenant de  $O_1$  le signal de battement de fréquence  $nF_0 + \Delta$  est comparé avec le  $nF_0 + \Delta$  fabriqué plus tôt et la tension d'erreur pilote  $O_2$  de façon à le maintenir sur la bonne fréquence.



Boucle tri pôle  
fabriquant NF<sub>0</sub>

de système ne peut fonctionner tel quel car lors d'un changement volontaire de  $N$  les 2 oscillateurs  $O_1$  et  $O_2$  ont des fréquences trop différentes pour que leur battement passe dans le filtre  $F$  de boucle 4 ne pourrait pas s'accorder. Pour y remédier on ajoute une 5<sup>e</sup> boucle en utilisant la tension de commande de  $O_1$  pour approcher  $O_2$  de sa valeur correcte

dès qu'une nouvelle valeur de fréquence vient d'être affichée le système atteint son régime d'équilibre en plusieurs étapes.

- d'abord  $N$  ayant été changé la valeur à coïncidence  $K$  met en action la boucle numérique (1) qui

cale  $O_1$  sur  $NF_0$  mais avec beaucoup de bruit

- le système à coïncidence libère alors la boucle numérique et l'atterrissement est maintenu par la boucle à échantillonnage (2)

la tension de commande de  $O_1$  étant reconnue grâce à la boucle 3 . de bruit est alors faible

- de la tension aux bornes de  $T$  sont d'approche à l'oscillateur  $O_2$  , quand il est suffisamment proche de la valeur donnée le battement issu de  $M_2$  viene au filtre  $F$  et le comparateur  $M_3$  qui est par exemple du type phase-fréquence cale définitivement  $O_2$  sur la même fréquence

Soit par exemple à réaliser un synthétiseur 100 MHz :

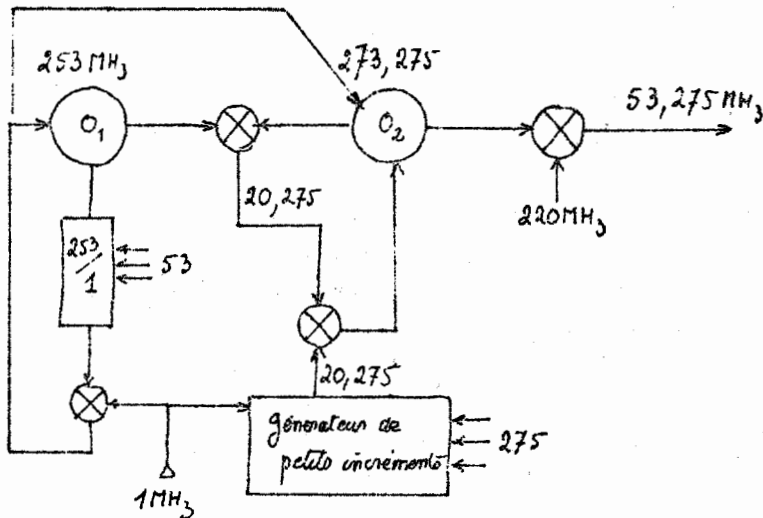
On choisira  $NF_0 + \Delta$  de 20 à 21 MHz  
et  $NF_0$  variable de 200 à 299 MHz

$NF_0 + mF_0 + \Delta$  sera alors de 220 à 320 MHz  
le 100 MHz de sortie sera obtenu par battement avec un oscillateur fixe à 220 MHz

Pour synthétiser 53,275 MHz on fera appeler à :

$NF_0 = 253$  MHz obtenu en affichant comme entrée 53 au niveau de la boucle 1 ce sont les 2 chiffres de plus fort poids ( $F_0 = 1$  MHz)  
Trois unités d'entretien digitale fabriqueront par ailleurs  
 $mF_0 + \Delta = 20,275$  MHz ( $n = 20$  fois)

À la sortie de  $O_2$  la fréquence sera 273,275 MHz ce qui par battement avec la source de fréquence fixe 220 MHz conduit au signal désiré.



### Remarque

Dans le montage précédent tous les incrémentations de fréquence sont pilotés par le même oscillateur cela correspond à la 1<sup>re</sup> structure générale d'atelier plus bas.

Cette structure présente 3 avantages fondamentaux

a) On peut s'arranger pour que  $NF_0 + nF_0 + \Delta$  couvre l'octave

c) avec le balancement souhaité on sortira un bénéfice de 2 qualités supplémentaires :

Pour obtenir le signal de sortie on soustrait à la fréquence de l'oscillateur interne  $O_2$  une valeur fixe  $kF_0$

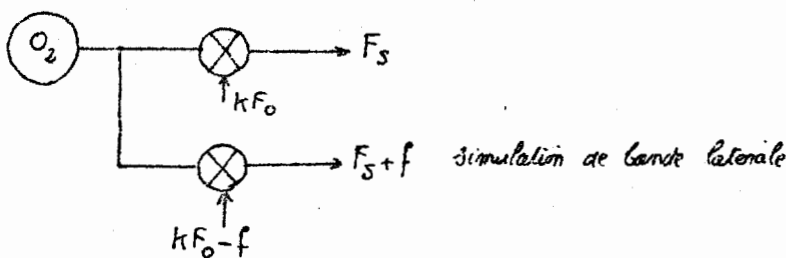
$$\text{alors } F_s = (N+n-k)F_0 + \Delta$$

une valeur nulle peut être atteinte pour  $N=k-n$

mais il est possible de doubler le système de sortie en soustrayant à  $O_2$   $kF_0 - f$  on obtient alors

$$F'_s = (N+n-k)F_0 + f + \Delta = F_s + f$$

On dispose ainsi sur 2 sorties de 2 fréquences distinctes de  $f$ , ce qui peut être utilisé pour réaliser des simulateurs pour systèmes de transmission à bande latérale unique



c) On peut enfin piloter des voltmètres sélectifs

Le voisinage de la sortie du circuit précédent on dispose de 2 fréquences  $(m+N)F_0 + \Delta$  et  $(n+N-k)F_0 + \Delta$  dont la différence est constante

Mais on peut utiliser l'une de ces fréquences par exemple la 2<sup>e</sup> pour exciter un système physique dont on veut étudier la réponse. Le signal de sortie du système

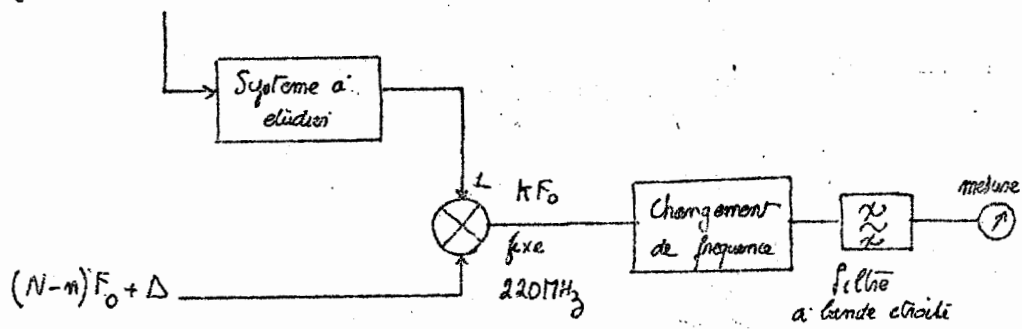
est envoyé sur l'entrée linéaire d'un mélangeur équilibré dont la fréquence de sortie est fixe. Le signal obtenu peut

être filtré par un filtre aussi étroit que l'on veut en faisant appel éventuellement à

plusieurs changement de fréquences successifs.

$$(N+n-k)F_0 + \Delta$$

(variable de 0 à  $F_{\text{max}}$ )



la bande de mesure peut être très étroite (10Hz) et des signaux très faibles (quelques dizaines de nanovolt) peuvent être mis en évidence.

## VI<sub>4</sub> Problèmes de filtrage : réalisation des filtres

des problèmes de filtrage conditionnent souvent comme on vient de le voir le choix d'un schéma de synthèse, nous nous proposons de donner ici quelques indications sur le calcul des filtres.

Premièrement que pour la réalisation des synthétiseurs la qualité primordiale d'un filtre est son aptitude à rejeter des fréquences parasites, des ondulations du gain dans la bande passebande, dispersion du temps de propagation de groupe, sont moins importants ce qui contribue à faciliter les calculs.

### 1<sup>o</sup>) des filtres passe bas.

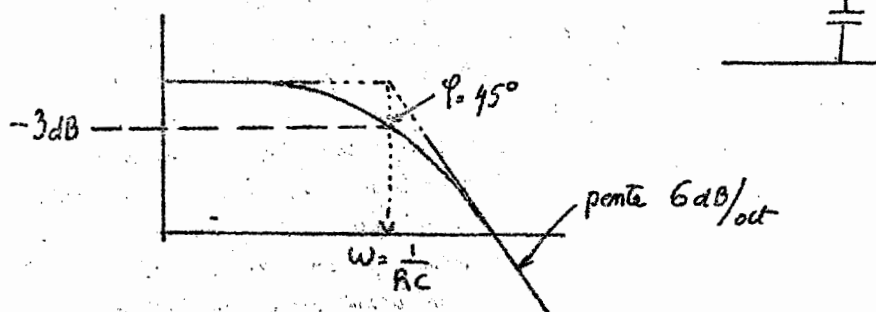
les plus simples sont les filtres dont la fonction de transfert n'a pas de zéros finis c'est le cas des modèles de Butterworth, Tchebycheff, Bessel. des filtres ayant des zéros par exemple ceux de Cauer sont plus efficaces pour rejeter une fréquence donnée mais de mise en œuvre plus difficile.

#### - des filtres de Butterworth

Ce sont des filtres dont la bande est la plus plate possible à la fréquence zéro on les désigne par le qualificatif de "Maximally flat". leur fonction de transfert est de la forme

$$|F(j\omega)|^2 = \frac{1}{1 + \left(\frac{\omega}{\omega_c}\right)^{2n}}$$

de plus simple de ces filtres est le RC

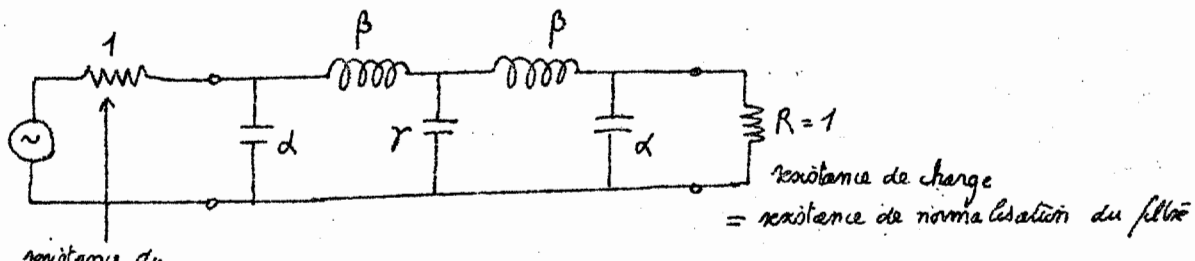


Sa courbe est reproduite ci-dessus, elle est entièrement minorée dans un "galon" ayant une pente de  $6 \text{ dB/oct}$  au-delà de la fréquence de coupure  $\omega = \frac{1}{RC}$

Il est d'usage de normaliser les impédances

- l'unité de self ou de capacité est telle que le terme  $L\omega$  ou  $\frac{1}{C\omega}$  est égale à l'impédance caractéristique du filtre à la fréquence de coupure  $\omega_c$ .  
Donc ces conditions le filtre précédent sera noté  $R=1$   $C=1$

Pour un Butterworth de degré plus élevé la structure classique est la suivante :



réistance du générateur = résistance de normalisation du filtre  
géométrique

Il est toujours souhaitable d'utiliser des filtres d'ordre impair. L'élément central est alors toujours de valeur 2 des valeurs de  $d$  et  $\beta$ . Les sont données par une construction

On trace alors un demi-cercle sur lequel on place les pôles de la fonction de transfert de Butterworth de degré désiré (ce sont les racines 2n ièmes de l'unité)

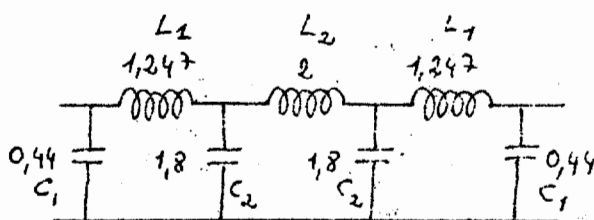
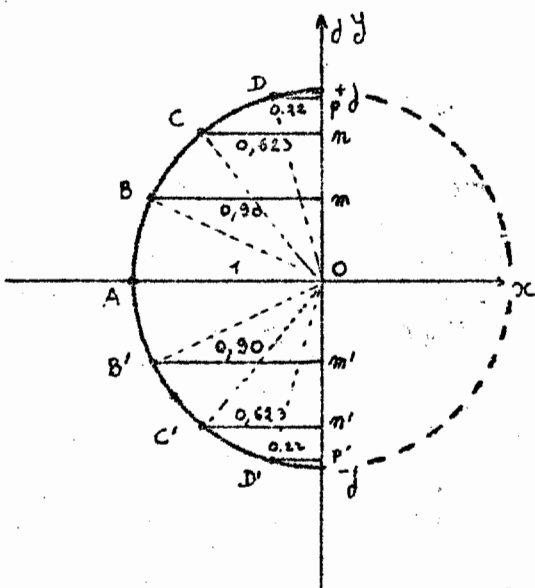
et l'on croise les segments tels que OA Bm B'm Cm C'm etc.. les valeurs normalisées des composants sont alors données par (pour le 3<sup>e</sup> ordre)

$$L_3 \text{ (élément central)} = 2$$

$$C_2 = C_3 = 2 \times \overline{Bm} = 1,8$$

$$L_1 = L_3 = 2 \times \overline{Cm} = 1,247$$

$$C_1 = C_4 = 2 \times \overline{Dp} = 0,44$$



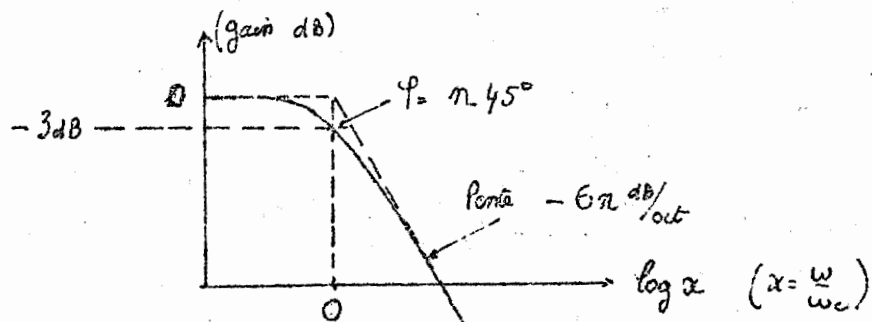
Pour une fréquence de coupure de  $1 \text{ MHz}$  et une résistance d'entrée de  $1 \text{k}\Omega$  cela conduit aux valeurs numériques suivantes :

- unité de self  $L = \frac{10^3 \Omega}{2\pi \cdot 10^6} = 159,15 \mu\text{H}$   $\left\{ \begin{array}{l} L_1 = 198 \mu\text{H} \\ L_2 = 318 \mu\text{H} \end{array} \right.$

- unité de capacité

$$C = \frac{1}{10^3 \cdot 2\pi \cdot 10^6} = 159,15 \text{ pF} \quad \left\{ \begin{array}{l} C_1 = 63 \text{ pF} \\ C_2 = 286 \text{ pF} \end{array} \right.$$

La courbe d'un Butterworth d'ordre n présente les caractéristiques indiquées ci-dessous

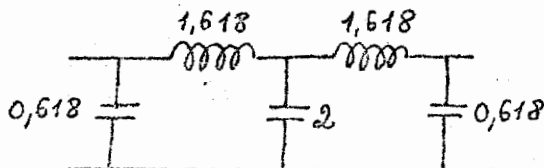


On peut remarquer encore que le produit des coefficients est toujours égal à 2 dans l'exemple précédent par exemple

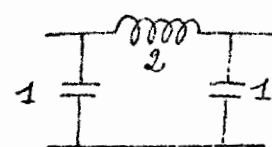
$$0,44 \times 1,247 \times 1,8 \times 2 = 2$$

De même pour le 5<sup>e</sup> ordre

ou pour le 3<sup>e</sup>



$$0,618 \times 1,618 \times 2 = 2$$



$$1 \times 2 = 2$$

### - Filtres de Tchebycheff

Ils sont pour les applications qui nous occupent meilleurs que les précédents. L'atténuation plus rapide au voisinage de  $w_c$  étant payé par une distorsion dans la bande passante. Le produit des coefficients est donné par des tables, il est supérieur à 2.

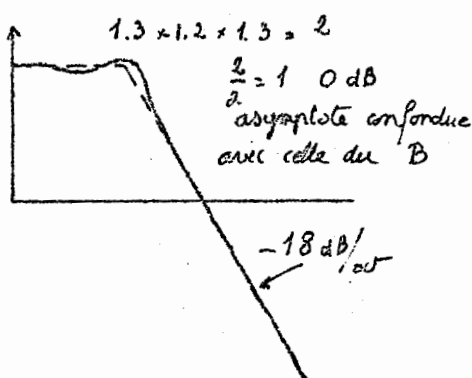
Par exemple pour 3 et 5

3	1,3	1,2	1,3	produit 2
5	1,4	1,4	2	1,4 1,4    product 8

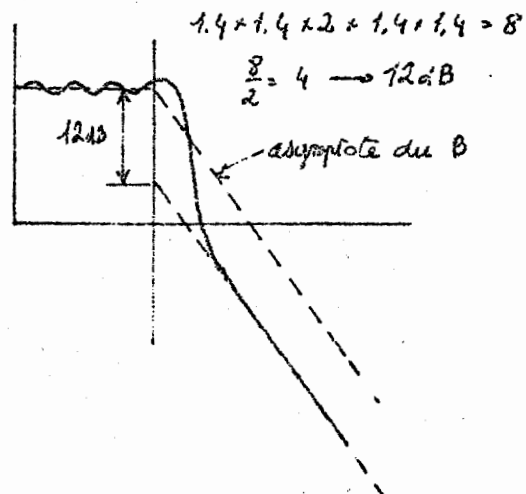
des tables donnent les coefficients mais non l'atténuation hors de la bande, pour la calculer utiliser la méthode suivante :

On fait le produit des coefficients et on divise par 2 (qui est le valeur du produit pour le Butterworth), la courbe est asymptotique à une droite de pente  $-6n \text{ dB/oct}$  située en dessous de l'asymptote du Butterworth d'un nombre de dB donné par le produit précédent. Par exemple

Ordre 3 :



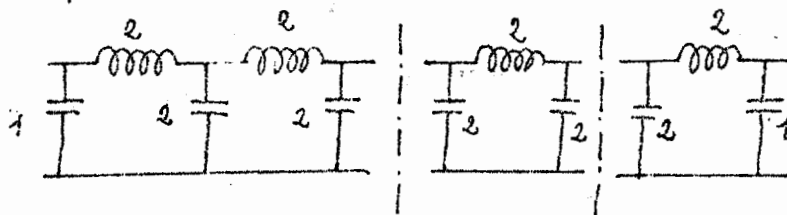
Ordre 5



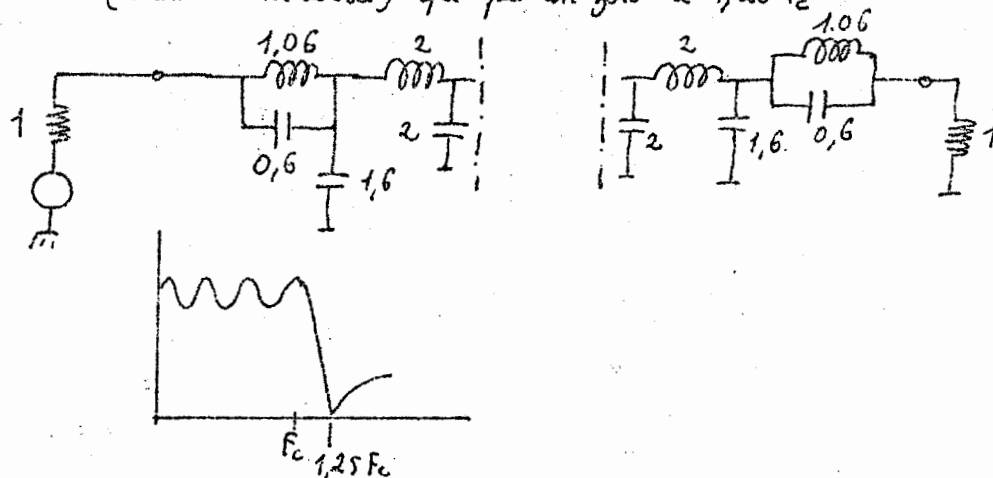
On ait l'ordre pour refaire une fréquence !

## Autres filtres

des filtres "téléphoniques" ont été beaucoup utilisés mais actuellement abandonnés car ils conduisent beaucoup dans la bande. Ils ont comme avantage leur grande simplicité de calcul.

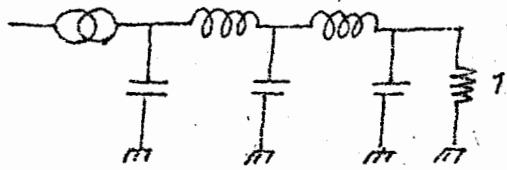


Pour les améliorer quelque peu on ajoute aux extrémités une cellule différente (cellule en m derrière) qui fait un zéro à  $f_c = 1,25 f_0$ .



## Filtres adaptés à un seul bout

C'est le cas où l'on attaque le circuit par une source de courant, de produit des coefficients pour le Butterworth est 1 au lieu de 2.



Pour les 3 éléments du Butterworth les coefficients sont

$$\frac{3}{2}, \frac{4}{3} \text{ et } \frac{1}{2}$$

et pour un Tchebycheff:

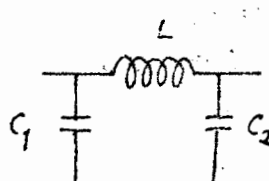
$$\approx 1,25, 1,25, 0,62 \text{ environ}$$

## 2°) des filtres passe-Bande

Dans les synthétiseurs on utilise essentiellement des passe-bas et des passe-bande.

Sur un filtre BF formé de selfs et condensateurs (fig 1) et de caractéristique donnée, on peut en déduire un filtre passe-bande en appliquant les règles suivantes.

Si le filtre doit travailler entre les fréquences  $f_1$  et  $f_2$  on doit d'abord avoir  $f_1 - f_2 = f_c$



Sur  $F_0$  la moyenne géométrique  $F_0 = \sqrt{f_1 f_2}$  on transforme le filtre BF en accolant les capacités par des selfs en parallèle et les selfs par des capacités en série

de façon à former des circuits ouillants parallèles et zéro calés sur  $F_0$  (fig 2)

fig 1

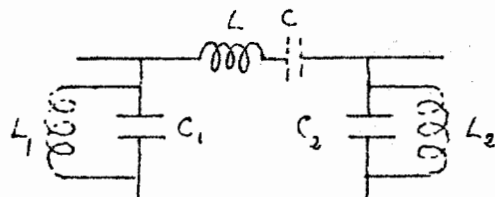
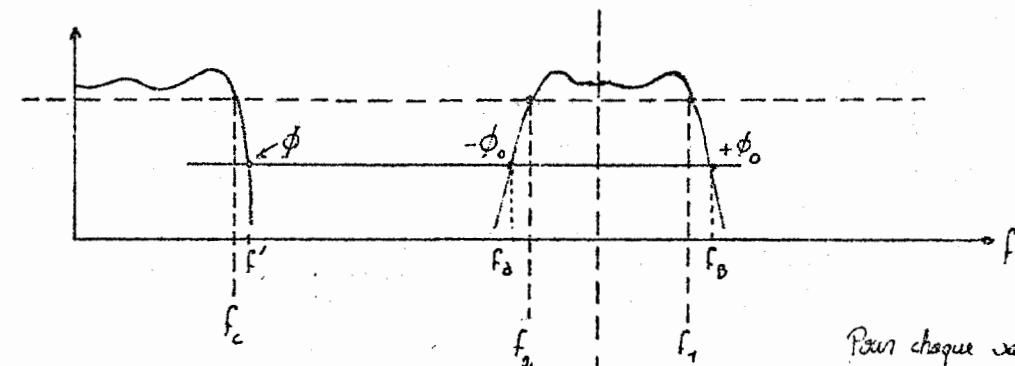


fig 2

Pour chaque valeur de l'atténuation du prototype BF correspondant à une fréquence  $f'$  le déphasage est  $\phi$ , il lui correspond 2 fréquences  $f_1$  et  $f_2$  sur la caractéristique du "petite bande" telles que  $f_B - f_A = f'$   $f_A \cdot f_B = f_0^2$ . les déphasages en ces 2 points étant respectivement  $+\phi$  et  $-\phi$ .

Exemple de calcul: Il faut toujours raisonner en fréquences symétriques de la fréquence centrale en coordonnées logarithmiques. Soit à réaliser un petite bande de 10 à 12 MHz et dont l'atténuation à 15 MHz est supérieure à 60 dB.

$$\text{Donc } f_2 = 12 \quad f_1 = 10 \quad \text{le symétrique de 15 est } \frac{10 \times 12}{15} = 8 \text{ MHz}$$

soit  $f_A = 8 \quad f_B = 15$

la bande passante est 2 MHz la bande rejetée  $15 - 8 = 7 \text{ MHz}$ . Le rapport de ces 2 bandes est 3,5 ce qui correspond à

$$20 \log 3,5 = 10,88 \text{ dB}$$

Si le filtre n'était constitué que d'un seul circuit résonant c'est à dire que son prototype BF avait un seul élément résonant l'atténuation à  $(15-8=7 \text{ MHz})$  ne serait que de 10,88 dB (décrissance en  $\omega^{-2}$ ). Nous en voulons 60 dB faut donc prendre au moins 6 éléments ; étant plus facile de faire des filtres symétriques ayant un nombre impair d'éléments nous prendrons 7 éléments.

Dans ces conditions  $60/7 = 8,57 \text{ dB}$  ce qui est obtenu par un rapport de fréquence de 2,7 seulement ( $20 \log 2,7 = 8,62$ )

sont une bande passante de  $7/2,7 = 2,6 \text{ MHz}$ . Avec 7 pôles on pourra donc élargir la bande sans perdre les performances imposées à 15 MHz ce qui est avantageux si l'un des éléments se dérègle légèrement.

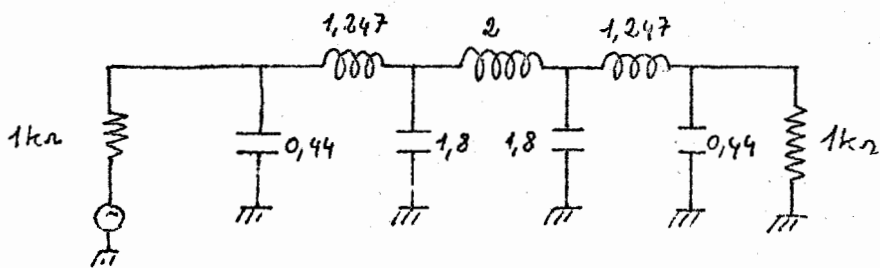
On va donc calculer un prototype BF dont la bande passante soit de 2,6 MHz avec 7 éléments. En maximally-flat pour une impédance de 1000Ω on a vu plus haut la valeur des coefficients

l'unité de ref. vaut

$$L = \frac{1000 \Omega}{2,6 \cdot 10^6 \cdot 2\pi} = 61,2 \mu H$$

celle de capacité

$$C = \frac{1}{10^3 \cdot 2\pi \cdot 10^6 \cdot 2,6} = 61 \text{ pF}$$



$$\text{Donc les valeurs à utiliser}$$

$$61,2 \times 2 = 122 \mu\text{H}$$

$$+ 1,247 = 76 \mu\text{H}$$

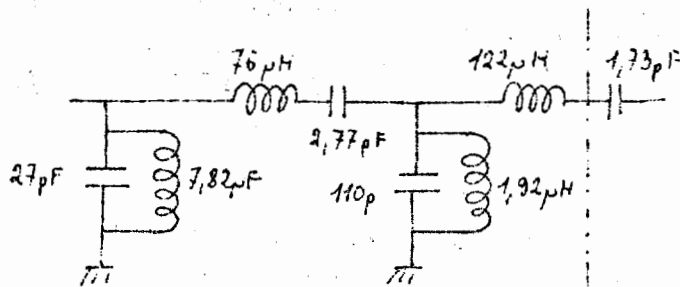
$$61 \mu\text{F} \times 1,8 = 110 \mu\text{F}$$

$$\times 0,44 = 27 \mu\text{F}$$

Il faut maintenant pour obtenir un passe bande accorder ces éléments sur  $\sqrt{10 \times 12} = 10,35 \text{ MHz}$

$$\begin{array}{ll} \text{Pour accorder } 122 \mu\text{H} & \text{il faut } C = 1,73 \mu\text{F} \\ 76 \mu\text{H} & C = 2,77 \mu\text{F} \\ 110 \mu\text{F} & - = 1,92 \mu\text{H} \\ 27 \mu\text{F} & 7,82 \mu\text{H} \end{array}$$

d'où le schéma

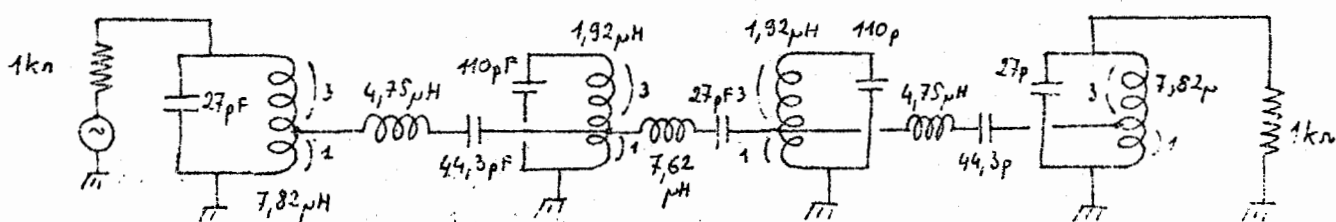
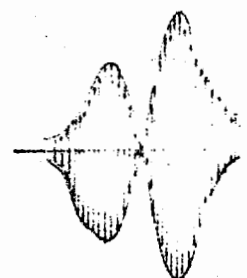


Il n'est pas réalisable par suite de la faible valeur des capacités. On y remédie en conservant la LC série de liaison sur des protos effectués sur les bobinages ; par exemple avec une perte au quart de l'oscillateur — la branche  $76 \mu\text{H} - 2,77 \mu\text{F}$  devient

$$\frac{76}{16} = 4,75 \mu\text{H}, 2,77 \times 16 = 44,3 \mu\text{F}$$

la branche  $122 \mu\text{H} - 1,73 \mu\text{F} \rightarrow 7,62 \mu\text{H}, 27,7 \mu\text{F}$

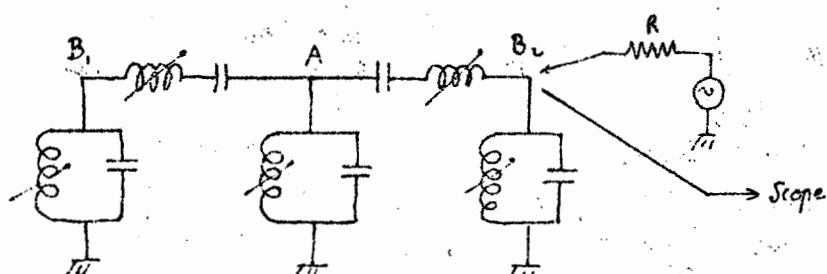
D'où le schéma final



Remarque pratique importante : réglage d'un filtre

Soit A le point médian du filtre, on met A à la masse, on injecte alors

par l'intermédiaire d'une grande impédance R un signal wobule sur B<sub>2</sub> et on observe avec une sonde à très forte impédance le signal à ce point. On observe sur l'écran du wobulographe une figure en forme de papillon.

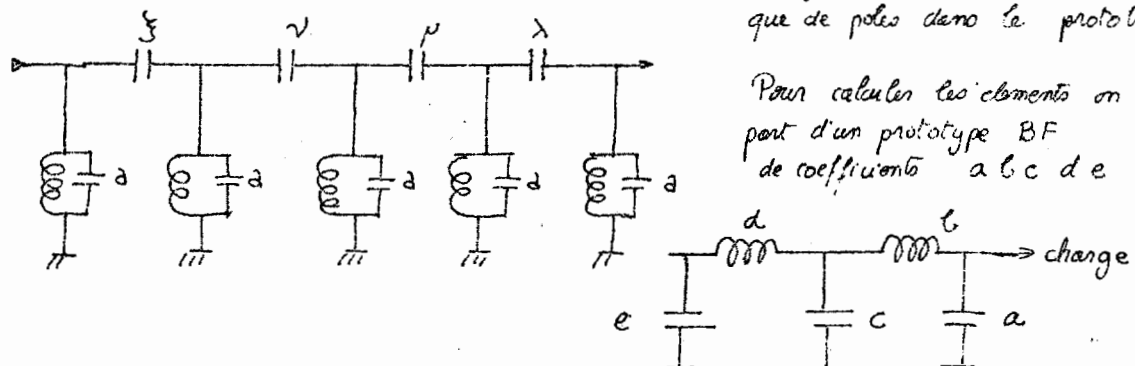


On ajuste la self série pour placer le vieux à f<sub>o</sub> et la self parallèle pour symétriser la figure. On recommence de la même façon en B<sub>1</sub> on décourt-circuite tout en A il ne reste plus qu'à ajuster la self médiane pour obtenir la bande passe-bande correcte.

## Filtres à couplage capacitif en tete

des filtres ayant la structure précédente ne sont en pratique utilisables que pour des bandes passantes relativement larges. Pour les bandes étroites il vaut mieux utiliser la structure suivante dans laquelle tous les circuits accordés sont du type parallèle et ont un point à la masse.

Il faut autant de circuits oscillants que de pôles dans le prototype BF.



$a$  étant le coefficient du condensateur situé à l'extrême droite côté charge.  
Tous les condensateurs d'accord des circuits LC seront pris égaux à  $a$ .  
Si  $d$  est la bande passante relative

$$\omega = \frac{\Delta f}{f_0}$$

on calcule  $C_0 = ad$

les condensateurs de couplage sont alors donnés par les expressions approchées :

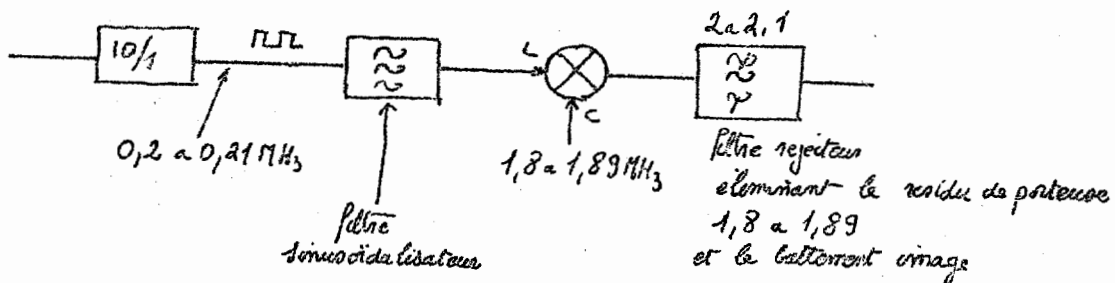
$$\lambda = \frac{C_0}{\sqrt{ab}} \quad \mu = \frac{C_0}{\sqrt{bc}} \quad \nu = \frac{C_0}{\sqrt{cd}} \quad \xi = \frac{C_0}{\sqrt{de}} \text{ etc.}$$

Tous les circuits LC parallèle étant accordés sur  $f_0$ ,  
les expressions données sont approximatives mais très proches de la réalité.

## Filtres rencontrés dans une unité d'insertion digitale

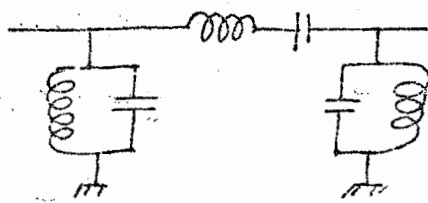
### 1°) filtre sonorégalisateur

Dans la structure d'une VID l'un des éléments n'a pas été décrit car supposé connu, c'est le filtre qui à la suite du diviseur mixte en forme le signal avant attaque du mélangeur. Le schéma était le suivant :

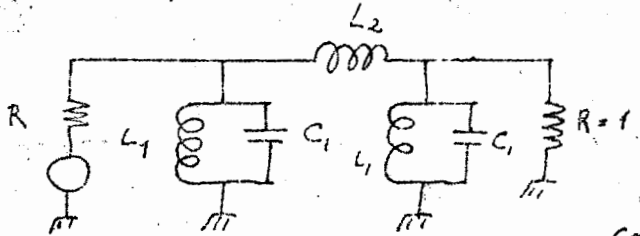


de 2 MHz que l'on cherche à filtrer peut aussi être obtenu par battlement du 1,8 à 1,89 avec une fréquence sonore de 3,8 MHz qui peut provenir de l'harmonique 19 du signal carre du diviseur. Le filtre sonorégalisateur doit donc éliminer cet harmonique 19 dont le niveau naturel n'est que 1/9 soit (-25 dB seulement).

Pour réaliser ce filtrage on peut utiliser un filtre du 3<sup>e</sup> ordre transformé à 200 kHz, c'est à dire



En réalité ce filtre est malheureusement efficace et le circuit LC série peut sans inconvenients être remplacé par une simple bobine ce qui conduit à une structure très utilisée et dont il est bon de connaître le mode de calcul.



Les condensateurs  $C_1$  sont choisis de telle façon que avec la résistance 1 il constituent un passe bas LC ayant la bande décalée ( $\omega = 10\text{ kHz}$ )

donc on normalise  $C_1 = 1$

Ensuite on accorde les condensateurs  $C_1$  par des selfs  $L_1$  sur la frontière cette de la bande ( $200\text{ kHz}$ )

On choisit  $L_2$  de telle façon que  $L_2 \omega = R$  à la fréquence moyenne orthométrique de la bande

Soit en résumé dans notre cas précis pour  $R = 10^3\Omega$  et une bande décalée de  $10\text{ kHz}$  autour de  $205\text{ kHz}$

$$\frac{1}{2\pi RC} = 10^4\text{ Hz} \quad \text{d'où} \quad C = \frac{1}{2\pi \cdot 10^7} = 15,9 \text{ nF}$$

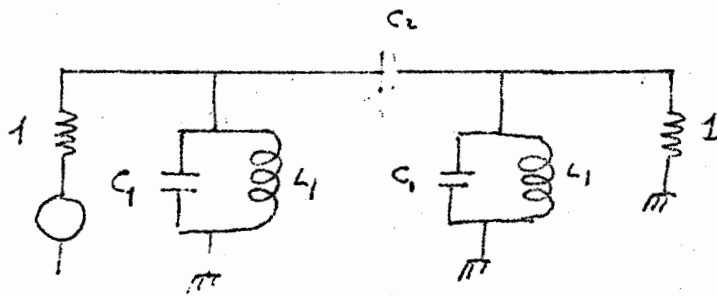
ensuite  $LC(200\text{ kHz})^2 = 1$  d'où

$$L_2 = \frac{1}{15,9 \cdot 10^{-9} \times (2\pi \cdot 2 \cdot 10^5)^2} = 39,8 \mu\text{H}$$

et  $L_2 \omega = 10^3$  au milieu de la bande d'où

$$L_2 = \frac{10^3}{2\pi \cdot 205 \cdot 10^3} = 776 \mu\text{H}$$

On peut également utiliser une structure avec couplage par un condensateur



Dans notre cas ce n'est pas intéressant car le self  $L_2$  du 1er montage placé en tension favorise le filtrage des fréquences élevées ce qui est non ce que nous cherchons.

de calcul est du même type

- On choisit  $C_1 = 1$  pour le borne passante
- On l'accorde avec  $L_1$  à la fréquence haute de la bande
- On choisit  $C_2$  de façon qu'il ait une impédance égale à 1 au milieu de la bande

## 2°) Filtre sélecteur

Il doit laisser passer de 2 à 2,1 en rejetant

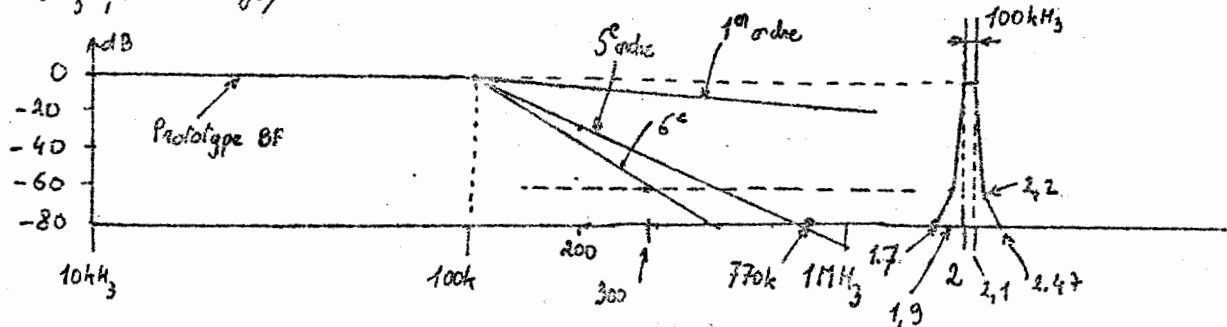
- le résidu de portée du modulateur, d'au moins 60 dB
- le battement omni 1,6 à 1,69 MHz, " 80 dB

ce qui définit le critère du filtre

Pour calculer le nombre d'éléments nécessaires il suffit de revenir au prototype Basse fréquence

Par rapport à la fréquence critique la symétrique de 1,9 MHz est environ 2,2 MHz, la fréquence équivalente sur le PB est donc  $1,2 - 1,9 = 300 \text{ kHz}$ , alors que la fréquence de coupure est 100 kHz. Pour un filtre du 1<sup>er</sup> ordre l'atténuation à 3 fois la fréquence de coupure est environ  $6 \times (\log 3) \sim 10 \text{ dB}$  pour 60 dB il faut donc un filtre d'ordre 6

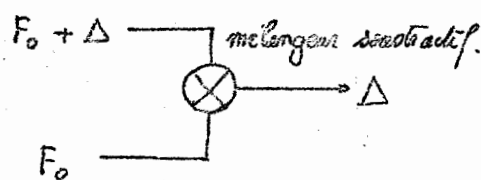
On peut refaire le calcul pour les 80 dB à 1,7 MHz : de symétrique de 1,7 est  $2 \times 2,1 / 1,7 = 2,47$ , sur le prototype pour la fréquence équivalente est donc  $2,47 - 1,7 = 770 \text{ kHz}$  soit 7,7 fois la longueur de bande. Pour un simple RC l'atténuation est  $6 \times (\log 7,7) = 17,7 \text{ dB}$ , on veut 80 il suffit donc de 5 pôles. On voit qu'il est plus difficile de rejeter le résidu de portée que la fréquence image, il en est souvent ainsi.



## V15 Classification des synthétiseurs

Indépendamment du choix de la synthèse directe ou indirecte dont nous avons parlé plus haut on peut classer les synthétiseurs en 5 types principaux

- 1°) Par battement de 2 fréquences dont l'une est une portée fixe  $F_0$  et l'autre contient tous les increments

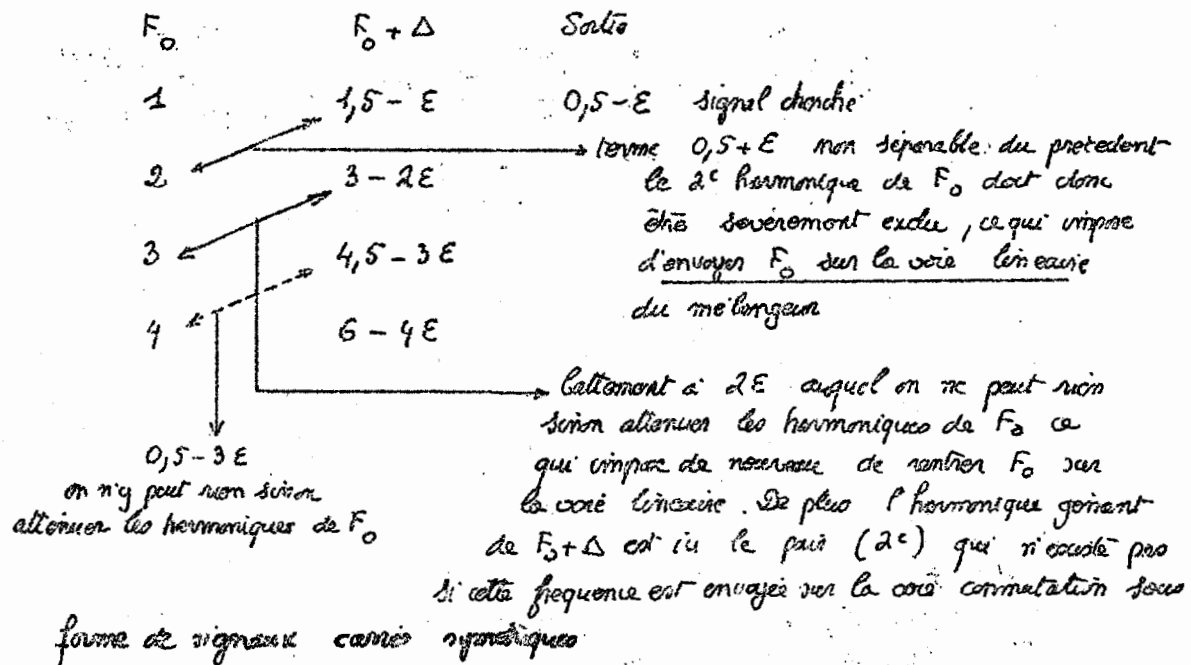


Si  $\Delta > 0$  spectre direct  
 $\Delta < 0$  spectre inverse

la valeur de  $F_0$  n'est pas quelconque, on a déjà indiqué plus haut qu'il fallait prendre  $F_0$  supérieur à 2 ou 3  $\Delta_{\max}$ , de plus le  $(F_0 + \Delta)$  doit-il être envoyé sur l'entrée linéaire ou l'entrée commutation du mélangeur ?

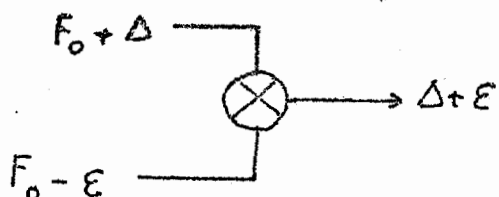
Supposons par exemple  $F_0 > 2\Delta_{\max}$  et  $F_0 = 1$  et  $\Delta_{\max} = 0,5 - E$

Regardons l'influence des divers harmoniques.



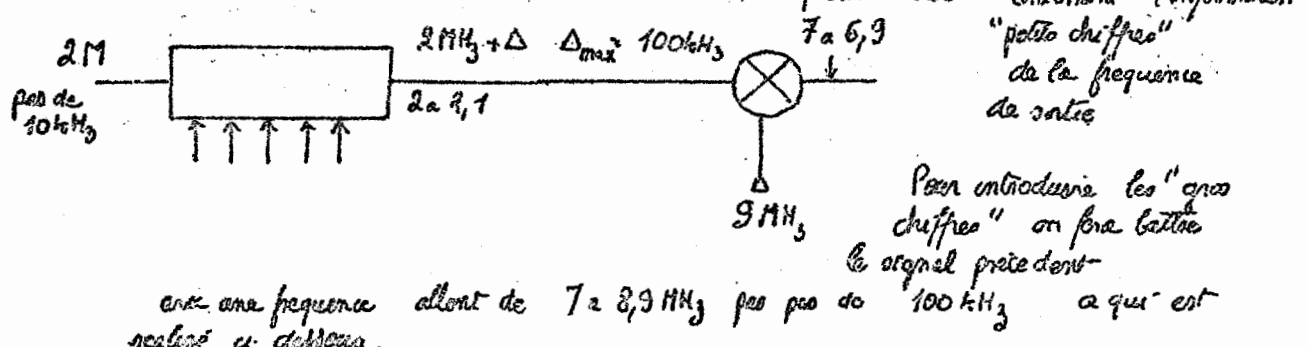
On voit que  $F_0$  doit être appliquée parfaitement pure sur l'entrée linéaire du mélangeur.

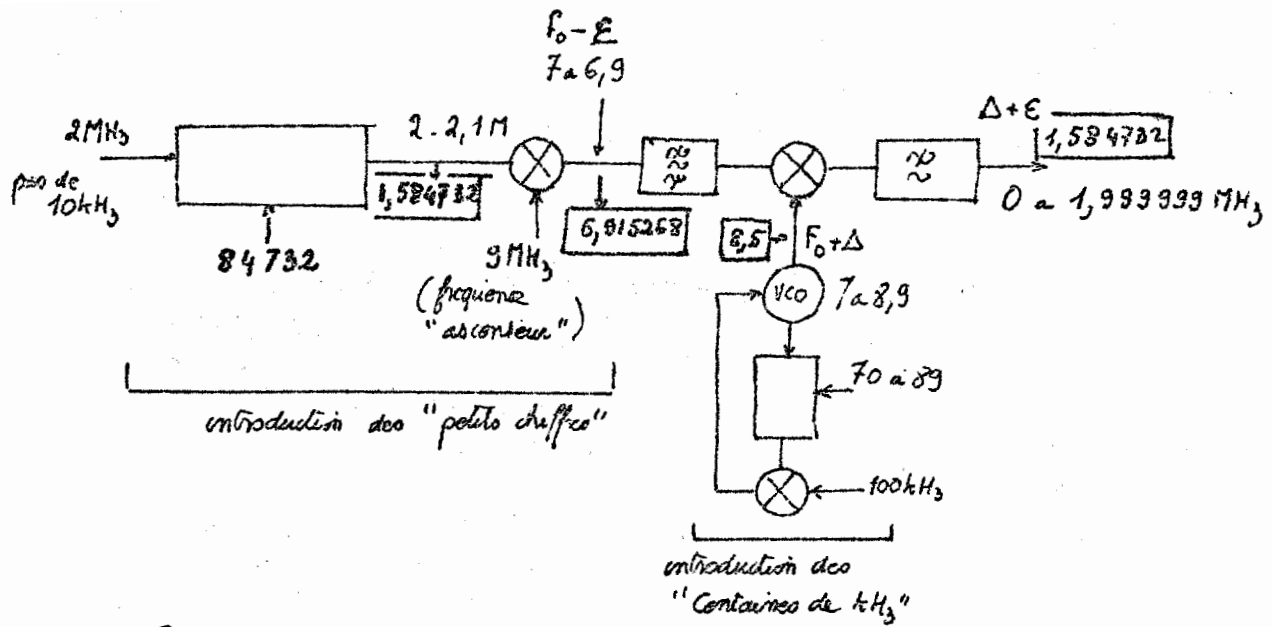
2°) Par l'ajout de 2 fréquences variables. C'est la méthode des intervalles partagés.



C'est une méthode souvent rencontrée dans les synthétiseurs de laboratoire en gros pour descendre à des fréquences très basses (le millihertz).  $\Delta$  représente les "gross chiffres" et  $E$  les chiffres de faible poids.

Exemple: Soit une chaîne de synthèse fournissant  $2\text{MHz} + \Delta$  ( $\Delta_{\text{max}} = 100\text{kHz}$ ) ( $2$  à  $2,1\text{MHz}$ ) de hertz en hertz, par exemple. On désire réaliser la synthèse de  $0$  à  $1,999999\text{MHz}$ . Pour respecter la condition  $\Delta_{\text{max}} = 3F_0$ , c'est plus haut et faudra sur le mélangeur de sortie chercher une fréquence portante d'au moins  $7\text{MHz}$ , par exemple on utilise un oscillateur auxiliaire à  $9\text{MHz}$ , on obtient des signaux de  $7$  à  $6,9\text{MHz}$ .





Si on veut obtenir

$$1,584732 \text{ MHz}$$

la portion "petit drifts" fournira  $2,084732 \text{ MHz}$  qui est normée à  $6,915268 \text{ MHz}$  par l'oscillateur ascendeur et bat donc le mélangeur soustractif de sortie avec un  $8,5 \text{ MHz}$

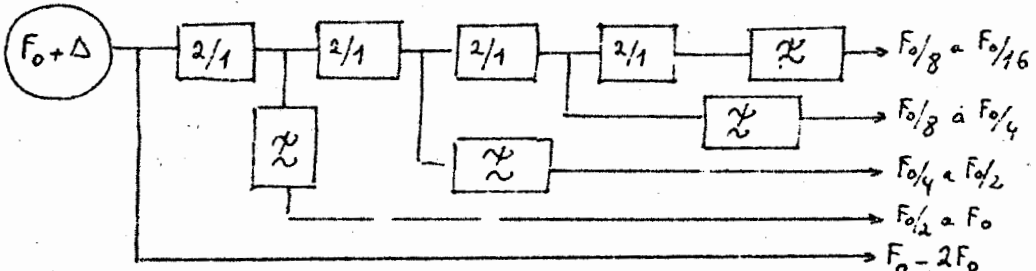
$$8,5 - 6,915268 = 1,584732 \text{ valeur demandée}$$

### 3) Synthétiseurs couvrant une bande limitée autour de $F_0$

C'est le cas des pilotes d'oscillateurs utilisés en aéronautique, on remplace ainsi un jeu de quartz

### 4) Synthétiseurs couvrant une octave suivis de divisions

Si  $F_0 + \Delta$  peut varier d'une octave (de  $F_0$  à  $2F_0$ ) n'importe quelle fréquence inférieure à  $2F_0$  peut être obtenue par division



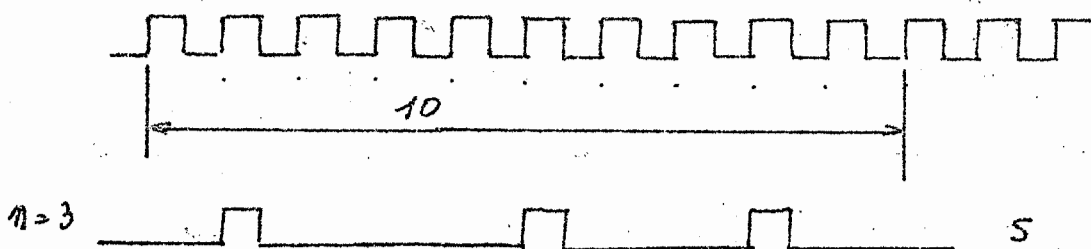
À la sortie des diviseurs les signaux carres sont faits à filtre car ils ne contiennent pas d'harmonique 2. De plus à cause de la division la qualité des fréquences de sortie est d'autant meilleure que la fréquence est plus basse.

### 5°) Synthèse logique

Ce sont des procédés complètement différents des précédents, il s'agit non pas d'une synthèse de fréquence mais plutôt d'une synthèse de forme d'onde à partir d'une horloge. Plusieurs procédés ont été proposés le plus simple fait appel aux multiplicateurs de rythmes digitaux (BRM = binary rate multiplier)

Nous avons déjà rencontré un BRM dans le schéma du deviseur 30 et 39 sur 10 états logiques on avait un 1 n fois et un 0 ( $10-n$ ) fois. Un BRM est un compteur, lui decimal, mais tel que si on lui applique une consigne  $n$  (0 à 9) il délivre pour chaque état du compteur  $n$  signaux logiques qui reproduisent le signal d'horloge.

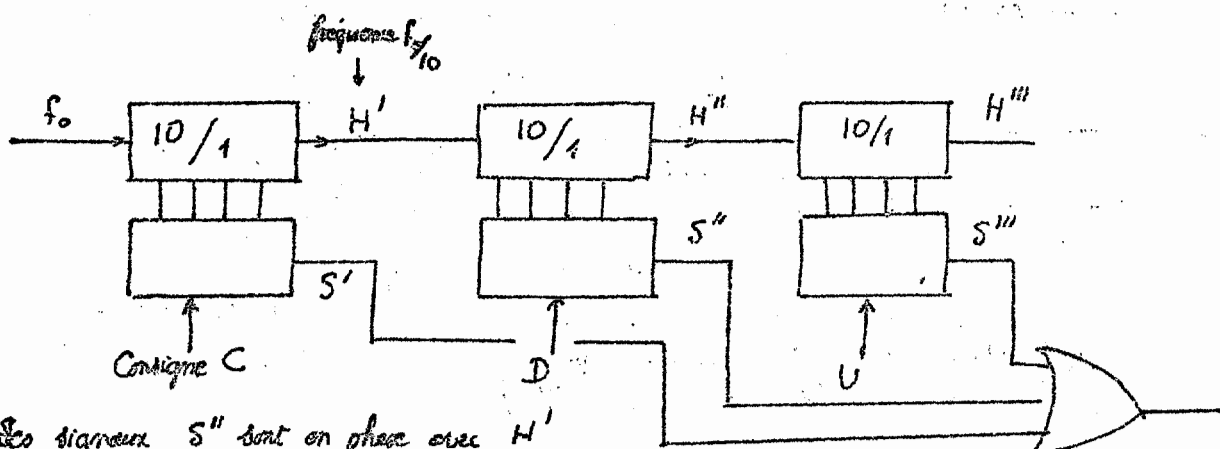
Exemple



Ces impulsions étant les mieux réparties possibles dans la période totale

Il ne peuvent jamais dépasser 9 il existe l'une des impulsions d'horloge qui est disponible soit  $H'$  par exemple la dernière. Il ne peut jamais y avoir coïncidence temporelle entre l'un des signaux d'horloge constituant le signal de date  $S$  et ce signal  $H'$ .

Si on place en aval de ce dispositif un second identique comprenant lui aussi sa consigne etc..



Les signaux  $S''$  sont en phase avec  $H'$   
donc ne se chevauchent jamais avec  
les signaux  $S'$

Dans  $S'$  il y a  $C$  tops par cycle.  
soit chaque seconde

$$\frac{Cf_0}{10} \text{ tops}$$

Dans  $S''$   $D$  tops en phase avec  $H'$   
par cycle du 2<sup>e</sup> compteur, soit chaque seconde

$$D\left(\frac{f_0}{10}\right) \frac{1}{10} \text{ tops } H'$$

des signaux S ne se chevauchent jamais on peut les ajouter par un simple ou à la sortie duquel on trouvera par exemple

$$\frac{C}{10} f_0 + \frac{D}{100} f_0 + \frac{U}{1000} f_0 \text{ tops.}$$

Soit une fréquence moyenne  $\frac{f_0}{1000} [CDU]$

On peut mettre bout à bout plusieurs circuits de ce type que l'on veut sans en avoir à se préoccuper du synchronisme qui est réalisé automatiquement  
(Exemple dans le socle TTL le 74167)

Le résultat est évidemment casotropique car on a toutes les racines multiples de  $f_0/1000$   
mais la qualité s'améliore par division.

En divisant par 1000 on atteint -40 dB pour le niveau des racines latérales  
(Exemple commande de vitesse pour un moteur pas à pas)

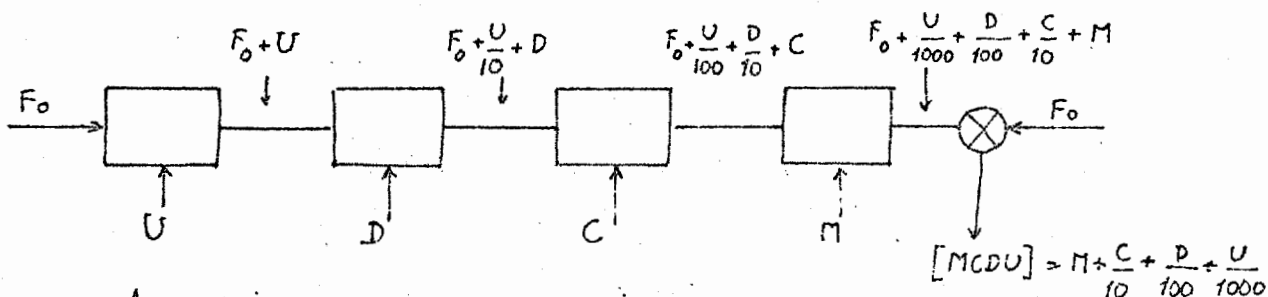
Cela n'est naturellement possible que pour des fréquences basses, au plus 10 kHz

Il existe des méthodes beaucoup plus sophistiquées (Dana-Rockland)  
dans lesquelles on fabrique point par point la sonorité grâce à un convertisseur D-A.

## VI<sub>6</sub> Méthode de mesure mettant en œuvre des synthétiseurs. Utilisation de l'oscillateur d'extrapolation

### 1) Fonction recherche (Wobulation de haute précision)

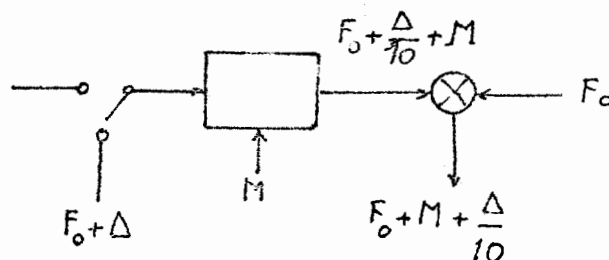
La fréquence de sortie MCDU d'un synthétiseur est obtenue en ajoutant successivement à une porteuse  $F_0$  des intervalles définissant les différents chiffres



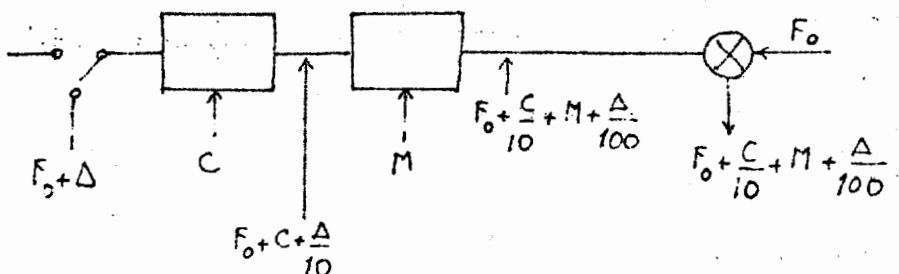
chaque UID ajoute son propre intervalle  
mais divisé par 10 les intervalles des UID précédentes

Supposons qu'à l'aide d'inverseurs on substitue à l'entrée d'une décade une fréquence  $F_0 + \Delta$  à la place de la fréquence normalement appliquée

Si cette substitution est effectuée à l'entrée de la décade des mille la fréquence de sortie est modifiée de  $\frac{\Delta}{10}$



Si la substitution est effectuée à l'entrée de la décade des centaines, à C et M fixe la fréquence de sortie n'est modifiée que de  $\frac{\Delta}{100}$



Si la substitution est effectuée sur la décade des unités, la variation  $\Delta$  se retrouve en sortie divisée par 1000. Ainsi une variation notable d'une fréquence injectée en télé agit de façon très fine sur la fréquence de sortie, c'est ce que l'on appelle fondin recherche (search)

De façon générale

$$\text{Variation de sortie } (\delta) = 10^{-n} \text{ Variation d'entrée } (\Delta)$$

$n$  étant le nombre de décades situées en aval

de qualificatif de "recherche" a été choisi pour la raison suivante:

Sous à comparer 2 fréquences par la méthode de descente, il faudrait essayer toutes les combinaisons possibles de MCDU. On fait appel à un oscillateur d'extrapolation  $\Delta$  variable que l'on introduit d'abord tout près de la sortie ( $n=0$  ou 1).

En faisant varier continuellement  $\Delta$  on passe rapidement sur le battement nul ce qui donne une valeur approchée de M ou C. On affiche cette valeur puis l'on fait l'injection un cran plus à gauche. La variation de  $\Delta$  se répercute alors sur la sortie sous forme d'une variation 10 fois plus faible que permet de connaître le chiffre suivant ( $\delta$ ), on affiche ce chiffre et on répète l'injection de nouveau. La recherche de la fréquence correcte est ainsi très rapide.

Cette méthode de recherche (ou méthode de l'oscillateur d'extrapolation) est très précise car on dispose en quelque sorte d'un démultiplicateur d'oscillations qui permettent en vibrulant  $\Delta$  de réaliser une modulation sur une bande extrêmement faible de fréquence. Avec 6 décades 1 hertz de variation sur  $F_0$  correspond à un microhertz en sortie. La courbe de réponse d'un quartz de  $Q$  très grand peut aussi être visualisée.

Pour un tel vibrateur les marques devront obtenir en mélangeant à  $F_0 + \Delta$  des impulsions dont les harmoniques devront être visibles sur l'oscilloscope. Avec  $n=6$  et des impulsions à 100 kHz, les marques en sortie délimitent des écarts de fréquence de 0,1 Hz, ce qui est absolument réalisable par toute autre méthode.

Les synthétiseurs de fréquence permettent donc l'analyse extrêmement fine du comportement en fréquence des circuits à très forte sélection (quartz, suspensions de systèmes mécaniques)

### Réponse:

On a vu que pour diminuer la largeur de déviation dans une décade on utilise parfois une fréquence intermédiaire autre que d'oscillation (voir page 104). Si l'une de ces fréquences oscillantes est remplacée par une fréquence modulée on obtient en sortie une excursion de fréquence :

- dont la largeur dépend du rang de la décade où s'est faite la substitution
- mais autour d'une fréquence qui est la fréquence numériquement affectée (avec tous ses chiffres).

A la différence de la méthode classique décrite plus haut - les décades en aval de la décade d'injection ne sont pas neutralisées.

### Réalisation de l'oscillateur d'extrapolation

Pour obtenir une modulation linéaire en fonction d'une tension de commande il faut réaliser un VCO dont la fréquence varie le plus linéairement possible avec  $V$ . Or la loi de variation des varicaps est peu linéaire, il

cause un terme

du 2<sup>e</sup> ordre

(on peut réaliser des

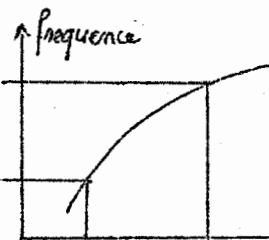
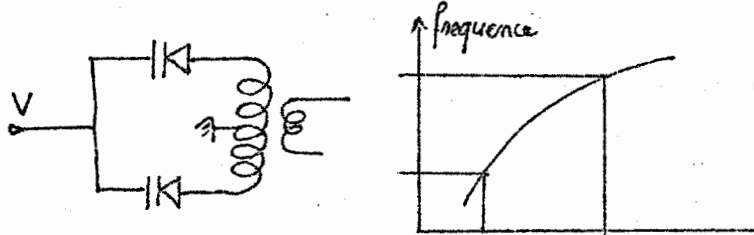
oscillateurs dont

la fréquence est

une fonction très

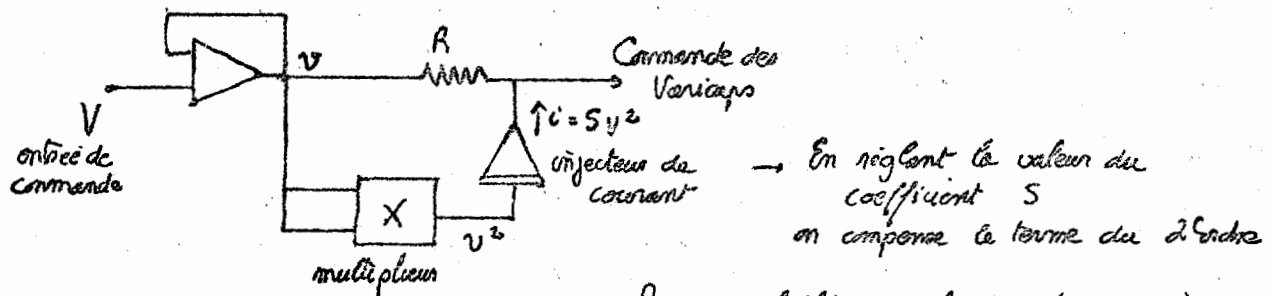
linéaire d'une tension

ce dont les multivibrateurs



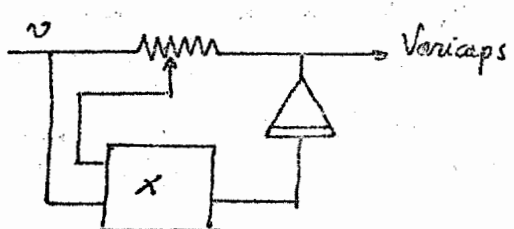
mais ils sont très bruyants)

Pour lineariser le système à VCO on peut compenser le terme du 2<sup>e</sup> ordre en utilisant un multiplicateur qui déforme la tension de commande comme dans le circuit ci-dessous par exemple :



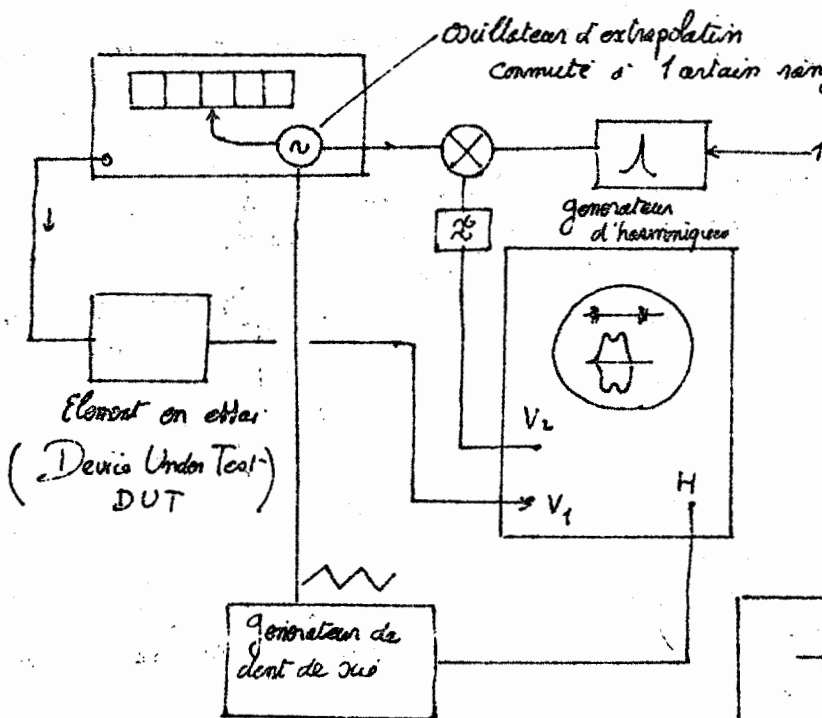
Par une faible modification (ajustage)

on peut également compenser le terme du 3<sup>e</sup> ordre et obtenir par exemple entrée 14 et 16 MHz une linéarité meilleure que  $10^{-3}$



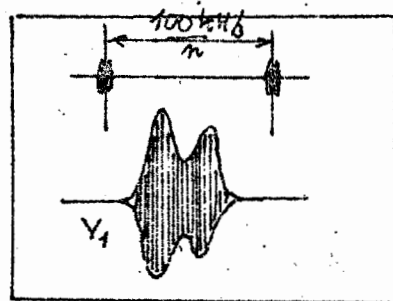
- autre avantage : sélectivité de marquage

Sont le montage ci-dessous permettant d'étudier la bande passante d'un élément quelconque.



Cheque fois que la fréquence de l'oscillateur d'extrapolation passe par un multiple de 100 kHz, il y a un battement qui filtre est envoyé sur la 2<sup>e</sup> voie verticale du scope (marqueur papillon)

On observe alors sur l'écran la figure ci-dessous



d'écart en fréquence entre marques est de 100 kHz au niveau de l'oscillateur d'extrapolation ce qui correspond en sortie à 1 écart de  $100 \text{ kHz} / 10^6$

On peut ainsi générer des marques tous les  $0,1 \text{ Hz}$ . On a réalisé un superwoubulateur

- la fréquence de sortie est d'autant plus stable que l'étréture de wobulation est plus étroite, c'est évident puisque le taux de division est plus élevé (c'est le contraire pour un wobulateur ordinaire)
- les marques sont générées par un circuit unique.

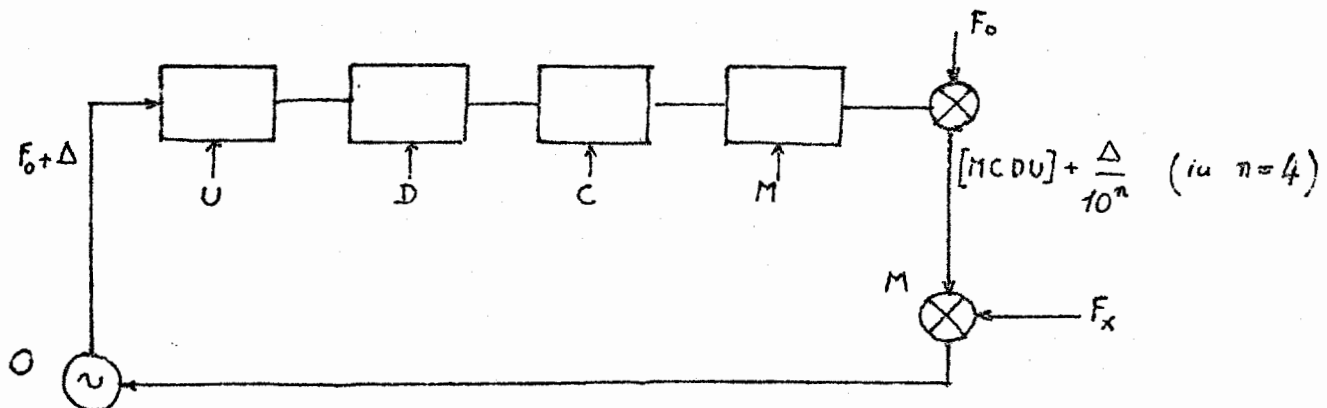
- en introduisant l'oscillateur d'extrapolation comme on l'a vu plus haut au niveau d'une fréquence intermédiaire les marques deviennent relatives, ils indiquent l'écart par rapport à la fréquence centrale connue avec tous les chiffres de marques centrale visible par exemple  $127327 \text{ Hz}$  et les autres marques sont à  $n \text{ Hz}$  de part et d'autre

Un synthétiseur utilisé de cette façon permet de tracer la bande passante d'un quartz 5 MHz purifiant  $2,5 \cdot 10^6$  de distorsion ; aucun autre procédé n'atteint ces performances.

## 2°) Fréquencemètre de haute précision

Nous verrons dans le chapitre suivant quelle est la structure classique des fréquencemètres mais le synthétiseur associé à un oscillateur d'extrapolation permet d'atteindre des performances infiniment supérieures !

Il suffit de boucler le système précédent pour le transformer en fréquencemètre de haute performance. Le montage est représenté ci-dessous.



Soit MCDU la valeur affichée sur le synthétiseur recevant à son entrée le signal à la fréquence  $F_0 + \Delta$  issue d'un oscillateur d'extrapolation O. La fréquence de sortie du synthétiseur qui vaut

$$F_0 + \frac{\Delta}{10^n}$$

où n est le nombre de diviseurs est mélangée dans un mélangeur M (qui peut être un compenseur phase-fréquence) avec la fréquence à mesurer  $F_x$ . Le signal issu de ce mélangeur est utilisé pour commander l'oscillateur d'extrapolation O. Donc lorsque le système est bouclé on a

$$F_x = F_0 + \frac{\Delta}{10^n}$$

Or  $\Delta$  peut être mesuré avec un fréquencemètre électrique

Chaque hertz mesuré sur  $\Delta$  correspond à  $10^{-n}$  hertz sur  $F_x$  par rapport à la valeur affichée MCDU.

Pour exemple si  $MCDU = 1725 \text{ Hz}$  et que le  $\Delta$  obtenu lorsque la boucle est établie soit  $343 \text{ Hz}$ , la fréquence  $F_x$  vaut  $1725,0343 \text{ Hz}$ . On atteint ainsi le dix millième de hertz.

La constante de temps de la boucle est nécessairement grande puisque le taux de diviseurs introduit est important ( $N = 10^n$ ) et on en est maintenu à garder les coefficients de commande du VCO, oscillateur d'extrapolation et du mélangeur M. Alors les composantes de bruit à fréquence élevée de  $F_x$  se trouvent filtrées.

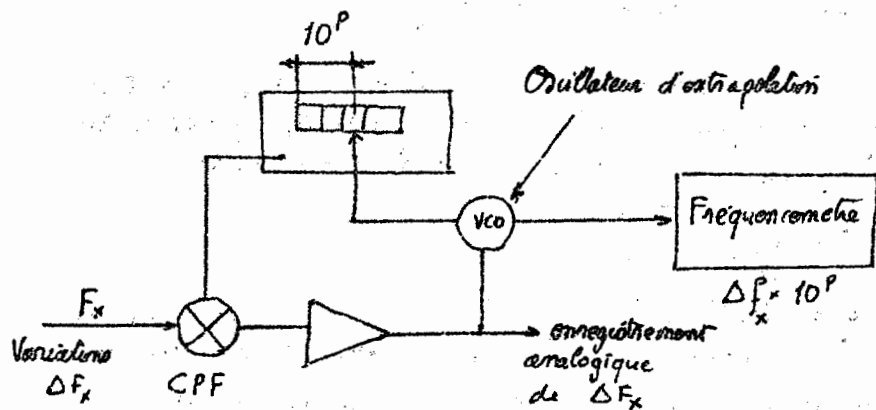
Une telle structure, appelée fréquencemètre à filtre, permet de mesurer des  $100 \text{ MHz}$  au millihertz près en 2 secondes.

- Un fréquencemètre actif peut être automatisé, la mesure se fait en plusieurs temps
- d'abord mesure de  $F_x$  au hertz près
  - la valeur trouvée est affichée comme consigne MCDU
  - on forme la boucle
  - on mesure  $\Delta$  et  $\Delta/10^n$  est ajouté à l'affichage MCDU

A 100 MHz le millihertz peut être mesuré 10 fois par seconde après une première mesure dont la durée totale est de l'ordre de 3 secondes (voir plus bas)

Si l'oscillateur d'extrapolation a une fonction de transfert linéaire  $\Delta = k_v v$ , si la tension de commande  $v$  est proportionnelle à  $\Delta/10^n$ , elle peut être envoyée sur un enregistreur qui enregistrera ainsi les très faibles fluctuations de  $F_x$  par rapport à MCDU valeur nominale. On peut utiliser ce procédé pour étudier la stérilité thermique d'un oscillateur ou les irrégularités de vitesse d'un enregistreur magnétique (pleurage).

Le montage complet est le suivant :



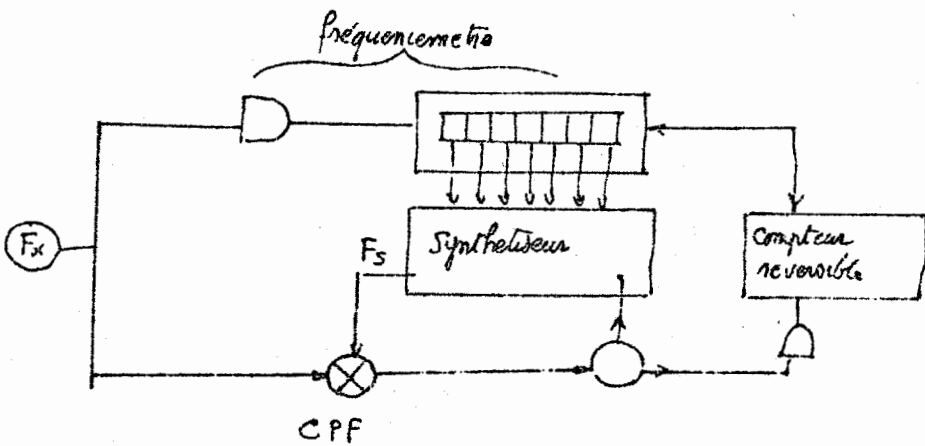
### Circuit de comptage automatiques

On fait pendant  $1/10$  de seconde ou l'onde passe la fréquence  $F_x$  inconnue à mesure dans une porte connectée à l'entrée d'un compteur à  $n$  décades (on a aussi réalisé un compteur).

On se sert de la valeur mémorisée ainsi dans le compteur pour programmer un synthétiseur de fréquence  $F_s$  de ce degré. C'est alors une valeur approchée de  $F_x$  à l'heure de quantification près du fréquencemètre.

Un comparateur de phase reçoit  $F_x$  et  $F_s$  et sa tension de sortie vient commander l'oscillateur d'extrapolation qui se compte dans un fréquencemètre auxiliaire qui est réversible et qui en fait donc cette seconde phase effectue un dé-comptage. La retombée est alors retransmise au compteur principal.

On affecte ainsi la vraie valeur de  $F_x$  avec la précision que l'on veut. Un montage d'ordre 5 permis à 100 MHz d'afficher 10 MHz 10 fois par seconde.



de tel inconvénient est que l'on mesure la variation absolue de fréquence la précision relative est donc meilleure aux fréquences élevées.

### 3°) Fréquencémètre actif relatif

la structure précédente permet d'afficher, de mesurer, d'enregistrer, une variation absolue de fréquence ; il serait intéressant de mesurer dans certains cas une variation relative. Pour y parvenir il suffit d'agir sur la fréquence pilotée du synthétiseur.

Si  $F_0$  est la fréquence pilotée d'un synthétiseur affichant la consigne MCDU la fréquence de sortie vaut exactement avec la même précision que  $F_x$  [MCDU] Hertz. Si  $F_0$  est remplacé par  $F_0(1 + \frac{\delta}{100})$  ( $\delta$  en %) la fréquence de sortie devient naturellement

$$F_s = [\text{MCDU}] \left(1 + \frac{\delta}{100}\right)$$

imaginons que la fréquence d'entrée  $F_0(1 + \frac{\delta}{100})$  soit issue d'un diviseur d'increment de rapport  $10^P$ , ce diviseur d'increment rejet à son entrée  $F_0(1 + \frac{\delta \cdot 10^P}{100})$ . Cette dernière fréquence peut être fabriquée par un oscillateur piloté par la tension d'erreur issue d'un mélangeur comparant  $F_x$  fréquence à étudier et  $F_s$ . lorsque la boucle sera accrochée on aura

$$[\text{MCDU}] \left(1 + \frac{\delta}{100}\right) = F_x$$

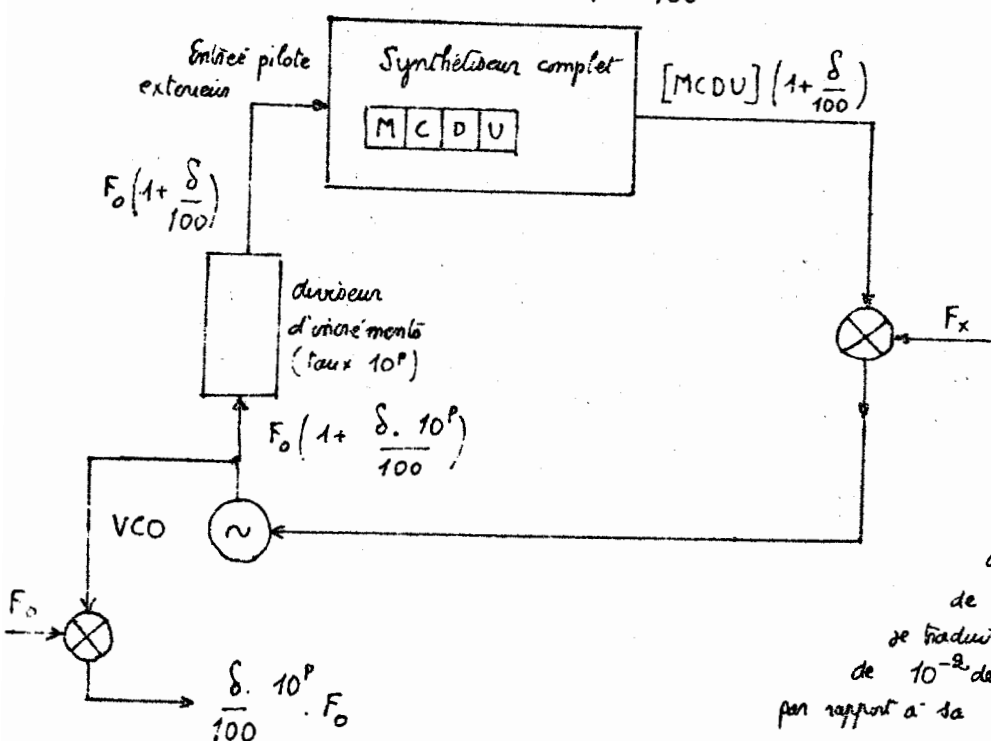
de VCO travaille alors à  $F_0(1 + \frac{\delta \cdot 10^P}{100})$

En comptant avec un compteur binaire l'écart de fréquence

$$\frac{\delta \cdot 10^P}{100} \cdot F_0$$

on pourra si  $P$  est grand altérioriser des variations relatives très faibles de  $F_x$ .

Par exemple si  $P = 6$  une variation relative de  $10^{-8}$  sur  $F_x$  se traduira par une variation de  $10^{-2}$  de la fréquence du VCO par rapport à sa valeur nominale  $F_0$ .



Naturellement - plus la fréquence  $F_x$  est haute plus le temps nécessaire à l'acquisition d'une mesure avec une précision donnée sera grande, la constante de temps de la balance étant de la forme :

$$\tau = K \cdot 10^9 \times \frac{F_0}{[\text{MCU}]} \quad \text{universellement proportionnel à MCUDU} \# F_x$$

↓                            ↓  
taux de                  taux de division global  
division au              au synthétiseur  
diviseur d'incréments

On pourra cependant afficher  $10^{-12}$  de variation relative en une seconde pour une fréquence voisine de 10 MHz (la limite technologique étant de quelques  $10^{-12}$ )

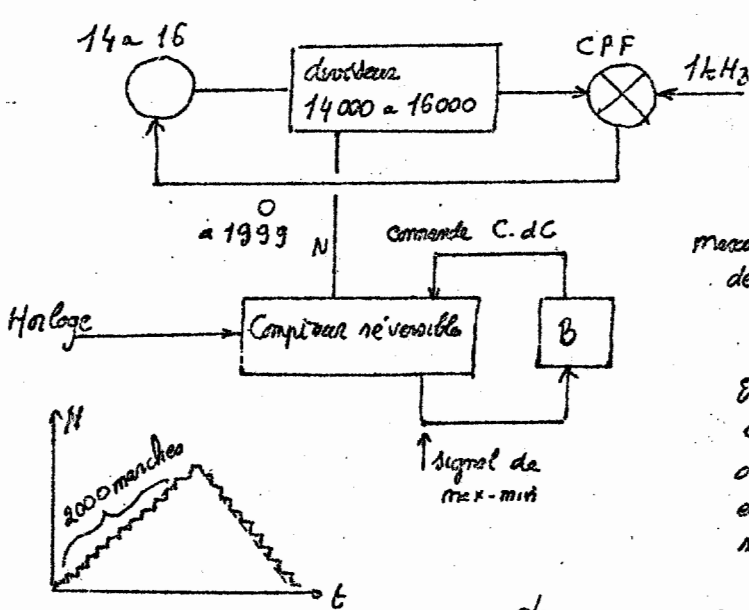
Remarque : le temps de mesure doit toujours être un multiple de 20 ms période du secteur car la fréquence que l'on mesure est toujours légèrement modulée par le 50 Hz

## VI<sub>7</sub> Méthodes numériques

C'est une méthode d'avant pour réaliser des oscillateurs d'interpolation de haute linéarité

Sat a réalisé un oscillateur  $15 \pm 1 \text{ MHz}$ , 2000 points de définition suffisent on aura peu mieux avec un potentiomètre

On peut utiliser le montage suivant



Pour faire varier le programme imaginons que nous utilisons des bancs couplés en compteur réversible (de capacité 2000)

Certains montages de ce type disposent de registres de minimum et maximum (74190); lorsque l'on décompte on a une information lorsque l'on arrive à zéro et lorsque l'on compte une information à 1999.

En couplant ces deux à une logique commandant le comptage ou décompte on peut sous l'influence d'une horloge extérieure avoir une dent de sue numérique symétrique

de manière à réduire à une coïncidence logique sur le contenu du compteur réversible qui donne la consigne au diviseur.

De nombreuses variantes sont possibles, on peut par exemple utiliser le compteur réversible en simple mémoire et y injecter une consigne numérique de variation de fréquence  $\Delta f$  c'est ce qui est fait en modulation télégraphique d'un émetteur OC (la fréquence de l'émetteur est changée périodiquement de  $f_-$  à  $f_+$  avec une vitesse de transition imposée)

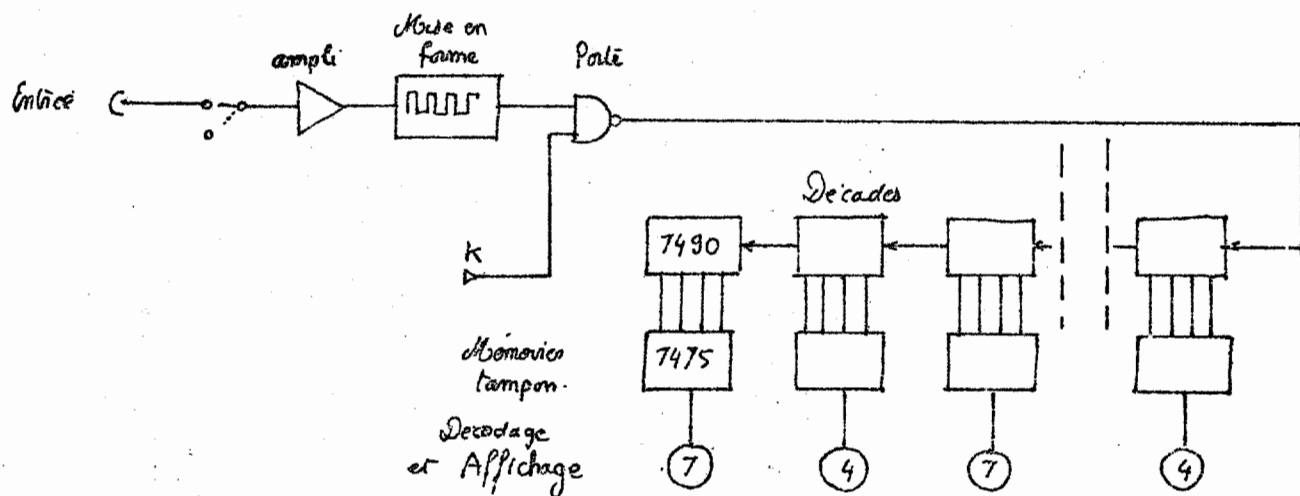
## VII Des Fréquencemètres

des fréquencemètres ont été historiquement les premiers instruments de mesure numérique et de très nombreux articles ont été écrits sur la question.

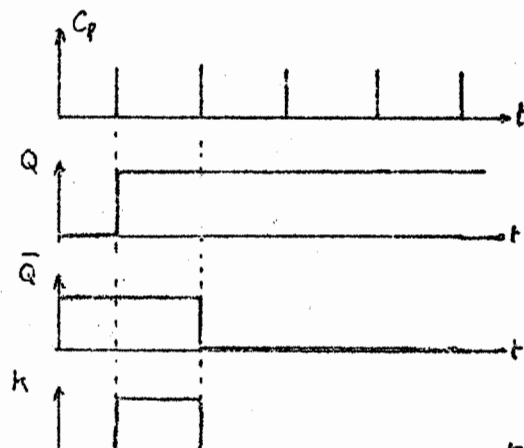
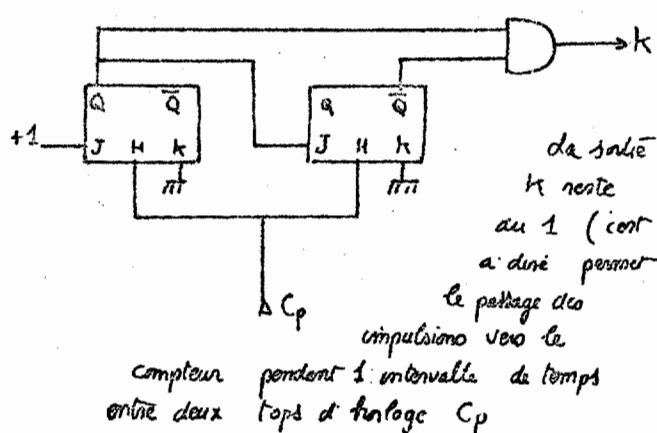
### VII.1 Principes

Il s'agit de mesurer le nombre d'événements par unité de temps.  
Un fréquencemètre classique est constitué de la façon suivante :

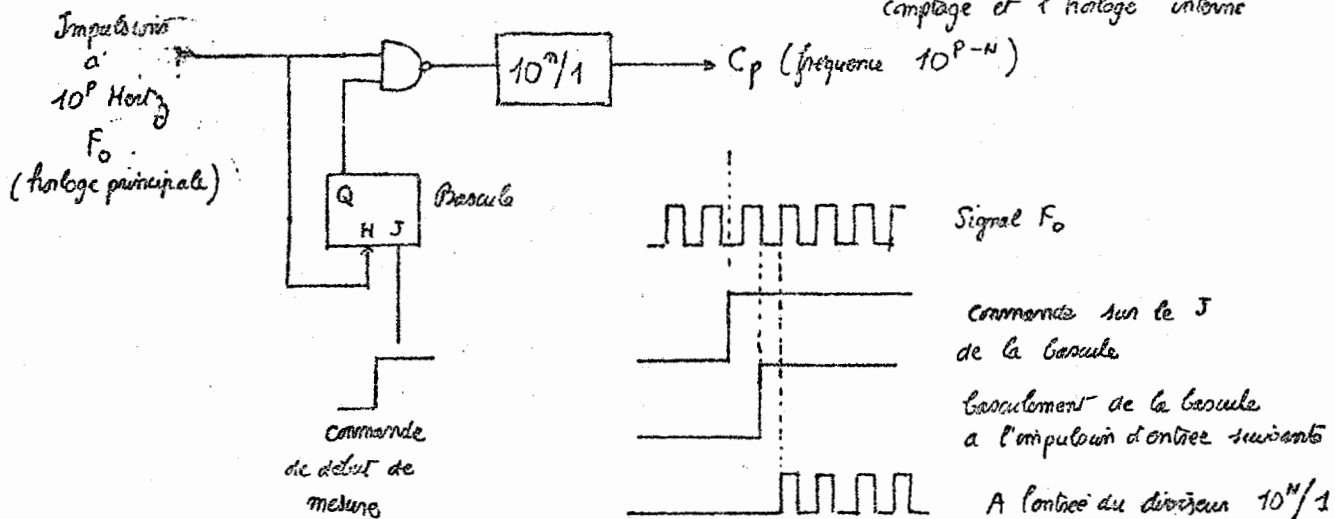
- une entrée signal pouvant être commutée vers un oscillateur de fréquence connue pour réaliser la fonction pour démettre
- un amplificateur suivi d'un formeur transformant le signal en signal à front raide pouvant être introduit dans une logique
- une porte taillant cette partie du signal pendant une durée fixe vers un compteur constitué de décades successives associées à des mémoires tampon (7475) et un système d'affichage (Nixie-tubes à 7 segments électroluminescents ou cristaux liquides) les mémoires tampon assurant que le défilement des chiffres soit assurée, le résultat des comptages précédents étant gardé en mémoire sur les tubes d'affichage pendant la période de mesure.



La commande de la porte peut être obtenue avec une logique à 2 bascules dont le diagramme de fonctionnement est représenté ci-dessous :



Ces tops sont fabriqués à partir du circuit ci-dessous : la bascule et la porte permettent de remettre en synchronisme la commande de début de comptage et l'horloge interne



Le signal d'entrée de fréquence  $F_x$  est compté pendant une période de  $C_p$  soit  $10^{-P+N}$  secondes, le compteur affiche donc un nombre qui est

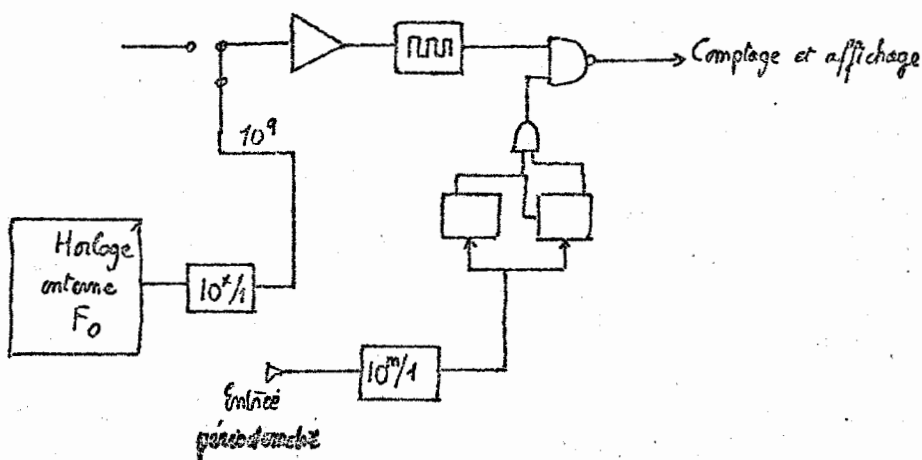
$$N = F_x \cdot 10^{N-P}$$

en jouant sur  $n$  on ajoute la durée de mesure et aussi la valeur de l'unité présente sur l'élément d'affichage le plus à droite (si le temps de mesure est 1ms le dernier chiffre indique des hertz)

### Périodomètre

On envoie à l'entrée comptage précédente une fréquence du type  $10^9$  issue de l'horloge interne et les impulsions dont l'intervalle dont on mesure viennent à la place de  $C_p$  sur les 2 bascules de commande de porte. Le compteur affiche alors la période

En introduisant un diviseur supplémentaire de rapport  $10^m$  sur la nouvelle entrée on affiche le nombre de périodes du  $10^9$  pendant  $10^m$  périodes du signal d'entrée, on moyenne en quelque sorte la mesure de période sur  $10^m$  périodes du signal.



## VII<sub>2</sub> Méthode à utiliser pour mesurer une fréquence : l'imprécision.

Pour mesurer la fréquence d'un signal on peut opérer de 2 façons

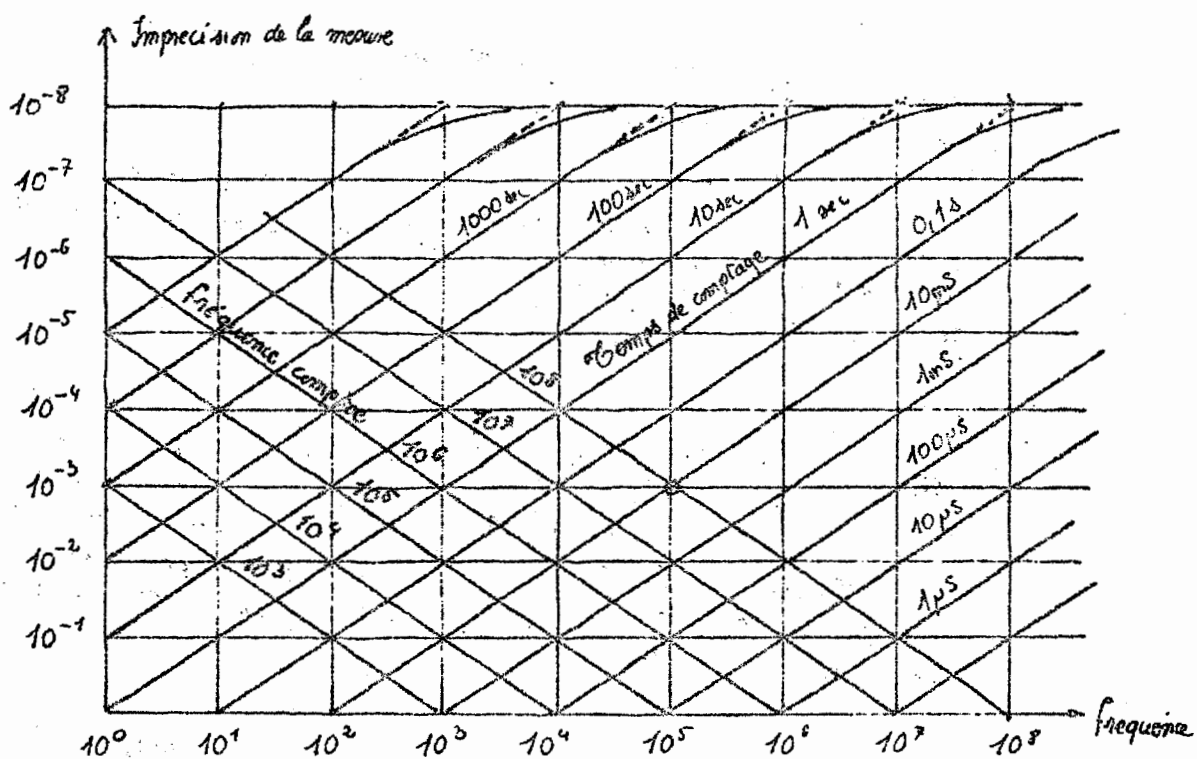
- compter ce signal pendant  $10^n$  secondes
- compter un oscillateur à  $10^9$  pendant  $10^{-n}$  périodes du signal (utilisation en périodométrie)

la précision de la mesure est différente suivant la méthode choisie et il est important de savoir quelle solution adopter pour étudier un signal donné

la précision est limitée par 2 phénomènes

- imprécision de la base de temps générale (horloge principale qui est un oscillateur à quartz)
- en périodométrie bruit de déclenchement du signal qui forme le signal à la fréquence  $F_x$  pour déterminer l'intervalle de comptage

On peut tracer le diagramme ci-dessous



En fréquencimétrie l'erreur commise est de  $\pm 1$  période, soit une précision relative de  $10^{-5}$  si l'on compte sur  $1\text{MHz}$  pendant 1 sec  
 $10^{-5}$  " "  $0,1$  sec etc.

la précision étant par exemple limitée à  $10^{-3}$  par l'oscillateur pilote  
 Cela est traduit par un 1<sup>er</sup> cercle de courbes sur lesquels on peut lire par exemple qu'avec une durée de mesure de  $10\text{ ms}$  l'erreur commise sur le comptage d'une fréquence de  $100\text{kHz}$  est de  $10^{-3}$

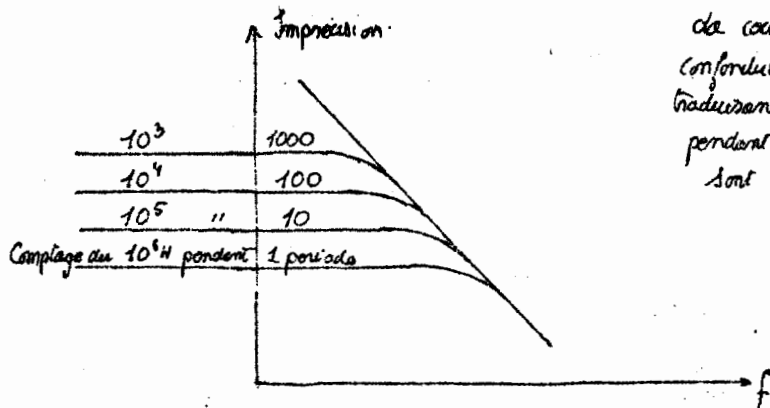
### En périodométrie

Pour chaque droite on indique comme périodicité la fréquence qui est comptée. Pendant une période d'un  $10^9\text{Hz}$  par exemple on compte  $10^3$  périodes d'un signal à  $1\text{MHz}$ , l'imprécision ( $\pm 1$ ) est donc de  $10^{-3}$

En toute rigueur il faudrait bien sûr compter au cas où l'on compte plusieurs périodes de précision est de  $10^{-6}$  si l'on compte de  $100 \text{ MHz}$  pendant 1 période d'un signal à  $100 \text{ Hz}$

$10^{-6}$	$100 \text{ MHz}$	$10 -$	$10 \text{ Hz}$
$10^{-6}$	"	$100$	"
$10^{-6}$			$10 \text{ Hz}$ etc.

En réalité les courbes sont théoriques car l'imprécision n'est pas déterminée par la fréquence que l'on mesure mais par celle du dispositif qui détermine le temps de comptage à partir du signal, c'est à dire par le "jitter" du formeur. On constate que l'erreur est plus faible si le comptage est effectué pendant plusieurs périodes du signal d'enclenchement.



La courbe théorique pour  $10^6 \text{ Hz}$  n'est plus conforme sur toute sa longueur avec celle traduisant l'erreur obtenue en comptant de  $10^5 \text{ Hz}$  pendant 10 périodes et..., les asymptotes sont différentes

Ce graphique précédent permet donc pour chaque valeur de fréquence de choisir la méthode de mesure la plus précise ou la plus courte

Il faut remarquer qu'en pourcentage il faudra inverser le chiffre affiché.

## VII<sub>3</sub> Perfectionnement des fréquencemètres électriques

### 1. Fréquencemètre secpaque (ou calculateur)

On fonctionne en principe en mesurant la durée de  $N$  périodes du signal d'enclenchement et on calcule ensuite l'inverse, d'où le qualificatif de "calculateur" attribué parfois à de tels appareils. En pratique ce système n'est valable que jusqu'à  $20 \text{ kHz}$

### 2 Mesure des fréquences élevées

Il y a 2 grands procédés

- division aveugle
- méthode de Gallois

#### a) Par division (préscaler)

La fréquence  $F_x$  à mesurer est d'abord divisée par  $N$  grâce à un diviseur de fréquence et le résultat est compté pendant  $N \cdot 10^P$  secondes. Actuellement on peut faire  $N = 10$  jusqu'à  $600 \text{ MHz}$ .

$N = 2^n$  (diviseurs binaires) jusqu'à  $1,2 \text{ GHz}$

(les technologies utilisées sont les ECL, la logique la plus rapide actuellement est la P.ECL III de Plessey, il existe un diviseur binaire  $600 \text{ MHz}$  qui ne consomme que  $10 \text{ mW}$  contre  $160 \text{ mW}$  pour du matériel concurrent en particulier américain)

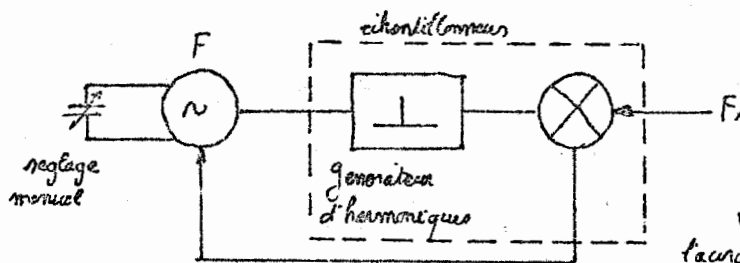
Ce système de division à gros avantage d'être entièrement automatique, mais la précision égale le temps de mesure et augmente donc le rapport  $N$ .

#### b) par Gallois

Il y a plusieurs solutions :

On utilise un oscillateur variable travaillant dans une bande de fréquences étendue par le fréquencemètre de base ; pour un fréquencemètre 100 MHz on prendra par exemple un oscillateur couvrant 50 à 100 MHz.

d'onde issue de cet oscillateur est envoyée dans un système non linéaire fabiquant de nombreux harmoniques et mélangée à la fréquence  $F_x$  à mesurer (l'ensemble de l'élément non linéaire générateur et harmoniques et du mélangeur est on fait un système d'échantillonnage, voir page 81). La tension de sortie du mélangeur est utilisée pour actionner l'oscillateur sur l'une des harmoniques de  $F_x$  ; cet échappement de boucle lorsque



l'oscillateur est "approché" manuellement de l'an des sauts harmoniques de  $F_x$ . Pour déterminer le rang de ce saut harmonique on cherche 2 valeurs successives de  $F$  permettant l'accrochage. Alors

$$F_x = (N+1)F_1 = NF_2$$

d'où

$$N = \frac{F_1}{F_2 - F_1}$$

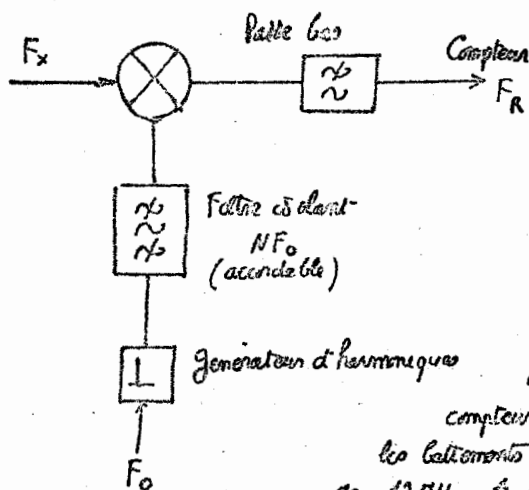
valeur facile à calculer si l'on a mesuré les 2 valeurs successives de  $F$ . Si ne note ensuite qu'à calculer  $F_x = NF_2$ .

Ce procédé qui a été automatisé permet de monter très haut en fréquence, jusqu'à 18 GHz, il présente l'avantage de permettre la mesure de fréquence pour un signal  $F_x$  bruyant, accompagné de rares voisines de niveau important, ce qui résulte de la propriété de filtrage possédée par la boucle d'atténuation de phase. Avec pour cette boucle une constante de temps suffisante on peut même mesurer la fréquence de trame d'un pulsoir cohérent (radar)

## 6. 2 Bétement avec harmonique

C'est la méthode la plus courante.

On fait battre la fréquence  $F_x$  à mesurer avec une fréquence filtreée  $NF_0$ ,  $F_0$  étant la fréquence d'un oscillateur intérieur de battage est filtreé en passe bas avant d'alimenter un compteur classique.



$$\text{On a } F_x = NF_0 + F_R$$

la connaissance de  $F_R$  permet de calculer  $F_x$  si le taux  $N$  est connu.

On a alors été déterminé par le filtre qui est le plus souvent une cavité accordée équilibrée en fréquence.

Pour éviter toute ambiguïté sur  $N$  on cherche le battage : on faisant varier  $N$ , on peut d'ailleurs vérifier que si on augmente  $N$  on aurait une autre solution possible telle que  $F_x = (N+1)F_0 - F'_R$

de problème identique ont celui de la première. Si le compteur peut compter seulement jusqu'à 10 MHz et que l'on fait les battements avec les harmoniques de 10 l'au d'une mesure autour de 12 MHz, il reste alors de 2 MHz ( $12-10=2$ ), si le 10 MHz

parties lui aussi dans le filtre. On doit donc faire en sorte que la fréquence maximale que l'on peut compter dans le compteur soit beaucoup plus grande que le pas  $F_0$  (Par exemple avec  $F_{max} = 50$  MHz, on utiliserait des pas de 10 MHz et le système ne sera utilisé que pour compter  $F_x$  supérieur à 50 MHz.)

Avec des téramodes et une génératrice d'harmoniques par snap-off on atteint 500 MHz par pas de 10 avec une cavité de résonance qui fait 3 GHz, avec des pas de 50 MHz, et enfin avec des filtres à haute sélection à YIG 18 GHz avec des pas de 100 MHz (générateur d'Yttrium accordeé par champ magnétique.)

### 3°) Utilisation d'un synthétiseur de fréquence

On peut mesurer la valeur absolue avec une précision prodigieuse en utilisant un oscillateur d'interpolation ou on valeur relative en agissant sur la fréquence pilote du synthétiseur.

Voir chapitre précédent.

Cette rédige d'après notes et enregistrement  
pris au cours de l'<sup>86<sup>e</sup> Congrès des C.R.D. en 1973 et 1974</sup>

Rédaction terminée le 19 novembre 1974

J. AUVRAY